

GM 50091

RAPPORT DE FORAGE 1990, PROPRIETE ILE OPAWICA

Documents complémentaires

Additional Files



Licence



Licence

Cette première page a été ajoutée
au document et ne fait pas partie du
rapport tel que soumis par les auteurs.

Énergie et Ressources
naturelles

Québec 

MINNOVA INC
DIVISION EXPLORATION

RAPPORT DE FORAGE 1990

PROPRIETE ILE OPAWICA

PN 122

Chapais, 5 novembre 1990 Présenté par: Friedrich Speidel, M.Sc.
Géologue de Projets

Ministère de l'Énergie et des Ressources
Service de la Géoinformation
Date: - 6 MAR 1991
No G.M. 50081

6471
1119
2102/1308



SOMMAIRE

La propriété Ile Opawica est située en majeure partie sur l'île Opawica à environ 135 km au sud-ouest de Chibougamau, province de Québec, dans les cantons L'Espérance et Gand. Cette propriété couvre environ 480 hectares.

La propriété a été la cible de nombreux travaux par diverses compagnies depuis 1945. Ces travaux consistaient surtout en des levés géophysiques, de la cartographie géologique et du forage au diamant.

Le programme de forage au diamant effectué par Minnova Inc. sur la propriété Ile Opawica fut débuté par Les Forages Béland le 19 mai 1990 et terminé le 3 juillet de la même année. Un total de 15 trous totalisant 13 132 pieds furent forés avec deux foreuses en opération.

Les forages sont regroupés en 3 secteurs définis d'après les résultats des programmes de forage sur la propriété adjacente à l'ouest (LMC Boyvinet) et d'après les travaux de terrain et de compilation effectués sur la propriété Ile Opawica en 1989. Ces trois secteurs sont i) le contact est du pluton Opawica, ii) les extensions latérales et en profondeur des indices A-B et iii) l'anomalie magnétique positive près des indices A-B.

La propriété est localisée à l'intérieur d'un bassin de roches supracrustales formant la partie ouest de la bande Desmaraisville-Caopatina à l'intérieur de la Ceinture des Roches Vertes de l'Abitibi d'âge Archéen. La propriété chevauche le corridor de déformation Lac Shortt-Opawica orienté ENE, près du pluton Opawica dont l'affinité géochimique est alcaline (sodique).

Les résultats du présent programme de forage indiquent qu'il existe d'importantes zones métasomatiques associées au pluton Opawica, retrouvées surtout à l'intérieur de la syénite de ce pluton. Ces zones sont, pour la plupart, faiblement aurifères.

Les zones aurifères A-B définies lors de programmes de forage précédents ne semblent pas avoir d'extension verticale et latérale importantes. La zone d'anomalies magnétiques, peu examinée jusqu'ici, contient plusieurs zones métasomatiques aurifères mais généralement de faible puissance. La zone aurifère principale dans ce secteur aurait une direction NW.

Sur les 15 trous forés, un total de 14 donnèrent des intersections de plus de 0.03 oz/t Au sur plus de 1.0 pied avec 6 forages ayant des intersections de plus de 0.1 oz/t sur plus de 1.0 pied.

Les meilleures intersections aurifères obtenues furent de 0.132 oz/t sur 5.9' dans BV-28, 0.275 oz/t sur 4.1' dans OP-04 et 0.295 oz/t sur 3.9' dans OP-07. Ces intersections sont retrouvées dans la syénite altérée du pluton Opawica, dans l'unité de gabbro magnétique du quart nord-ouest de la propriété et dans un basalte andésitique silicifié et pyritisé, respectivement.

Les valeurs de Cu et Zn sont généralement sous 50 ppm dans la syénite et sous 100 ppm dans la diorite porphyrique. Les teneurs en Cu sont anormales dans le gabbro magnétique biotitisé (souvent 100-300 ppm, parfois 500-900 ppm) et dans l'unité clastique du forage OP-07. Le Zn est surtout élevé dans la même unité sédimentaire mais la valeur maximale provient d'un gabbro folié, chloritisé et pyritisé.

Les observations géologiques effectuées lors de la description des carottes de forage, de même que la distribution de la minéralisation en Au et les anomalies géochimiques en Cu et Zn, indiquent que le pluton Opawica joua un rôle important dans le développement du système hydrothermal responsable pour les minéralisations et altérations observées. La minéralisation à l'intérieur du pluton et les zones minéralisées du type A-B sont ici interprétées comme étant reliées au même système hydrothermal, puisque leurs altérations sont reliées. Les caractéristiques de la minéralisation contiennent des éléments communs aux gisements du type porphyre aurifère et du type filonien.

Il est recommandé de réanalyser les échantillons ayant titré plus de 0.03 oz/t Au sur des intervalles de plus de 3.0 pieds dans le but de confirmer les analyses significatives et de définir leur association avec les éléments trace As, Sb, Ag, Pb et Mo. Certaines zones métasomatiques devraient aussi être réanalysées pour cette dernière raison, même si leur teneur en Au est inférieure à ce seuil. Une suite d'échantillons typiques devraient être analysés pour les oxydes majeurs + Zr et examinés en lames minces dans le but de mieux définir la lithogéochimie et la minéralogie primaire et secondaire.

En compilant alors les relations de recoupement et la distribution spatiale des faciès d'altération et des anomalies géochimiques, on pourra mieux définir la séquence et la zonation des altérations autour du pluton Opawica et de localiser les secteurs à plus grand potentiel pour la minéralisation en Au, ainsi que de mieux définir le modèle génétique utilisé.

Il sera ensuite possible d'évaluer la pertinence d'un programme de forage additionnel pour 1991. En ce moment, la seule intersection importante en Au avec un potentiel possible de continuité serait la zone BV-28 (0.132 oz/t sur 5.9 pieds) du coin NW de la propriété.

TABLE DES MATIERES

SOMMAIRE	P.	i
INTRODUCTION	P.	1
DESCRIPTION DE LA PROPRIETE	P.	1
TITRES MINIERIS	P.	1
SITUATION ET ACCES	P.	4
RESSOURCES ET PHYSIOGRAPHIE	P.	4
HISTOIRE DE LA PROPRIETE	P.	4
HISTORIQUE	P.	4
TRAVAUX EFFECTUES PAR MINNOVA INC.	P.	10
GEOLOGIE	P.	10
GEOLOGIE REGIONALE	P.	10
GEOLOGIE DE LA PROPRIETE	P.	12
GEOLOGIE ECONOMIQUE	P.	14
GENERAL	P.	14
MINERALISATION D'INTERET ECONOMIQUE SUR LA PROPRIETE .	P.	15
RESULTATS DU PROGRAMME DE FORAGE	P.	16
GENERAL	P.	16
GEOLOGIE	P.	20
CONTACT EST DU PLUTON OPAWICA	P.	21
EXTENSION DES INDICES A-B	P.	34
ANOMALIE MAGNETIQUE POSITIVE	P.	43
MINERALISATION AURIFERE	P.	53
GENERAL	P.	53
ZONE DE CONTACT DU PLUTON OPAWICA	P.	54
ZONES A-B	P.	58
ANOMALIE MAGNETIQUE POSITIVE	P.	59
DISCUSSION	P.	61
GEOLOGIE	P.	61
ZONE DE TRANSITION	P.	61
ZONE DE FRACTURATION EST	P.	61
ZONE DE DEFORMATION PERIPHERIQUE	P.	62
ZONE DE BIOTITISATION	P.	62
ORIGINE DE LA TEXTURE "CORNEENNE"	P.	63
GEOPHYSIQUE ET GEOCHIMIE	P.	63
MODELE GENETIQUE	P.	64
CONCLUSION	P.	69
RECOMMANDATIONS	P.	70
GEOLOGIE	P.	70
GEOCHIMIE	P.	71
GEOPHYSIQUE	P.	71
FORAGE	P.	71
REFERENCES	P.	72
CERTIFICAT	P.	74

LISTE DES FIGURES

- FIGURE 1: CARTE DE CLAIMS
- FIGURE 2: CARTE DE LOCALISATION
- FIGURE 3: GEOLOGIE REGIONALE
- FIGURE 4: GEOLOGIE DE LA PROPRIETE
- FIGURE 5: DISTRIBUTION DES FORAGES 1990

LISTE DES TABLEAUX

- TABLEAU 1: LISTE DES CLAIMS
- TABLEAU 2: LISTE DES TRAVAUX STATUTAIRES
- TABLEAU 3: MEILLEURES VALEURS DES INDICES
- TABLEAU 4: STATISTIQUES DE FORAGE
- TABLEAU 5: FORAGE BV-28
- TABLEAU 6: FORAGE BV-29
- TABLEAU 7: FORAGE OP-01
- TABLEAU 8: FORAGE OP-03
- TABLEAU 9: FORAGE OP-05
- TABLEAU 10: FORAGE OP-08
- TABLEAU 11: FORAGE OP-10
- TABLEAU 12: FORAGE OP-06
- TABLEAU 13: FORAGE OP-07
- TABLEAU 14: FORAGE OP-09
- TABLEAU 15: FORAGE OP-11
- TABLEAU 16: FORAGE OP-02
- TABLEAU 17: FORAGE OP-04
- TABLEAU 18: FORAGE OP-12
- TABLEAU 19: FORAGE OP-13
- TABLEAU 20: INTERSECTIONS (Au) OBTENUES
- TABLEAU 21: SEQUENCE PARAGENETIQUE

LISTE DES ANNEXES

- ANNEXE 1: SPECIFICATIONS ANALYTIQUES
- ANNEXE 2: MODIFICATIONS AU CODE GEOLOGIQUE DU MERQ
- ANNEXE 3: CARTE DE CLAIMS ET DE FORAGES
- ANNEXE 4: JOURNAUX DE SONDRAGE (15) ET ANALYSES
- ANNEXE 5: SECTIONS DE FORAGE (15)
- ANNEXE 6: PLANS DE SURFACE - FORAGES 1990
 - 6a GEOLOGIE ET MINERALISATION (Au)
 - 6b DISTRIBUTION DE Cu ET Zn

INTRODUCTION

Le programme de forage au diamant effectué sur la propriété Ile Opawica en 1990 avait pour but de sonder 3 secteurs définis d'après les résultats des programmes de forage sur la propriété adjacente à l'ouest (LMC Boyvinet) et d'après les travaux de terrain et de compilation effectués sur la propriété Ile Opawica:

- i) Contact est du pluton Opawica: Zone de fracturation est (ZFE), discontinuités magnétiques NNE subparallèles et une discontinuité magnétique abrupte de direction EW.
- ii) Secteur des indices A-B: Extension en profondeur et latérale des zones minéralisées connues.
- iii) Anomalie magnétique positive immédiatement au sud des indices A-B: Zone interprétée comme une cornéenne lors de la cartographie de terrain en 1990.

Le programme de forage fut effectué par Les Forages Béland du 19 mai au 3 juillet 1990 (avec deux foreuses en opération à partir du 29 mai) travaillant 24 heures par jour selon un horaire de 11 jours de travail suivis de 3 jours de congé. La description des carottes et la rédaction des journaux de sondage furent effectuées par P. Girard et F. Speidel avec l'assistance de H. Brisson.

Les échantillons furent analysés pour Au, Cu, Zn et parfois Ag, au laboratoire de Minnova Inc., division Opémiska, à Chapais. Les spécifications analytiques sont données dans l'annexe 1.

Ce rapport présente les résultats du programme de forage, avec une mise à jour de l'interprétation géologique de la propriété. Les types d'altération et de minéralisation sont décrits en détail pour chacun des trois secteurs mentionnés ci-haut et des travaux additionnels sont suggérés.

DESCRIPTION DE LA PROPRIETE

TITRES MINIERS

La propriété Ile Opawica couvre environ 480 hectares. Elle comprend 30 claims détenus en vertu de 6 permis de mise en valeur (fig. 1). Minnova Inc. est présentement sous l'effet d'une entente avec Aur Resources, permettant à Minnova d'acquérir jusqu'à 70% d'intérêt d'ici le 31 décembre 1995. Le tableau 1 énumère les numéros de licences de ces claims.



FIG. 1

TABLEAU 1

LISTE DE CLAIMS

LICENCES	CLAIMS
317224	1, 2, 3, 4, 5
317225	1, 2, 3, 4, 5
317226	1, 2, 3, 4, 5
317318	1, 2, 3, 4, 5
317460	1, 2, 3, 4, 5
317461	1, 2, 3, 4, 5

SITUATION ET ACCES

La propriété Ile Opawica est située à environ 135 km au sud-ouest de Chibougamau, province de Québec, dans le quart sud-ouest du canton Gand et dans le quart nord-ouest du canton L'Espérance (carte topographique 32 G-12). La majeure partie de la propriété se trouve sur l'île Opawica tandis que le reste s'étend jusqu'à la rive ouest du lac Opawica (Fig. 2).

La propriété est accessible par d'anciennes routes forestières à partir des camps de la mine Lac Shortt. Ces routes mènent à la rive est du lac Opawica à partir d'où une chaloupe est nécessaire pour se rendre jusqu'à l'île. La propriété est aussi accessible par la rive ouest du lac Opawica en utilisant la route 113 reliant Desmaraisville à Chapais à partir de laquelle d'anciennes routes forestières facilitent l'accès.

RESSOURCES ET PHYSIOGRAPHIE

L'île Opawica est un haut topographique comparativement au reste de la région. La densité d'affleurements est à son maximum dans le nord de l'île, particulièrement dans sa partie nord-ouest, diminuant vers le sud.

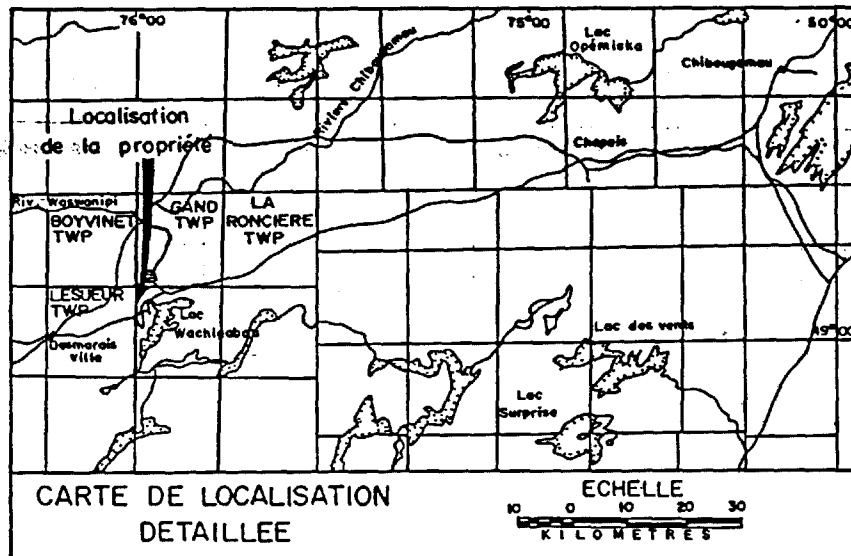
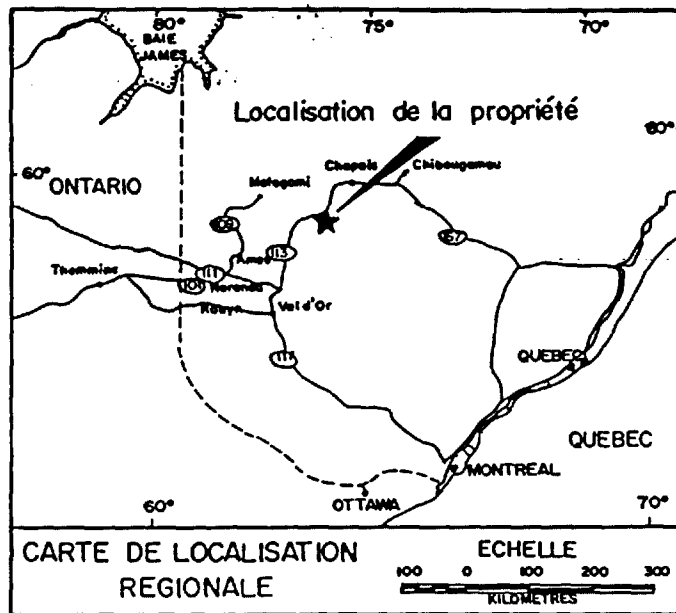
Le relief total est d'environ 200 pieds avec des pentes abruptes, surtout dans la partie centre-nord de la propriété. L'île est recouverte par une forêt dense à prédominance de conifères. Dans la partie ouest de l'île, on retrouve de nombreux chemins de forage facilitant l'accès intérieur. L'île est assez bien drainée par de nombreux petits ruisseaux intermittents. L'épaisseur de mort-terrain est variable, augmentant généralement du centre de l'île vers le sud-est.

Le lac Opawica possède une profondeur moyenne de 5 pieds du côté ouest de l'île mais est beaucoup plus profond au sud de l'île où passerait la faille Opawica. Le niveau d'eau du lac varie de quelques pieds selon la saison (Girard, 1990).

HISTOIRE DE LA PROPRIETE

HISTORIQUE

La majeure partie de la présente section est tirée des rapports de travaux de terrain pour 1985 et 1986 par D.S. Bubar pour Aur Resources. Le tableau 2, tiré de Girard (1990), liste les travaux statutaires.



 MINNOVA Inc. DIVISION EXPLORATION	
<h1>ILE OPAWICA</h1>	
<h2>CARTE DE LOCALISATION</h2> <p>Figure 2</p>	
Dessiné par: <u>E.D.</u> Révisé par: <u>P.G.</u> Date: <u>AVRIL 1990</u>	Echelle:

TABLEAU 2

TRAVAUX STATUTAIRES

DATE	GROUPE	TRAVAUX	NUMERO
1945-46	SISCOE GOLD MINES LTD	Rapport géologique - 10 trous (503')	GM 00294-95
1947	SISCOE GOLD MINES LTD	Rapport sur la propriété (incluant résultats des forages)	GM 10884 A-B
1947	SISCOE GOLD MINES LTD	Rapport d'inspection	GM 001713
1951	SISCOE GOLD MINES LTD	Levé de résistivité	GM 01161
1954	NORANDA MINES LTD/SISCOE GOLD MINES LTD	Levé électromagnétique et magnétique	GM 002905
1955	NORANDA MINES LTD	Forage au diamant - 27 trous (9812')	GM 003463 A-B
1956	BARBI LAKE COPPER MINE LTD	Levés magnétique et électromagnétique (extrémité est de l'île)	GM 04081 A-B
1957	BARBI LAKE COPPER MINE LTD	Rapport géologique et levé magnétique (extrémité est de l'île)	GM 05144
1957	BARBI LAKE COPPER MINE LTD	Rapport géologique (extrémité est de l'île)	GM 05224
1968	? (Nadeau, Raymond)	Croquis et localisation des travaux de surface	GM 023581
1967	NORANDA MINES LTD/SISCOE GOLD MINES LTD	Fiche de gites	GM 25029
1967	NORANDA MINES LTD/SISCOE GOLD MINES LTD	Fiche de gites	GM 25030
1971	YELLOWKNIFE BEAR MINES LTD	Levé aéroporté magnétique et électromagnétique	GM 27723
1972	NORTH SHORE URANIUM CORP.	Rapport levés magnétique & électromagnétique et échantillonnage	GM 28457
1974	NORTH SHORE URANIUM CORP.	Rapport des levés magnétique et électromagnétique	GM 29537

TABLEAU 2

SUITE

TRAVAUX STATUTAIRES

DATE	GROUPE	TRAVAUX	NUMERO
1974	GROUPE MINIER BROSSARD/NAGANTA MINING & DEV. CO. LTD/NORTH SHORE URANIUM CORP.	Rapport géologique et journaux de sondages (27 trous, 2469')	GM 30549
1975	NAGANTA MINING & DEV. CO. LTD/NORTH SHORE URANIUM CORP.	Rapport géologique et certificats d'analyses	GM 31481
1976	GROUPE MINIER BROSSARD/NAGANTA MINING & DEV. CO. LTD	Evaluation technique des travaux antérieurs	GM 31999
1982	BROMINCO INC.	Rapport d'évaluation des résultats des travaux antérieurs	GM 39345
1984	BROMINCO INC.	Levé HLEM (Maxmin II)	GM 40903
1985	BROMINCO INC.	Rapport de levé magnétique (champ total)	GM 42101
1985	BROMINCO INC.	Rapport de géochimie d'humus	GM 42102
1985	AUR RESOURCES INC.	Rapport de levé PPL	GM 43109
1987	AUR RESOURCES INC.	Rapport de levé magnétique (champ total et gradient vertical) et électromagnétique (VLF)	GM 45234
1987	AUR RESOURCES INC.	Rapport de levé de polarisation provoquée et de résistivité	GM 45235

La propriété Ile Opawica a été explorée de façon intermittente pour l'or et les métaux de base depuis 1945. Les travaux effectués sur la propriété avant 1989 comprennent divers levés de géophysique, de cartographie, de géochimie ainsi que du décapage et 146 trous de forage au diamant totalisant environ 48,000 pieds. Ces travaux ont surtout été concentrés dans les secteurs des indices A, B1, B2, F et dans les 3 (?) horizons de formation de fer.

A l'origine, la propriété a été jalonnée par M. Gustave Ceré qui optionna ensuite les claims à Siscoe Gold Mines Ltd. Siscoe a effectué du décapage sur les 5 indices trouvés sur l'île (les Zones A, B1, B2, C et F) suivis de forages sur la Zone A (10 trous, 503 pieds). Les résultats de la plupart de ces travaux sont peu documentés sauf pour la découverte de la zone de minéralisation aurifère de l'indice A, ayant donné une moyenne de 0.20 oz/t Au sur 4.0 pieds avec une extension latérale de 65 pieds. Cette zone aurifère n'a pas été vérifiée en profondeur par Siscoe.

Les claims ont été pratiquement inactifs pour les 10 années suivantes jusqu'à ce qu'ils soient optionnés par Noranda Mines en 1954. Noranda a établi un nouveau grillage sur la majeure partie de l'île pour ensuite faire des levés VLEM et magnétique ainsi qu'un peu de cartographie et de prospection. Ceci fut suivi par 9,812 pieds de forage (27 trous). Il semble que Noranda était principalement intéressé par les métaux de base (sulfures massifs) puisque tous les trous sauf trois avaient comme cible les conducteurs associés aux formations de fer. Seuls les trous N-24, 24A et 25 avaient comme cible l'indice d'or de la Zone A, avec comme meilleur résultat 0.09 oz/t Au sur 3.1 pieds. Aucun des trous visant les formations de fer n'a recoupé des minéralisations significatives en Cu-Zn. Le meilleur résultat en or pour ces forages était de 0.04 oz/t Au sur 6.9 pieds dans le trou N-15.

Noranda termina son option à la fin du programme de 1955 et la propriété fut retournée à son propriétaire original, Monsieur Gustave Ceré. Très peu de travaux de terrain ont été effectués entre 1956 et 1974 et ce qui a été fait est très peu documenté. Ceré et Associés ont foré 4 trous en 1961 à proximité des indices A, B1 et B2. Les forages ont apparemment donné des valeurs significatives en or allant jusqu'à 0.65 oz/t Au sur des minces largeurs (Ingham, 1962). La localisation précise ainsi que les journaux de sondage ne sont pas disponibles.

Aucun autre travail est documenté sur la propriété jusqu'en 1974 lorsque les claims sont devenus ouverts et ont immédiatement été rejalonnés par le Groupe Minier Brossard (Brominco Inc.). Brominco effectua des levés magnétique, VHEM et VLF-EM sur la partie centre-ouest de la propriété en 1974 et foragea 27 trous (2 470 pieds). Huit de ces trous ont sondé l'indice d'or de la

Zone A, 18 courts trous verticaux espacés de 10 pieds chacun furent forés sur l'indice de Cu-Zn de la Zone C et un trou recoupa un des horizons de formation de fer. Les résultats ne furent pas très encourageants et après une brève cartographie et un échantillonnage lithogéochimique en 1975, les travaux cessèrent jusqu'en 1983. En 1983, des levés HLEM ont été effectués sur la partie centrale-ouest de la propriété.

En 1984, Aur Resources, à partir de leur filiale nouvellement acquise, Brominco Inc., effectua une ré-évaluation systématique de la partie de la propriété située sur l'île Opawica. Ce programme incluait de la coupe de lignes, un levé détaillé du champ magnétique total, un levé géochimique d'humus et de la cartographie géologique. Ce programme servit à identifier la Zone Aurifère A-B comme cible prioritaire pour l'exploration future. En 1985, ce programme s'est poursuivi conjointement avec Cogesco Mining Resources Inc. et comprenait de la cartographie de détail, un levé PPL I.P. et 30 trous de forage au diamant totalisant 14 022 pieds.

Le forage fut concentré dans la Zone Aurifère A-B où plusieurs minces intersections à faibles et moyennes teneurs ont été obtenues (typiquement de 0.05 à 0.10 oz Au/t sur 2.5 à 5.0 pieds).

Les conclusions tirées du programme de 1985 étaient que la minéralisation aurifère de la propriété est associée à des zones de cisaillement mylonitique ENE, montrant ainsi des similitudes avec le gîte du Lac Shortt. Une nouvelle cible, définie dans la partie sud-est de la propriété à partir des données magnétiques et géochimiques, fut interprétée comme l'extension ouest possible de la structure minéralisée du Lac Shortt. La Zone Aurifère A-B a été interprétée comme étant une structure minéralisée d'orientation similaire.

En 1986, le programme d'exploration de Aur Resources Inc. avait pour but de continuer l'évaluation des trois cibles prioritaires identifiées en 1984 et 1985, soit la Zone Aurifère A-B, la Zone F et le secteur sud-est de la propriété. Le programme consistait en grande partie en 51 trous de forage totalisant 18,793 pieds mais aussi en de la coupe de lignes, du décapage mécanique, la cartographie de détail de la Zone Aurifère A-B et plusieurs levés géophysiques d'hiver sur la partie ouest de la propriété couverte par le lac Opawica.

D. Bubar (1986) proposait que les zones minéralisées seraient localisées dans une large zone de cisaillement orientée nord-ouest ayant un pendage à 45° NE. Ceci contraste avec l'interprétation précédente selon laquelle les zones minéralisées étaient orientées ENE. La Zone A est une veine bréchique pyriteuse recoupée par plusieurs failles de direction variable et difficiles à suivre en profondeur.

Une cartographie de détail effectuée en 1988, sur les indices décapés de la zone aurifère A-B, indiqua la présence de trois familles de structures aurifères orientées EW, NW et NNE, respectivement (Brisson et Guha, 1989).

Les zones B1 et B2 sont généralement caractérisées par un système anastomosé cisailé, altéré en quartz-carbonate-hématite-pyrite, injecté de veines de quartz-carbonate-pyrite, dans une unité de gabbro ferro-magnétique. Ces zones demeurent inexplorées sous 500 pieds de profondeur et dans leur continuité sud-est.

Les deux autres cibles aurifères prioritaires pour 1986, soit la Zone F et le secteur sud-est ont produit des résultats décevants. Plusieurs zones à forte altération et minéralisation (pyrite) ont été intersectées mais les teneurs demeuraient sous 0.015 oz/t Au.

TRAVAUX EFFECTUES PAR MINNOVA INC.

Le programme de cartographie effectué par Minnova Inc., lors de l'été 1989, avait pour but de mieux comprendre la géologie de la propriété ainsi que de définir de nouvelles zones favorables à la minéralisation aurifère qui serviraient de cibles de forage.

Un total de 372 jours-homme ont été nécessaires pour cette cartographie. Les affleurements jugés intéressants ont été échantillonnés (échantillon choisi) et analysés pour Au, Cu, Mo, Pb, Zn, Ag, As, Sb. Un total de 293 échantillons ont été recueillis et analysés (Girard, 1990).

Au début de 1990, les anciens forages furent compilés par P. Girard dans le but de définir les cibles de forage pour le programme dont il est question dans le présent rapport. Ces cibles furent définies à partir des sections de forage de Aur Resources et des plans de niveau compilés par P.Girard.

GEOLOGIE

GEOLOGIE REGIONALE

La propriété est localisée dans la partie nord-est de la ceinture orogénique de l'Abitibi, de la province structurale du Supérieur (d'âge archéen). La propriété est localisée à l'intérieur du segment ouest de la bande de Caopatina-Desmaraisville. La géologie régionale est illustrée dans la figure 3.

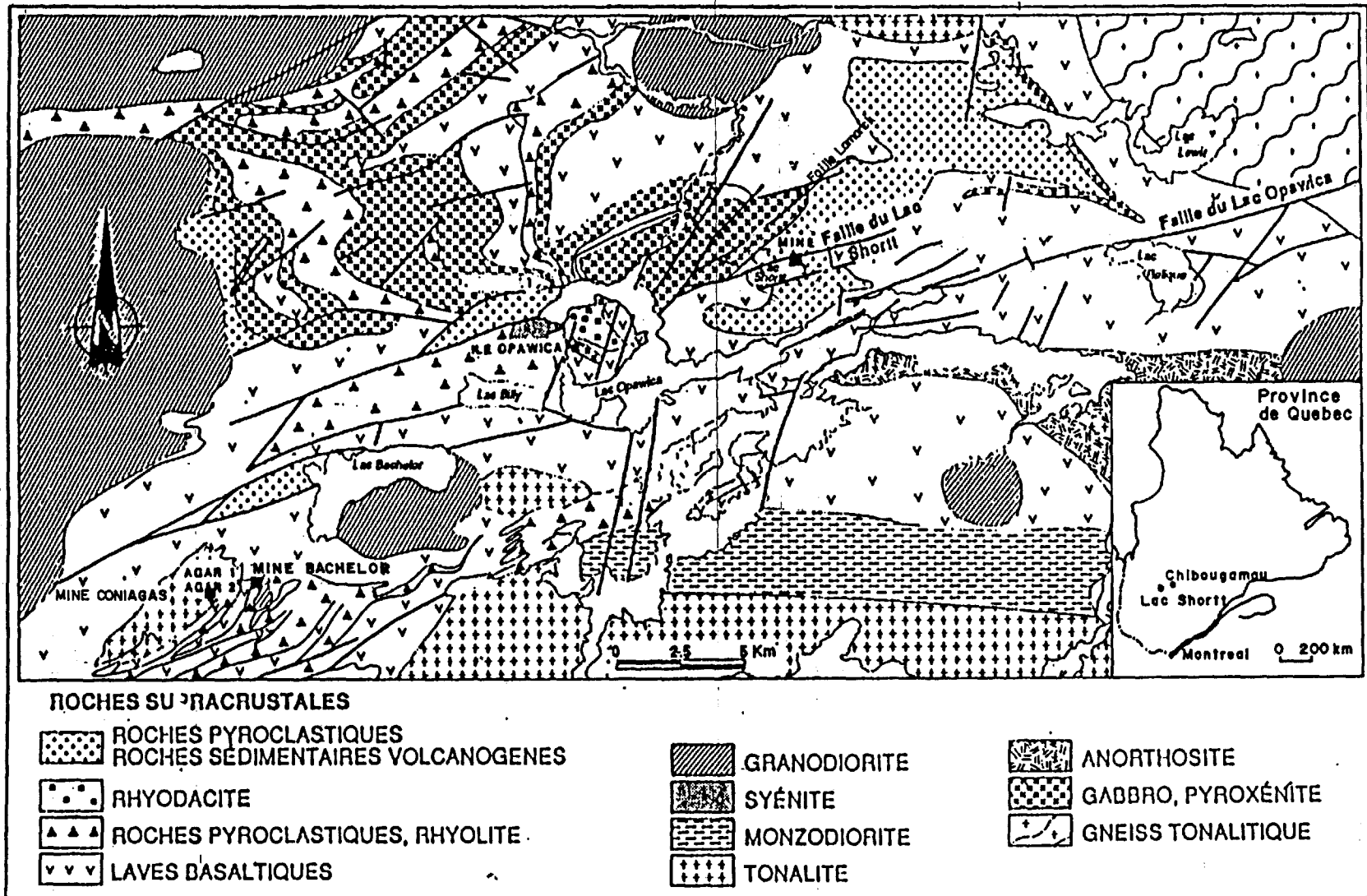


Figure 3. Géologie de la région du lac Shortt. Modifiée d'après Brisson et Guha (1989)

Les roches archéennes de la région sont divisées en deux grandes unités lithostratigraphiques: la Formation d'Obatogamau, surmontée par la Formation du Ruisseau Dalime. La Formation d'Obatogamau consiste en une succession de roches de plusieurs kilomètres d'épaisseur, formée de basaltes massifs, coussinés et bréchiques, communément porphyriques à phénocristaux de plagioclase. Cette formation inclut le Membre de Wachigabau qui est essentiellement constitué de roches pyroclastiques de composition intermédiaire et felsique et de rhyolites, sur moins de 1 km d'épaisseur. La Formation du Ruisseau Dalime comprend des roches pyroclastiques de composition felsique et intermédiaire et des roches sédimentaires volcanogènes.

Dans les roches volcano-sédimentaires archéennes de la région, on retrouve plusieurs intrusions d'âge archéen et protérozoïque. Les intrusions archéennes majeures sont des granitoïdes, le complexe anorthositique de la rivière Opawica (secteur Lac La Ronde) et le complexe mafique et ultramafique des Chûtes de l'Esturgeon situé au nord du Lac Shortt. Les intrusions d'âge protérozoïque sont des dykes de gabbro-diabase orientés ENE.

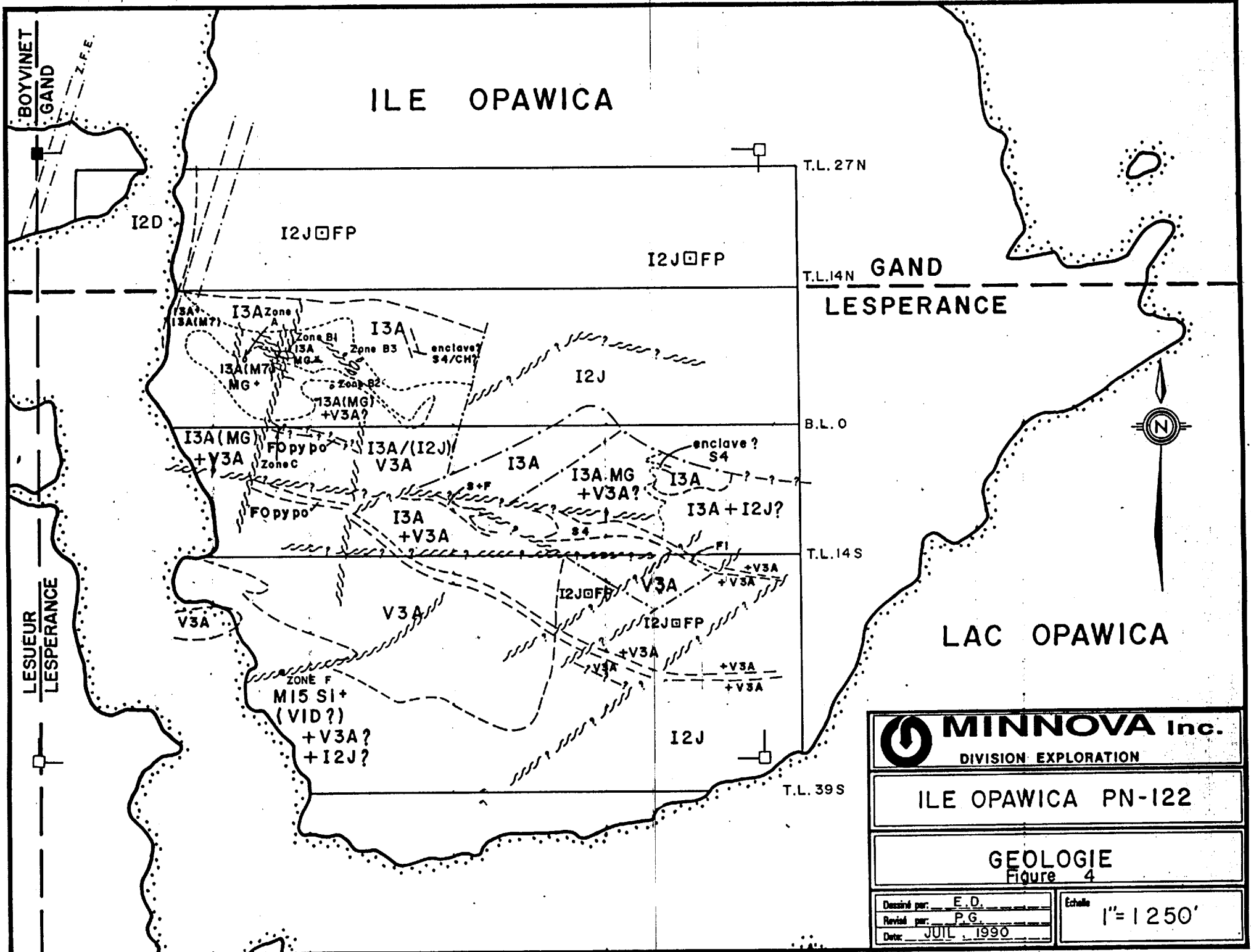
Un système de failles majeures de direction est-nord-est (failles Opawica et Lac Shortt) et deux systèmes mineurs, orientés nord-est et nord-nord-ouest, caractérisent la région. De nombreux indices minéralisés sont associés aux failles majeures (Speidel, 1988).

GEOLOGIE DE LA PROPRIETE

Lors de la cartographie effectuée en 1989 (figure 4), la plupart des affleurements rencontrés consistaient en des gabbros ou des diorites porphyriques à feldspath. Par contre, l'analyse sommaire des anciens journaux de sondage a démontré une présence plus grande de laves mafiques intercalées.

La diorite porphyrique occupe surtout la partie nord de la propriété tandis que le gabbro et le basalte occupent la partie centrale. Le sud-ouest de la propriété est occupé par une roche felsique (?) beige verdâtre, moyennement à intensément foliée, parfois à aspect tuffacé, parfois à aspect bréchique. Cette unité est fortement silicifiée avec ankérite, séricite, fuchsite en proportions variables. Cette unité est intercalée avec des passages de diorite porphyrique parfois hématisée et de lave et/ou tuf mafique. Les contacts entre la roche felsique et mafique sont parfois graduels.

La propriété est traversée par deux horizons de roches sédimentaires clastiques et chimiques orientés ESE à SE qui ressortent bien sur la carte du champ magnétique. Au nord de ces deux horizons, on retrouve ce qui a été interprété par Aur



ILE OPAWICA

MINNOVA Inc.
DIVISION EXPLORATION

ILE OPAWICA PN-122

GEOLOGIE
Figure 4

Dessiné par: E.D.
Révisé par: P.G.
Date: JUL 1990

Echelle
1" = 1250'

Resources comme un troisième horizon sédimentaire, et qui est interprété ici comme deux enclaves de roche sédimentaire siliceuse à grains fins inclus dans le gabbro.

A l'extrémité nord-ouest de l'île, on retrouve le pluton Opawica, constitué surtout de syénite. De nombreux affleurements de diverses lithologies dans ce secteur montrent des dykes aplitiques de puissance centimétrique.

La partie ouest de l'île contient plusieurs zones d'altération aurifères d'extension latérale décimétrique et de puissance décimétrique à métrique. Ces zones furent décrites lors de la cartographie de détail des indices aurifères de la Zone A-B par H. Brisson pour le CERM (Brisson et Guha, 1989).

Ces zones d'altération aurifères sont associées à des couloirs de déformation de direction E, NW et NNE. Les observations de terrain indiquent que les couloirs de déformation de direction NW et NNE recoupent ceux de direction E. Les relations entre les couloirs de déformation de direction NW et NNE sont incertaines (Brisson et Guha, 1989).

Les couloirs de déformation de direction NNE (Sites A et B-1-1) sont des cisaillements senestres du type ductile et ductile-cassant (Brisson et Guha, 1989). Deux discontinuités magnétiques près du contact est du pluton Opawica d'orientation similaire pourraient représenter des structures semblables.

GEOLOGIE ECONOMIQUE

GENERAL

Trois gisements se trouvent dans la région: les mines Lac Shortt, Bachelor et Coniagas (figure 3).

La mine Lac Shortt est située à environ 100 km à l'ouest de Chapais ou à 11 km à l'est de la propriété Ile Opawica. L'inventaire géologique initial était de 1.94 millions de tonnes @ 6 g/t Au (Cormier, 1984). A ce jour, le gisement a produit 1 882 845 tonnes métriques (tm) de minerai à une teneur moyenne de 4.93 g/t Au et les réserves au 1er janvier 1990 étaient de 885 219 tm @ 4.82 g/t Au (Quirion, 1990).

La minéralisation aurifère est spatialement et probablement génétiquement associée à une altération alcaline (féritisation) reliée à l'intrusion de carbonatite. Le gisement est constitué d'une mylonite à fragments syénitiques dans une matrice très fine dolomitisée et pyritisée, située dans l'éponte inférieure de la

zone de déformation Lac Shortt. Cette zone de déformation consiste en un schiste à séricite et dolomie avec fuchsite mineure, généralement de 5 à 10 m de largeur.

La mine Coniagas, maintenant fermée, est un gisement de sulfures massifs volcanogènes (Zn, Ag, Pb) situé à 2 km à l'ouest de la mine Lac Bachelor. La minéralisation était constituée de sphalérite et pyrite avec chalcopryrite et galène comprises dans des tufs et tufs à lapillis. Plus de 700 000 t de minerai @ 10.7% Zn, 1% Pb et 182 g/t Ag y furent extraites (Riverin, 1982).

La mine Lac Bachelor est localisée dans les lots 18 et 19 du rang IV du canton Lesueur. Ses réserves géologiques diluées initiales étaient de 0.88 Mt @ 6.22 gpt Au (Buro, 1984). Le gisement occupe au moins deux structures distinctes, soit la Zone Principale orientée @ 110 avec un pendage de 75-80°N (55° à la surface) et la zone A, @ 060-070 avec un pendage de 45-60° vers le sud (A.Tessier, comm.pers. 1990). Les deux zones recoupent les roches volcaniques et la zone principale recoupe l'intrusion granitique O'Brien. Toutes les roches volcaniques de même que plusieurs dykes de granitoïdes contiennent des sulfures disséminés, surtout de la pyrite avec un peu de pyrrotite et chalcopryrite. Les travaux récents suggèrent que l'intrusion O'Brien serait une zone de dykes plutôt qu'un pluton (A.Tessier, comm.pers. 1990).

Les zones minéralisées sont de composition variable, particulièrement la veine A qui consiste en plus de trois faciès aurifères (A. Tessier, comm. pers. 1990), incluant un faciès beige (albitisation ± silice?), un faciès mylonitique semblable au minerai de la mine Lac Shortt avec un peu moins de dolomie et une pyrite plus grossière et un faciès identique à celui de la zone principale. La zone principale ou "veine" principale est décrite par Buro (1984) comme une zone cisailée, silicifiée, hématisée et pyritisée. Il semble probable que le feldspath secondaire soit une composante importante de la veine (visite récente de l'auteur). Typiquement, le centre de la Zone Principale est caractérisé par une altération pénétrative de l'encaissant avec une enveloppe décimétrique à métrique de veinules et zones de type stockwork de même composition que la partie centrale.

MINERALISATION D'INTERET ECONOMIQUE SUR LA PROPRIETE

La propriété Ile Opawica contient 5 indices aurifères, quatre de ceux-ci (A, B1, B2 et B3) étant spatialement associés et appelés collectivement la Zone A-B (fig.4). Le cinquième indice est appelé Zone F et est localisé dans la partie sud-ouest de l'île.

Le tableau 3, tiré de Girard (1990), montre les meilleures valeurs obtenues sur ces indices lors de la cartographie 1989 ("échantillon choisi"), lors de l'échantillonnage de rainures fait en 1985/1986 et dans les campagnes de forage au diamant de 1985 et 1986.

La minéralisation aurifère de la Zone A-B de l'île Opawica est contenue dans des cisaillements de direction E, NW et NNE (Brisson et Guha, 1990) et associée à une altération rougeâtre. Cette altération rougeâtre provient surtout de l'ankéritisation, contrastant avec l'hématisation retrouvée aux mines Lac Shortt et Bachelor. Les zones aurifères de la Zone A-B contiennent souvent des veines de quartz bréchiques ou brèches à quartz. Dans les gisements du Lac Shortt et Bachelor, les zones de veinules de quartz sont un type de minerai secondaire en importance.

La présence du pluton syénitique d'Opawica dans le nord-ouest de l'île est aussi un facteur intéressant pour la minéralisation aurifère.

Les deux horizons de formation de fer de la propriété contiennent une minéralisation de type sulfure massif, composée essentiellement de pyrite et pyrrhotine contenant de très faibles valeurs en Au. Par contre, l'indice C (localisé sur la ligne de base, L 0+00) constitué de sulfures massifs, contient de faibles anomalies en Cu et Zn.

La Zone F a aussi été la cible de forages en 1985 et 1986. Même si aucune teneur aurifère économique n'y a été rencontrée, des zones pyriteuses fortement cisillées (schiste à séricite) ont été recoupées. Ce schiste à séricite ressemblerait à l'unité à mica vert de la mine Lac Shortt. Les forages ont aussi traversé des zones à altération rougeâtre avec pyrite disséminée, rappelant le style de minéralisation de la mine Lac Shortt et de la mine Bachelor. La meilleure valeur en Au fut de 0.032 oz/t sur 6.0' dans un tuf mafique hématisé, en continuité est du cisaillement interprété par Aur sur la Zone F (Girard, 1990).

RESULTATS DU PROGRAMME DE FORAGE

GENERAL

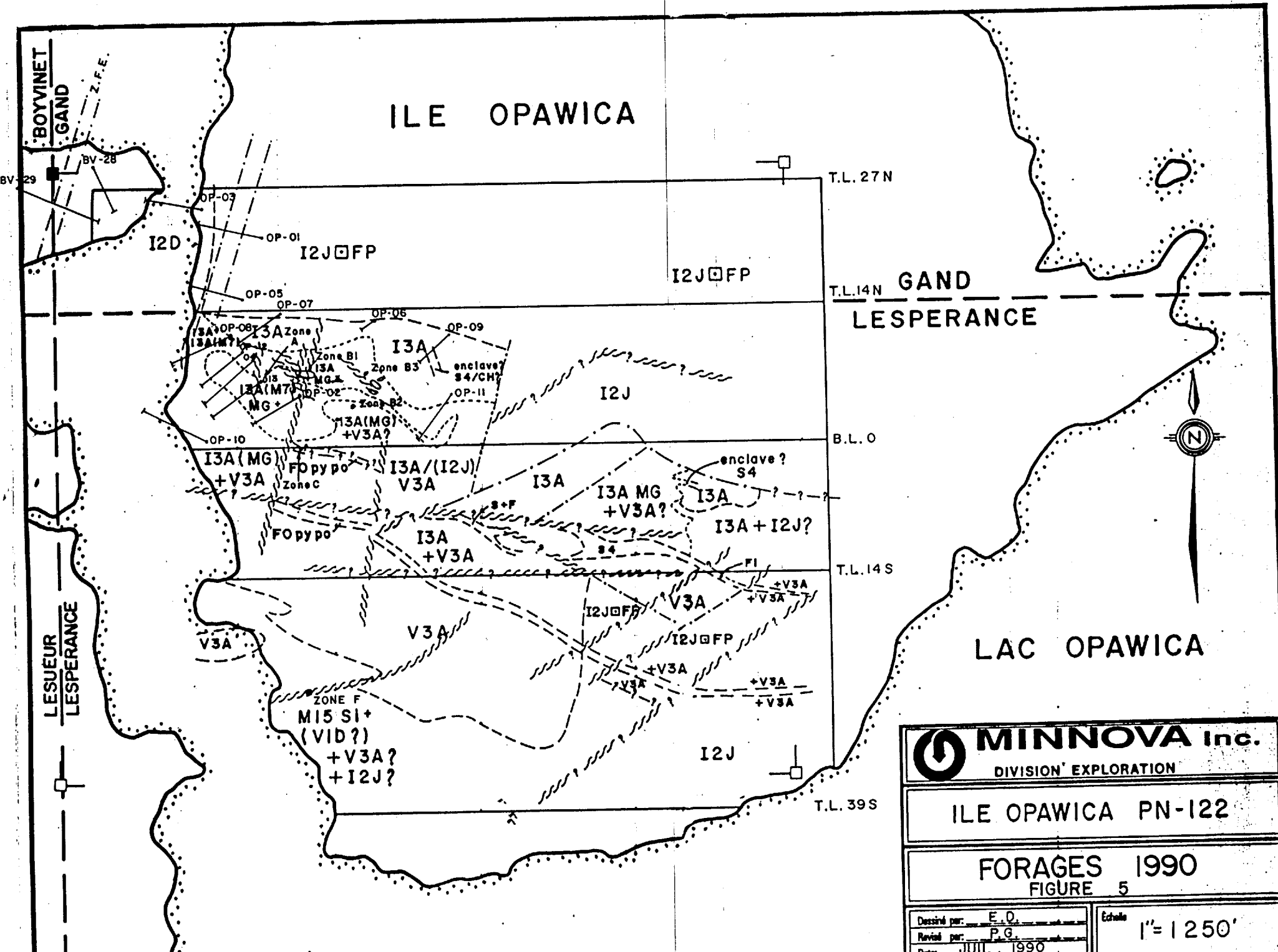
Un total de 13 132 pieds répartis en 15 trous furent forés sur la propriété (figure 5 et tableau 4). Un total de 5 729 pieds (44% du total) en 7 forages, incluant 2 trous forés en partie sur la présente propriété, servirent à sonder le coin NW de la propriété. Ce secteur contient trois cibles particulières, soit la Zone de Fracturation Est (ZFE) définie sur la propriété adjacente à l'ouest, une discontinuité magnétique EW abrupte et la zone de contact du pluton Opawica.

TABLEAU 3

MEILLEURES VALEURS DES INDICES

ZONE	CARTO 1989 oz/t Au	RAINURE 1985 oz/t Au	FORAGE 1985 oz/t Au	FORAGE 1986 oz/t Au
A	0.221	0.231/5.0'	0.093/10.0' dont 0.132/ 5.0'	0.106/9.0'
B1	0.121	0.052/4.0'	0.05 /18.0' dont 0.098/ 5.0'	0.045/17.0'
B2	0.365	0.090/5.0'	0.145/ 4.0'	0.575/2.0'
B3	0.076	0.068/2.5'	-	-
C	Cu: 4900 ppm Zn: 3200 ppm	-	Cu: 1920 ppm/ 13.0' Zn: 1000 ppm/ 13.0'	-

ILE OPAWICA



 MINNOVA Inc. DIVISION EXPLORATION	
ILE OPAWICA PN-122	
FORAGES 1990 FIGURE 5	
Dessiné par: E.O.	Echelle 1" = 1250'
Revisé par: P.G.	
Date: JUL 1990	

TABLEAU 4

STATISTIQUES DE FORAGE (* = LONGUEUR FOREE SUR PN 122)

# TROU	STATISTIQUES							BUT DU FORAGE
	Localisation*			Orientation		Longueur(pieds)		
	Grille	Long.	Lat.	Azimut	Plongée	Totale	Analysée	
BY-28	B1	850E	1450S	152	-45	500*	26.5	Discontinuité mag EW nette dans syénite Opawica
BY-29	B1	0000E	1150S	110	-45	703*	260.8	Extension SW de la ZFE
OP-01		400W	2200N	282	-45	966	254.0	Discontinuités mag @ NNE près du pluton Opawica
OP-02		0000E	625N	235	-45	826	275.1	Zone A et anomalie mag positive
OP-03		950W	2500N	282	-45	786	180.4	Structure NNE possible dans syénite Opawica
OP-04		500W	985N	230	-45	954	275.1	Apophyse nord de l'anomalie mag positive
OP-05		600W	1550N	282	-45	836	274.4	Deux discontinuités mag @ NNE & contact gabbro-syénite
OP-06		800E	1330N	235	-81	1146	168.0	Extension en profondeur des zones aurifères A-B
OP-07		200W	1430N	235	-45	696	202.2	Extension NW zone aurifère B et unité sédimentaire nord
OP-08		700W	1150N	253	-45	943	620.8	Discontinuités mag @ NNE près du contact du pluton Opawica
OP-09		1600E	1140N	225	-70	1286	471.0	Extension en profondeur du côté sud de la zone B
OP-10		1000W	90N	288	-45	995	379.8	Apophyse de syénite et 2 structures NNE possible
OP-11		1600E	600N	210	-45	823	312.3	Extension SE de la zone aurifère B
OP-12		600W	1050N	243	-45	756	279.2	Continuité W de la zone OP-04
OP-13		400W	700N	234	-45	916	195.3	Continuité E de la zone OP-04
Total						13132	4174.9	

Le secteur des indices A-B a pour sa part été recoupé par 8 forages totalisant 7 403 pieds, soit 56% du total. Ceci inclut 3,951 pieds (4 forages, 30% du total) ayant pour cible la zone fortement magnétique et 3 452 pieds (4 trous, 26% du total) visant les extensions latérales et en profondeur des zones A-B.

Les analyses pour Au, Cu et Zn furent effectuées par le laboratoire de Minnova Inc., division Opémiska, à Chapais (annexe 1). Un total de 1413 échantillons furent analysés (excluant les parties des forages BV-28 et 29 effectués sur la propriété LMC Boyvinet), ce qui donne 31.8 % de la longueur totale forée envoyée pour analyse. Les journaux de sondage avec résultats d'analyses, les plans et sections de forage apparaissent dans les annexes 2 à 6.

Les résultats de ces forages sont présentés par secteur dans les pages suivantes. Ces secteurs incluent i) le contact est du pluton Opawica et le pluton lui-même, ii) la zone aurifère A-B et iii) l'anomalie magnétique positive. Ces résultats seront interprétés dans la section 7 (Discussion).

Le programme de forage effectué n'apporta pas de changements majeurs quant à l'interprétation géologique de Girard (1990). La zone de contact propre du pluton Opawica ne semble pas particulièrement favorable mais deux zones minéralisées à l'intérieur du pluton pourraient être significatives. Un important halo de biotisation entoure le pluton Opawica, particulièrement dans l'unité de gabbro magnétique.

Les zones A-B ne semblent pas devenir plus importantes latéralement ou en profondeur d'après les forages, en nombre limité, qui y furent effectués. L'anomalie magnétique positive s'explique par un gabbro mélanocrate altéré particulièrement magnétique. L'aspect de cornéenne qui y avait été noté lors de la cartographie s'explique par une concentration variable en injections et imprégnations diffuses de feldspath-quartz. La minéralisation en Au à l'intérieur de cette anomalie magnétique semble être erratique.

GEOLOGIE

Pour chaque secteur, un sommaire de chaque forage effectué est présenté et les cibles qui y étaient visées sont expliquées. Puis les unités recoupées sont décrites en termes de composition minéralogique, de texture, de structure et de minéralogie des altérations et minéralisations qu'on y trouve.

CONTACT EST DU PLUTON OPAWICA

SOMMAIRE DES FORAGES

Les forages effectués dans ce secteur incluent BV-28, BV-29, OP-01, OP-03, OP-05 et OP-08.

Le forage BV-28 (tableau 5) avait pour but de sonder une discontinuité magnétique nette, orientée EW, à l'intérieur de la syénite du pluton Opawica. Le forage recoupa une syénite plutôt fraîche et sans intérêt à part un intervalle métasomatique métrique. Cet intervalle correspond à, et explique possiblement, la discontinuité magnétique (destruction de la magnétite par l'altération). A l'intérieur de cette roche métasomatique, un intervalle de 9.0 pieds titra 0.094 oz/t Au incluant 5.9 pieds @ 0.132 oz/t. Cette roche métasomatique pourrait définir une zone d'une certaine continuité.

Le forage BV-29 (tableau 6) avait pour cible l'extension sud de la zone de fracturation est (ZFE) définie sur la propriété adjacente à l'ouest. Une syénite peu altérée fut recoupée dans la majeure partie du forage, avec une zone métasomatique aurifère de puissance décamétrique coïncidant avec la localisation interprétée de la ZFE (0.015 oz/t Au sur 96.0 pieds).

Le forage OP-01 (tableau 7) avait pour but de sonder 2 discontinuités magnétiques NNE interprétées, près du contact est du pluton Opawica, de même que la zone de contact comme telle. Le forage recoupa la diorite porphyrique (biotitisée et foliée) encaissante et ensuite la zone de transition et la syénite du pluton Opawica. Une zone métasomatique métrique fut recoupée à l'intérieur de la diorite, une autre de puissance plurimétrique au contact supérieur de la zone de transition du pluton Opawica et une mince brèche hydrothermale à silice-dolomie-pyrite à l'intérieur de la zone de transition.

La première discontinuité NNE interprétée ne fut pas vraiment expliquée, la deuxième pourrait correspondre à la zone métasomatique du contact de la zone de transition. Tout l'intervalle compris entre les deux discontinuités NNE est plus fortement folié et biotitisé que les roches adjacentes. Les zones métasomatiques ne donnèrent pas de valeur aurifère significative. La meilleure valeur en Au se trouve dans un intervalle de diorite altéré en biotite et avec amphibole bleue tardive interprétée comme étant de la riebeckite.

Le forage OP-03 (tableau 8) avait pour but de sonder la syénite du pluton Opawica, plus particulièrement la possibilité de l'existence d'une structure NNE immédiatement à l'ouest de l'île Opawica sous le lac du même nom.

TABLEAU 5

FORAGE BV-28

Localisation: 8+50E, 14+50S		Pendage: -45°	Azimut: 152 °	
Intervalle (pieds)	Unité	Minéralisation	Notes	
0-30	Mort-terrain			
30.0-656.0	I2DMG-(CLCCSi)vSi	Abs.		
68.5- 75.3	M15#+HMAKSi(CC) vSiCL	Tr.-1% PY	0.007optAu/6.8'	
154.8-174.5	M15#+SiCCPYvCL	0.5-2% PY	0.132opt/5.9'	
656.0	Fin du trou			

TABLEAU 6

FORAGE BV-29

Localisation: 0+00E, 11+50S		Pendage: -45°	Azimut: 110°
Intervalle (pieds)	Unité	Minéralisation	Notes
0-20	Mort-terrain		
20.0-1296.0	I2D(MG)(-)#(SiCC) (CL)vSi(CL)vCC(CL)	Absente	
498.5-538.4	I2D(MG)(#)SiHM	Absente	
538.4-572.1	I2D(MG)#Si(CC) vCLCCvSi(CL)	Absente	
603.5-616.0	I2D(MG)(#)Si(CC)	Tr-0.5% PY	0.015 opt/96.0'
616.0-689.3	M15#+Si(HMCL)(PY) vCLCC	0.5-2% PY	
689.3-777.1	I2DMG-(#)(Si)/I2D (MG)#+SiHMvCLCC	Tr.-0.5% PY	0.036 opt/4.1'
880.5-1136.4	I2D(MG)-(#)	Absente	
1296.0	Fin du trou		

TABLEAU 7

FORAGE OP-01

Localisation: 4+00W, 22+00N		Pendage: -45°	Azimut: 282
Intervalle (pieds)	Unité	Minéralisation	Notes
0-10.0	Mort-terrain		
10-677.0	I2Jm[.]FP(MG)=#SiCL BO(RB)vFP	Tr.-3% PY	0.099opt/4.1'
512.8-523.4	M15#+CCHM(DM?) (PY)vCL	Tr. PY	-
646.4-677.0	M15#+CCHMSiPYvCC	<3% PY	2e zone NNE?
677.0-744.2	{I2J1, I2Dm}(MG)	-	
705.8-707.6	M15/H\Si+DM+PY+	3-5% PY	0.012 opt/1.8'
744.2-966	I2DMG(#)(HM)vQZvCC	-	-
966	Fin du trou		

TABLEAU 8

FORAGE OP-03

Localisation: 9+50W, 25+00N		Pendage: -45°	Azimut: 282
Intervalle (pieds)	Unité	Minéralisation	Notes
0-30.0	Mort-terrain		
30-786.0	I2D(MG)(#)vQZvEP	-	
30-46.8	M15#HM+CC(SRCL) (PY)vCL	Tr. PY	-
205.6-217.8	M15#+Si(HMSRDM) (PY)vCLvQZ	<1% PY	0.044opt/2.1'
331.9-332.8	VCC(I4P)=CC+PY	>1% PY	-
414.9-420.4	I3?+=DM?(CL)	-	-
613.8-620.5	M15#+SiHM(PY)	>Tr. PY	0.051opt/6.7'
786	Fin du trou		

Plusieurs zones de roche métasomatique de puissance métrique furent recoupées. Un intervalle métrique constitué d'un dyke mafique fortement folié est également présent. Chacune de ces zones pourraient représenter la cible visée. Des valeurs fortement anomaliques en Au furent obtenues dans deux de ces zones.

Une veine de calcite carbonatitique décimétrique fut également recoupée.

Le forage OP-05 (tableau 9) fut foré dans le but de vérifier les deux mêmes discontinuités magnétiques au contact entre le pluton Opawica et l'encaissant.

Aucune des deux discontinuités magnétiques ne put être confirmée et aucune zone métasomatique ne fut obtenue. Ce forage, toutefois, est singulier par la coïncidence d'une forte concentration de biotite et d'injections de feldspath-quartz qui, lorsqu'assez fortement foliées, donnent à la roche un aspect gneissique. Une injection de calcite carbonatitique fut également recoupée.

Aucune intersection aurifère importante ne fut obtenue.

Le trou OP-08 (tableau 10) fut foré de façon à recouper l'extension sud des discontinuités magnétiques NNE, une zone magnétique complexe au début du trou et une apophyse présumée de gabbro dans la syénite (interprétation des données magnétiques). Le forage recoupa un gabbro biotitisé avec plusieurs dykes de granitoïdes puis enfin la syénite du pluton Opawica en fin de trou.

Le gabbro contient de fréquentes disséminations de sulfures (pyrite, pyrrhotite et chalcopyrite). La syénite contient des traces de pyrite disséminée. Les deux lithologies donnèrent des intersections aurifères centimétriques à métriques à teneur subéconomique. L'intersection dans la syénite est affectée par un fort effet pépité puisque l'analyse initiale de 1.09 oz/t Au donna 0.008 et 0.037 sur deux séries de 5 réanalyses effectuées sur la pulpe et le rejet, respectivement. La moyenne des 11 analyses est donnée dans le tableau 10 ci-bas.

L'apophyse de gabbro ne fut pas confirmée. S'agirait-il d'un halo magnétique secondaire à l'intérieur de la syénite? L'examen des carottes n'y montra pas un magnétisme plus élevé.

Le forage OP-10 (tableau 11) avait pour cibles l'apophyse de syénite du côté sud-est du pluton Opawica et les deux structures NNE proposées.

TABLEAU 9

FORAGE OP-05

Localisation: 6+00W, 15+50N		Pendage: -45°		Azimut: 282	
Intervalle (pieds)	Unité	Minéralisation	Notes		
0-10.0	Mort-terrain				
30-363.0	I2J[.]FP=#CL(SiBO) vFPQZ ± M1	-			
160.9-234.2	CL+BO(RB)	<0.5%	PY		
215.5-215.9	VCC(I4P)/\	-			
276.0-294.7	BO+(CL)vFPQZ	-			
327.0-363.0	I2D[+]FP(#)	-			
363.0-449.7	I2Jm(MG)(BO)vFPQZ I3A#CL(CC), I1A	> Tr.	PY		
449.7-836	I2D(#)(HM)	-		0.009opt Au/	1.5'
481.3-483.5	{I4N}?[.]ST? BOCCvCC	-			
493.8-507.5	M15#+HM(SiSR)	> Tr.	PY	0.006opt Au/	1.9'
674.4-692.2	M15#+HM+CC(SiSR)	< Tr.	PY		
723.7-755.2	M15#+HMSi(SRCL) vCC	-		0.007opt Au/	2.8'
836.0	FdT				

TABLEAU 10

FORAGE OP-08

Localisation: 7+00W, 11+50N		Pendage: -45°	Azimut: 253
Intervalle (pieds)	Unité	Minéralisation	Notes
0-18.0	Mort-terrain		
18-811.8	I3AMG(=)BOCLvFPQZ	Tr.-1% PY±PO,CP	-
18-489.3	(=)MGBO-BO+(PY) vABQZ	Tr.-1% PY	0.119optAu/4.5'
232.9-272.6	I2F(#)(CC)vQZ	Tr. PY	-
367.8-406.7	I2H	Tr. PY	-
489.3-811.3	(1)MGBOCL(PY) vFPQZ	< 5% PY	0.022opt/4.0'
586.2-612.7	[+]FPm, I2Dm	-	-
811.8-942	I2D(MG)	-	0.120opt/2.2'
943.0	FdT		

TABLEAU 11

FORAGE OP-10

Localisation: 10+00W, 0+90N Pendage:-45° Azimut: 288			
Intervalle (pieds)	Unité	Minéralisation	Notes
0-20.0	Mort-terrain		
20-415.1	I2H?(CLBO)	-	0.014optAu/4.9'
253.6-254.7	I4NMG[.]STBOCC	-	-
263.0-266.0	I4NMG[.]STBOCC	-	-
311.0-331.7	{I2Dm}?(CLBO)	-	-
415.1-995	I2D(MG)	-	0.033optAu/2.7'
468.5-507.0	#CL(SRSiHM) PYvCC	> 1% PY	-
478.0-478.6	VCC(I4P)?PY	1-2% PY	0.27optAg/0.6'
529.2-559.4	#(SiHMSR)vCC	Tr. PY	-
559.4-586.0	(LX)#+Si(CCCLBO) VRB(QZCLBO)	-	-
602.1-636.3	MG(#)(CL) à CL vCC	-	-
732.0-823.8	M15#+SiHMSR {CCCL}{PY)vABvQZ	Tr. -0.5% PY	-
995.0	FdT		

Le forage recoupa l'encaissant monzodioritique et la syénite du pluton Opawica tel que prévu. Une zone métasomatique non aurifère, de puissance décamétrique, fut obtenue dans la syénite. Celle-ci est située à l'ouest des deux discontinuités magnétiques, qui, encore une fois, ne purent être expliquées par le forage.

DESCRIPTIONS LITHOLOGIQUES

L'encaissant du pluton Opawica est constitué de diorite? porphyrique à feldspath (partie nord) ou de gabbro magnétique (partie centrale) texturellement complexes dû aux effets du métamorphisme de contact. Dans le coin SE du contact du pluton Opawica, l'encaissant est une monzodiorite. Le gabbro est le même que celui de la zone d'indices A-B et les descriptions ne seront donc pas répétées ici.

Le faciès mafique de bordure du pluton Opawica (zone de transition) est variable en termes de composition et de texture mais distinct de l'encaissant. La syénite Opawica est à texture équi-granulaire hypautomorphe à xénomorphe. Plusieurs injections centimétriques à décimétriques de calcite carbonatitique furent notées.

Diorite porphyrique à feldspath

La diorite porphyrique est de couleur vert foncé, constituée d'environ 10-20% de phénocristaux de feldspath blanc millimétrique à submillimétrique hypautomorphe à xénomorphe (xénocristaux? dans OP-01) dans une matrice fine felsique à intermédiaire variablement altérée. La roche est faiblement ou non magnétique. Quelques xénolithes mafiques centimétriques à subcentimétriques sont observés dans OP-05.

Des injections millimétriques et subparallèles formées de feldspath - quartz à texture phanéritique (injections dérivées du pluton Opawica?) sont abondantes, particulièrement dans OP-05 où elles forment jusqu'à 50 % de la roche. Ces injections sont parallèles à la foliation mais peuvent localement être plissotées. Elles sont précoces, étant recoupées par toutes les phases de veinules observées. Elles sont aussi localement altérées en silice, calcite ± hématite.

La diorite est foliée de façon évidente. Cette foliation s'exprime par un alignement minéralogique, soit des plans chloriteux de la matrice et l'aplatissement des grains de feldspath qui deviennent de plus en plus flous. La foliation est irrégulière et anastomosée, généralement à espacement millimé-

trique, sauf dans les intervalles intensément foliés où elle passe à submillimétrique. La roche demeure toutefois cohérente.

Dans OP-05, la diorite présente plusieurs intervalles décimétriques avec une structure gneissique définie par l'alternance de bandes mafiques et felsiques (injections de feldspath-quartz) millimétriques à submillimétriques. Cette texture est interprétée comme étant le résultat d'une déformation particulièrement intense et de la recristallisation, dans une diorite à fort pourcentage d'injections de feldspath-quartz, dû au métamorphisme de contact.

La fracturation est d'intensité au moins moyenne. Ces fractures sont du type stockwork avec plusieurs générations de veinules. Les enveloppes d'altération associées à cette fracturation, lorsque suffisamment denses, forment une roche métasomatique. La fracturation est superposée à la foliation et succède donc à cette dernière.

La diorite, dans la plupart des intervalles, est moyennement altérée de façon diffuse en silice et chlorite avec carbonatation (calcite, localement dolomie-ankérite) locale diffuse ou contrôlée par la fracturation. Cette altération en silice-chlorite semble effacer la foliation, et lorsque suffisamment intense, oblitère la texture intrusive (OP-05). Les carbonates de fer détruisent la magnétite. La dolomie forme parfois des enveloppes autour de veinules de calcite-hématite. Des veinules de quartz tardives recoupent ces enveloppes (OP-01). Ailleurs, des veinules de dolomie recoupent la roche hématisée et les veinules de chlorite recoupent les veinules de dolomie. La proportion variable de silice et chlorite dans la matrice donne un aspect leucocrate à mélanocrate à la roche. Les minéraux mafiques sont généralement remplacés par chlorite-calcite, mais localement la séricite remplace cet assemblage (OP-01).

La diorite est biotitisée mais l'importance de cette altération est souvent difficile à évaluer parce que cette biotite est très finement disséminée dans la matrice. Là où la biotite est sous forme de porphyroblastes, souvent en association avec une forte concentration d'injections millimétriques de feldspath-quartz, elle constitue de 7-20% de la roche. La biotite est rarement rétrogradée par la chlorite tardive (OP-05).

Plus localement, on observe des veinules d'épidote, de la riebeckite bleue et des zones fortement ankéritisées ou dolomitisées non magnétiques. Les veinules de calcite, épidote et chlorite déplacent et succèdent donc aux injections de feldspath-quartz.

La minéralisation est généralement absente mais localement il y a de traces à 3% pyrite très fine disséminée sur des intervalles centimétriques à décimétriques.

Monzodiorite

La monzodiorite, de couleur grisâtre, est une unité de puissance décamétrique à hectométrique formant l'encaissant du pluton Opawica dans son extrémité sud-est. Sa texture est équigranulaire moyenne, hypautomorphe, définie par environ 40-60% feldspath blanc à rosé et 40-60% hornblende? trapu à allongé fin hypautomorphe à xénomorphe. La proportion de feldspath semble augmenter vers le contact avec la syénite Opawica.

Aucune foliation n'est développée et la fracturation est absente à localement faible. L'altération est variable. Tantôt la minéralogie est primaire, tantôt la coloration plus grisâtre est le résultat de la chloritisation et biotisation des minéraux mafiques. Quelques intervalles avec veinules de quartz, silicification et veinules de riebeckite? ainsi que des veinules d'épidote en plans submillimétriques à subcentimétriques anastomosés sont notés localement.

Pluton Opawica - Zone de transition

Le faciès externe du pluton Opawica forme une zone de transition décamétrique à contacts graduels dont la composition tend à être intermédiaire entre la syénite et l'encaissant mafique. Cette zone de transition fut intersectée dans OP-01 et 05 et n'était pas définie dans OP-08 ou OP-12.

Dans OP-01, la roche est caractérisée par une augmentation de la proportion de feldspath dans la diorite encaissante, atteignant 40-70% de phénocristaux millimétriques hypautomorphes à xénomorphes avec minéraux mafiques fins interstitiels. Quelques intervalles de composition syénitique furent notés. Dans OP-05, l'unité est plus hétérogène, constituée de 30-40% de diorite à injections de feldspath-quartz, 20-30% de microgabbro équigranulaire fin et 10-30% de dykes et injections centimétriques à décimétriques de granite à feldspath alcalin. Ces dykes sont à texture équigranulaire à grains moyens, constitués de 30-40% de quartz 1-2mm interstitiel à 40% feldspath hypautomorphe à xénomorphe millimétrique avec environ 20% minéraux mafiques fins. Il y a des bordures de trempe millimétriques faiblement définies.

La foliation est généralement absente dans la zone de transition. La fracturation du type stockwork est omniprésente, surtout remplie de veinules de calcite submillimétriques avec enveloppes millimétriques d'altération en chlorite vert foncé.

L'altération est variable, avec chloritisation de la matrice et localement altération diffuse en calcite. Les dykes granitiques décrits ci-haut ne sont pas altérés. Il existe des intervalles centimétriques à décimétriques bréchiques (OP-01) avec

fragments siliceux dans une matrice dolomitique. Une zone métasomatique fortement fracturée, de largeur métrique, avec altération moyenne en calcite, hématite et silice se trouve au contact supérieur de l'unité de transition (OP-01). Ce même forage inclut aussi une brèche hydrothermale à fragments silicifiés dans une matrice dolomitique.

La minéralisation n'est notée que dans les intervalles de brèche dolomitique (3-5% pyrite fine) et la zone métasomatique de contact qui contient généralement 1% pyrite fine disséminée. Des traces de pyrite sont présentes dans le microgabbro de OP-03.

PLUTON OPAWICA - SYENITE

La syénite Opawica est de couleur rose-orangé pâle constituée d'environ 65-75% lattes jointives de feldspath hypautomorphe à xénomorphe, environ 20-30% minéraux mafiques (pyroxène ou hornblende) partiellement chloritisés et épidotisés avec environ 5% de matrice aphanitique interstitielle et/ou quartz. Le feldspath et les minéraux mafiques définissent une texture équigranulaire moyenne avec faible développement d'une texture trachytique. Plusieurs phénocristaux de feldspath démontrent une zonation multiple régulière, il s'agit donc probablement en partie de plagioclase. Plusieurs xénolithes mafiques à texture microgrenue sont observés, parfois avec une couronne d'assimilation. La roche peut être faiblement magnétique. Une injection décimétrique de calcite carbonatitique pyritisée fut notée (OP-10).

La syénite n'est pas foliée. La fracturation y est absente (OP-10) ou faible à moyenne, définie par des veinules de quartz gris foncé de type stockwork, des veinules de chlorite de type stockwork et des veinules submillimétriques de calcite recoupant les premières. Quelques zones décimétriques avec fracturation intense très fine (inter- et intra-cristalline) furent observées dans OP-05 et 10.

L'altération est faible, caractérisée par la chloritisation, calcification ± épidotisation ± riebeckitisation des minéraux mafiques et l'hématisation du feldspath avec leucoxène local. Dans certains intervalles plus fortement altérés, la séricite remplace partiellement ou totalement les agrégats de chlorite-calcite-épidote définissant les minéraux mafiques originaux (OP-03). Dans OP-03, il existe des intervalles métriques de syénite grise caractérisée par une forte densité de veinules de quartz en stockwork avec enveloppes de silice-chlorite parfois bleutée. Ces intervalles silicifiés contiennent parfois quelques % de leucoxène fin. Il y a aussi des intervalles métasomatiques, de puissance métrique, altérés en silice, en séricite, en hématite et dolomie (OP-03, 05 et 10) et en riebeckite (OP-10). Des zones métriques de stockwork très fin

d'épidote? sont également observées. Des veinules de calcite recourent des veinules de quartz gris foncé. La silicification semble effacer la teinte rouge due à l'hématisation.

Plusieurs brèches hydrothermales furent observées; celles-ci sont généralement de type "in-situ", avec fragments angulaires de syénite hématisée dans une matrice hydrothermale chloriteuse. La syénite silicifiée, hématisée et calcifiée est recoupée par des veinules de chlorite \pm calcite.

La minéralisation est peu abondante, avec des traces de pyrite fine à moyenne dans des veinules de chlorite formant des plaquages de fractures et jusqu'à 2% de pyrite disséminée dans les intervalles de syénite métasomatisée.

Lamprophyres ultramafiques et injections carbonatitiques:

Quelques dykes de lamprophyre ultramafique de puissance centimétrique furent recoupés dans OP-10. Ce sont des dykes de couleur brun foncé constitués d'environ 10-15% phénocristaux mafiques trapus arrondis submillimétriques (olivine serpentinisée?), 5-10% phénocristaux blancs très fins (feldspath?) dans une matrice phanéritique fine constituée de biotite, calcite et magnétite.

Des injections carbonatitiques centimétriques furent recoupées dans OP-03, OP-05 et OP-10, tant à l'intérieur du pluton Opawica que dans la roche encaissante. Ces injections sont caractérisées par une texture intrusive qui les distingue des veines de calcite hydrothermales et une granulométrie plus fine que les dykes de carbonatite tels qu'on les retrouve à la mine Lac Shortt. Les injections de calcite carbonatitique contiennent environ 1% pyrite fine disséminée.

EXTENSION DES INDICES A-B

SOMMAIRE DES FORAGES

Les forages dans ce secteur incluent OP-06, 07, 09 et OP-11.

Le but du forage OP-06 (tableau 12) était de sonder en profondeur les zones aurifères A-B. La zone B1 était attendue vers 740', la zone LB1 à 840' et la zone A à 930'.

Le forage OP-06 traversa des intercalations répétées de basalte porphyrique et de gabbro avec des unités mineures de tuf felsique. De nombreuses zones métasomatiques décimétriques à métriques à carbonate, silice et hématite et veines et veinules de quartz furent notées à l'intérieur d'une unité de basalte

TABLEAU 12

FORAGE OP-06

Localisation: 8+00E, 13+30N		Pendage:-81	Azimet: 235
Intervalle (pieds)	Unité	Minéralisation	Notes
0-2.0	Mort-terrain		
2.0-135.5	V3A[.]FP		
123.6-135.5	CC+(HM)		-
135.5-516.6	I3ASi(CL) ± I2Jm[.]FPSi(CL)		0.037opt/3.0'
516.6-625.2	V3A[.]FPAB+SivCC		-
612.7-625.2	V1\ac	Tr.PY	-
625.2-659.6	I3AvCC		-
659.6-1146.0	V3A[.]FPAB+	tr.-5% PY	-
684.0-690.0	(CL)	< 5% PY	-
733.0-741.2	HMCB/vQZ	Tr.-1% PY	-
777.1-780.3	M15HMCBCC (B1?)	2% PY	0.018opt/3.2'
892.8-925.3	I2Jm[.]FPSi(CL)		-
925.3-933.5	M15CCCBHM/VCC		-
933.5-946.8	(=)CL	1% PY	-
1007.6-1014.5	{CBHM}+VQZ (A?)	1-2% PY	0.023opt/6.0'
1146.0	Fin du trou		

porphyrique à feldspath. Les deux zones ayant donné des valeurs anomaliques en Au sont partiellement bréchiques et s'apparentent donc en termes de composition et texture aux zones A-B; il s'agirait possiblement des zones aurifères B1 et A.

Le forage OP-07 (tableau 13) avait pour but de sonder l'extension NW des zones B et l'horizon sédimentaire nord. Ces zones étaient attendues à 280' (B1) et 320' (LB1).

Le forage recoupa une série d'unités répétées de gabbro et andésite basaltique avec quelques intervalles ou unités métriques à décimétriques de roche sédimentaire ou pyroclastique. Un intervalle de basalte andésitique altéré titra 0.295 oz/t sur 3.9'. Visuellement, cette zone ne ressemble pas aux zones du type A-B. Aucune autre minéralisation aurifère significative ne fut obtenue. L'unité clastique ou pyroclastique avec lamines et lits de sulfure massif à semi-massif est anomalique en Cu et Zn.

Le forage OP-09 (tableau 14) avait pour cible l'extension en profondeur du côté sud de la zone aurifère B et une zone d'anomalies géochimiques en surface près d'une enclave de formation de fer. Les zones B étaient attendues entre 820 et 1300 pieds.

Le sondage recoupa une unité de gabbro et leucogabbro et ensuite une unité de basalte porphyrique avec environ 30% de dykes métriques à décimétriques de diorite à phénocristaux de feldspath (\pm quartz).

Une seule zone minéralisée aurifère du type A-B fut obtenue vers la fin du forage. Les meilleures teneurs en Au furent de faibles anomalies dans le basalte et les dykes porphyriques.

Le forage OP-11 (tableau 15) fut effectué dans le but de sonder l'extension SE de la zone aurifère B. Il était prévu que la zone B2 serait intersectée vers 310', la zone LB2 à 360'. Aucune zone du type A-B ne fut obtenue, indiquant que les zones minéralisées sont de continuité limitée ou encore que leur orientation est autre qu'interprétée (direction NW, pendage 45° vers le NE).

DESCRIPTIONS LITHOLOGIQUES

Les forages du secteur A-B recoupèrent une série d'unités mafiques volcaniques et intrusives incluant des basaltes andésitiques à phénocristaux de feldspath, des gabbros, des dykes de diorite? porphyrique à feldspath et des dykes de lamprophyre. Les forages OP-06 et 07 contiennent des intervalles de tuf et/ou roches clastiques fines siliceuses à structure litée, avec des bandes de sulfure semi-massif à massif. De nombreux dykes felsiques y furent également trouvés.

TABLEAU 13

FORAGE OP-07

Localisation: 2+00W , 14+30N		Pendage:-45	Azimut: 235	
Intervalle (pieds)	Unité	Minéralisation	Notes	
0-52.0	Mort-terrain			
52.0 -85.9	V1\ /a#(PY)vCC	Tr.-1% PY	-	
71.4 -85.9	M15#CBCC(SiCL)	Tr.-2% PY	0.015optAu/1.7'	
85.9 -108.9	I3A#)(CL)	Tr. PY	-	
108.9 -148.0	V3A(MG)#)vCC	Abs.-Tr. PY	-	
148.9 -164.0	I3A(MG)#)(CL)vCC	Tr. PY	-	
164.0 -193.6	V3A(MG)#)(Si)vCC	Tr. PY	0.045opt/1.2'	
193.6 -257.8	I3A#)CLvCC	Abs.-Tr. PY	-	
257.8 -318.0	S4(\ /?)	Tr.-3% PO,PY	1171 Cu, 279 Zn	
271.0-280.3	PO90	90% PO	(ppm/24.9')	
318.0 -441.0	I3A#)(CLSi)	Tr. PY	-	
345.5-351.0	S4	Abs.	-	
441.0 -494.2	V3A?#Si+(CL)	Tr.-2% PY	0.295optAu/3.9'	
494.2 -696.0	I3A(MG)#)(CLBO) vCC	Tr.- 2% PY,PO	-	
696.0	Fin du trou			

TABLEAU 14

FORAGE OP-09

Localisation: 16+00E, 11+40N		Pendage:-70	Azimut: 225	
Intervalle (pieds)	Unité	Minéralisation	Notes	
0-20.0	Mort-terrain			
20.0- 226.2	I3A(CLSi)	Tr.-2% PY.	-	
190.8-226.2	I3A1	Tr.-1% PO.	-	
226.2-1286.0	V3A[.]FP(CLSi)	Abs.	0.081optAu/2.3'	
	30%I2J[.]FP(AMMG)	Abs-0.5% PY	0.024optAu/2.6'	
	(SiCLHM)			
507.6-566.3	(HM)	Abs.-1%PY.,PO.	-	
737.0-752.6	V\c?V3A?	Abs.	-	
1286.0	Fin du trou			

TABLEAU 15

FORAGE OP-11

Localisation: 16+00W, 6+00N Pendage:-45 Azimut: 210			
Intervalle (pieds)	Unité	Minéralisation	Notes
0-20.0	Mort-terrain		
20.0-785.0	I3A(MG)CL(Si)(PY)	Tr.-0.5% PY	0.046optAu/1.3'
171.0-215.0	MG	1% PY+PO	-
247.4-247.6	VCCI4P?HM	-	-
256.6-271.3	#CC(DM)CLSi?vFP vCLvQZvCC	Tr.PY	-
480.6-481.2	I4N(MG)CC+BO	-	-
556.9-606.6	40% /A\	Tr.PY	-
579.2-604.5	M15, 20% =+	Tr.-4%	0.018optAu/2.1'
606.6-785.0	/A\MG(CL)	Tr.PY	-
628.9-629.3	VCCI4P?PY(HM)	1% PY	-
653.3-673.6	I2Jm[.]FP(CL Si)	Tr. PY	-
700.1-712.2	I3?[.]AM(FPCL)	-	-
892.2-916.0	I3A(MG)(CL)(BO)	Abs.	-
785.0-823.0	V3AMG(#)CL(CC)vCC	Tr.-1%	-
916.0	Fin du trou		

Les injections millimétriques de feldspath-quartz notées à l'ouest sont absentes ou peu abondantes dans ce secteur; elles apparaissent vers la fin du forage OP-09. La biotitisation est importante dans OP-06, 07 et 09 mais sa distribution semble plus localisée, diminuant en concentration vers l'est. Le forage OP-11 est davantage caractérisé par la chloritisation que la biotitisation.

La foliation est faiblement développée ou absente dans ce secteur. Quelques zones foliées de puissance métrique à décimétrique furent recoupées dans OP-09 et OP-11.

Basalte

Les unités de basalte sont de couleur gris foncé, à granulométrie variable mais fine. La texture est hétérogène avec ~ 40% passages centimétriques à décimétriques contenant de 0-20% phénocristaux de feldspath trapus (<3mm). La roche est parfois faiblement (OP-07) à moyennement magnétique (fin de OP-11). Le basalte peut aussi être aphanitique sur des intervalles métriques à décimétriques. Les intervalles décimétriques siliceux laminés à l'intérieur de cette unité furent interprétés comme étant des roches pyroclastiques felsiques. Ces intervalles démontrent une polarité possible vers le nord-est.

Les basaltes sont en général non foliés ni fracturés. La roche possède un aspect silicifié très prononcé (OP-07). La chloritisation est variable, surtout d'intensité faible (OP-07) ou moyenne (OP-11). Les zones fortement lessivées (albitisées) de façon irrégulière, formant jusqu'à environ 40% de la roche, semblent caractériser cette lithologie. Ces zones lessivées effacent la biotitisation. Dans OP-09, ces zones lessivées diminuent en concentration pour finalement disparaître à la fin du forage. Des zones calcitiques ou épidotisées sont souvent associées à l'altération albitique. Dans OP-06, on observe des fractures à bordures hématisées recoupant les zones albitisées.

Localement, des intervalles irrégulièrement altérés en carbonate et hématite avec veinules de calcite, calcite-quartz et calcite-quartz-albite sont notés. On peut également observer la présence de riebeckite (OP-07), formant localement jusqu'à 5-10% de la roche (fin de OP-06). La couleur foncée est au moins localement due à la présence de biotite très fine dans la matrice. Dans OP-06, on observe jusqu'à plus de 10 % de biotite.

La minéralisation est peu abondante. Il y a jusqu'à 5% pyrite ± pyrrhotite fine à moyenne surtout disséminée sur quelques intervalles submétriques, avec quelques passages de veinules de pyrite et/ou pyrrhotite (OP-07). Plusieurs zones pyriteuses correspondent aux zones d'altération en carbonate et hématite.

Gabbro

Le gabbro est mélanocrate avec des intervalles métriques à décamétriques plus leucocrates (OP-09), de couleur vert foncé grisâtre, à texture phanéritique fine à moyenne homogranulaire. La texture intergranulaire est définie par le feldspath (< 25%) en lattes jointives et minéraux mafiques xénomorphes interstitiels. La texture est parfois floue (OP-07, 09). Dans OP-09, il y a environ 2 à 5% d'ilménite. La roche est généralement massive, non foliée et faiblement fracturée, la fracturation étant définie par de minces veinules irrégulières de calcite. Quelques zones de déformation décimétriques sont notées, formant alors des schistes à chlorite-pyrite.

L'altération est limitée à quelques passages calcitiques et chloriteux avec épidotisation locale et à de nombreux passages décimétriques à métriques métasomatiques à dolomie et/ou calcite ± silice (OP-09). La roche semble avoir subi une silicification et chloritisation très pénétrante (recristallisation?). On note également environ 2% de veinules de calcite et calcite-épidote-hématite. Plus rarement, on retrouve des veinules d'albite, d'épidote, de feldspath, de chlorite, de quartz et de calcite. Un lessivage (épidote-albite ± chlorite) forme des enveloppes d'altération autour de fractures submillimétriques. Des passages centimétriques à décimétriques fortement biotitisés, avec 10-20% biotite millimétrique, sont présents à la fin de OP-06 et OP-07.

Dans OP-11, un intervalle métasomatique métrique contient divers faciès d'altération incluant calcite-épidote, dolomie-silice, chlorite et carbonate-hématite, souvent avec plusieurs % d'injections de feldspath-quartz.

La minéralisation est peu abondante, atteignant 2% pyrite localement, en association avec les veinules de calcite-quartz et les intervalles submétriques carbonatés et 5-15% pyrite en agrégats, bandes et veinules dans les zones de déformation. On note jusqu'à 4% pyrite dans l'intervalle métasomatique de OP-11.

Diorite porphyrique à feldspath

Les dykes de diorite? porphyrique à feldspath sont de couleur gris-vert foncé et constitués d'environ 10-40% phénocristaux de plagioclase millimétrique automorphe et souvent zoné, 1-15% phénocristaux d'amphibole et environ 50-75% de matrice fine siliceuse et chloriteuse. On observe parfois une bordure de trempe centimétrique au contact avec le gabbro (OP-06). Quelques enclaves centimétriques de roche mafique sont présentes.

La roche est massive, non déformée. L'altération est difficile à évaluer dû à la granulométrie très fine de la matrice mais cette dernière semble avoir été moyennement silicifiée et chloritisée. Quelques intervalles centimétriques de cette roche sont variablement mais jusqu'à fortement altérés en carbonate et hématite avec veinules de calcite. Un de ceux-ci constitue un intervalle de roche métasomatique rouge d'échelle métrique avec veine de calcite incluant des fragments de la roche métasomatique. L'altération rouge (hématite et feldspath) efface et succède donc à la chloritisation de la matrice de cette unité.

La minéralisation est peu abondante dans ces dykes, atteignant rarement 1% pyrite en association avec les zones carbonatées (OP-09).

La fracturation y est surtout définie par de minces veinules de calcite et de veinules très irrégulières de quartz et/ou épidote ainsi que des veinules de chlorite.

L'altération de cette unité est modeste, possiblement avec faible chloritisation diffuse. La minéralisation est peu abondante, généralement limitée à des traces atteignant localement 2% pyrite irrégulièrement disséminée. La fin de l'unité progresse vers un intervalle métrique de roche métasomatique de couleur beige verdâtre à beige rougeâtre moyennement altérée en carbonate et faiblement en silice et chlorite. Cet intervalle métasomatique contient jusqu'à 2% pyrite très fine.

Dykes felsiques

Les dykes felsiques sont de puissance centimétrique à décimétrique. Ils sont de couleur variable, orangée à rosée à blanchâtre, à texture phanéritique fine à moyenne mais généralement floue, constitués d'environ 10% minéraux mafiques généralement submillimétriques et xénomorphes, environ 30-70% feldspath flou hypautomorphe à xénomorphe, moins de 20% quartz mal défini et/ou interstitiel et jusqu'à 40% matrice ou minéraux felsiques fins très flous. Les contacts sont généralement nets, quoique parfois irréguliers.

Ces dykes sont non foliés et faiblement à moyennement fracturés. La fracturation, de type stockwork, est définie par des veinules submillimétriques irrégulières de calcite et de chlorite.

L'altération est variable, moyenne à faible en silice et carbonate, faible en hématite, avec quelques % de taches épidotisées dans certains dykes. On note ci et là des grains fins à moyens de pyrite disséminée et en microfractures.

Roche volcanoclastique

L'unité pyroclastique (ou sédimentaire?) est de couleur gris foncé, de composition felsique, localement avec des laminations millimétriques. Ces laminations sont souvent mal définies. La granulométrie de la roche est submillimétrique.

Cette unité contient plusieurs lits centimétriques à submétriques de sulfures semi-massifs; la pyrrhotine prédomine, avec pyrite et plus localement chalcopryrite et sphalérite. On observe également des veinules de sulfures remobilisés.

Lamprophyre et injections carbonatitiques

Les lamprophyres sont peu communs. Des dykes centimétriques à submétriques à biotite (25%-50%) < 4mm avec une matrice fine magnétique et calcitique furent recoupés dans OP-07, 09 et 11. Un dyke centimétrique dans OP-09 contient environ 30% de phénocristaux millimétriques d'olivine dans une matrice phanéritique fine calcitique. Les bordures y sont figées et les épontes chloritisées sur quelques millimètres.

Une injection centimétrique de calcite carbonatitique moyennement hématisée fut observée au début du forage OP-11.

ANOMALIE MAGNETIQUE POSITIVE

SOMMAIRE DES FORAGES

Les forages dans ce secteur incluent OP-02, 04, 12 et 13.

Le forage OP-02 (tableau 16) avait pour but de tester l'anomalie magnétique positive principale interprétée comme étant une cornéenne lors de la cartographie de 1989. Le forage recoupa un gabbro phanéritique moyennement magnétique à composition et texture variables. Des intervalles métasomatisés (silice-chlorite-carbonate ± hématite) avec sulfures disséminés furent notés. Le métasomatisme résulta en la destruction de la texture intrusive et est associé à des anomalies en Au.

Le forage OP-04 (tableau 17) fut foré à l'ouest de OP-02 dans le but de sonder la même anomalie magnétique positive. Le même gabbro magnétique, recoupé de dykes dioritiques porphyriques à feldspath, fut observé. Toutefois, dans OP-04 la biotisation est évidente et la riebeckite fréquemment observée alors que ces minéraux semblaient mineurs dans OP-02.

TABLEAU 16

FORAGE OP-02

Localisation: 0+00E, 6+25N				Pendage: -45°	Azimut: 235
Intervalle (pieds)	Unité	Minéralisation	Notes		
0-50.0	Mort-terrain				
50.0-826.0	I3AMG(♯)CL(Si)vCC	Abs.-Tr.	PY		
257.0-293.4	M15MG♯SiCL(CB?) vCC	Tr.-0.5%	PY	0.054opt/7.9'	
352.8-369.6	M15MG♯Si(PY)vCC	Tr.-1%	PY	0.062opt/10.7'	
436.7-461.4	I2J(MG)(♯)(SiCL) vQZ(HM)	Abs.		0.011opt/3.9'	
487.6-514.8	I3A1MG♯SiCLvFP	Tr.	PY, MG		
514.3-826.0	I3AMG(♯)CLSi/ I3A1MG(♯)(SiCL)/ I2J1♯	Tr.	PY		
826	Fin du trou				

TABLEAU 17

FORAGE OP-04

Localisation: 5+00W , 9+85N				Pendage:-45		Azimut: 230	
Intervalle Unité (pieds)				Minéralisation		Notes	
0-8.0		Mort-terrain					
8.0-953.5		I3AMGCL(Si)BO		Abs.-Tr. PY			
8.0 -501.7		I3AMG/A\(#)(CL) CLBO(Si)RB?		Abs. -			
68.2 -79.0		I2J[.]FP(=)(#)		Abs. -			
415.4-501.7		I3AMG#CL(Si)BO (PY)		Tr.-2% PY		0.275opt/4.1' & 0.152opt/6.1'	
501.7-953.5		I3AMGCL(Si)BO vFPQZ		Tr.-0.5% PY		0.050opt/9.6'	
953.50		Fin du trou					

Plusieurs zones variablement altérées en chlorite, silice, feldspath alcalin? et biotite avec de traces à 2% de sulfures disséminés donnèrent des valeurs aurifères potentiellement économiques, et ce dans un secteur non foré jusqu'ici.

Le forage OP-12 (tableau 18) sonde la continuité nord-ouest de la zone minéralisée obtenue dans OP-04. Le forage traversa les mêmes lithologies et fut arrêté dans une syénite quartzifère (dyke?). Des zones chloritisées avec biotitisation variable contenant jusqu'à 5% pyrite furent obtenues. Des teneurs économiques en Au furent obtenues sur des largeurs décimétriques.

Le forage OP-13 (tableau 19) sonde la continuité sud-est de la zone OP-04, recoupant un gabbro variablement chloritisé et biotitisé avec des imprégnations et veinules de feldspath-quartz irrégulières. Une zone métasomatique (pyritisée, magnétique, à chlorite-calcite) de largeur décamétrique fut obtenue. Celle-ci ne contenait toutefois pas de minéralisation significative en Au.

DESCRIPTIONS LITHOLOGIQUES

Lithologiquement, ce secteur est relativement monotone, constitué d'un gabbro dont la texture varie d'ophitique (30-40% de l'unité) à hypidiomorphe, microgrenu à homogranulaire moyen. Il est de composition mélanocrate à leucocrate, les intervalles plus leucocrates étant surtout au début et à la fin des forages, donc de part et d'autre de l'anomalie magnétique positive. Les variations en composition et texture sont graduelles.

Plusieurs dykes granitiques recoupent ce gabbro. Ces dykes furent décrits comme des diorite-monzodiorite, monzonite, syénite et syénite mélanocrate (OP-08 et 12). Les deux forages de l'extrémité ouest de ce secteur furent arrêtés dans une syénite qui pourrait être celle du pluton Opawica.

Gabbro ophitique

Le gabbro ophitique, une variante texturale relativement mineure, est de couleur vert foncé à noir (mélanocrate) et est constitué d'environ 15-30% bâtonnets de feldspath automorphes millimétriques entourés de minéraux mafiques hypautomorphes de granulométrie moyenne à fine. Le feldspath est souvent flou dû à l'altération. La roche contient jusqu'à 15% magnétite.

Cette roche n'est pas foliée. La fracturation est faible et surtout définie par une faible concentration de veinules de calcite, de quartz ou de feldspath.

TABLEAU 18

FORAGE OP-12

Localisation: 6+00W, 10+50N		Pendage: -45°		Azimut: 243	
Intervalle Unité (pieds)		Minéralisation		Notes	
0-14.0		Mort-terrain			
14-680.6	I3A(MG)CL(PY)	Tr.-5% PY		0.082optAu/6.5'	
				dont 0.103opt/3.5'	
177.8-235.0	I3A(MG)àMG(=)CL (BO)vFPQZ	Tr.-1% PY		En attente	
334.0-346.0	I2D?(MG)	-		En attente	
566.4-582.8	70% I2C?SivQZ	-		En attente	
599.5-611.2	I2C?SivQZ	-		En attente	
680.6-756	I2C?(MG)(HM)	-		En attente	
756.0	FdT				

TABLEAU 19

FORAGE OP-13

Localisation: 4+00W, 7+00N			Pendage:-45	Azimut: 245
Intervalle (pieds)	Unité	Minéralisation Notes		
0-6.0	Mort-terrain			
6.0-916.0	I3A(MG)(CL)	Abs.		
6.0 -119.0	/A\	Abs.		
119.0-227.7	I3A1(MG)FP+(QZ) BO?CL/I3AMGCLBO	Abs.		
227.7-268.8	M15MG(=)CL+CC (Si)	Tr.-2% PY.		
268.8-607.4	I3A1MGFP(QZ) (CL)(BO)/I3AMG CL(BO)	Abs.-Tr.PY.		
607.4-668.7	I2Fm(MG) (CL)	Abs.		
668.7-892.2	I3A1(MG)(CL)	Abs.		
892.2-916.0	I3A(MG)(CL)(BO)	Abs.		
916.0	Fin du trou			

L'altération est variable, caractérisée surtout par une chloritisation faible à moyenne. La texture intrusive de la roche s'efface graduellement avec l'accroissement de l'intensité de la chloritisation. La dureté de la roche suggère une faible silicification. Environ 5-15% de biotite fine secondaire, des traces de riebeckite et d'épidote sont localement présentes.

Il existe plusieurs zones métasomatiques à magnétite, silice, chlorite ± carbonate avec veinules de calcite où la texture intrusive est essentiellement oblitérée. Ces zones métasomatiques contiennent typiquement jusqu'à 0.5% pyrite, localement plus de 2% sur des intervalles décimétriques.

Des traces de pyrite et/ou pyrrhotite sont observées sur plusieurs intervalles. Dans un intervalle décimétrique plus fortement altéré, la minéralisation atteint 10-15% pyrite sur des intervalles submétriques (OP-04). L'examen détaillé de cet intervalle et de l'encaissant immédiat montre que le gabbro est assez fortement magnétique et biotitisé. La magnétite est abondante, formée de phénocristaux? de 1-3mm qui ont un aspect d'aggrégats de grains très fins. Ces grains de magnétite sont entièrement inclus à l'intérieur des minéraux mafiques chloritisés. La biotite est sous forme de fines paillettes remplaçant les minéraux mafiques et également formant des couronnes autour des grains de magnétite.

On observe une diminution de la proportion de la magnétite et de la biotite à l'approche de la zone minéralisée; les sulfures remplacent nettement la magnétite. Les altérations étroitement associées à la minéralisation sont la silice et/ou feldspath alcalin avec hématite mineure et la calcite tardive en microfractures et formant la matrice de microbrèches affectant cette dernière altération. Ces altérations effacent l'assemblage magnétite-biotite. Il semble donc fort probable que la minéralisation aurifère succède à la biotitisation.

GABBRO HOMOGRANULAIRE

Le (méso)gabbro homogranulaire, la variante texturale principale, de couleur vert foncé, alterne à une échelle décimétrique avec des intervalles à tendance leucocrate présents surtout au début et à la fin de l'unité. Ce mésogabbro est moyennement grenu et contient jusqu'à 60 % feldspath hypautomorphe à xénomorphe et environ 40-60% minéraux mafiques xénomorphes qui occupent plutôt les interstices entre les plagioclases. Le gabbro est moyennement à fortement magnétique avec jusqu'à 10% grains de magnétite fine (OP-08). Ce gabbro devient plus leucocrate près du contact avec le pluton Opawica dû en partie à la présence de masses plus ou moins diffuses de feldspath-quartz textuellement identiques aux injections décrites ci-bas.

La roche contient 0-25% d'injections millimétriques généralement régulières, parfois en agrégats phanéritiques plus ou moins diffus, de feldspath-quartz à texture intrusive. Ces injections sont subparallèles à la foliation, passant de subparallèles à subperpendiculaires à l'axe de la carotte, devenant irrégulières et plus abondantes en s'approchant du contact du pluton Opawica. Ce sont ces injections, particulièrement lorsqu'elles deviennent irrégulières et plus diffuses, qui donnent un aspect recristallisé à la roche, d'où le terme "cornéenne" donné lors de la cartographie.

Dans OP-12, des injections de feldspath quartz-recoupent un mince dyke de microgabbro. Elles semblent aussi recouper les plages de chlorite-biotite. Ces injections sont à leur tour recoupées par les veinules de calcite.

La foliation est généralement présente mais à intensité de développement variable, surtout faible à moyenne avec quelques intervalles intensément foliés. Une foliation gneissique est localement observée (OP-08 et OP-12). La foliation est irrégulière, définie surtout par les plans de chlorite et/ou les porphyroblastes de biotite submillimétriques à millimétriques. La fracturation est faible ou absente.

L'altération est variable dans cette unité. Celle-ci est surtout marquée par la chloritisation moyenne diffuse, avec biotitisation et magnétite associées, oblitérant plus ou moins la texture intrusive. La biotite, en association avec la magnétite, remplace la chlorite. La biotite (< 25%) est fraîche, brun foncé et de granulométrie fine. La magnétite associée est sous forme d'agrégats millimétriques granulaires fins formant jusqu'à 10% de la roche (OP-08). Il n'est pas clair si la magnétite est primaire ou secondaire: les agrégats ont souvent la forme de phénocristaux.

Généralement disséminée, la biotite semble localement être associée à l'altération contrôlée par la fracturation, c'est-à-dire qu'on la retrouve à l'intérieur des enveloppes d'altération autour de fines fractures mais non à l'extérieur de ces enveloppes dans la roche fraîche adjacente.

Des intervalles lessivés millimétriques, où la biotite est progressivement effacée (albitisation diffuse?), sont localement observés. Des zones calcifiées effacent la biotite.

Des veinules de silice-hématite recoupent l'albitisation et sont à leur tour recoupées par des veinules d'épidote. La riebeckite en taches et en veinules associées à la calcite, recoupent le tout (OP-02). D'autres intervalles contiennent des concentrations de veinules en stockwork de calcite et/ou épidote millimétrique. Plusieurs zones décimétriques avec altération

variable en calcite, chlorite, silice et épidote sont notés. La riebeckite peut être significative sur des intervalles décimétriques à métriques (OP-04, fin de OP-08). La riebeckite succède à et remplace la biotite de même que la chlorite précocce. Dans OP-12, la riebeckite est parfois associée à chlorite-épidote, formant des enveloppes d'altération autour de fines fractures. Quelques intervalles à épidotisation pénétrative du plagioclase (texture primaire préservée) furent notés dans OP-12, tant dans le gabbro que dans les veinules de feldspath-quartz. Une brèche hydrothermale à fragments altérés en silice-albite ± calcite fut notée dans OP-02.

Les veinules de calcite sont tardives, recoupant toutes les autres générations de veinules, sauf certaines veinules de chlorite dont les relations de recoupement contradictoires indiquent qu'elles sont essentiellement contemporaines. Certaines de ces veinules de calcite incluent aussi hématite-pyrite (OP-12) et sont entourées d'enveloppes de chlorite-calcite. D'autres veinules de calcite non minéralisées montrent des enveloppes de chlorite-riebeckite. De plus, la calcite remplit les microfractures à l'intérieur de certaines veines de quartz.

La minéralisation est variable mais fréquente. De nombreux intervalles avec traces à 1%, pyrite ± pyrrhotite ± chalcopryrite disséminées ressemblent parfois à des fragments arrondis, vaguement définis, de roche mafique enrichie en sulfures. Les sulfures semblent avoir été affectés par la déformation puisqu'on les retrouve parfois en aggrégats irréguliers subparallèles à la foliation. Au début du forage OP-12, la pyrrhotite semble remplacer la magnétite. Les intervalles carbonatés décrits dans le paragraphe précédant sont généralement minéralisés, avec > 1% sulfures.

DYKES INTERMÉDIAIRES

Les dykes monzonitiques, de puissance métrique, possèdent une texture phanéritique moyenne hypautomorphe hétérogranulaire. La roche est constituée de plagioclase et feldspath alcalin en proportions environ égales, d'environ 18% d'amphibole prismatique millimétrique, de quelques % de biotite, d'environ 5% de quartz et enfin d'environ 20% de matrice felsique fine. Quelques intervalles possèdent une texture phanéritique moyenne à grossière.

L'altération est généralement faible, avec quelques passages d'altération moyenne en calcite et quelques veinules de quartz (OP-08).

Les dykes de diorite-monzodiorite, à teinte gris pâle bleuté et rose, sont de puissance métrique. Leur texture est phanéritique moyenne homogranulaire, définie par environ 75% de

feldspath (plagioclase et feldspath alcalin) surtout automorphe, 18% d'amphibole avec environ 2% de biotite surtout interstitielle et environ 5% quartz interstitiel. Quelques enclaves de roche mafique sont présentes.

L'altération est limitée à une faible hématisation irrégulière, souvent sous forme de microfractures recoupant la roche. On observe des passages à teinte gris pâle (non hématisés) à texture plus floue avec faible alignement minéralogique (début de foliation?). Il semble y avoir une altération partielle locale de minéraux mafiques en riebeckite. La riebeckite est souvent associée à des veinules tardives de calcite.

Les dykes de syénite mélanocrate (I.C.>15), de puissance métrique, semblent être de même composition que les veinules et imprégnations de feldspath-quartz. Ces dykes ont une texture phanéritique homogranulaire à porphyrique et sont constitués d'environ 75% feldspath hypautomorphe rarement zoné, à texture interne composite (microcline ou perthite?), avec 10 à plus de 15% minéraux mafiques et moins de 10% quartz interstitiel. Ces dykes incluent localement quelques xenolithes centimétriques à millimétriques de microgabbro.

La roche est généralement ni foliée ni fracturée. L'altération est faible ou absente, avec une texture floue, quelques zones silicifiées et une chloritisation intense dans les zones de contact (OP-08).

Les dykes de syénite quartzifère de OP-12 sont de coloration rose pâle, à granulométrie moyenne, constitués d'environ 50% feldspath automorphe à hypautomorphe parfois zoné (plagioclase), 7% hornblende vert hypautomorphe à xénomorphe et environ 40% matière interstitielle fine à aphanitique felsique.

La roche est ni foliée, ni fracturée. L'altération est faible, avec quelques intervalles silicifiés, une faible chloritisation des minéraux mafiques et hématisation du feldspath et de la matrice. La minéralisation est généralement absente.

Quelques injections centimétriques de dykes felsiques à texture graphique (intercroissance de quartz et feldspath) furent également notés (OP-04).

SYENITE

La syénite de la fin du forage OP-08 fut traversée sur un intervalle décimétrique. Cette roche est de coloration rose pâle à rose orangé, à texture phanéritique hypautomorphe définie par environ 80% de feldspath millimétrique allongé à trapu plutôt flou dont certains exhibent une zonation multiple typique du

plagioclase, 10-12% hornblende? < 2mm avec quelques % de matrice felsique aphanitique et/ou quartz. A la fin du forage OP-12, la syénite est plus quartzifère, de composition identique aux dykes dans le gabbro encaissant.

Un alignement minéralogique primaire est localement vaguement défini (OP-08). Des xénolithes microgabbroïques arrondis, de dimension inférieure à quelques centimètres, sont observés à intervalles de quelques mètres ou moins.

La roche n'est pas foliée et la fracturation est faible à absente. L'altération est faible, les minéraux mafiques semblent frais. On note localement des traces d'épidote associée aux minéraux mafiques et une faible hématisation du feldspath.

La minéralisation est généralement absente, atteignant très localement 1-3% pyrite fine disséminée dans les intervalles décimétriques silicifiés.

MINERALISATION AURIFERE

GENERAL

Sur les 15 forages effectués, un total de 14 donnèrent des intersections de plus de 0.03 oz/t Au sur des intervalles de plus de 1.0 pied. Des intersections de plus de 0.10 oz/t sur plus de 1.0 pied furent obtenues dans 6 d'entre eux (annexe 5a et tableau 20). Les intersections en Au sont plutôt éparpillées et ne semblent pas définir des zones de minéralisation continue significative, avec l'exception possible des zones BV-28, 29 et OP-04.

Les meilleures intersections aurifères furent de 0.132 oz/t sur 5.9' dans BV-28, 0.275 oz/t sur 4.1' dans OP-04 et 0.295 oz/t sur 3.9' dans OP-07. Ces intersections sont localisées à l'intérieur de la syénite du pluton Opawica, dans le gabbro mélanocrate magnétique formant l'anomalie magnétique positive principale et dans un basalte andésitique au nord de l'anomalie, respectivement. Les caractéristiques géologiques des roches associées à ces intersections aurifères seront données, par secteur, ci-bas.

Il y a trois types principaux de minéralisation aurifère sur la propriété:

- i) Zones métasomatiques pyriteuses intensément fracturées altérées en silice, calcite et hématite ± séricite, chlorite, typiquement à l'intérieur ou près du pluton Opawica (zones BV-28, 29).

- ii) Zones métasomatiques pyritisées à silice, hématite, ankérite ± calcite, souvent avec veines de quartz bréchiques, associées à des zones de déformation dans le gabbro formant l'encaissant sud du pluton Opawica - type zones A-B.
- iii) Zones de pyrite, pyrrhotite ± chalcopryrite disséminées, en agrégats et veinules irréguliers dans le gabbro magnétique chloritisé et carbonatisé (calcite) formant l'anomalie magnétique centrale (zone OP-04).

Les teneurs en métaux de base sont généralement inférieures à 200 ppm en Cu et 100 ppm en Zn, les valeurs maximales étant de 6310 et 884 ppm, respectivement. Les teneurs en Cu sont élevées dans les gabbros magnétiques définissant l'anomalie mag et dans l'unité pyroclastique (sédimentaire?) du forage OP-07. Le Zn est surtout élevé dans la même unité clastique mais la valeur maximale provient d'un gabbro folié, chloritisé et pyritisé (OP-09).

Etant donné les faibles valeurs en Ag généralement obtenues dans la région sur des propriétés adjacentes, cet élément ne fut analysé que pour des échantillons spécifiques, particulièrement les injections calcitiques interprétées comme carbonatitiques. Lorsque carbonatitiques, ces injections contiennent environ 0.20 oz/t Ag, parfois avec teneur faiblement anormale en Zn.

Le tableau 20 liste les intersections de plus de 0.01 oz/t Au sur une épaisseur apparente de plus de 1.0 pied. Là où des réanalyses furent effectuées, la teneur moyenne est donnée dans le tableau ci-bas.

ZONE DE CONTACT DU PLUTON OPAWICA

Des zones métasomatiques variablement minéralisées furent obtenues dans BV-28 et 29, OP-01 et OP-10. Seuls BV-28 et BV-29 donnèrent des valeurs significatives en Au. Les zones métasomatiques aurifères à l'intérieur de la syénite (BV-28, 29) sont caractérisées par une fracturation (hydrothermale?) intense à extrême, une altération moyenne à forte en silice, hématite et calcite et un remplacement des minéraux mafiques par des agrégats de chlorite et calcite ou, dans les intervalles plus fortement silicifiés, par la séricite. Les veinules en stockwork de calcite, chlorite, quartz-albite etc sont communes. La minéralisation en sulfures y est peu abondante, atteignant rarement plus de 2% pyrite, mais les intervalles avec plus de trace à 2% pyrite contiennent généralement de la minéralisation en Au. Les teneurs sont surtout anormales (> 0.01 oz/t Au) à subéconomiques (< 0.15 oz/t Au) sur des largeurs métriques à décamétriques.

TABLEAU 20

INTERSECTIONS (Au) OBTENUES (FORAGE 1990)

NO TROU	LONG. (pi)	BUT DU FORAGE	RESULTATS				REMARQUES
			DE (pi)	A (pi)	TENEUR (Au oz/t)	LONG. (pi)	
BV-28	656	Sonder discont. mag nette @ EW dans syénite	94.0	95.7	0.019	1.7	M15(MG)Si(CC)
			158.0	167.0	0.094	9.0	M15#+SiCCPYvCL
			161.1	167.0	0.132	5.9	Idem.
			161.1	164.0	0.210	2.9	Idem.
BV-29	1296 (593)	Sonder extension sud de la ZFE (zone BV-10)	603.5	699.5	0.015	96.0	M15#+Si(HMCL)(PY)vCLCC-I2D
			630.5	635.4	0.051	4.9	M15#+Si+(HM)PYvCL - I2D
			719.9	724.0	0.036	4.1	I2D(MG)#Si(HMCC)vCCCLvQZAB
			732.0	736.0	0.015	4.0	Id.
			830.7	833.6	0.040	2.9	I2DMG(#)(SiCC)
			1255.5	1260.5	0.031	5.0	I2D(MG)#+Si+PY+vSiCCCL
			1268.0	1269.0	0.033	1.0	I2D#+Si+CCPY
OP-01	966	Sonder 2 discont. mag nettes près du contact est du Pluton Opawica	50.8	52.8	0.097	2.0	M15#=DMHMvCB - I2Jm[.]FP
			469.7	473.8	0.099	4.1	30%#CL+CCvHM(PY) - I2J etc
			705.8	707.6	0.012	1.8	M15/H\Si+DM+PY+
OP-02	826	Sonder forte anomalie mag et zone A	80.6	81.6	0.014	1.0	/\SiAB(CC)PY - I3AMg
			190.8	192.1	0.022	1.3	I3AMG(#)(SiCL)PY
			257.0	261.0	0.034	4.0	I3AMG(#)(SiCLCC)(PY)
			271.7	279.6	0.054	7.9	I3A(MG)#+Si+CLCB?PYvQZAB
			311.4	314.9	0.045	3.5	M15MG#SiCL(CCHM)PYvCC - I3A
			355.1	365.8	0.062	10.7	I3AMG(#)(CLSiPYvCC
			483.7	487.6	0.011	3.9	M15(MG)#+Si(CLCCHM)(PY)vQZ
			568.4	571.0	0.048	2.6	M15(MG)#+SiCL(HM)(PY)vQZAB
			663.9	666.9	0.012	3.0	I3A(MG)#+Si(CL(PY)vCCvQZvCL
			718.3	719.4	0.214	1.1	I3AMG#Si+CLPY+VQZ

TABLEAU 20

SUITE

INTERSECTIONS (Au) OBTENUES (FORAGE 1990)

NO TROU	LONG. (pi)	BUT DU FORAGE	RESULTATS				REMARQUES
			DE (pi)	A (pi)	TENEUR (Au oz/t)	LONG. (pi)	
OP-03	786	Sonder structure NNE possible dans syénite Opawica	46.8	48.7	0.014	1.9	I2D#+HMM(CCCL)vCL
			141.3	144.4	0.017	3.1	I2D#+CCSi(HM)(PY)vCL
			210.4	212.5	0.044	2.1	I2D#+Si(HMCC)(PY)
			364.2	365.3	0.015	1.1	I2D#+Si+(SR)PY+vQZ
			613.8	620.5	0.051	6.7	I2D#+SiHMM(SR)(PY)vQZvCL
OP-04	954	Sonder apophyse nord de l'anomalie mag positive	417.9	427.2	0.137	9.3	I3A(MG)#+SiCL(CCBO)PY++PO
			417.9	422.0	0.275	4.1	Id, PY+2
			447.9	454.0	0.152	6.1	M17DMPY+ - I3A
			463.2	466.0	0.028	2.8	I3AMG(#)CL(Si)(PY)vCCvFP
			741.6	750.6	0.050	9.6	I3A(MG)#Si(CCHMCL)(PY)vQZ
			841.0	844.3	0.062	3.3	I3AMG#SiCL(PY)vCCvFPvQZ
			861.6	865.6	0.018	4.0	I3AMG#SiCLBOPYvFPQZvCC
			904.0	906.4	0.040	2.4	I3AMG#CL(SiBO)(PY)vCC
OP-05	836	Sonder 2 discont. mag @ NNE et contact est du pluton Opawica	Aucune valeur > 0.01 oz/t Au				
OP-06	1146	Sonder zones A-B en profondeur	153.0	156.0	0.037	3.0	I3ACCPYVCC(HM)
			777.1	780.3	0.018	3.2	M15HMCBPY - I3A (Zone B?)
			1007.6	1013.6	0.023	6.0	CBCCHMPYVQZvCC (Zone A?)
OP-07	696	Sonder extension W de la zone B	80.6	82.3	0.015	1.7	M15#+SiCBHMvCCvQZ
			188.8	190.0	0.045	1.2	V3A#vCCvPYPO
			257.8	282.7	tr	24.9	S4, PO ₉₀ /1171Cu, 279Zn (ppm)

TABLEAU 20

SUITE

INTERSECTIONS (Au) OBTENUES (FORAGE 1990)

NO TROU	LONG. (pi)	BUT DU FORAGE	RESULTATS				REMARQUES
			DE (pi)	A (pi)	TENEUR (Au oz/t)	LONG. (pi)	
OP-08	943	Sonder deux discontinuités mag @ NNE près du contact est du pluton Opawica	441.0	444.9	0.295	3.9	V3A#Si+(CL)PYvCCvCCCL
			191.6	196.6	0.021	5.0	I3A(=)MGB0-B0+CC(PY)vCC
			211.5	216.0	0.120	4.5	I3A(=)MGB0CB+CC+Si+PY+VQZ
			648.7	652.7	0.022	4.0	I3A(1)MGB0CL(RB)PY+
			809.1	811.3	0.120	2.2	I3A(1)MGCLPYvCCHM, M15FPCC
OP-09	1286	Sonder extension en profondeur du côté sud de la zone B connue	500.5	502.6	0.034	2.1	V3A[.]FPCC+SiVCCPYvCCQZ
			1018.0	1021.5	0.017	3.5	V3A#+CCEPAB?PY
			1173.7	1176.0	0.081	2.3	V3A(1)CL(Si)(PY)vCC
			1245.8	1248.4	0.018	2.6	M15(1)HMSiCC(PY)vCCvCL
OP-10	995	Sonder l'apophyse de syénite et 2 structures NNE possibles	376.7	381.6	0.014	4.9	I2H?#CLCC(HM)âHM(PY)vCC
			408.7	411.3	0.013	2.6	I2H?(MG)CC+CL(HM)vCC
			680.8	683.5	0.033	2.7	I2D, 70%#SiHM(CC)(PY)vQZ
OP-11	823	Sonder l'extension SE de la zone B	380.4	381.7	0.046	1.3	M15#+DMCCPY+vCCvFP
			580.9	583.0	0.018	2.1	M15#+DM+(HM?)PY+vFPvSi
OP-12	756	Sonder continuité NW de la zone OP-04	272.6	274.0	0.016	1.4	I3A(MG)CL, 15% vCCPY
			283.2	289.7	0.082	6.5	/H\CC+CL(HM)PY++, VQZ/\PY+
			312.3	313.7	0.015	1.4	I3A(MG)CL, 20% vQZCCHM(PY)
			699.2	702.4	0.021	3.2	I3AMG(SiCCCL)(PY)vCC
OP-13	916	Sonder continuité SE de la zone OP-04	331.0	334.8	0.012	3.8	I3A(M15)MG(1)CL(Si)(PY)vCC
			353.1	354.3	0.163	1.2	I3A?(1)Si+CLPYvCC(CL)
			582.2	586.0	0.013	3.8	I3A(M15)MGCLCC(PY)

La zone BV-28 (0.132 oz/t Au sur 5.9 pieds) est caractérisée par un fracturation intense à bréchique, une altération moyenne en silice et moyenne à faible en calcite, avec des veinules de chlorite et 0.5 à 2% pyrite fine à grossière.

La zone BV-29 (0.015 oz/t sur 96.0 pieds) représente la continuité sud de la Zone de Fracturation Est (ZFE), une structure majeure initialement définie sur la propriété adjacente. L'intervalle minéralisé est constitué d'une syénite métasomatisée intensément fracturée, moyennement silicifiée, faiblement hématisée et chloritisée avec veinules de chlorite-calcite et 0.5-2% pyrite disséminée et associée aux veinules de chlorite. L'intervalle minéralisé (Au) inclut la zone métasomatisée et un intervalle métrique de l'encaissant plus faiblement altéré et fracturé de part et d'autre de la zone métasomatisée.

ZONES A-B

Plusieurs intersections de zones du type A-B furent obtenues dans ce secteur, mais leurs teneurs sont généralement sous 0.10 oz/t Au sur des intervalles de quelques pieds au plus.

Le forage OP-06 sondait l'extension NW des zones A-B. Plusieurs intervalles de gabbro métasomatisé (carbonate, hématite) et pyritisé furent intersectés. Trois d'entre eux titrèrent plus de 0.010 oz/t Au. Le premier, qui ne correspondrait pas à une zone particulière, est caractérisé par l'altération en calcite et hématite associé à une veine de calcite ± hématite bréchique avec environ 1% pyrite disséminée dans la veine et l'encaissant. Cet intervalle donna le meilleur résultat de ce forage, soit 0.037 oz/t Au sur 3.0 pieds.

Les deux autres intervalles pourraient correspondre aux zones B1 et A d'après leurs caractéristiques minéralogiques et texturales ainsi que leur position dans le forage. La première zone (B1?) est une roche métasomatique à hématite et carbonate avec des zones bréchiques millimétriques et environ 2% pyrite fine disséminée et en veinules. La deuxième zone (A?) est caractérisée par une forte altération rouge (hématite), beige et grisâtre (carbonate de fer et calcite) avec quelques veinules et veines de calcite et de quartz et 1-2% pyrite fine à moyenne dans les zones altérées. La roche est partiellement bréchique.

Les basses teneurs en Au obtenues indiquent que ces zones n'augmentent pas en importance vers le nord-ouest.

Les forages OP-07 et OP-09 sondaient l'extension en profondeur des zones A-B. Le forage OP-07 recoupa quelques minces zones métasomatiques aurifères du type A-B et une zone de sulfures massifs à semi-massifs enrichie en Cu et Zn. Les teneurs et largeurs des zones aurifères sont très faibles, toutefois, et aucun intervalle ne semble correspondre à une zone connue.

La meilleure valeur obtenue dans OP-07, soit 0.295 oz/t Au sur 3.9 pieds, se trouve dans un basalte andésitique fortement fracturé et silicifié avec veinules de calcite et de calcite-chlorite et 1-2% pyrite irrégulièrement disséminée et en veinules. Cette zone ne ressemble pas aux zones A-B.

Le forage OP-09 donna des résultats semblables, la meilleure valeur de 0.081 oz/t Au sur 2.3 pieds étant dans un basalte andésitique moyennement chloritisé et faiblement silicifié avec < 1% pyrite. Une mince zone métasomatique faiblement aurifère, altérée en hématite, silice et calcite avec veinules de calcite et de chlorite et un peu plus de traces de pyrite, observée à la fin du forage, pourrait être une zone de type A-B. L'hypothèse d'une augmentation du potentiel économique des zones A-B en profondeur n'est donc pas confirmée dans ce secteur.

Le forage OP-11 sondait l'extension vers le sud-est des zones A-B. Aucune zone de ce type ne fut intersecté à l'endroit attendu. Par contre, à une plus grande profondeur, un intervalle de roche métasomatique hétérogène d'une largeur métrique fut observé. Cette roche est variablement altérée (faciès calcite-épidote, dolomie-silice, magnétite-chlorite, chlorite-calcite et carbonate-hématite) et déformée (fracturation et foliation variant de faible à intense, incluant deux schistes à chlorite). Quelques veines de quartz sont également notées. La pyritisation varie de trace à 4%, les plus fortes concentrations étant dans le faciès dolomitique. Les teneurs en Au atteignent 0.046 oz/t Au mais sur des intervalles de moins de deux pieds.

ANOMALIE MAGNETIQUE POSITIVE

La minéralisation principale dans ce secteur est associée à des intervalles de gabbro magnétique chloritisé, biotitisé, carbonaté et silicifié (et/ou albitisé) avec des concentrations de sulfures (surtout pyrite et pyrrotite) atteignant 15 % dans OP-04. La magnétite est observée sous forme d'agrégats de grains fins en association avec la biotite et pourrait en partie être un résultat du remplacement des minéraux mafiques déjà chloritisés par la biotite. Toutefois, une forte proportion de ces agrégats ressemblent à des grains de magnétite primaire comme on en observe ailleurs dans les gabbros du secteur.

La teneur en Au semble être proportionnelle à la concentration en sulfures. De nombreuses intersections aurifères anormales à subéconomiques furent obtenues dans OP-02 et 04, et quelques unes dans OP-12 et 13. Il s'agit de nouvelles zones minéralisées inconnues jusqu'ici.

Les forages OP-02 et 04 recoupèrent chacun de nombreux intervalles submétriques à métriques de gabbro altéré et pyritisé aurifère. La plupart de ces intersections sont semblables: le gabbro est caractérisé par une fracturation moyenne à forte, une altération moyenne à intense en silice, moyenne en chlorite et calcite avec hématite mineure, ainsi que des veinules de calcite et de quartz. La pyritisation est variable, typiquement plus de 1% en grains irrégulièrement disséminés, en agrégats et en veinules. Dans OP-04, les sulfures forment jusqu'à plus de 10% de la roche sur des intervalles métriques. Lorsque l'altération est suffisamment intense, la roche fut décrite comme une roche métasomatique mais du même faciès d'altération que les intervalles plus faiblement altérés.

Les unités minéralisées du forage OP-04 se distinguent de ceux de OP-02 par leur plus grande concentration en biotite et en injections de quartz-feldspath, probablement dû à la plus faible distance jusqu'au contact du pluton Opawica. Deux intervalles rapprochés potentiellement économiques furent obtenus dans ce dernier forage. Le premier (0.275 oz/t sur 4.1 pieds) est un gabbro du genre décrit ci-haut mais avec 5-12% pyrite ± pyrrhotite en disséminations, agrégats et veinules remplaçant souvent la magnétite.

Le deuxième intervalle (0.152 oz/t sur 6.1 pieds) est distinct. Il est constitué d'un intervalle mylonitique submétrique dolomitisé avec traces à 5% pyrite, dans un gabbro magnétique fracturé et variablement altéré en silice, chlorite et calcite. La teneur en Au semble être proportionnelle à la concentration de sulfures.

Les analyses de OP-12 et 13, forés dans le but de sonder la continuité de la meilleure intersection de OP-04, confirment la présence de zones minéralisées du même genre, mais dont la minéralisation en Au (et, visuellement, en sulfures) est plus erratique. Une certaine concentration d'intersections en Au indique la présence possible d'une structure aurifère de direction NNW (~340) à pendage subvertical ou vers le SW (Annexe 5a).

DISCUSSION

GEOLOGIE

Les résultats du présent programme de forage n'apportent pas de changements significatifs à l'interprétation géologique de Girard (1990). Les principaux nouveaux éléments géologiques résultant de la présente campagne incluent:

- i) La définition de la continuité de la zone de transition du pluton Opawica
- ii) La confirmation de la ZFE
- iii) La définition d'une zone foliée dans l'encaissant immédiat du pluton Opawica
- iv) La définition d'une auréole de biotisation autour du pluton Opawica
- v) L'explication de la texture de la "cornéenne"

Ces éléments seront brièvement discutés ci-bas.

ZONE DE TRANSITION

Il s'agit de la bordure du pluton Opawica, constituée d'une roche intermédiaire en composition et texture entre la syénite du pluton Opawica et l'encaissant mafique. Cette Zone de Transition n'est pas toujours présente et est variable tant dans son aspect que dans sa largeur. Sur la propriété Ile Opawica, cette zone ne semble pas être favorable à la minéralisation aurifère.

ZONE DE FRACTURATION EST

Cette structure, définie par une augmentation de l'intensité de fracturation et d'altération, fut recoupée à l'endroit prévu dans le forage BV-29. Cette structure est faiblement aurifère à l'endroit de ce forage, avec une teneur en Au relativement constant sur une largeur apparente de près de cent pieds. La ZFE est ici considérée comme étant une structures NNE majeure. Son orientation est estimée à 025,90.

La densité particulièrement élevée de ces structures dans ce secteur suggère qu'il pourrait s'agir d'un corridor NNE régional, possiblement relié aux failles Lamarck. Cette zone de failles, que l'on retrouve de part et d'autre de corridor Lac

Shortt-Opawica (LSO) dans lequel se trouve la propriété Ile Opawica, sont mal définies à l'intérieur du corridor LSO (Speidel, 1988).

ZONE DE DEFORMATION PERIPHERIQUE

Aucune zone de déformation majeure ne fut intersectée dans les forages du présent programme, les zones intensément foliées étant généralement de largeur submétrique. Par contre, la roche encaissante du pluton Opawica est variablement foliée (intensité moyenne en général, localement intense) sur un intervalle d'environ 400 pieds. Cela indique que la mise en place du pluton ne fut pas passive et que des réajustements structuraux reliés à cette mise en place eurent lieu.

On note aussi à plusieurs endroits à l'intérieur de cette zone de foliation, une fracturation irrégulière en stockwork avec enveloppes d'altération associées superposées à la foliation, ce qui indique qu'un système hydrothermal fut créé peu après la mise en place du pluton et donc que le pluton Opawica pourrait être un élément important pour la minéralisation aurifère du secteur.

ZONE DE BIOTITISATION

La biotitisation des minéraux mafiques est commune dans les roches encaissantes du pluton Opawica, tant dans la diorite porphyrique que dans le gabbro. En fait, tous les trous forés dans l'encaissant du pluton Opawica contiennent de la biotite. Le halo de biotite s'étend donc jusqu'à au moins 2800 pieds au-delà du contact est du pluton.

La biotite semble être plus abondante dans les roches plus mélanocrates et plus fortement magnétiques. L'association entre la magnétite et la biotite est réelle à l'échelle d'une unité, mais pas toujours à l'échelle de l'échantillon.

La biotite forme de 0-25% de la roche; elle peut être très fine, dans la matrice, ou encore former des porphyroblastes millimétriques. Il n'est pas clair si la biotite est le résultat du métamorphisme de contact ou s'il s'agit d'un métasomatisme potassique relié au pluton. Les concentrations élevées de biotite suggèrent qu'il y eut un apport important en K₂O ce qui appuierait plutôt une origine hydrothermale que métamorphique. De plus, l'absence de biotite primaire (le minéral mafique étant du hornblende) dans la syénite du pluton Opawica et la composition sodique de cette dernière (Graham et autres, 1988; Averill et autres, 1989) indique la probabilité du développement d'une phase hydrothermale potassique (Burnham et Ohmoto, 1980).

ORIGINE DE LA TEXTURE "CORNEENNE"

La partie ouest du gabbro mélanocrate magnétique formant le haut magnétique est singulière en ce qu'on y trouve une forte (5-25%) concentration d'injections millimétriques de quartz-feldspath à texture phanéritique. Ces injections sont intimement reliées au développement de la foliation qu'elles imitent, définissant parfois une texture gneissique, sauf immédiatement en bordure du pluton où elles prennent la forme d'aggrégats et imprégnations plus diffuses donnant à la roche une texture recrystallisée (d'où le nom de "cornéenne" donné en 1989). Ces injections sont recoupées par plusieurs types de veinules hydrothermales, ce qui indique qu'elles sont relativement précoces.

La distribution spatiale de ces injections est restreinte. Les concentrations significatives sont limitées à l'auréole de contact foliée d'environ 400 pieds, mais plus particulièrement à l'intérieur et en bordure du gabbro mélanocrate magnétique.

Ces injections sont interprétées ici comme étant d'origine ignée, soit issues du dernier magma résiduel. Cela expliquerait leur texture ignée et leur plus grande concentration en quartz par rapport à la masse principale du pluton. Plusieurs dykes de composition semblable furent d'ailleurs notés dans ce secteur.

GÉOPHYSIQUE ET GEOCHIMIE

Les données géophysiques les plus utiles sur la propriété sont celles du champ magnétique total, définissent une série de domaines et discontinuités magnétiques distinctes. Les domaines magnétiques peuvent refléter des caractéristiques primaires ou secondaires, les discontinuités soit des contacts lithologiques ou structuraux.

Le présent programme de forage avait surtout visé les domaines magnétiques positivement anormaux et les discontinuités orientées NNE puisque ces éléments s'étaient avérées favorables sur d'autres propriétés dans ce secteur. A l'intérieur de la syénite, deux discontinuités, de direction EW, furent également sondées puisqu'elles permettaient une interprétation alternative pour la continuité de certaines zones minéralisées.

Le domaine magnétique principal, la "cornéenne" de Girard (1990), s'explique par un gabbro magnétique mélanocrate altéré, surtout en chlorite, biotite, silice et/ou albite, et calcite. Les relations texturales indiquent que la biotite et possiblement une partie de la magnétite, furent formées par la destruction des minéraux mafiques déjà chloritisés. La biotite semble relativement

fraîche. Etant donné que les sulfures spatialement associés à la minéralisation aurifère remplacent la magnétite dans ce secteur, les anomalies magnétiques de ce type peuvent être utiles à la détermination de la localisation de zones minéralisées (Au).

La ZFE n'est pas définie par une structure magnétique parce que le contraste dans la roche où elle se trouve est minime. Les deux discontinuités à l'est, en bordure du pluton, correspondrait assez bien avec l'étendue des roches foliées dans la zone de contact du pluton Opawica.

Les travaux de géochimie sont en cours. Pour le moment, il est important de noter l'augmentation de la teneur en Cu en association avec le gabbro magnétique mélanocrate biotitisé de même que l'augmentation en concentration de sulfures et d'intersections aurifères dans ce secteur.

MODELE GENETIQUE

Un modèle génétique valide doit servir de cadre pour les observations géologiques, géochimiques et géophysiques, où ce cadre est continuellement modifié pour accepter les nouvelles observations. Ces modèles empiriques sont très utiles pour la définition de cibles futures.

Les observations géologiques décrites dans le présent rapport permettent la formulation d'une séquence d'événements géologiques menant à la formation du système hydrothermal minéralisateur sur la propriété Ile Opawica (tableau 21). Cette séquence est préliminaire et attend d'être confirmée par des travaux plus détaillés.

Le pluton Opawica occupe la bordure ouest de la propriété, immédiatement au sud de l'intersection de la Zone de Déformation Lac Shortt, de direction EW, avec la Zone de Fracturation Est, de direction NNE. Ces deux structures sont ici interprétées comme des structures régionales profondes ayant contrôlées la mise en place du pluton.

La pluton Opawica fut mis en place peu après le métamorphisme régional, en même temps que la fin de la déformation régionale. Les phases d'altération les plus précoces sont reprises par la foliation mais ne sont pas rétrogradées par le métamorphisme. La dernière phase d'activité intrusive fut l'injection d'une multitude de veinules de feldspath-quartz, particulièrement à l'intérieur d'une zone de contact foliée, d'une puissance de 400 pieds, entourant le pluton. Ces veinules ou injections, généralement subparallèles à la foliation mais localement plissotées, sont contemporaines avec la formation de la zone de contact foliée. Par contre des injections du même genre

sont recoupées par plusieurs étroits cisaillements minéralisés (phases tardives de la déformation régionale) dans les zones A-B à l'est de la zone de contact foliée.

L'activité hydrothermale débuta avant la fin de la consolidation finale du pluton et durant la formation de la zone de contact foliée et continua après la fin de la dernière manifestation de la déformation régionale, les cisaillements de direction NW et NE (Zones A-B). La biotite hydrothermale définit la foliation dans la zone de contact foliée mais est recoupée par la dernière manifestation magmatique, les injections de feldspath-quartz. Plusieurs phases de veinules en stockwork plus tardives recourent et effacent la foliation.

Lors du refroidissement du pluton, la libération de fluides magmatiques donna lieu à la fracturation en stockwork polyphase notée. L'altération hydrothermale consiste donc en de nombreuses phases et faciès d'altération, tant à l'intérieur du pluton que dans la roche encaissante.

Une réactivation tectonique des structures préexistantes (ZFE et autres) aurait favorisé la formation de zones de fracturation à l'intérieur de la syénite et la circulation des fluides hydrothermaux vers l'extérieur.

Dans les roches encaissantes, la biotite est la première phase d'altération significative. Cette biotite, en partie reliée au métamorphisme de contact et en partie hydrothermale, semble précéder les injections de feldspath-quartz. La biotite est généralement fraîche et n'a été rétrogradée que localement à la chlorite, ce qui indique que sa formation succéda au métamorphisme régional. Par contre, cette biotite définit la foliation de la zone de contact et doit donc avoir été formée pendant la mise en place du pluton.

Une silicification et/ ou recristallisation précoce semble avoir affecté la matrice de la diorite porphyrique de la partie nord de la propriété. Cette silicification aurait été contemporaine avec la fin de la déformation régionale puisqu'elle n'affecte pas les plans de chlorite qui définissent la foliation.

L'activité hydrothermale est exprimée sur une distance d'au moins 2800 pieds à partir du contact de l'intrusion Opawica, puisqu'on y retrouve la biotite au moins jusqu'à cette distance.

A l'intérieur du pluton Opawica, la première phase d'altération serait une albitisation pénétrative. La syénite du pluton est caractérisée par sa composition anormalement sodique (typiquement 6-9% Na₂O, Graham et autres, 1988; Averill et autres, 1989). Cette composition est commune tant aux syénites relativement fraîches qu'aux syénites fortement altérées et semble

être commune à tout le pluton. Il est suggéré ici que cette composition sodique résulte de l'autométasomatisme du pluton par les fluides hydrothermaux initiaux à plus haute température, de dérivation magmatique.

Après ces phases précoces et largement répandues, les altérations subséquentes furent de distribution plus restreinte. A l'intérieur de la syénite, la séquence est la suivante:

- i) Hématite pénétrative
- ii) Remplacement des minéraux mafiques par chlorite-calcite-
(épidote)
- iii) Silicification et séricitisation pénétratives
- iv) Silicification associée aux veinules de quartz, quartz-
chlorite, quartz-albite etc
- v) Veinules de chlorite
- vi) Veinules de riebeckite avec ou sans épidote et calcite
- vii) Veinules de calcite

Dans les roches encaissantes du pluton Opawica, la paragenèse des principaux minéraux d'altération serait comme suit:

- i) Biotite partiellement remplacée par albite-(épidote)-
(hématite)
- ii) Veinules de silice-hématite
- iii) Veinules d'épidote
- iv) Stockworks divers
- v) Veinules de riebeckite-calcite, remplacement des
minéraux mafiques par riebeckite

Les dykes de lamprophyre ultramafique recoupent toutes ces altérations. Les dykes de lamprophyre et injections de calcite carbonatitiques seraient une manifestation tardive du système alcalin ayant donné naissance au pluton Opawica. Les phases d'altération tardives (surtout riebeckite et veinules de calcite rose plus localisée) semblent être reliées à ces injections. La riebeckite recoupe tous les autres minéraux sauf la calcite tardive; elle est observée en bordure des injections lamprophyriques et carbonatitiques mais n'y est pas limitée.

La minéralisation est notée surtout en association avec la pyrite fine disséminée dans la syénite altérée (Au), dans la zone à biotite associée au gabbro magnétique altéré (Au-(Cu)) et dans des veines de quartz-carbonate-pyrite bréchiques des zones A-B (Au-As-Cu-Zn).

Dans cette séquence d'événements, la minéralisation aurifère succède aux altérations précoces (albitisation dans le pluton et biotitisation dans les roches encaissantes) mais précède les altérations tardives. A l'intérieur du pluton, l'association

entre la minéralisation (Au) et les zones fortement hématisées suggère que l'or y est associée. Dans l'encaissant, la minéralisation aurifère est associée aux sulfures, qui remplacent la magnétite, et à l'altération en silice et/ou albite qui efface la biotite. Les zones du type A-B, associées à des cisaillements tardifs, succèdent à la biotitisation et sont associées à l'hématitisation et la carbonatation. L'hématitisation et la carbonatation forment donc le lien commun entre les trois types principaux de minéralisation aurifère. Dans les zones A-B le carbonate de fer est observé tandis qu'à l'intérieur et en bordure de l'intrusion, la calcite prédomine.

Plusieurs observations effectuées dans le cadre du présent programme de forage indiquent l'importance probablement génétique du pluton Opawica pour la minéralisation aurifère. La propriété Ile Opawica exhibe plusieurs des caractéristiques mentionnées par Sillitoe (1979 et 1990) pour les gisements du type porphyre aurifère. Celles-ci sont:

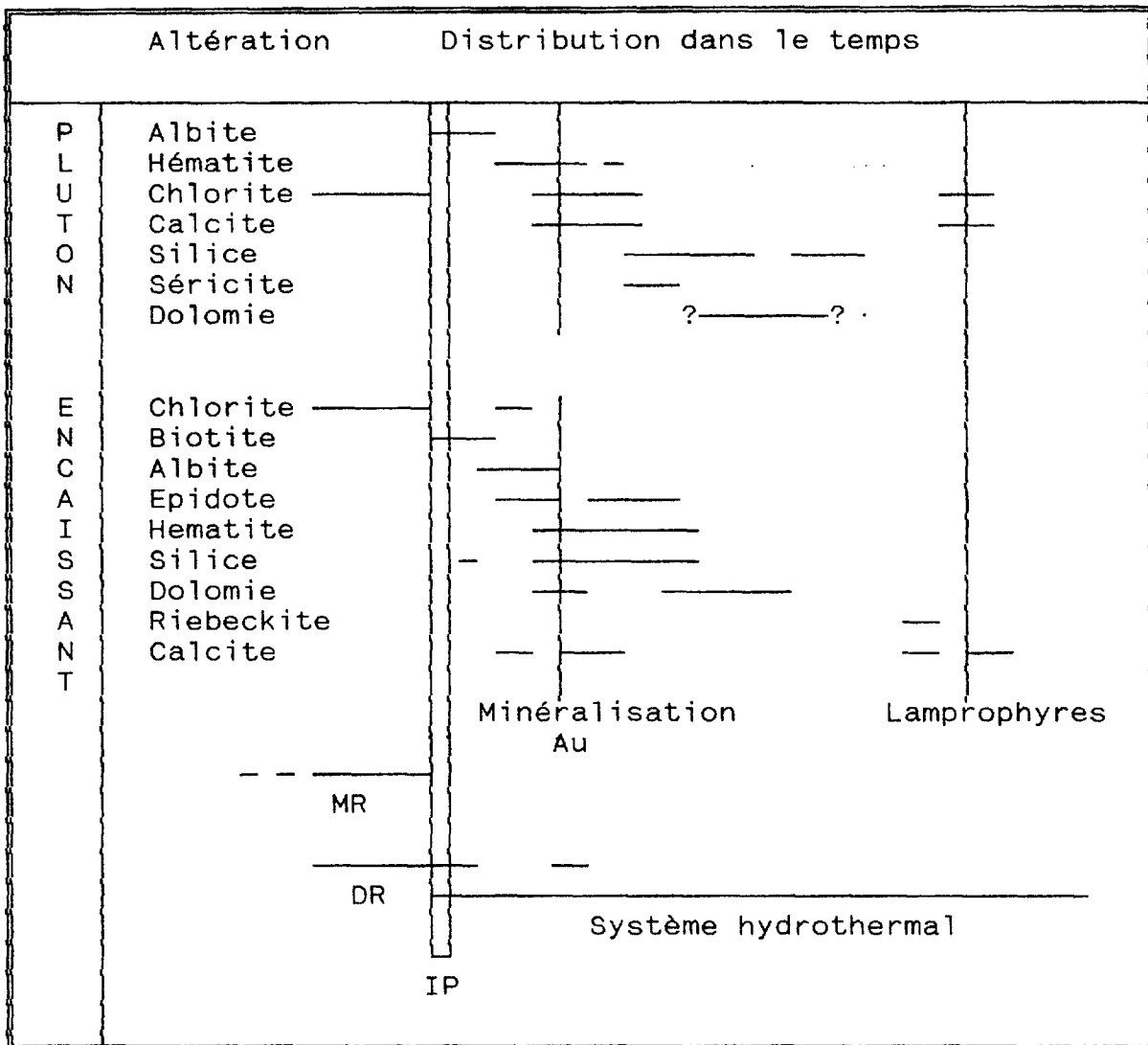
- i) Texture porphyrique de la syénite définie surtout par la présence de matrice felsique fine interstitielle
- ii) Importante fracturation en stockwork
- iii) Nombreuses brèches hydrothermales minéralisées
- iv) Importance de l'auréole de métamorphisme et métasomatisme de contact
- v) Présence de faciès d'altération potassique (biotite), phyllique (silice+séricite) et propylitique albite - épidote - (chlorite) - (calcite)
- vi) Association de faibles anomalies en Cu avec la zone potassique
- vii) Les anomalies polymétalliques (Mo, Pb, Sb) distales (Girard, 1990)

Par contre, les zones minéralisées A-B, de par leur association avec des cisaillements à caractère fragile-ductile, indiquent une mise en place à une profondeur plus grande que ce à quoi on s'attendrait pour un système de porphyre. Les zones A-B ne sont pas particulièrement distinctes des minéralisations de type filonien qu'on retrouve ailleurs dans le secteur.

Il semblerait donc qu'un modèle approprié pour la minéralisation sur la propriété Ile Opawica devra inclure les caractéristiques de ces deux types de gisements. Leur étroite association dans le temps indique qu'il faut peut être considérer une mise en place de la minéralisation à une profondeur intermédiaire entre celle donnée pour les porphyres typiques (1-5km - Sillitoe 1990) et les gisements filoniens (5 - >10 km - Colvine, A.C. et autres, 1988).

TABLEAU 21

SEQUENCE PARAGENETIQUE



MR Métamorphisme régional
 DR Déformation régionale
 IP Intrusion du pluton Opawica

Il est proposé que la propriété Ile Opawica est localisée à l'intérieur de la zone d'altération potassique (partie nord ouest) et propylitique associées à un système hydrothermal aurifère développé en association avec la mise en place du pluton Opawica, à l'intersection de deux structures régionales majeures. La distribution de la minéralisation aurifère dans les systèmes du type porphyre Cu-Au peut être très complexe, tel que mis en évidence dans les gisements de ce type visités par l'auteur en mai 1990 dans la Cordillère Canadienne.

En effet, certains de ces gisements sont localisés à l'intérieur de la zone potassique du complexe intrusif alcalin (Mt Polley, Mt Milligan), d'autres dans la zone potassique et/ou propylitique de l'encaissant avec ou sans systèmes de veines de quartz polymétalliques aurifères (Mt Milligan), et enfin d'autres sont entièrement contenus dans les roches volcaniques encaissantes à l'intérieur de la zone propylitique dans un contexte distal par rapport au pluton associé à la minéralisation (gisement QR).

CONCLUSION

La présente campagne de forage confirma la présence de minéralisation aurifère dans les trois secteurs visés. Trois, possiblement quatre, nouvelles zones aurifères furent définies sur la propriété, dont deux à l'intérieur de la syénite du pluton Opawica et deux à l'intérieur du gabbro en bordure du pluton. Bien que des intervalles minéralisés à teneur économique furent obtenus dans chaque secteur foré, les largeurs demeurent insuffisantes. Les valeurs en Au obtenues ne semblent pas faire partie, en général, de zones importantes avec bon potentiel de continuité.

Les trois meilleures zones furent obtenues dans BV-28 (0.132 oz/t sur 5.9'), OP-04 (0.275 oz/t sur 4.1') et OP-07 (0.295 oz/t sur 3.9'). Ces intersections sont retrouvées dans la syénite altérée du pluton Opawica, dans l'unité de gabbro magnétique du quart nord-ouest de la propriété et dans une subunité de basalte andésitique silicifié et pyritisé, respectivement.

L'orientation de la zone BV-28 est incertaine. Il pourrait s'agir d'une zone subsidiaire à la ZFE ou encore une zone différente de direction EW reliée à la discontinuité magnétique de même orientation.

L'orientation et la continuité de la zone OP-04 est mieux définie puisque deux forages y furent rajoutés de part et d'autre dans ce but. La zone serait orientée NNW selon les anomalies aurifères visuellement semblables obtenues dans les forages additionnels. Toutefois, ce genre de minéralisation est variable et est généralement obtenu sur de faibles largeurs.

La minéralisation du forage OP-07 est distincte. Il n'est pas clair s'il s'agit d'une zone continue ou de minéralisation erratique. Il est intéressant de noter qu'une zone d'anomalies en Au dans OP-02 s'alignerait avec l'intersection du forage OP-07 selon la même orientation que celle interprétée pour la zone OP-04. Toutefois, visuellement l'altération dans ces deux forages est distincte.

Sans doute les résultats les plus importants de la campagne furent la confirmation de la zone de fracturation est (ZFE), l'intersection potentiellement économique du forage BV-28, l'explication de l'anomalie magnétique et la définition de la zone OP-04 ainsi que la mise en évidence de l'importance de la biotitisation.

Dans l'hypothèse d'une minéralisation du type "porphyre", il pourrait être important de mieux définir la distribution des zones d'altération potassique et propylitique. La minéralisation en Au dans ce genre de gisements possède souvent une distribution spatiale bimodale, c'est-à-dire qu'on retrouve une concentration de minéralisation aurifère dans la zone d'altération potassique près ou dans le pluton associé, d'une part, et une autre concentration dans la zone propylitique périphérique.

La localisation de la propriété par rapport au pluton Opawica et les caractéristiques qui y furent notées suggèrent que la zone magnétique, d'orientation NW, qui chevauche la syénite du pluton Opawica, demeure la meilleure cible. Les veines de quartz des indices A-B semblent posséder peu de potentiel, selon l'auteur, pour obtenir un tonnage significatif de minerai.

RECOMMANDATIONS

Les recommandations suivantes découlent des travaux de cartographie effectués sur le terrain en 1989, des forages du présent programme et des travaux sur les propriétés adjacentes de Minnova Inc. Il est recommandé d'effectuer une compilation des nouvelles données et de les intégrer à celles déjà disponibles dans le but d'arriver à une meilleure compréhension de la propriété avant de passer à des programmes plus coûteux (forage additionnel).

GEOLOGIE

Une série de lames minces, tant dans le pluton Opawica que dans l'encaissant, devraient être coupées dans le but de mieux définir la nature et la distribution de l'altération associée au pluton Opawica. On pourra se servir d'échantillons de carotte et d'échantillons témoins du programme de cartographie de 1989.

GEOCHIMIE

Toutes les intersections aurifères significatives (>0.03 oz/t sur plus de 3.0 pieds) et les zones métasomatiques importantes seront réanalysées pour une suite d'éléments trace (Au, Ag, As, Sb, Pb, Mo, Cu, Zn) afin de définir la distribution de ces éléments autour du pluton Opawica. De plus, un trentaine d'échantillons choisis de carotte seront analysés pour les oxydes majeurs dans le but de mieux définir les caractéristiques lithogéochimiques primaires et secondaires de la roche.

La distribution spatiale des éléments trace pourra alors être examinée et intégrée à la distribution des faciès d'altération définis par les descriptions des carottes, l'étude de lames minces et les analyses d'oxydes majeurs. Ces données contribueront à une interprétation globale de la géologie de la propriété.

GEOPHYSIQUE

Etant donnée l'association étroite entre les zones magnétiques et la minéralisation aurifère notée dans le présent programme de forage et dans les programmes de forage effectués sur la propriété voisine, il est recommandé de digitaliser les données magnétiques et d'en faire un traitement par ordinateur (cartes couleur, ombrages) afin de mieux en comprendre la distribution et d'y définir des anomalies et structures possibles.

Les résultats du levé de polarisation provoquée déjà effectué par Aur Ressources devront être réexaminés à la lumière des nouvelles connaissances, particulièrement dans le nouveau secteur minéralisé du gabbro mélanocrate magnétique où les plus fortes concentrations de sulfures disséminés donnent souvent des teneurs en Au anormales à subéconomiques. La conjonction d'anomalies magnétiques positives et de polarisation provoquée devra être examinée en détail.

FORAGE

Il sera nécessaire d'effectuer les travaux de compilation proposés ci-haut avant d'entreprendre des travaux de forage additionnels. Pour l'instant, seule l'intersection aurifère du forage BV-28 semble posséder un potentiel de continuité suffisant pour mériter un ou des forages additionnels.

REFERENCES

- AVERILL, S.A. et al, 1989.** Reverse circulation overburden drilling and heavy mineral geochemical sampling - phase II. Rapport interne pour Minnova Inc, 100p
- BERUBE, P., 1985.** Cartes de levés de polarisation provoquée PP., projet Opawica, non publié, 5 cartes Aur Resources.
- BRISSON, H. et GUHA, J., 1989.** Etude d'indices aurifères dans la région du Lac Shortt, Abitibi, Québec, CERM.
- BUBAR, D.S. et ROUGERIE, Y., 1987.** Report on the 1986 diamond drilling program, Opawica property, Aur Resources Inc.
- BUBAR, D.S. et YEOMANS, W.C., 1986.** Report on the 1985 geological mapping and diamond drilling program, Opawica property. Rapport non publié pour Aur Resources, 51 pp.
- BURNHAM, C.W. et OHMOTO, H. 1980.** Late-Stage Processes of Felsic Magmatism. Mining Geology 8, pp1-11.
- BURO, Y.A., 1984.** Geology of the Bachelor Lake Gold mine, Desmaraisville, Abitibi-Est, Quebec in "Chibougamau stratigraphy and mineralization", Guha et Chown, Eds, C.I.M.M. Special volume 34, pp. 385-392.
- COLVINE, A.C. et autres. 1988.** Archean Lode Gold Deposits in Ontario: Ontario Geological Survey, M.P. 139, 136p.
- CORMIER, M. et al, 1984.** Geology, geochemistry and mineralization at Falconbridge's Lac Shortt gold deposit, Gand Township, Quebec. Dans "Chibougamau - Stratigraphy and Mineralization ", Guha et Chown, Eds, C.I.M.M. Sp. vol. 34, pp 393-491.
- GIRARD, P. 1990.** Rapport sur les travaux de terrain effectués en 1989. Propriété Ile Opawica, PN 122, Cantons de Gand et Lesperance. Rapport interne Minnova, 36p.
- GRAHAM, K.C. et al 1988.** Reverse Circulation Overburden Drilling and heavy Mineral geochemical Sampling. Rapport ODM pour Minnova Inc, 155p.
- INGHAM, W.N. 1962.** Rapport sur les claims Céré-Swavola. Ile Opawica, Canton Lesperance, Québec. Rapport statutaire non publié, 5p.

- MINISTÈRE DE L'ÉNERGIE ET DES RESSOURCES (MINES), 1988. Traitement des données géophysiques (aéromagnétiques), Lac Opawica, 32 G/12, DV 88-11.
- POLK, K., et OILLA, V.A., 1954-55. Journaux de sondage Opawica Island. Noranda Mines Limited, GM-3463.
- QUIRION, D., 1990. Géologie de la mine d'or Lac Shortt. Rapport interne, Minnova Inc. 25 p.
- RIVERIN, G., 1982. Exploration work done on the Coniagas option, Lesueur township. Rapport interne Minnova, 45 p.
- SHARMA, K.N.M. et LACOSTE, P., 1981. Preliminary geological map, Gand (SW) and Lesperance (NW) townships, Quebec. Ministère de l'Énergie et des Ressources, Québec; DP 852.
- SILLITOE, R.H., 1979. Some thoughts on gold-rich porphyry copper deposits. Mineral Deposits, 14, pp161-174.
- , 1990. Gold-rich Porphyry Deposits. Présentation effectuée lors de la réunion annuelle du GAC-MAC, Vancouver.
- SPEIDEL, F. 1988. Compilation régionale: Lac Relique - Lac Bachelor, District de Chibougamau. Rapport interne Minnova Inc, 36p.
- STOCKFORD, H., 1985. Cartes de levés magnétiques, contours du champ total, projet Opawica, 1 carte, Aur Resources.
- SUTHERLAND BROWN, A. 1976. Morphology and Classification. Dans "Porphyry Deposits of the Canadian Cordillera", Sutherland Brown, Ed, CIM Sp. Vol. 15, pp 44-51.

CERTIFICAT

1. Je, sous-signé, Friedrich Speidel, demeurant à Chapais (CP 938), Province de Québec, ai obtenu un Baccalauréat en Géologie de l'Université McGill à Montréal, Québec en 1984 et une Maîtrise en Exploration Minérale de l'Université Queen's à Kingston, Ontario en 1988.
2. Je n'ai aucun intérêt direct ou indirect dans les claims tenus par Minnova ni dans leurs sécurités.
3. Les interprétations et recommandations décrites dans ce rapport sont basées sur mes connaissances générales en géologie et sur mon expérience professionnelle en exploration minière.

Signé à Chapais, ce cinquième (5e) jour du mois de novembre, mil neuf cent quatre vingt dix (1990).



Friedrich Speidel, M.Sc.
Géologue de Projets
Minnova Inc.

ANNEXE 1

SPECIFICATIONS ANALYTIQUES - LABORATOIRE OPEMISKA
(N.Pelletier, comm. pers. 1990)

Element	Dissolution	Masse analysée (grammes)	Méthode d'analyse	Limite de détection
Au	Aqua Regia	3.0	Absorption atomique	0.005 oz/t
Ag	Aqua Regia	3.0	Absorption atomique	0.10 oz/t
Cu	Aqua Regia	3.0	Absorption atomique	1 ppm
Zn	Aqua Regia	3.0	Absorption atomique	1 ppm

ANNEXE 2

MODIFICATIONS DU CODE GEOLOGIQUE DU MERQ
(Version 1985)

La légende géologique utilisée dans le sommaire des journaux de forage, les journaux, les plans et sections est celle du MERQ (1985). Les modifications apportées sont données ci-bas.

Code	Signification
<u>Symboles</u>	
/A\	Ophitique
[.]	Porphyrique
[+]	Porphyre
\/, \\/c	Roche pyroclastique, tuf à cendre
/\	Bréchique
/H\	Brèche hydrothermale
(=), =, =+, =++	Foliation faible, moyenne, forte, extrême
(#), #, #+, #++	Fracturation faible, moyenne, forte, extrême
~	Structure laminaire
⏟	Structure litée
-	Texture trachytique

Codes Mnémoniques

(HM), HM, HM+, HM++	Hématisation faible, moyenne, forte, extrême
vQZ, VQZ	Veinule, veine (> 2cm) de quartz
Si	Silicifié
SI	Spécularite
SR	Séricite
(PY), PY, PY+, PY++	<1%, 1-2%, 2-5%, 5-10% pyrite
PY ₂₅	25% pyrite

9010012

11 66

ANNEXE 4

JOURNAUX DE SONDAGE (15)
ET ANALYSES

Note: Analyses en Au et Ag transformées en ppb et ppm
utilisant un facteur de conversion de 34.2857
(1 oz/t = 34.2857 g/t).

Ministère de l'Énergie et des Ressources

Service de la Géoinformation

Date - 6 MAR 1991

No G.M. 50031

6771
90312012



MINNOVA INC. - DIVISION EXPLORATION

DE (pi)	A (pi)	TEXTURE ET STRUCTURE	ALTERATION	MINERALISATION
0.00	30.00	MT MORT-TERRAIN		
30.00	656.00	I2DNG-(CLCCSivSi) SYENITE TRACHYTIQUE <p>Contenant à 80% de feldspath blanc 2-4mm en moyenne, automorphe, grossièrement aligné. Matrice fine, grise, siliceuse?. De faiblement à moyennement magnétique. Veines ou altération grise de silice avec probablement chlorite et un peu de calcite, généralement inférieure à 1cm. Quelques fines veinules de calcite. Quelques xénolithes de 1 à 2cm en moyenne, probablement de microgabbro.</p> <p>La fracturation est généralement faible à absente, définie par veines de silice.</p> <p>Altération en calcite faible et diffuse. La matrice est probablement aussi faiblement altérée en silice et chlorite mais difficile à déterminer.</p> <p>Minéralisation généralement absente.</p>	<p>31.30 - 36.00</p> <p>91429: (NG)BCCSiPYvCCvCL</p> <p>Pyrite 1-2% finement disséminée.</p> <p>62.70 - 68.50</p> <p>85954: I2D(NG)H(HMCLN)</p> <p>Syénite à équigranulaire avec à 15-20% minéraux mafiques interstitiels millimétriques allotriomorphes. L'intervalle est</p>	

MINNOVA INC. - DIVISION EXPLORATION

COMPAGNIE : MINNOVA EXPLORATION CANTON : SAND	PROJET : ILE OPANICA RANG : -	SONDAGE : BV-28 LOT : -	IMPRIME LE : 10/09/90 CLAIM : 382742-3
<u>COORDONNEES AU COLLET</u>	GRILLE : LIGNE : 21+50N STATION : 28+80N	LATITUDE : 2880.00 LONGITUDE : -2150.00 ELEVATION : 35.00	AZIMUT : 152 0' PLONGEE : -45 0'
<u>PROFONDEUR</u>	AU DEPART : 0.00	FIN DE TROU : 656.00	TUBAGE LAISSE (?) : Oui
GEOLOGUE : PAUL GIRARD CONTRACTEUR : FORAGE BELAND BUT : Tester la discontinuité magnétique EN dans la syénite Opavica.			DATE DU JOURNAL : 21 mai 90 FORAGE DEBUTE LE : 19 mai 90 TERMINE LE : 22 mai 90
<u>DONNEES D'ORIENTATION</u>			
<u>Longueur Azimut Plongée</u>			
0.00 152 0' -45 0'			
211.00 150 0' -46 0'			
400.00 +153 26' -46 0'			
651.00 158 0' -46 0'			
(*) azimut estimé			

MINNOVA INC. - DIVISION EXPLORATION

DE (pi)	A (pi)	TEXTURE ET STRUCTURE	ALTÉRATION	MINÉRALISATION
			<p>caractérisé par l'oxidation des minéraux mafiques en un agrégat brun orangé limonitique.</p> <p>Traces de pyrite fine à moyenne locale.</p> <p>68.50 - 75.30 $MISu+HMKSu(CC)vSICL$</p> <p>91430:</p> <p>Passage métasomatique de teinte variable, de rouille à rougeâtre. Fracturation forte définie par minces veinules irrégulières et discontinues de couleur grisâtre, de silice? et chlorite et quelques veinules de calcite.</p> <p>Altération variable en hématite (? ankérite - teinte rouille) et silice, calcite diffuse faible.</p> <p>Minéralisation en pyrite de traces à 1%, variable.</p> <p>75.30 - 79.10</p> <p>85957: $I2D(MG)(B)Si(CCHMSR)vQZ$</p> <p>Métabasite, 2 60% zones de veinules de quartz millimétriques et enveloppes Si avec texture intrusive oblitérée. Séricitisation partielle à totale des mafiques sur intervalles centimétriques plus fortement silicifiés.</p> <p>83.30 - 85.70</p> <p>91431: $(MG)Si(HMCC)vCLvQZ$</p> <p>Traces de pyrite.</p> <p>94.00 - 95.70 $(MG)Si(CC)$</p> <p>91432:</p>	

MINNOVA INC. - DIVISION EXPLORATION

DE (pi)	A (pi)	TEXTURE ET STRUCTURE	ALTERATION	MINERALISATION
			<p>Traces de pyrite.</p> <p>147.60 - 154.80</p> <p>85958: I2D(MG)B-(SiCC)</p> <p>Syénite grise à texture trachytique bien définie, feldspath rosé à vert pâle souvent zoné mais zonation double seulement (coeur/bordure). Fracturation irrégulière moyenne, plans chlorite et plans calcite submillimétriques. Coloration définie par mafiques très fins, altérés, dans la matrice ("crowded porphyry").</p> <p>Traces de pyrite très fine locale.</p> <p>154.80 - 174.50 M15B+SiCCPYvCL</p> <p>METASOMATITE</p> <p>Métasomatite avec seulement quelques îlots de syénite fraîche. Roche grise, fortement fracturée (veinules/veines de chlorite). Localement avec brèche hydrothermale chloriteuse in-situ.</p> <p>Altération en silice moyenne diffuse et calcite diffuse de faible à moyenne. Hématite localement très faible.</p> <p>Minéralisation en pyrite de 0,5 à 2% de fine à grossière (jusqu'à 4mm).</p> <p>154.80 - 158.00</p> <p>91433: 8SiCC(PY)vCL</p>	

MINNOVA INC. - DIVISION EXPLORATION

DE (pi)	A (pi)	TEXTURE ET STRUCTURE	ALTERATION	MINÉRALISATION
				<p>158.00 - 161.10</p> <p>91434: #SiCCPYvCL</p> <p>161.10 - 164.00</p> <p>91435: #+SiCCPYvCL</p> <p>164.00 - 167.00</p> <p>91436: /?Si(CC)PYvCL</p>
			<p>167.00 - 171.00</p> <p>91437: #+Si(CC)(PY)vCL</p> <p>0,5% de pyrite.</p> <p>171.00 - 174.50</p> <p>91438: (#)SiCC</p> <p>376.00 - 381.00</p> <p>91439: MS(#)(CL)(CC)vSi</p> <p>Typique.</p> <p>531.00 - 536.00</p> <p>91440: (MS)(B)(SiCC)cSi</p>	
			<p>A partir de 411.00 la syénite devient intermédiaire entre trachytique et éqigranulaire. Légère augmentation des veinules de silice jusqu'à 2-3%. On y retrouve aussi des bandes centricentriques légèrement altérées (probablement silice) régulièrement espacées de quelques centimètres à 260°A.C parallèles aux veines/veinules de silice à teinte légèrement</p>	

MINNOVA INC. - DIVISION EXPLORATION

DE (pi)	A (pi)	TEXTURE ET STRUCTURE	ALTERATION	MINERALISATION
			<p>rosée.</p> <p>Altération en silice et calcite faible, chlorite ± présente.</p> <p>656.00 FIN DU TROU.</p>	

MINNOVA INC. - DIVISION EXPLORATION

ECHANTILLON	DE (pi)	A (pi)	LONGUEUR (pi)	Au(1) ppb	Au(2) ppb	Au(3) ppb	Au(4) ppb	Au(MOY) ppb	Ag ppm	As ppm	Sb ppm	Mo ppm	Pb ppm	Cu(1) ppm	Cu(2) ppm	Cu(MOY) ppm	Zn(1) ppm	Zn(2) ppm	Zn(MOY) ppm
91429	31.30	36.00	4.70	tr.				tr.						27		27	36		36
85954	62.70	68.50	5.80	tr.				tr.						27		27	59		59
91430	68.50	75.30	6.80	240				240						37		37	37		37
85957	75.30	79.10	3.80	tr.				tr.						30		30	63		63
91431	83.30	85.70	2.40	tr.				tr.						34		34	44		44
91432	94.00	95.70	1.70	651				651						25		25	43		43
85958	147.60	154.80	7.20	tr.				tr.						29		29	46		46
91433	154.80	158.00	3.20	274				274						46		46	57		57
91434	158.00	161.10	3.10	720				720						26		26	40		40
91435	161.10	164.00	2.90	7200	7173			7178						29		29	41		41
91436	164.00	167.00	3.00	1954				1954						33		33	69		69
91437	167.00	171.00	4.00	343				343						26		26	70		70
91438	171.00	174.90	3.50	tr.				tr.						60		60	53		53
91439	376.00	381.00	5.00	tr.				tr.						34		34	25		25
91440	531.00	536.00	5.00	tr.				tr.						142		142	26		26

MINNOVA INC. - DIVISION EXPLORATION

COMPAGNIE : MINNOVA EXPLORATION	PROJET : ILE OPAWICA	SONDAGE : BV-29	IMPRIMÉ LE : 11/02/90																								
CANTON : BOYVINET	RANG : -	LOT : -	CLAIM : 382742-5																								
<u>COORDONNEES AU COLLET</u>	GRILLE : LIGNE : 30+00M STATION : 27+50M	LATITUDE : 2750.00 LONGITUDE : -3000.00 ELEVATION : 60.00	AZIMUT : 110 0' PLONGEE : -45 0'																								
<u>PROFONDEUR</u>	AU DEPART : 0.00	FIN DE TROU : 1296.00	TUBAGE LAISSE (?) : Oui																								
GEOLOGUE : PAUL GIRARD			DATE DU JOURNAL : 24 mai 90																								
CONTRACTEUR : FORAGE BELAND			FORAGE DEBUTE LE : 22 mai 90																								
BUT : Tester extension SSM de la zone de fracturation E dans la syénite (zone BV-10)			TERMINE LE : 30 mai 90																								
<u>DONNEES D'ORIENTATION</u>																											
<table border="1"> <thead> <tr> <th>Longueur</th> <th>Azimut</th> <th>Plongée</th> </tr> </thead> <tbody> <tr> <td>0.00</td> <td>110 0'</td> <td>-45 0'</td> </tr> <tr> <td>211.00</td> <td>108 0'</td> <td>-45 0'</td> </tr> <tr> <td>400.00</td> <td>*110 12'</td> <td>-45 0'</td> </tr> <tr> <td>641.00</td> <td>113 0'</td> <td>-45 0'</td> </tr> <tr> <td>800.00</td> <td>*113 53'</td> <td>-45 0'</td> </tr> <tr> <td>1001.00</td> <td>115 0'</td> <td>-45 0'</td> </tr> <tr> <td>1291.00</td> <td>120 0'</td> <td>-45 0'</td> </tr> </tbody> </table>				Longueur	Azimut	Plongée	0.00	110 0'	-45 0'	211.00	108 0'	-45 0'	400.00	*110 12'	-45 0'	641.00	113 0'	-45 0'	800.00	*113 53'	-45 0'	1001.00	115 0'	-45 0'	1291.00	120 0'	-45 0'
Longueur	Azimut	Plongée																									
0.00	110 0'	-45 0'																									
211.00	108 0'	-45 0'																									
400.00	*110 12'	-45 0'																									
641.00	113 0'	-45 0'																									
800.00	*113 53'	-45 0'																									
1001.00	115 0'	-45 0'																									
1291.00	120 0'	-45 0'																									
(*) azimut estimé																											

MINNOVA INC. - DIVISION EXPLORATION

DE (pi)	A (pi)	TEXTURE ET STRUCTURE	ALTERATION	MINERALISATION
0.00	20.00	MT		
		MORT-TERRAIN		
20.00	1296.00	I2D(MG)-#(SiCCCL)vSi(CL)vCC(CL)		
		SYENITE TRACHYTIQUE		
		<p>Relativement fraîche, grise, composée d'environ 10-20% de mafiques hypidiomorphes à automorphes de 1-3mm et d'environ 80% de feldspath hypidiomorphe à automorphe de 2-5mm, variablement aligné, donnant une texture trachytique ± définie, I de matrice siliceuse variable. La syénite passe de grisâtre à rose en profondeur. Le magnétisme varie de faible à moyen en profondeur.</p> <p>La fracturation est variable de faible à moyenne définie surtout par veinules millimétriques de silice grisâtre (± chlorite), remplacées par des veinules de calcite-chlorite en profondeur.</p> <p>Altération généralement faible en silice et calcite diffuses. L'hématite augmente en profondeur tout en restant faible. Chloritisation des mafiques variable avec localement possiblement riebeckite et biotitisation. L'altération en silice semble limitée aux veines/veinules diffuses au début du trou.</p> <p>Minéralisation habituellement absente dans les passages peu altérés.</p>	<p>34.50 - 37.00</p> <p>91441: (MG)#+Si(CC)vSi</p> <p>42.50 - 45.50</p> <p>91442: Idem;</p> <p>64.00 - 67.00</p> <p>91443: #+SiCC(CL)vSi vCC</p>	

MINNOVA INC. - DIVISION EXPLORATION

DE (pi)	A (pi)	TEXTURE ET STRUCTURE	ALTÉRATION	MINÉRALISATION
			<p>Texture intrusive assez oblitérée par altération et fracturation fortes.</p> <p>Altération surtout en silice et calcite, avec très faible hématisation, chloritisation des mafiques.</p> <p>Traces de pyrite à 11 sur 2'.</p> <p>118.30 - 122.20</p> <p>91444: #Si+vSivCC</p> <p>142.00 - 145.20</p> <p>91445: #Si)(PY)vCL</p> <p>Surtout silice faible avec très faible calcite et hématite.</p> <p>Traces à 0,51 très fine.</p> <p>145.20 - 148.40</p> <p>91446: Idem.</p> <p>157.10 - 159.20</p> <p>91447: #Si(CC)(PY)vCL</p> <p>Pyrite 0,5-11 fine.</p> <p>255.00 - 257.70</p> <p>91448: #SiHvSi</p> <p>Texture légèrement oblitérée par altération, très localement magnétique.</p>	

MINNOVA INC. - DIVISION EXPLORATION

DE (pi)	A (pi)	TEXTURE ET STRUCTURE	ALTÉRATION	MINÉRALISATION
			<p>Silice en veinules et diffuse, hématitisation faible à moyenne.</p> <p>267.70 - 269.90</p> <p>91449: #+HM++(Si?)</p> <p>Augmentation graduelle de l'altération en hématite; l'échantillon inclut un intervalle décimétrique rouge-brun foncé à texture fragmentaire.</p> <p>269.90 - 274.50</p> <p>91450: (HG)#++/1?)Si(HMCC)vCL(CC)</p> <p>Forte densité de veinules de chlorite fragmentant la roche rose (2-4cm) avec faible calcite.</p> <p>291.50 - 292.50</p> <p>91451: #++Si(HM)vCL</p> <p>Fracturation extrême donnant aspect bréchique. Cette fracturation est définie par veines/veinules irrégulières de chlorite de 1-3mm avec très peu de calcite.</p> <p>Syénite moyennement silicifiée faiblement hématisée avec chlorite en veinules.</p> <p>356.80 - 358.60</p> <p>91452: #+SiHMvCL</p>	

MINNOVA INC. - DIVISION EXPLORATION

DE (pi)	A (pi)	TEXTURE ET STRUCTURE	ALTÉRATION	MINÉRALISATION
			<p>388.60 - 396.00</p> <p>#Si+vSi</p> <p>Fracturation forte définie par veinules/veines de silice grise bleuté.</p> <p>Altération diffuse à partir des veinules de silice.</p> <p>91453: 388.60-392.40 91454: 392.40-396.00</p> <p>470.00 - 490.60 (M6)#Si(HM)(CL)vCLvQZ</p> <p>SYENITE BEIGE A ROUGE</p> <p>Syénite beige rosâtre à rougeâtre à texture intrusive localement assez oblitérée par altération. (Diminution de granulométrie). La fracturation est moyenne à forte, définie par veinules/veines de chlorite et/ou quartz.</p> <p>Altération surtout en silice diffuse moyenne et hématite faible. Localement calcite. Chloritisation des mafiques.</p> <p>Minéralisation généralement en traces (sulfures) sur l'intervalle.</p> <p>470.00 - 474.40</p> <p>91455: (M6)#Si(HMCC)vCL</p> <p>474.40 - 476.20</p> <p>91456: (M6)#(Si)(HM)vCL</p> <p>476.20 - 481.00</p> <p>91457: (M6)#Si(HM)vCLvQZ</p>	

MINNOVA INC. - DIVISION EXPLORATION

DE (pi)	A (pi)	TEXTURE ET STRUCTURE	ALTERATION	MINERALISATION
			<p>481.00 - 486.00 (MG)#Si(HM)vCLvQZ</p> <p>91458:</p> <p>486.00 - 488.30</p> <p>91459: Idem.</p> <p>488.30 - 490.60</p> <p>91460: (MG)#Si(HMCC)vQZCC</p> <p>Texture intrusive oblitérée en grande partie.</p> <p>498.50 - 538.40 (MG)(#)SiHM</p> <p>SYENITE ROUGE A GRISE.</p> <p>De teinte rouge à grisâtre (variation graduelle) dont la texture intrusive est oblitérée variablement. Généralement faiblement à très faiblement magnétique. La fracturation est faible définie par veinules/veines de chlorite et/ou quartz.</p> <p>Silice et hématite variables diffuses généralement moyennes, calcite généralement très faible, chloritisations des mafiques.</p> <p>Minéralisation généralement absente.</p> <p>498.50 - 500.80</p> <p>91461: (#)Si(CC)</p> <p>Début de l'intervalle bleuté dû à l'altération en silice + riebeckite?.</p> <p>500.80 - 503.80</p>	

MINNOVA INC. - DIVISION EXPLORATION

DE (pi)	A (pi)	TEXTURE ET STRUCTURE	ALTERATION	MINÉRALISATION
			<p>91462: (MG)(#)Si</p> <p>Silice entre moyenne et faible, hématite très faible.</p> <p>503.80 - 507.80</p> <p>91463: Idem.</p> <p>507.80 - 509.90</p> <p>91464: (MG)(#)Si(HM)</p> <p>509.90 - 511.30</p> <p>91465: (MG)(#)Si(HM)</p> <p>511.30 - 516.00</p> <p>91466: (MG)(#)Si(HM)</p> <p>516.00 - 520.50</p> <p>91467: Idem.</p> <p>520.50 - 525.00</p> <p>91468: Idem.</p> <p>525.00 - 527.90</p> <p>91469: Idem.</p> <p>A partir de 525.00 texture assez oblitérée.</p> <p>527.90 - 529.10</p>	

MINNOVA INC. - DIVISION EXPLORATION

DE (pi)	A (pi)	TEXTURE ET STRUCTURE	ALTÉRATION	MINÉRALISATION
			<p>91470: (#)Si+vCC</p> <p>Texture fortement oblitérée.</p> <p>529.10 - 531.00</p> <p>91471: Idem à 469.00.</p> <p>531.00 - 533.00</p> <p>91472: Idem.</p> <p>533.00 - 538.00</p> <p>91473: Idem.</p> <p>538.40 - 572.10 (MG)#Si(CC)vCLCCvSi(CL)</p> <p>SYENITE GRISE</p> <p>Teinte rose pâle, texture intrusive † oblitérée, faiblement magnétique.</p> <p>Fracturation moyenne définie par veinules irrégulières de chlorite/calcite et veinules de silice († chlorite plus rares).</p> <p>Altération surtout en silice diffuse de faible à moyenne, calcite généralement faible et hématite très faible.</p> <p>Minéralisation généralement absente.</p> <p>538.40 - 539.60</p> <p>91474: (MG)(#)Si(CC)</p> <p>Texture assez oblitérée.</p> <p>570.10 - 572.10</p>	

MINNOVA INC. - DIVISION EXPLORATION

DE (pi)	A (pi)	TEXTURE ET STRUCTURE	ALTÉRATION	MINÉRALISATION
			<p>91475: (MG)*+Si(CC)vCLCCvSi</p> <p>577.20 - 578.50</p> <p>91476: (MG)*(SiCC)PYvCLCCvSI</p> <p>0,5 à 1% de pyrite fine.</p> <p>598.80 - 603.50</p> <p>85959: 120(MG)(#)(CCHM)</p> <p>Syénite rosée à équi-granulaire avec à 10% mafiques allotriomorphes interstitiels, texture intrusive quelque peu floue dû à la carbonatation.</p> <p>603.50 - 616.00 (MB)(#)Si(CC)</p> <p>SYENITE BEIGE A GRISE</p> <p>Syénite silicifiée de teinte beige à grise à texture assez oblitérée faiblement magnétique et faiblement fracturée.</p> <p>Silice moyenne diffuse et calcite faible en veinules et diffuse.</p> <p>Traces à 0,5% de pyrite.</p> <p>603.50 - 606.00</p> <p>91477: (MG)*Si(CC)(PY)</p> <p>606.00 - 611.00</p> <p>91478: Type.</p> <p>611.00 - 616.00</p>	

MINNOVA INC. - DIVISION EXPLORATION

DE (pi)	A (pi)	TEXTURE ET STRUCTURE	ALTERATION	MINERALISATION
			<p>91479: Type.</p> <p>616.00 - 689.30 $M15\# + Si(HMCL)(PY)vCLCC$</p> <p>SYENITE METASOMATIQUE BEIGE A ROUGE</p> <p>De couleur beige rosâtre à rouge dont la texture intrusive est en majeure partie oblitérée. Localement très faiblement magnétique.</p> <p>La fracturation varie de moyenne à forte jusqu'à très localement bréchique, définie par veines/veinules de chlorite et calcite (plus rares). Quelques veines de quartz.</p> <p>Silice diffuse entre moyenne et forte et hématite variant de faible à forte (locale). Calcite surtout en veinules, chlorite en veinules et remplaçant les minéraux mafiques.</p> <p>Pyrite disséminée et associée aux veinules de chlorite (0.5 à 2%).</p> <p>616.00 - 621.00</p> <p>91480: $(M6)\#Si(HM)(PY)vCLCC$</p> <p>0,5% pyrite.</p> <p>621.00 - 626.00</p> <p>91481: Idem.</p> <p>626.00 - 630.50</p> <p>91482: Idem.</p> <p>630.50 - 633.40</p>	

MINNOVA INC. - DIVISION EXPLORATION

DE (pi)	A (pi)	TEXTURE ET STRUCTURE	ALTERATION	MINÉRALISATION
			<p>91483 (MG)#SiHMPYvCLCC</p> <p>Pyrite de 0,5-2%.</p> <p>633.40 - 634.80</p> <p>91484: (#)Si+(PY)</p> <p>0,5% pyrite.</p> <p>635.40 - 638.90</p> <p>91486: ##SiHMPYvCLCC</p> <p>642.10 - 643.60</p> <p>91488: (MG)#Si(HM)(PY)vCLSiCC</p> <p>0,5% pyrite en moyenne.</p> <p>643.60 - 645.90</p> <p>91489: ###Si(HM)(PY)vCLSiCC</p> <p>Fracturation très forte définie par forte densité de veinules de chlorite, silice et un peu de calcite.</p>	<p>634.80 - 635.40 ##+Si+(HM)PY+vCL</p> <p>91485:</p> <p>3% de pyrite associée aux veinules de chlorite et diffuse.</p> <p>638.90 - 642.10</p> <p>91487: #Si(HM)PY</p> <p>Pyrite 1-2% .</p>

MINNOVA INC. - DIVISION EXPLORATION

DE (pi)	A (pi)	TEXTURE ET STRUCTURE	ALTERATION	MINERALISATION
			<p>645.90 - 647.70</p> <p>91490: #HM#Si(PY)vCLSi(CC)</p> <p>0,5 à 1% de pyrite.</p> <p>647.70 - 652.00</p> <p>91491: #SiHM(PY)vCLCCvQZ</p> <p>0,5% pyrite en moyenne.</p> <p>652.00 - 656.50</p> <p>91492: #HM#Si(PY)vCL(CC)</p> <p>0.5% pyrite en moyenne.</p> <p>656.50 - 659.20</p> <p>91493: (M6)#Si(HM)(PY)vCL(CC)vQZ</p> <p>Pyrite supérieure à traces.</p> <p>659.20 - 665.00</p> <p>91494: (M6)#Si(PY)vCLCCvQZ</p> <p>Hématite très faible.</p> <p>Traces à 1% pyrite.</p> <p>665.00 - 669.90</p> <p>91495: M6#Si(HM)(PY)vCLCC</p>	

MINNOVA INC. - DIVISION EXPLORATION

DE (pi)	A (pi)	TEXTURE ET STRUCTURE	ALTERATION	MINÉRALISATION
			<p>669.90 - 674.00</p> <p>91496: (MG)#Si(HMCC)(PY)vCLCC</p> <p>A partir de 669.90, augmentation des passages où la texture intrusive est visible.</p> <p>Altération presque inclusivement en silice</p> <p>Pyrite de traces à 0,5%.</p> <p>674.00 - 676.50</p> <p>91497: (MG)(#)(Si)</p> <p>Silice entre faible et moyenne, laissant voir la texture intrusive.</p> <p>676.50 - 679.70</p> <p>91498: Idem à 497.00</p> <p>679.70 - 681.90</p> <p>91499: Idem à 498.00</p> <p>681.90 - 686.00</p> <p>91500: (MG)#(SiHM)vCCCL</p> <p>Alternance de bandes centimétriques fraîches et altérées.</p> <p>686.00 - 689.30</p> <p>91501: (MG)#(SiHM)vCCCL</p>	

MINNOVA INC. - DIVISION EXPLORATION

DE (pi)	A (pi)	TEXTURE ET STRUCTURE	ALTÉRATION	MINÉRALISATION
			<p>689.30 - 777.10 I2DMG-(#)(Si)/I2D(MG)H+SiHMvCLCC</p> <p>SYENITE GRISE A ROSE</p> <p>Mélange métrique à décimétrique de syénite à texture et altération variables, passant graduellement d'une syénite faiblement trachytique grise (composée de 80% de feldspath de 2-4mm automorphe à hypidiomorphe, de 10-15% de mafiques plus fins interstitiels et de matrice fine siliceuse) à une syénite altérée.</p> <p>La fracturation est généralement forte surtout dans les passages altérés, définie par veinules de chlorite-calcite et veines/veinules de quartz. Passages plus frais altérés en silice seulement tandis que le reste altère en silice et hématite variable.</p> <p>689.30 - 699.30 (MG)Hsi(HM)(PY)vCLCCvQZ</p> <p>Zone d'altération et de texture variable à l'échelle centimétrique.</p> <p>Altération variable en silice et hématite.</p> <p>Minéralisation légèrement supérieure à traces.</p> <p>91502: 689.30-692.70 91503: 692.70-696.00 91504: 696.00-699.20</p> <p>699.30 - 703.00</p> <p>91505: I2D(MG)(-)(SiCC)vCLCCvQZ</p> <p>Traces de pyrite.</p> <p>703.00 - 706.60</p>	

MINNOVA INC. - DIVISION EXPLORATION

DE (pi)	A (pi)	TEXTURE ET STRUCTURE	ALTÉRATION	MINÉRALISATION
			<p>91506: Idea.</p> <p>706.60 - 707.90</p> <p>91507: (MG)#Si v QZ v CLCC</p> <p>707.90 - 712.70</p> <p>91508: (MG)#Si (HM) v CCCL v QZAB</p> <p>Traces pyrite.</p> <p>712.70 - 719.90</p> <p>85960: I2D(MG) - (CC) v QZ</p> <p>Syénite trachytique à matrice grise. Texture variablement floue. Concentrations de veinules de quartz millimétriques locales.</p> <p>Traces de pyrite très fine disséminée et en veinules submillimétriques discontinues dans intervalle centimétrique plus fortement carbonaté.</p> <p>719.90 - 724.00 (MG)#Si (HMCC) v CCCL v QZAB</p> <p>91509:</p> <p>Altération très irrégulière à l'échelle de ± 10cm.</p> <p>Traces de pyrite.</p> <p>724.00 - 728.00</p> <p>91510: Idea.</p>	

MINNOVA INC. - DIVISION EXPLORATION

DE (pi)	A (pi)	TEXTURE ET STRUCTURE	ALTERATION	MINERALISATION
			<p>728.00 - 732.00</p> <p>91511: Idem.</p> <p>732.00 - 736.00 (HG)#Si(HMCC)vCCCLvQZAB</p> <p>91512:</p> <p>736.00 - 740.00</p> <p>91513: Idem.</p> <p>740.00 - 742.90</p> <p>91514: Idem.</p> <p>742.90 - 747.00 H15(HG)#Si+HMPYvCCvQZ</p> <p>91515:</p> <p>Pyrite 0,5-12 très fine.</p> <p>747.00 - 751.40</p> <p>91516: Idem.</p> <p>751.40 - 753.80</p> <p>91517: (HG)#Si(HM)(PY)vCCCL</p> <p>Traces à 0,52 pyrite fine.</p>	<p>753.80 - 756.00</p> <p>91518: HG#Si(HM)PYvCCCL</p> <p>Pyrite de 1 à 22 fine disséminée et en veinules.</p>

MINNOVA INC. - DIVISION EXPLORATION

DE (pi)	A (pi)	TEXTURE ET STRUCTURE	ALTERATION	MINERALISATION
		<p>777.10 - 880.50 12D(MG)(-)*SiCC)vQZvCCCL</p> <p>Retour à la syénite rose grenue du début du trou. Texture intermédiaire entre trachytique et équigranulaire. Faiblement magnétique.</p> <p>Altération faible en silice et très faible en calcite-hématite.</p> <p>Minéralisation généralement absente.</p>	<p>756.00 - 760.00</p> <p>91519: MG(♯)Si(HM)(PY)</p> <p>Traces à 1% de pyrite fine.</p> <p>760.00 - 763.20 (MG)♯Si(HM)(PY)vCLCC</p> <p>91520:</p> <p>Traces à 1% de pyrite fine disséminée et en veinules.</p> <p>763.20 - 765.20</p> <p>91521: (MG)(♯)SiHM(PY)vCCQZCL</p> <p>Pyrite 0,5% en moyenne.</p> <p>765.20 - 769.20</p> <p>91522: (MG)♯Si+(HM)(PY)vCCQZCL</p> <p>Traces à 0,5% pyrite.</p> <p>774.00 - 776.40</p> <p>91523: (MG)(♯)SiHM</p> <p>Traces de pyrite.</p>	

MINNOVA INC. - DIVISION EXPLORATION

DE (pi)	A (pi)	TEXTURE ET STRUCTURE	ALTERATION	MINERALISATION
		880.50 - 1136.40 I2D(M6)-(B)	<p>787.40 - 791.20</p> <p>91524: (M6)†+(HMCC)vQZ(SI)vCLCC</p> <p>826.00 - 830.70</p> <p>85961: I2D(M6)(Si)vQZ</p> <p>Syénite rose pâle ± équi-grulaire, avec ± 10% mafiques millimétriques allotriomorphes interstitiels aux lattes de feldspath rosé et ± 15% matrice felsique les entourant. Intervalle contient ± 30% zones CC!Si!CL!SR à la texture intrusive est effacée. Localement, zone décimétrique avec mafiques limonitisés.</p> <p>830.70 - 833.60 M6(†)(SiCC)</p> <p>91525:</p> <p>Traces de pyrite fine.</p> <p>833.60 - 839.90</p> <p>85962: ± idem.</p>	
		SYENITE TRACHYTIQUE		
		Grise grenue composée d'environ 85% de feldspath hypidiomorphe de 2-4mm ± aligné formant texture trachytique, avec environ 10% de minéraux mafiques généralement xénomorphes interstitiels et d'un I variable de matrice siliceuse.		
		La fracturation est généralement faible, définie par minces veinules de calcite et/ou chlorite et parfois silice.		

MINNOVA INC. - DIVISION EXPLORATION

DE (pi)	A (pi)	TEXTURE ET STRUCTURE	ALTÉRATION	MINÉRALISATION
		<p>Altération très faible en silice donnant aspect gris siliceux à la matrice et rendant parfois le feldspath flou. L'hématite donne localement une teinte rosée au feldspath. Calcite très faible diffuse.</p> <p>Minéralisation généralement absente.</p>	<p>941.00 - 942.70</p> <p>91526: $\# + \text{SiRB}(\text{CC})v\text{SiCC}$</p> <p>Riebeckite donnant teinte bleutée assez nette.</p> <p>973.80 - 975.60</p> <p>91527: $(\text{MG})\#(\text{SiCC})v\text{Si}$ bleuté</p> <p>1001.00 - 1002.00</p> <p>91528: $(\text{MG})(\#)(\text{Si})v\text{CLEP}$</p> <p>1025.90 - 1028.70</p> <p>91529: $(\text{MG})\#(\text{SiCC})v\text{SiCC}$</p> <p>Teinte bleutée.</p> <p>1072.00 - 1073.90</p> <p>91530: $(\text{MG})(\#)\text{Si}(\text{HM})v\text{Si}$</p> <p>Altération similaire à celle du début du trou.</p> <p>1096.50 - 1097.70</p> <p>91531: Idem.</p> <p>1116.20 - 1120.90 $\text{I2DMG}(-)(\#)\text{Si}(\text{HM})$</p>	

MINNOVA INC. - DIVISION EXPLORATION

DE (pi)	A (pi)	TEXTURE ET STRUCTURE	ALTÉRATION	MINÉRALISATION
		1136.40 - 1296.00 [2DMG(-)(SiHM)	<p>SYENITE ROSE ALTEREE</p> <p>Rose très pâle similaire à la syénite du début du trou, à texture floue intermédiaire entre trachytique et équigranulaire, à minéraux mafiques hypidiomorphes. Les contacts sont assez nets (bordure de trempé, ± 1cm à ± 50*AC).</p> <p>Silice faible diffuse et en veinules et hématite très faible.</p> <p>1128.30 - 1132.00</p> <p>91532: (MG)(#)(Si)(PY)</p> <p>Traces à 0,5% pyrite fine.</p> <p>1132.00 - 1136.40</p> <p>91533: Idem.</p>	
		<p>SYENITE TRACHYTIQUE</p> <p>Retour à la syénite rose du début du trou, de trachytique à intermédiaire entre trachytique et équigranulaire. Couleur rose très pâle. Plus magnétique.</p> <p>Altération surtout en silice diffuse, rendant le feldspath flou par endroits. Hématite et calcite généralement très faibles.</p> <p>Minéralisation généralement absente.</p>	<p>1178.00 - 1183.00</p> <p>91534: (MG)#Si(CC)PYvCLCC</p>	

MINNOVA INC. - DIVISION EXPLORATION

DE (pi)	A (pi)	TEXTURE ET STRUCTURE	ALTÉRATION	MINÉRALISATION
			<p>Pyrite 0,5-2% locale.</p> <p>1199.40 - 1202.50</p> <p>91535: (MG)#Si(CC)(PY)vSi(CL)</p> <p>0,5% de pyrite.</p> <p>1204.40 - 1208.90</p> <p>91537: (MG)#Si(CC)PYvSiCLCC</p> <p>0,5-2% pyrite très fine.</p> <p>1208.90 - 1212.00</p> <p>91538: (MG)#(Si)(CC)PYvSiCLCC</p> <p>Traces à 2% pyrite très fine.</p> <p>1250.80 - 1255.50</p> <p>85963: I20(MG)</p> <p>Syénite à équi-granulaire constituée d'environ 2 60% lattes de feldspath (en partie P6 à zonation multiple), 2 15% hornblende partiellement chloritisé (! B0?), 2 15% matrice felsique aphanitique, 3-5% épidote phanéritique fine trapue. Relativement frais. Dépressions submillimétriques limonitiques.</p>	<p>1202.50 - 1204.40 (MG)#Si(CC)PYvSiCLCC</p> <p>91536:</p> <p>Pyrite fine de 1-2%.</p> <p>1255.50 - 1260.50 (MG)#Si+CCPY+vSiCLCC</p>

MINNOVA INC. - DIVISION EXPLORATION

DE (pi)	A (pi)	TEXTURE ET STRUCTURE	ALTÉRATION	MINÉRALISATION
			<p>1260.50 - 1266.00</p> <p>85964: Idem.</p> <p>Quelques xénolithes de micro-gabbro.</p> <p>1266.00 - 1268.00</p> <p>85965: Idem.</p> <p>1268.00 - 1269.00 I2D/H+Si+CCPY</p> <p>91540:</p> <p>Syénite fraîche + 3" fortement altérée.</p> <p>Silice forte mauve locale + calcite.</p> <p>2I de pyrite en veinules sur 3".</p> <p>1269.00 - 1274.00</p> <p>85966: Idem.</p> <p>Plus un intervalle décimétrique moyennement altéré en calcite.</p> <p>1284.50 - 1289.10</p> <p>85967: Idem à 965.00.</p>	<p>91539:</p> <p>1-3I de pyrite de fine à 1mm locale.</p> <p>1289.10 - 1290.00 H+Si+(HM)PYvCLCC</p>

MINNOVA INC. - DIVISION EXPLORATION

DE (pi)	A (pi)	TEXTURE ET STRUCTURE	ALTERATION	MINÉRALISATION
			<p>1290.00 - 1291.70</p> <p>85968: 120(MG)#CCvCLCC</p> <p>1291.70 - 1296.00</p> <p>91542: M15(MG)#+Si+(HMCC)vCLCC</p> <p>Traces de pyrite.</p> <p>1296.00: FIN DU TROU.</p>	<p>91541:</p> <p>2% pyrite fine.</p>

MINNOVA INC. - DIVISION EXPLORATION

ECHANTILLON	DE (pi)	A (pi)	LONGUEUR (pi)	Au(1) ppb	Au(2) ppb	Au(3) ppb	Au(4) ppb	Au(MOY) ppb	Ag ppm	As ppm	Sb ppm	Mo ppm	Pb ppm	Cu(1) ppm	Cu(2) ppm	Cu(MOY) ppm	Zn(1) ppm	Zn(2) ppm	Zn(MOY) ppm
91441	34.50	37.00	2.50	tr.				tr.						32		32	27		27
91442	42.50	45.50	3.00	tr.				tr.						26		26	30		30
91443	64.00	67.00	3.00	tr.				tr.						23		23	42		42
91444	118.30	122.20	3.90	tr.				tr.						16		16	34		34
91445	142.00	145.20	3.20	tr.				tr.						17		17	53		53
91446	145.20	148.40	3.20	tr.				tr.						21		21	49		49
91447	157.10	159.20	2.10	tr.				tr.						12		12	42		42
91448	255.00	257.70	2.70	tr.				tr.						16		16	26		26
91449	267.70	269.90	2.20	tr.				tr.						18		18	67		67
91450	269.90	274.50	4.60	tr.				tr.						27		27	39		39
91451	291.50	292.50	1.00	tr.				tr.						24		24	82		82
91452	356.80	358.60	1.80	tr.				tr.						24		24	49		49
91453	388.60	392.40	3.80	tr.				tr.						18		18	36		36
91454	392.40	396.00	3.60	tr.				tr.						15		15	30		30
91455	470.00	474.40	4.40	tr.				tr.						12		12	52		52
91456	474.40	476.20	1.80	tr.				tr.						18		18	49		49
91457	476.20	481.00	4.80	tr.				tr.						12		12	40		40
91458	481.00	486.00	5.00	206				206						18		18	34		34
91459	486.00	488.30	2.30	tr.				tr.						22		22	36		36
91460	488.30	490.60	2.30	tr.				tr.						19		19	57		57
91461	498.50	500.80	2.30	tr.				tr.						20		20	54		54
91462	500.80	503.80	3.00	tr.				tr.						14		14	45		45
91463	503.80	507.80	4.00	tr.				tr.						22		22	54		54
91464	507.80	509.90	2.10	tr.				tr.						19		19	46		46
91465	509.90	511.30	1.40	tr.				tr.						14		14	60		60
91466	511.30	516.00	4.70	tr.				tr.						14		14	51		51
91467	516.00	520.50	4.50	tr.				tr.						8		8	46		46
91468	520.50	525.00	4.50	tr.				tr.						10		10	43		43
91469	525.00	527.90	2.90	tr.				tr.						10		10	37		37
91470	527.90	529.10	1.20	tr.				tr.						18		18	40		40
91471	529.10	531.00	1.90	tr.				tr.						20		20	40		40
91472	531.00	533.00	2.00	tr.				tr.						17		17	45		45
91473	533.00	538.00	5.00	tr.				tr.						20		20	52		52
91474	538.40	539.60	1.20	tr.				tr.						29		29	48		48
91475	570.10	572.10	2.00	tr.				tr.						37		37	19		19
91476	577.10	578.50	1.40	tr.				tr.						87		87	32		32
85959	598.80	603.50	4.70	tr.				tr.						27		27	61		61
91477	603.50	606.00	2.50	651				651						29		29	35		35

MINNOVA INC. - DIVISION EXPLORATION

ÉCHANTILLON	DE (pi)	A (pi)	LONGUEUR (pi)	Au(1) ppb	Au(2) ppb	Au(3) ppb	Au(4) ppb	Au(MOY) ppb	Ag ppm	As ppm	Sb ppm	Mo ppm	Pb ppm	Cu(1) ppm	Cu(2) ppm	Cu(MOY) ppm	Zn(1) ppm	Zn(2) ppm	Zn(MOY) ppm
91478	606.00	611.00	5.00	240				240						21		21	41		41
91479	611.00	616.00	5.00	617				617						31		31	30		30
91480	616.00	621.00	5.00	583				583						31		31	37		37
91481	621.00	626.00	5.00	tr.				tr.						27		27	34		34
91482	626.00	630.50	4.50	tr.				tr.						24		24	36		36
91483	630.50	633.40	2.90	1440				1440						29		29	37		37
91484	633.40	634.80	1.40	377				377						27		27	47		47
91485	634.80	635.40	0.60	6274	6391			6374						26		26	49		49
91486	635.40	638.90	3.50	926				926						24		24	37		37
91487	638.90	642.10	3.20	857				857						21		21	35		35
91488	642.10	643.60	1.50	tr.				tr.						32		32	42		42
91489	643.60	645.90	2.30	617				617						40		40	53		53
91490	645.90	647.70	1.80	1577				1577						40		40	47		47
91491	647.70	652.00	4.30	823				823						32		32	29		29
91492	652.00	656.50	4.50	206				206						24		24	42		42
91493	656.50	659.20	2.70	1097				1097						27		27	32		32
91494	659.20	665.00	5.80	446				446						27		27	28		28
91495	665.00	669.90	4.90	240				240						27		27	47		47
91496	669.90	674.00	4.10	411				411						28		28	57		57
91497	674.00	676.50	2.50	tr.				tr.						34		34	57		57
91498	676.50	679.70	3.20	686				686						30		30	54		54
91499	679.70	681.90	2.20	tr.				tr.						29		29	67		67
91500	681.90	686.00	4.10	tr.				tr.						25		25	62		62
91501	686.00	689.30	3.30	tr.				tr.						25		25	49		49
91502	689.30	692.70	3.40	343				343						21		21	59		59
91503	692.70	696.00	3.30	651				651						24		24	70		70
91504	696.00	699.50	3.50	240				240						26		26	57		57
91505	699.50	703.00	3.50	tr.				tr.						20		20	79		79
91506	703.00	706.60	3.60	tr.				tr.						22		22	74		74
91507	706.60	707.90	1.30	tr.				tr.						29		29	53		53
91508	707.90	712.70	4.80	tr.				tr.						24		24	29		29
85960	712.70	719.90	7.20	tr.				tr.						27		27	67		67
91509	719.90	724.00	4.10	1234				1234						24		24	44		44
91510	724.00	728.00	4.00	tr.				tr.						20		20	35		35
91511	728.00	732.00	4.00	tr.				tr.						27		27	41		41
91512	732.00	736.00	4.00	514				514						25		25	50		50
91513	736.00	740.00	4.00	tr.				tr.						22		22	49		49
91514	740.00	742.90	2.90	tr.				tr.						30		30	57		57

MINNOVA INC. - DIVISION EXPLORATION

eCHANTILLON	DE (pi)	A (pi)	LONGUEUR (pi)	Au(1) ppb	Au(2) ppb	Au(3) ppb	Au(4) ppb	Au(MOY) ppb	Ag ppm	As ppm	Sb ppm	Mo ppm	Pb ppm	Cu(1) ppm	Cu(2) ppm	Cu(MOY) ppm	Zn(1) ppm	Zn(2) ppm	Zn(MOY) ppm	
91515	742.90	747.00	4.10	309				309						21		21	27		27	
91516	747.00	751.40	4.40	tr.				tr.						30		30	35		35	
91517	751.40	753.80	2.40	tr.				tr.						20		20	54		54	
91518	753.80	756.00	2.20	tr.				tr.						27		27	55		55	
91519	756.00	760.00	4.00	tr.				tr.						26		26	44		44	
91520	760.00	763.20	3.20	240				240						27		27	65		65	
91521	763.20	765.20	2.00	tr.				tr.						30		30	40		40	
91522	765.20	769.20	4.00	tr.				tr.						29		29	35		35	
91523	774.00	776.40	2.40	tr.				tr.						22		22	49		49	
91524	787.40	791.20	3.80	tr.				tr.						25		25	62		62	
85961	826.00	830.70	4.70	tr.				tr.						27		27	52		52	
91525	830.70	833.60	2.90	137				137						25		25	79		79	
85962	833.60	839.90	6.30	tr.				tr.						27		27	44		44	
91526	941.00	942.70	1.70	tr.				tr.						20		20	49		49	
91527	973.80	975.60	1.80	tr.				tr.						26		26	37		37	
91528	1001.00	1002.00	1.00	tr.				tr.						23		23	27		27	
91529	1025.90	1028.70	2.80	tr.				tr.						30		30	17		17	
91530	1072.00	1073.90	1.90	tr.				tr.						290		290	21		21	
91531	1096.50	1097.70	1.20	tr.				tr.						45		45	30		30	
91532	1129.30	1132.00	2.70	tr.				tr.						24		24	53		53	
91533	1132.00	1136.40	4.40	tr.				tr.						20		20	57		57	
91534	1178.00	1183.50	5.50	tr.				tr.						22		22	54		54	
91535	1199.40	1202.50	3.10	tr.				tr.						24		24	52		52	
91536	1202.50	1204.40	1.90	309				309						30		30	54		54	
91537	1204.40	1208.90	4.50	tr.				tr.						32		32	51		51	
91538	1208.90	1212.00	3.10	tr.				tr.						15		15	44		44	
85963	1250.80	1255.50	4.70	tr.				tr.						22		22	53		53	
91539	1255.50	1260.50	5.00	1063				1063						27		27	44		44	
85964	1260.50	1266.00	5.50	tr.				tr.						20		20	60		60	
85965	1266.00	1268.00	2.00	tr.				tr.						20		20	66		66	
91540	1268.00	1269.00	1.00	1131				1131						22		22	144		144	
85966	1269.00	1274.00	5.00	tr.				tr.						21		21	52		52	
85967	1284.50	1289.10	4.60	tr.				tr.						229		229	72		72	
91541	1289.10	1290.00	0.90	240				240						22		22	54		54	
85968	1290.00	1291.70	1.70	tr.				tr.						30		30	78		78	
91542	1291.70	1296.00	4.30	tr.				tr.						19		19	53		53	

MINNOVA INC. - DIVISION EXPLORATION

COMPAGNIE : MINNOVA EXPLORATION	PROJET : ILE OPAWICA	SONDAGE : OP-01	IMPRIMÉ LE : 10/09/90																		
CANTON : GAND	RANG : -	LOT : -	CLAIM : 317224-3																		
<u>COORDONNEES AU COLLET</u>	GRILLE : LIGNE : 4+00M STATION : 22+00M	LATITUDE : 2200.00 LONGITUDE : -400.00 ELEVATION : 88.00	AZIMUT : 282 0' PLONGEE : -45 0'																		
<u>PROFONDEUR</u>	AU DEPART : 0.00	FIN DE TROU : 966.00	TUBAGE LAISSE (?) : Oui																		
GEOLOGUE : F.SPEIDEL			DATE DU JOURNAL : 31 mai 90																		
CONTRACTEUR : FORAGE BELAND			FORAGE DEBUTE LE : 29 mai 90																		
BUT : Tester 2 discontinuités mag. nettes près du contact est de la syénite Opawica.			TERMINE LE : 02 juin 90																		
<u>DONNEES D'ORIENTATION</u>																					
<table border="1"> <thead> <tr> <th>Longueur</th> <th>Aziut</th> <th>Plongée</th> </tr> </thead> <tbody> <tr> <td>0.00</td> <td>282 0'</td> <td>-45 0'</td> </tr> <tr> <td>235.00</td> <td>284 0'</td> <td>-45 0'</td> </tr> <tr> <td>400.00</td> <td>*288 10'</td> <td>-45 0'</td> </tr> <tr> <td>631.00</td> <td>294 0'</td> <td>-45 0'</td> </tr> <tr> <td>961.00</td> <td>290 0'</td> <td>-44 0'</td> </tr> </tbody> </table>				Longueur	Aziut	Plongée	0.00	282 0'	-45 0'	235.00	284 0'	-45 0'	400.00	*288 10'	-45 0'	631.00	294 0'	-45 0'	961.00	290 0'	-44 0'
Longueur	Aziut	Plongée																			
0.00	282 0'	-45 0'																			
235.00	284 0'	-45 0'																			
400.00	*288 10'	-45 0'																			
631.00	294 0'	-45 0'																			
961.00	290 0'	-44 0'																			
(*) aziut estimé																					

MINNOVA INC. - DIVISION EXPLORATION

DE (pi)	A (pi)	TEXTURE ET STRUCTURE	ALTERATION	MINERALISATION
0.00	10.00	NT MONT-TERRAIN		
10.00	677.00	<p>12JL JFP(MG) = DSICLBO(RB) vFP</p> <p>DIORITE PORPHYRIQUE A FELDSPATH BIOTITISEE.</p> <p>Roche intrusive intermédiaire de couleur vert foncé lorsque peu altérée, constituée de ±20% cristaux de feldspath blanc millimétriques à submillimétriques angulaires mais généralement non idiomorphes - possiblement des réocristaux - dans une matrice fine mafique variablement altérée. Faiblement magnétique.</p> <p>La déformation est généralement moyenne; la foliation s'exprime par un alignement minéralogique, l'aplatissement des grains de feldspath qui deviennent de plus en plus flous et des plans chloriteux. La roche demeure compétente, la foliation est irrégulière et anastomosée, généralement à espacement millimétrique sauf dans les intervalles intensément foliés où elle passe à sub-millimétrique. Foliation @ 0-20°AC à 452-458'.</p> <p>La fracturation est d'intensité variable, mais généralement au moins moyenne. Il y a des fractures avec enveloppes d'altération qui, lorsque suffisamment concentrées, forment une roche métasomatique, et plusieurs générations de veinules à minéralogie variable. Fracturation et altération associées postdatent la foliation puisque l'altération y est superposée avec effacement des plans de foliation.</p> <p>L'unité semble moyennement altérée en silice et en chlorite (altération diffuse de la matrice) avec carbonatation (calcite ou localement dolomie - ankérite) diffuse ou contrôlée par la fracturation. Chloritisation n'est pas homogène. Epidote locale, surtout en veinules millimétriques locales. Zones fortement dolonitisées/ankéritisées sont plus faiblement ou non magnétiques. Biotisation difficile à évaluer, généralement très fine dans matrice, mais semble au moins moyenne. Veinules millimétriques de feldspath? blanc à rosé sont communes, typiquement @ 25°AC. Riebeckite locale.</p> <p>Minéralisation généralement absente, localement traces à ± 2-3% pyrite</p>		

MINNOVA INC. - DIVISION EXPLORATION

DE (pi)	A (pi)	TEXTURE ET STRUCTURE	ALTÉRATION	MINÉRALISATION
		<p>très fine sur des intervalles centimétriques à décimétriques.</p>	<p>30.60 - 32.40</p> <p>105001: #+=CC(CLSIHM)vDM?vCL</p> <p>Texture porphyrique presque oblitérée; teinte vert rosé.</p> <p>Altération ± SOI zone #+ avec métasomatisme CC(HM) et fractures en stockwork de chlorite. Ces veinules de chlorite recoupent les veinules de feldspath millimétriques.</p> <p>39.40 - 42.30</p> <p>105002: #=SiCLCC(BO?)vCC</p> <p>Idea, teinte vert moyen à localement rouge orangé.</p> <p>Altération SiCl, possiblement avec BO très fine. Zones centimétriques à décimétriques avec silicification diffuse oblitérant la texture intrusive. Intervalle centimétrique de HMCC avec enveloppes DM. Calcite diffuse sur tout l'intervalle.</p> <p>Traces pyrite fine avec Si tardive ou HMCC.</p> <p>46.00 - 50.80</p> <p>105610: I2JLJFP=CLBOvCC</p> <p>Diorite porphyrique altérée et foliée gris-vert moyen à foncé avec vFPBZ millimétrique à espacement décimétrique. Fin de l'échantillon fortement folié.</p> <p>50.80 - 52.80 H15=#DMWvAKHWSI</p> <p>105003: Roche métasomatique.</p> <p>Texture primaire presque entièrement oblitérée, coloration</p>	

MINNOVA INC. - DIVISION EXPLORATION

DE (pi)	A (pi)	TEXTURE ET STRUCTURE	ALTERATION	MINERALISATION
			<p>gris-vert beige à rouge orangé de la bordure au centre de l'intervalle.</p> <p>Dolomitisation et hématitisation diffuses, à ISI veinules bréchiques d'ankérite avec bordures de veinules et de fragments rouge vif.</p> <p>Traces pyrite très fine locale et spécularite cristalline à lustre métallique à l'intérieur de veinules d'ankérite irrégulières subcentimétriques. Veinules bréchiques.</p> <p>52.80 - 56.90</p> <p>105004: z25ZM15B=DMHMvCB</p> <p>Cet intervalle montre le contrôle exercé sur l'altération par les fractures. L'intervalle précédent est en fait constitué d'une plus forte densité de fractures évidentes dont les enveloppes d'altération se chevauchent. Possiblement biotite fine associée à la chlorite.</p> <p>Traces pyrite très fine disséminée avec zones de M15.</p> <p>56.90 - 58.00</p> <p>105005: z80Z M15B=DMHMvCB</p> <p>Traces pyrite fine locale.</p> <p>63.50 - 66.40</p> <p>105006: =MCC(HM)vDM</p> <p>Texture primaire ~ oblitérée. Coloration gris-rouge rosé.</p> <p>Calcite moyenne diffuse, faible HM. Quelques veinules de dolomie millimétriques avec enveloppes CCM irrégulières subcentimétriques.</p>	

MINNOVA INC. - DIVISION EXPLORATION

DE (pi)	A (pi)	TEXTURE ET STRUCTURE	ALTÉRATION	MINÉRALISATION
			<p>73.80 - 75.40</p> <p>105007: 70% Si(HN)vCC</p> <p>75.40 - 76.50</p> <p>105008: 90% vOZ#</p> <p>Veine de quartz gris-blanc non translucide avec ± 10% inclusions irrégulières millimétriques nématisées.</p> <p>76.50 - 78.20</p> <p>105009: ±SiCL(PY)</p> <p>Minéralisation ± 3% pyrite fine disséminée sur un intervalle subcentimétrique mal défini.</p> <p>81.40 - 83.00</p> <p>105010: ±CCvCC</p> <p>83.00 - 83.90</p> <p>105011: 50% enveloppes DM autour de vCC.</p> <p>Quelques veines de quartz millimétriques tardives recoupent ces enveloppes.</p> <p>90.50 - 91.20</p> <p>105012: ±CL(CC)vCCDMPY</p> <p>Probablement BO fine ± amphibole bleue? dans matrice.</p> <p>Traces pyrite concentrées dans les zones vCCDM.</p>	

MINNOVA INC. - DIVISION EXPLORATION

DE (pi)	A (pi)	TEXTURE ET STRUCTURE	ALTÉRATION	MINÉRALISATION
			<p>101.20 - 105.60</p> <p>105013: #+CCvCC</p> <p>Calcite diffuse (couleur gris-jaune) et en veinules submillimétriques irrégulières.</p> <p>Traces pyrite fine disséminée locale.</p> <p>137.70 - 142.70</p> <p>105014: #40I zones vEPSi(HM).</p> <p>Foliation moyenne à intense à ± 35°AC. Stockwork d'épidote superposé à la foliation.</p> <p>Veinules d'épidote submillimétriques à millimétriques avec enveloppes Si(HM) millimétriques à subcentimétriques.</p> <p>150.70 - 155.20</p> <p>105015: Idea, EP plus diffuse.</p> <p>157.20 - 159.20</p> <p>105016: #+=CLSiEP?vFP</p> <p>Très hétérogène, «lentilles» irrégulières CL+, zones SiEP pâles; SiEP superposé à CL+?? (Si veinules FP??#QZ millimétriques.</p> <p>Traces pyrite très fine locale.</p> <p>163.50 - 166.30</p> <p>105017: (.JFP(N6)=#B0+RB(CL)</p>	

MINNOVA INC. - DIVISION EXPLORATION

DE (pi)	A (pi)	TEXTURE ET STRUCTURE	ALTÉRATION	MINÉRALISATION
			<p>Texture porphyrique encore visible.</p> <p>Biotite diffuse et grenue forme >15% de la roche. Riebeckite interprétée d'après couleur.</p> <p>174.00 - 176.40</p> <p>105018: (.JFP(MG)=#CLBO(RB?)vFP</p> <p>Chloritisation diffuse, ≥ 10% BO fine (± 1mm). Teinte bleutée suggère présence de riebeckite dans la matrice.</p> <p>180.20 - 183.90</p> <p>105019: Iden.</p> <p>Altération idem, même coloration foncée.</p> <p>186.00 - 188.60</p> <p>105020: (.JFP(MG)=#CLBOSiEP</p> <p>Diorite tachetée avec ± 60% zones anastomosées CLBO & 60% zones SiEP.</p> <p>192.30 - 198.20</p> <p>105021: >80%CLBO, Iden.</p> <p>±10% BO grenue, matrice CLBO très fine. Texture porphyrique préservée.</p> <p>293.10 - 296.00</p> <p>105022: (.JFPBO+CL</p> <p>Foliation/fracturation absentes. Intensité de foliation diminue irrégulièrement depuis 254.00'.</p>	

MINNOVA INC. - DIVISION EXPLORATION

DE (pi)	A (pi)	TEXTURE ET STRUCTURE	ALTERATION	MINERALISATION
			<p>Biotite très fine remplace la matrice.</p> <p>303.00 - 304.60</p> <p>105023: (.JFPMG(B)BORB(CL)</p> <p>Plusieurs intervalles à ce niveau sont un peu plus fortement magnétiques, soit moyen. Plusieurs intervalles de leucodiorite à hornblende porphyrique.</p> <p>Riebeckite bleutée très bien définie, ≥10% de la roche.</p> <p>318.90 - 320.60</p> <p>105024: (.JFPMSi+(CLEP)vFP</p> <p>≥ 40% de la roche dans ce secteur est constituée de diorite leucocrate à mésocrate.</p> <p>340.90 - 345.60</p> <p>105025: (.JFP(MG)BCL(CCNM)vPYCC</p> <p>Texture porphyrique très diffuse.</p> <p>Couleur gris-mauve; altération moyenne en CL-CC-MH.</p> <p>Minéralisation > traces pyrite fine concentrées dans quelques veinules millimétriques avec calcite.</p> <p>381.00 - 383.40</p> <p>105026: (.JFP(MG)#+(CLCCB0?)vCC</p> <p>Idem avec 5-8% veinules de calcite submillimétriques.</p>	

MINNOVA INC. - DIVISION EXPLORATION

DE (pi)	A (pi)	TEXTURE ET STRUCTURE	ALTÉRATION	MINÉRALISATION
			<p>Trace pyrite très fine disséminée.</p> <p>387.30 - 388.00</p> <p>105027: ± 10% vCCOZ avec enveloppes DMPY.</p> <p>Texture porphyrique préservée à l'extérieur des enveloppes d'altération.</p> <p>Altération diffuse en chlorite-calcite, veines de calcite avec enveloppes DM.</p> <p>Minéralisation > trace pyrite dans enveloppes d'altération.</p> <p>410.90 - 414.30</p> <p>105028: (.JFPBO+(RBCL)</p> <p>Diorite devient plus felsique et plus hétérogène, xénolithique. Xénolithe arrondi de leucodiorite et de diorite quartzifère (> 40% QZ, 30% FP, ± 1% mafiques chloritisés). Xénolithes partiellement assainis?</p> <p>Altération abondante en biotite fine dans matrice, RB interprétée d'après couleur bleutée.</p> <p>432.40 - 433.60</p> <p>105029: M150+DM+MBO(Si)PYvCC</p> <p>Texture porphyrique oblitérée.</p> <p>Altération brun rouge, enveloppes DM(HWSi) associées à veines de calcite subaiguës. 3-5% BO grenue disséminée.</p> <p>Minéralisation ! 1% pyrite très fine disséminée dans</p>	

MINNOVA INC. - DIVISION EXPLORATION

DE (pi)	A (pi)	TEXTURE ET STRUCTURE	ALTERATION	MINÉRALISATION
			<p>enveloppes d'altération qui se chevauchent.</p> <p>439.60 - 442.40</p> <p>105030: [JFP#SiCLB0vFP</p> <p>Silicification hétérogène, intense là où présente, oblitère texture intrusive. > SI B0 grenue locale.</p> <p>466.40 - 467.30</p> <p>105031: 40ZM17CC+HM</p> <p>Fragments lensoïdes centimétriques dans matrice très fine rosée; texture mylonitique, foliation à 35°AC.</p> <p>467.30 - 469.70</p> <p>105611: 12JL JFP#-CLAB(CC)</p> <p>Diorite porphyrique avec altération hétérogène et veinules de CL-HM mauve recoupées par vOI bréchiques (fragments ≤ 1mm QZ dans matrice CC blanche). Veines de calcite recourent et déplacent quelques veines de feldspath-quartz. Texture partiellement oblitérée.</p> <p>469.70 - 473.80 30I#CL+CCvHM(PY)</p> <p>105032:</p> <p>30I altération intense en chlorite ± calcite avec veinules d'hématite.</p> <p>Zones centimétriques rouge/vert foncé où la texture intrusive est oblitérée, altération contrôlée par fractures.</p> <p>Traces pyrite fine avec zones calcite & vHM.</p>	

MINNOVA INC. - DIVISION EXPLORATION

DE (pi)	A (pi)	TEXTURE ET STRUCTURE	ALTERATION	MINÉRALISATION
		<p>482.90 - 488.70 I3ACL(BD)</p> <p>Microgabbro vert foncé équi-granulaire très fin. Contact supérieur gradationnel, inférieur net @ 10°AC.</p> <p>Chloritisation diffuse au moins moyenne, au moins quelques I biotite au travers.</p>	<p>473.80 - 478.40</p> <p>105033: ±40I idem + vBZ</p> <p>Minéralisation > trace pyrite fine disséminée & associée à vCC.</p> <p>479.40 - 482.90</p> <p>105034: ±30I±CL+CCvCCPY</p> <p>Altération en enveloppes subcentimétriques autour de ±SI vCC submillimétriques, couleur vert foncé, granulométrie fine. Texture porphyrique à l'extérieur des enveloppes, oblitérée à l'intérieur.</p> <p>Minéralisation > traces pyrite avec veinules de calcite.</p> <p>504.50 - 506.00</p> <p>105035: 30I±CC+(HM)vCC</p> <p>511.20 - 512.80</p> <p>105036: 0+CC(CLHM)vCC</p> <p>512.80 - 523.40 M15±CCHM(DM)(PY)vCL</p> <p>ZONE METASOMATIQUE</p>	

MINNOVA INC. - DIVISION EXPLORATION

DE (pi)	A (pi)	TEXTURE ET STRUCTURE	ALTÉRATION	MINÉRALISATION
			<p>Roche métasomatique dont la texture du protolithe est oblitérée. Couleur beige à rouge orangé, granulométrie très fine.</p> <p>Foliation absente, fracturation de type vCL, vAB? & aussi fracturation à l'échelle cristalline.</p> <p>Altération variable. Calcite plus importante que dolomie, hématitisation moyenne.</p> <p>Minéralisation - trace pyrite fine disséminée locale.</p> <p>512.80 - 515.30</p> <p>105037: #++HMvCBvCL</p> <p>Fracturation extrême à l'échelle cristalline (forme <fragments> rouges millimétriques à submillimétriques), aussi fracturation intense avec remplissage CB-CL (ou TL?).</p> <p>Hématitisation précoce, injection de > 30% microveines carbonates (CC ou DM?).</p> <p>Traces pyrite très fine locale.</p> <p>515.30 - 518.40</p> <p>105038: #+(HM)vCBvCL</p> <p>518.40 - 521.70</p> <p>105039: #++HMvCBvCL</p> <p>521.70 - 523.40</p> <p>105040: #++HMvCLvCC</p> <p>Diminution irrégulière de l'intensité d'altération, zones</p>	

MINNOVA INC. - DIVISION EXPLORATION

DE (pi)	A (pi)	TEXTURE ET STRUCTURE	ALTERATION	MINÉRALISATION
			<p>CLCC.</p> <p>523.40 - 526.10</p> <p>105041: (.JFP(MG)#CC+CLvDM</p> <p>549.80 - 552.80</p> <p>105042: (.JFP(MG)#CC+HMCL</p> <p>556.00 - 560.80</p> <p>105043: (MG)L.JFP#CCCL(HM)(PY)</p> <p>A 561.31', foliation bien définie par plans Cl anastomosés et «microlithons» de FP. @ 25' AC.</p> <p>Minéralisation ± traces pyrite fine disséminée.</p> <p>562.40 - 564.40</p> <p>105044: Ida.</p> <p>577.30 - 580.20</p> <p>105045: (.JFP(MG)CC</p> <p>Coloration gris sauve dû à calcite ± hématite.</p> <p>601.70 - 604.80</p> <p>105046: (.JFP(MG)#+CC+CLvCCHM</p> <p>Enveloppes HM millimétriques autour de vCC submillimétriques.</p> <p>604.80 - 606.90</p>	

MINNOVA INC. - DIVISION EXPLORATION

DE (pi)	A (pi)	TEXTURE ET STRUCTURE	ALTERATION	MINERALISATION
			<p>105047: [.JFP(MB)B++CC+CLvCC 606.90 - 608.30</p> <p>105048: 70ZM15++CH(SiHM) 608.30 - 610.50</p> <p>105049: 80ZM15B++Si(HM)vCCvCL Silicification diffuse hétérogène; >S-8Z vCC submillimétriques. Traces pyrite fine locale. 610.50 - 612.60</p> <p>105050: >60ZB++SiCC(HM)vCCvCL 612.60 - 615.40</p> <p>105051: 40Z Iden. 629.20 - 630.60</p> <p>105052: 20Z une vCC/\ subca. à 15°C, 40Z enveloppes CC(HM)(PY)vCC. AC. 633.10 - 633.90</p> <p>105053: 30Z M15B++DM?HM(PY)vDM Texture porphyrique vague, toujours même unité. Minéralisation > traces pyrite fine à moyenne dans M15. 635.30 - 636.00</p>	

MINNOVA INC. - DIVISION EXPLORATION

DE (pi)	A (pi)	TEXTURE ET STRUCTURE	ALTERATION	MINÉRALISATION
			<p>105054: 40Z\DNHMvCC</p> <p>646.40 - 651.60</p> <p>105055: B+DMvDM</p> <p>Granelométrie fine.</p> <p>Traces pyrite fine très locale.</p> <p>651.60 - 653.00</p> <p>105056: B++HM+(SR)(PY)vDMvCL</p> <p>HM pénétrative, SR remplace mafiques, vDM bréchifié roche</p>	<p>646.40 - 677.00 M150+CCMSIPYvCC</p> <p>ZONE METASOMATIQUE PYRITISÉE</p> <p>Roche métasomatique à coloration variant entre gris-vert mauve, beige pâle à rouge orangé selon le faciès d'altération. Semble marquer un contact progressif entre la diorite porphyrique et l'unité mixte (transition) suivante.</p> <p>Foliation généralement peu évidente, intervalles subcentimétriques à centimétriques de protonylonite. Fracturation intense à extrême tant à l'échelle subcentimétrique que submillimétrique.</p> <p>Altération variable. Intervalles Cl-CC, SiCC, HMDCC, CC. SR remplace mafiques localement. Concentrations de veinules de calcite & veinules de chlorite de type stockwork.</p> <p>Minéralisation environ 1-2% pyrite fine en moyenne disséminée localement plus de 4% sur plusieurs intervalles submétriques.</p>

MINNOVA INC. - DIVISION EXPLORATION

DE (pi)	A (pi)	TEXTURE ET STRUCTURE	ALTÉRATION	MINÉRALISATION
			<p>hématisée et vCL recoupe & déplace vDM.</p> <p>Traces pyrite fine à moyenne locale.</p> <p>653.00 - 654.60</p> <p>105057: 0+CL(HM)(PY)vCC</p> <p>Texture porphyrique préservée.</p> <p>HM surtout des FP, chloritisation hétérogène.</p> <p>Traces 0,SI pyrite fine disséminée.</p>	<p>654.60 - 658.30</p> <p>105058: 0++CC+PY+vCL</p> <p>Couleur beige mais réaction chimique => calcite.</p> <p>Minéralisation 2-4% pyrite fine disséminée et associée avec veinules de calcite submillimétriques.</p> <p>658.30 - 663.90</p> <p>105059: 0++CC(HM)PY+vCC</p> <p>>20% veinules de calcite submillimétriques.</p> <p>Minéralisation >2% pyrite fine disséminée.</p> <p>663.90 - 666.00</p> <p>105060: Idem;</p> <p>Minéralisation ≤ 1% pyrite fine disséminée.</p> <p>666.00 - 671.20</p>

MINNOVA INC. - DIVISION EXPLORATION

DE (pi)	A (pi)	TEXTURE ET STRUCTURE	ALTERATION	MINERALISATION
677.00	744.20	<p>(I2J1, I2Dn)(M6)AMG</p> <p>ZONE DE TRANSITION DU PLUTON OPAVICA</p> <p>Zone de transition entre diorite porphyrique (encaissant) et syénite du pluton Opavica. Roche caractérisée par une augmentation du I de feldspath, soit 40-70% millimétrique hypidiomorphe à allotriomorphe avec minéraux mafiques interstitiels. Contacts graduels, roche hétérogène à granulométrie et composition variable. Mag faible à moyen. Intervalles centimétriques syénitiques.</p> <p>Foliation généralement absente, fracturation en stockwork omniprésente, surtout veinules de calcite subaillométriques avec enveloppes millimétriques de chlorite vert foncé.</p>		<p>105061: #++CC(HM)PY+vCC</p> <p>Idea + séricitisation totale des mafiques sur intervalle décimétrique.</p> <p>Minéralisation idea.</p> <p>671.20 - 673.80</p> <p>105062: #++CC(HM)PY+vCC</p> <p>HM et EP diffuses mais hétérogènes, calcite en fractures subcentimétriques et subaillométriques.</p> <p>Minéralisation ? 3I pyrite fine disséminée.</p> <p>673.80 - 677.00 M17?#++CC+MHPY+vCL</p> <p>105063:</p> <p>2-4I pyrite fine disséminée.</p>

MINNOVA INC. - DIVISION EXPLORATION

DE (pi)	A (pi)	TEXTURE ET STRUCTURE	ALTÉRATION	MINÉRALISATION
		<p>Altération variable. Généralement faible chloritisation de la matrice, localement altération diffuse en calcite. Intervalles centimétriques à décimétriques bréchiques avec fragments siliceux dans une matrice dolomitique, visuellement identique à la zone BV-16.</p> <p>Minéralisation généralement absente, mis à part les intervalles métasomatiques bréchiques où il y a ± 3-SI pyrite très fine disséminée.</p>	<p>677.00 - 682.00</p> <p>105612: I2Dn#CLCC</p> <p>Syénite foncée vert-jaune. Texturellement hétérogène, variant de équi-granulaire fine à porphyrique dense. 30% zones centimétriques CL-CC.</p> <p>703.70 - 705.80</p> <p>105064: (NG)B+Si(CLCC)(PY)vCC</p> <p>Texture primaire ± oblitérée.</p> <p>Silicification variable (moyenne à forte) prédomine.</p> <p>Minéralisation ± traces de pyrite très fine disséminée.</p>	<p>705.80 - 707.60 N15/N1Si+DN+PY+</p> <p>105065:</p> <p>> 75% de fragments intrusifs (millimétriques à centimétriques arrondis à angulaires fortement silicifiés) dans une matrice dolomitique définissant une très belle texture de brèche hydrothermale dense. Fragments subangulaires prédominent, texture non «in-situ».</p> <p>3-SI pyrite très fine disséminée surtout dans les fragments.</p>

MINNOVA INC. - DIVISION EXPLORATION

DE (pi)	A (pi)	TEXTURE ET STRUCTURE	ALTERATION	MINERALISATION
744.20	966.00	<p>737.50 - 744.20 13AC.1PX?CLCC</p> <p>Dyke de microgabbro porphyrique vert foncé, constitué d'environ 5% phénocristaux mafiques \leq 1mm dans une matrice vert foncé gris vert mauve fine à aphanitique.</p> <p>Foliation définie par alignement de phénocristaux mafiques (à \approx 65°AC). Contacts plus fortement foliés, gouge chloritique à 738.20'. Contacts nets.</p> <p>Altération diffuse moyenne en chlorite et calcite.</p> <p>12DMS(0)(HM)+QZ+CC</p> <p>SYENITE EQUIGRANULAIRE PEU ALTEREE</p> <p>Roche intrusive leucocrate de coloration rose-orangé pâle, constituée</p>		<p>707.60 - 710.50</p> <p>105066: Iden à 105064</p> <p>Minéralisation \approx 2% pyrite fine à moyenne disséminée avec concentrations locales.</p> <p>723.40 - 725.50</p> <p>105067: MSBCC+CLPY+CC</p> <p>Minéralisation \leq 1% pyrite fine disséminée avec concentrations locales.</p> <p>734.60 - 737.50</p> <p>105068: (MS)BCC(S1EP?)vCC</p> <p>Minéralisation \geq traces pyrite fine à moyenne locale.</p>

MINNOVA INC. - DIVISION EXPLORATION

DE (pi)	A (pi)	TEXTURE ET STRUCTURE	ALTÉRATION	MINÉRALISATION
		<p>d'environ 70-75% lattes de feldspath hypidiomorphe à idiomorphe, environ 20% minéraux mafiques (pyroxène ou hornblende?) partiellement chloritisés/épidotisés et environ 5% matière aphanitique interstitielle et/ou quartz. FP & mafiques sont milliaétriques et définissent une texture équi-granulaire. La texture trachytique est faiblement développée. La granulométrie des minéraux mafiques est la plus grossière par rapport à la texture trachytique typique. Plusieurs cristaux plagioclase à zonation multiple régulière. Xenolithes mafiques microgrenus, parfois avec couronnes de réaction.</p> <p>Roche non foliée, fracturation faible à moyenne définie par des veinules millimétriques de quartz gris foncé en stockwork et veinules submillimétriques de calcite recoupant les premières.</p> <p>Altération généralement faible: CL-EP des mafiques, HM du feldspath près du contact. Chloritisation faible à moyenne et plus forte densité de veinules de quartz millimétriques donne un aspect plus mafique. Riebeckite bleue évidente localement. 1-2% leucoxène au début de l'unité.</p> <p>Minéralisation généralement absente.</p>	<p>744.20 - 748.00</p> <p>105070: MSB+(CCCLRB)vQZ</p> <p>> 5% veines de quartz milliaétriques.</p> <p>751.60 - 753.70</p> <p>105071: (MG), 40% vQZm gris-bleuté</p> <p>766.60 - 768.50</p> <p>105072: 25% vQZm gris foncé.</p> <p>797.50 - 800.00</p> <p>105073: 30% zones Si(HMRB)</p>	

MINNOVA INC. - DIVISION EXPLORATION

DE (pi)	A (pi)	TEXTURE ET STRUCTURE	ALTÉRATION	MINÉRALISATION
			<p>826.00 - 827.10</p> <p>105074: ±10% vOZm.</p> <p>Veinules de quartz et enveloppes silice forment ± 85% de la roche.</p> <p>831.10 - 836.00</p> <p>105075: ± 10% vOZm à ±40%/AC</p> <p>849.70 - 854.30</p> <p>105076: ±20% vOZ m à subca à ± 30%/AC.</p> <p>854.30 - 856.60</p> <p>105077: ± 15% vOZm</p> <p>Veinules de quartz et enveloppes silice forment 30-40% de la roche. 1-2% LI associé.</p> <p>870.50 - 872.10</p> <p>105078: 25% vOZm</p> <p>873.80 - 877.50</p> <p>105079: ±5% vOZm</p> <p>Traces pyrite fine en veinules locales.</p> <p>879.50 - 881.60</p> <p>105080: ±5% vOZ subca.</p> <p>± 20% veinules de quartz et enveloppes d'altération.</p>	

MINNOVA INC. - DIVISION EXPLORATION

DE (pi)	A (pi)	TEXTURE ET STRUCTURE	ALTÉRATION	MINÉRALISATION
			<p>886.60 - 891.40</p> <p>105081: 20% zones (Si)</p> <p>Traces pyrite fine à moyenne avec zones Si.</p> <p>901.30 - 903.00</p> <p>105082: 25-30% vZHM subm à m en stockwork.</p> <p>904.90 - 909.30</p> <p>105083: (MG)(#)(HM)</p> <p>Syénite rougeâtre, localement hématitisation moyenne.</p> <p>909.30 - 910.00</p> <p>105084: 20% vZ</p> <p>Epidotisation forte locale.</p> <p>919.60 - 920.90</p> <p>105085: CC, 510% vZm</p> <p>Altération moyenne en calcite. Les veinules de quartz millimétriques forment 2 10% de la roche, leurs enveloppes d'altération carbonatées environ 70%.</p> <p>924.70 - 927.10</p> <p>105086: (MG)CC(Si)</p> <p>Traces pyrite fine à moyenne locale.</p> <p>927.10 - 927.90 CCPYvCC</p>	

MINNOVA INC. - DIVISION EXPLORATION

DE (pi)	A (pi)	TEXTURE ET STRUCTURE	ALTÉRATION	MINÉRALISATION
			<p>105087:</p> <p>Intervalle moyennement altéré en calcite diffuse et en veinules.</p> <p>± 1% pyrite fine à moyenne.</p> <p>937.40 - 940.10</p> <p>105088: ± 15% v0Zm</p> <p>± 30% veinules de quartz et enveloppes. Epidotisation locale.</p> <p>Traces pyrite fine disséminée.</p> <p>941.60 - 944.80</p> <p>105089: Idem.</p> <p>950.00 - 952.10</p> <p>105090: ± 20% v0ZCL bleuté. ± 75% v0ZCL et enveloppes Si.</p> <p>966.00: FIN DU TROU.</p>	

MINNOVA INC. - DIVISION EXPLORATION

ECHANTILLON	DE (pi)	A (pi)	LONGUEUR (pi)	Au(1) ppb	Au(2) ppb	Au(3) ppb	Au(4) ppb	Au(MOY) ppb	Ag ppm	As ppm	Sb ppm	Mo ppm	Pb ppm	Cu(1) ppm	Cu(2) ppm	Cu(MOY) ppm	Zn(1) ppm	Zn(2) ppm	Zn(MOY) ppm		
105001	30.60	32.40	1.80	tr.				tr.						90		90	78			78	
105002	39.40	42.30	2.90	tr.				tr.						96		96	67			67	
105010	46.00	50.80	4.80	tr.				tr.						52		52	46			46	
105003	50.80	52.80	2.00	3326				3326						90		90	62			62	
105004	52.80	56.90	4.10	tr.				tr.						137		137	66			66	
105005	56.90	58.00	1.10	tr.				tr.						100		100	70			70	
105006	63.50	66.40	2.90	tr.				tr.						107		107	80			80	
105007	73.80	75.40	1.60	tr.				tr.						92		92	59			59	
105008	75.40	76.50	1.10	tr.				tr.						100		100	48			48	
105009	76.50	78.20	1.70	tr.				tr.						63		63	50			50	
105010	81.40	83.00	1.60	tr.				tr.						90		90	77			77	
105011	83.00	83.90	0.90	tr.				tr.						119		119	70			70	
105012	90.50	91.20	0.70	tr.				tr.						70		70	70			70	
105013	101.20	105.60	4.40	tr.				tr.						70		70	63			63	
105014	137.70	142.70	5.00	tr.				tr.						74		74	26			26	
105015	150.70	155.20	4.50	tr.				tr.						83		83	22			22	
105016	157.20	159.20	2.00	tr.				tr.						120		120	26			26	
105017	163.50	166.30	2.80	tr.				tr.						80		80	54			54	
105018	174.00	176.40	2.40	tr.				tr.						80		80	47			47	
105019	180.20	183.90	3.70	tr.				tr.						72		72	43			43	
105020	186.00	188.60	2.60	tr.				tr.						100		100	30			30	
105021	192.30	198.20	5.90	tr.				tr.						90		90	37			37	
105022	293.10	296.00	2.90	tr.				tr.						70		70	58			58	
105023	303.00	304.60	1.60	tr.				tr.						77		77	34			34	
105024	318.90	320.60	1.70	tr.				tr.						87		87	35			35	
105025	340.90	345.60	4.70	tr.				tr.						76		76	57			57	
105026	381.00	383.40	2.40	tr.				tr.						90		90	65			65	
105027	387.30	388.80	1.50	tr.				tr.						87		87	45			45	
105028	410.90	414.30	3.40	tr.				tr.						49		49	53			53	
105029	432.40	433.60	1.20	tr.				tr.						70		70	46			46	
105030	439.60	442.40	2.80	tr.				tr.						80		80	51			51	
105031	466.40	467.30	0.90	tr.				tr.						90		90	80			80	
105011	467.30	469.70	2.40	tr.				tr.						78		78	46			46	
105032	469.70	473.80	4.10	3394				3394						206		206	65			65	
105033	473.80	478.40	4.60	tr.				tr.						120		120	67			67	
105034	479.40	482.90	3.50	tr.				tr.						290		290	60			60	
105035	504.50	506.00	1.50	tr.				tr.						65		65	47			47	
105036	511.20	512.80	1.60	tr.				tr.						44		44	49			49	

MININGVA INC. - DIVISION EXPLORATION

ECHANTILLON	DE (pi)	A (pi)	LONGUEUR (pi)	Au(1) ppb	Au(2) ppb	Au(3) ppb	Au(4) ppb	Au(MOY) ppb	Ag ppa	As ppa	Sb ppa	Mo ppa	Pb ppa	Cu(1) ppa	Cu(2) ppa	Cu(MOY) ppa	Zn(1) ppa	Zn(2) ppa	Zn(MOY) ppa
105037	512.80	515.30	2.50	tr.				tr.						70		70	46		46
105038	515.30	518.40	3.10	tr.				tr.						90		90	41		41
105039	518.40	521.40	3.00	tr.				tr.						90		90	47		47
105040	521.70	523.40	1.70	tr.				tr.						80		80	58		58
105041	523.40	526.10	2.70	tr.				tr.						86		86	59		59
105042	549.80	552.00	2.20	tr.				tr.						80		80	50		50
105043	556.00	560.80	4.80	tr.				tr.						60		60	63		63
105044	562.40	564.40	2.00	tr.				tr.						60		60	67		67
105045	577.30	580.20	2.90	tr.				tr.						82		82	54		54
105046	601.70	604.80	3.10	tr.				tr.						84		84	77		77
105047	604.80	606.90	2.10	tr.				tr.						70		70	53		53
105048	606.90	608.30	1.40	tr.				tr.						54		54	72		72
105049	608.30	610.50	2.20	tr.				tr.						240		240	59		59
105050	610.50	612.60	2.10	tr.				tr.						70		70	63		63
105051	612.60	615.40	2.80	tr.				tr.						70		70	62		62
105052	629.20	630.60	1.40	tr.				tr.						74		74	57		57
105053	633.10	633.90	0.80	tr.				tr.						90		90	62		62
105054	635.30	636.00	0.70	tr.				tr.						70		70	77		77
105055	646.40	651.60	5.20	tr.				tr.						72		72	54		54
105056	651.60	653.00	1.40	tr.				tr.						80		80	54		54
105057	653.00	654.60	1.60	tr.				tr.						100		100	72		72
105058	654.60	658.30	3.70	tr.				tr.						170		170	50		50
105059	658.30	663.90	5.60	tr.				tr.						110		110	67		67
105060	663.90	666.00	2.10	tr.				tr.						150		150	60		60
105061	666.00	671.20	5.20	tr.				tr.						90		90	57		57
105062	671.20	673.00	2.60	tr.				tr.						68		68	70		70
105063	673.00	677.00	3.20	309				309						80		80	54		54
1050612	677.00	682.00	5.00	tr.				tr.						52		52	36		36
105064	703.70	705.80	2.10	tr.				tr.						66		66	52		52
105065	705.80	707.60	1.80	411				411						60		60	60		60
105066	707.60	710.50	2.90	tr.				tr.						110		110	70		70
105067	723.40	725.50	2.10	tr.				tr.						100		100	72		72
105068	734.60	737.50	2.90	tr.				tr.						90		90	29		29
105069	737.50	744.20	6.70	tr.				tr.						64		64	34		34
105070	744.20	748.00	3.80	tr.				tr.						50		50	22		22
105071	751.60	753.70	2.10	tr.				tr.						40		40	20		20
105072	766.60	768.50	1.90	tr.				tr.						60		60	17		17
105073	797.50	800.80	3.30	tr.				tr.						66		66	46		46

MINNOVA INC. - DIVISION EXPLORATION

éCHANTILLON	DE (pi)	A (pi)	LONGUEUR (pi)	Au(1) ppb	Au(2) ppb	Au(3) ppb	Au(4) ppb	Au(MOY) ppb	Ag ppm	As ppm	Sb ppm	Mo ppm	Pb ppm	Cu(1) ppm	Cu(2) ppm	Cu(MOY) ppm	Zn(1) ppm	Zn(2) ppm	Zn(MOY) ppm	
105074	826.00	827.10	1.10	tr.				tr.						70		70	27		27	
105075	831.10	836.00	4.90	tr.				tr.						50		50	22		22	
105076	849.70	854.30	4.60	tr.				tr.						36		36	27		27	
105077	854.30	856.60	2.30	tr.				tr.						42		42	22		22	
105078	870.50	872.10	1.60	tr.				tr.						46		46	22		22	
105079	873.80	877.50	3.70	tr.				tr.						86		86	40		40	
105080	879.50	881.60	2.10	tr.				tr.						46		46	44		44	
105081	886.60	891.40	4.80	tr.				tr.						90		90	39		39	
105082	901.30	903.00	1.70	tr.				tr.						64		64	30		30	
105083	904.90	909.30	4.40	tr.				tr.						78		78	35		35	
105084	909.30	911.00	1.70	tr.				tr.						78		78	22		22	
105085	919.60	920.90	1.30	tr.				tr.						42		42	35		35	
105086	924.10	927.10	3.00	tr.				tr.						41		41	42		42	
105087	927.10	927.90	0.80	tr.				tr.						1084		1084	100		100	
105088	937.40	940.10	2.70	tr.				tr.						42		42	29		29	
105089	941.60	944.80	3.20	tr.				tr.						33		33	24		24	
105090	950.00	952.10	2.10	tr.				tr.						41		41	14		14	

MINNOVA INC. - DIVISION EXPLORATION

COMPAGNIE : MINNOVA EXPLORATION	PROJET : ILE OPAMICA	SONDAGE : OP-02	IMPRIMÉ LE : 10/09/90																								
CANTON : LESPERANCE	RANG : -	LOT : -	CLAIM : 317226-3																								
<u>COORDONNEES AU COLLET</u>	GRILLE : LIGNE : 0+00E STATION : 6+25N	LATITUDE : 625.00 LONGITUDE : 0.00 ELEVATION : 50.00	AZIMUT : 235 0' PLONGEE : -45 0'																								
<u>PROFONDEUR</u>	AU DEPART : 0.00	FIN DE TROU : 826.00	TUBAGE LAISSÉ (?) : Oui																								
GEOLOGUE : PAUL GIRARD			DATE DU JOURNAL : 01 juin 90																								
CONTRACTEUR : FORAGE BELAND			FORAGE DEBUTE LE : 31 mai 90																								
BUT : Tester le haut mag central ainsi que la zone A			TERMINE LE : 04 juin 90																								
<u>DONNEES D'ORIENTATION</u>																											
<table border="1"> <thead> <tr> <th>Longueur</th> <th>Azmut</th> <th>Plongée</th> <th></th> </tr> </thead> <tbody> <tr> <td>0.00</td> <td>235 0'</td> <td>-45 0'</td> <td></td> </tr> <tr> <td>201.00</td> <td>*237 24'</td> <td>-42 0'</td> <td></td> </tr> <tr> <td>400.00</td> <td>*239 47'</td> <td>-42 0'</td> <td></td> </tr> <tr> <td>586.00</td> <td>242 0'</td> <td>-40 0'</td> <td></td> </tr> <tr> <td>821.00</td> <td>243 0'</td> <td>-40 0'</td> <td></td> </tr> </tbody> </table>				Longueur	Azmut	Plongée		0.00	235 0'	-45 0'		201.00	*237 24'	-42 0'		400.00	*239 47'	-42 0'		586.00	242 0'	-40 0'		821.00	243 0'	-40 0'	
Longueur	Azmut	Plongée																									
0.00	235 0'	-45 0'																									
201.00	*237 24'	-42 0'																									
400.00	*239 47'	-42 0'																									
586.00	242 0'	-40 0'																									
821.00	243 0'	-40 0'																									
(*) azimut estimé																											

MINNOVA INC. - DIVISION EXPLORATION

DE (pi)	A (pi)	TEXTURE ET STRUCTURE	ALTERATION	MINERALISATION
0.00	50.00	<p>MT</p> <p>MORT-TERRAIN</p>		
50.00	826.00	<p>I3AMG(8)CL(SI)vCC</p> <p>GABBRO MAGNETIQUE</p> <p>Vert foncé à noir, variant de microgabbro (granulométrie diminuée due à l'altération) à pseudo-ophitique à feldspath blanc hypidiomorphe de 1-3mm jusqu'à 30% très localement. Quelques passages de leucogabbro à aspect légèrement recristallisé (40-60% feldspath). Varie de moyennement magnétique à très localement fortement. Souvent litage magnétique (centimétrique) composition légèrement différente.</p> <p>La fracturation varie de faible à moyenne par veinules de calcite d'orientation irrégulière.</p> <p>A partir de 397.00, environ 1% de veine/dyke/ou remplacement siliceux. Contact net mais on retrouve toujours texture grenue de gabbro dans zones siliceuses rouges.</p> <p>Altération en chlorite moyenne diffuse pour l'ensemble ainsi que silice faible. Calcite diffuse locale. Biotite? et localement épidote.</p> <p>Minéralisation variable. Pyrite absente à traces disséminées ou en fines veinules (plus rare). Magnétite très fine, souvent en amas bordés de chlorite (SZ?).</p>	<p>50.30 - 51.10</p> <p>106501: (HG)#CC(CL)(PY)vCC</p> <p>0,5% - 1% de pyrite fine.</p>	<p>60.60 - 61.60</p> <p>106502: (HG)#CC(CL)(SI)PYvCC</p>

MINNOVA INC. - DIVISION EXPLORATION

DE (pi)	A (pi)	TEXTURE ET STRUCTURE	ALTERATION	MINÉRALISATION
			<p>76.00 - 80.60</p> <p>105613: I3AN69(DOCLCC)</p> <p>Gabbro vert moyen à foncé faiblement altéré, biotite très fine en agrégats remplaçant partiellement les minéraux mafiques. Texture hétérogène, microgrenue avec fractures de chlorite au début allant à phanérotique fin à moyen équigranulaire. Texture intrusive ! effacée par l'altération.</p> <p>Traces de pyrite fine locale.</p>	<p>1-2% de pyrite jusqu'à 2mm.</p>
			<p>81.60 - 86.00</p> <p>105614:</p> <p>Idem avec veinules de quartz enfund subcentimétriques recoupées par veinules de calcite submillimétriques.</p>	<p>80.60 - 81.60 /\SiAB(CC)PY</p> <p>106503:</p> <p>Brèche hydrothermale de silice avec albite et un peu de calcite forant fragments angulaires de très fins à 3cm.</p> <p>1-3% de pyrite en amas et disséminée.</p>
				<p>96.70 - 99.10</p> <p>106504: /\SiAB(CC)PY/MG+(B)CL(Si)(CC)(PY)vCC</p>

MINNOVA INC. - DIVISION EXPLORATION

DE (pi)	A (pi)	TEXTURE ET STRUCTURE	ALTERATION	MINERALISATION
			<p>110.80 - 114.80</p> <p>106506: NG#CCCL(Si)(PY)vCC</p> <p>Granulométrie diminuée par l'altération.</p> <p>Calcite diffuse et en veinules, chlorite diffuse et probablement silice faible.</p> <p>Traces à 0,5% de pyrite fine.</p> <p>186.00 - 190.80</p> <p>105615: I3AMG=BOCL(RB?)</p> <p>Gabbro équi-granulaire moyen, biotite en agrégats fins remplaçant les mafiques, riebeckite diffuse superposée devinée d'après la coloration.</p> <p>Foliation moyenne à intense à la fin de l'intervalle, anastomosée, à ± 30°AC.</p>	<p>5° de brèche similaire au début de l'intervalle avec ensuite gabbro magnétique.</p> <p>Gabbro surtout chloritisé avec silice et faible calcite.</p> <p>1-2% de pyrite surtout en veinules dans brèche et légèrement supérieure à traces dans gabbro.</p> <p>104.80 - 105.80</p> <p>106505: (NG)CCCLSiPY</p> <p>Pyrite 1-2% fine disséminée.</p> <p>190.80 - 192.10 I3AMG(B)CC(SiCL)PY</p>

MINNOVA INC. - DIVISION EXPLORATION

DE (pi)	A (pi)	TEXTURE ET STRUCTURE	ALTÉRATION	MINÉRALISATION
			<p>192.10 - 196.00</p> <p>105616:</p> <p>Idea, avec quelques xénolithes? centimétriques arrondis de microgabbro.</p> <p>212.00 - 257.00 CL(Si)vCC/SiCB?CL(CC)vCCEP?</p> <p>Transition graduelle entre le gabbro relativement frais grevé à un gabbro altéré à granulométrie diminuée.</p> <p>Chlorite généralement moyenne sur l'ensemble, silice et carbonate (calcite ?) variables.</p> <p>Pyrite habituellement traces avec magnétite très fine (SI?)</p> <p>216.90 - 220.90</p> <p>106508: Mg#CLSi(CC)(PY)vCC</p> <p>222.10 - 223.20</p> <p>106509: Mg(0)CLSi(CC)(PY)vCC</p> <p>237.10 - 239.40</p>	<p>106507:</p> <p>Granulométrie diminuée par l'altération.</p> <p>Calcite diffuse et en quelques veinules, silice et chlorite faibles?</p> <p>2% de pyrite très fine.</p>

MINNOVA INC. - DIVISION EXPLORATION

DE (pi)	A (pi)	TEXTURE ET STRUCTURE	ALTERATION	MINERALISATION
			<p>106510: MgClSi(Cc)PyvCc</p> <p>252.00 - 257.00</p> <p>105617: T3AlMgB+CCLEP(BORBM)</p> <p>Leucogabbro phanéritique fin à moyen, texture intrusive visible sur $\times 10\times$ de l'intervalle, ailleurs oblitéré par altération polyphase contrôlée par les fractures en stockwork. Biotite semble peu abondante à absente dans les intervalles peu altérés, faible à moyenne où la texture primaire est effacée dû à la densité de veinules en stockwork polyphase, ce qui suggère ici que la biotite est hydrothermale plutôt que métamorphique. Stockwork polyphase: biotite presque pénétrative, très fine, remplacée par feldspath (biotite en îlots lessivés) recoupé par vSiM; ces vSiM millimétriques sont coupés par vEP submillimétriques. Zone de RB remplace BQ, RB frais dans zones EP suggère RB tardive. vCC \pm RB millimétriques recourent tout. Echantillon pour lame mince.</p> <p>Traces de pyrite fine locale.</p> <p>257.00 - 293.40 M15M6#S1CL(CB)vCC</p> <p>ROCHE METASOMATIQUE</p> <p>Vert foncé à noire très finement grenue variant de magnétique à très faiblement magnétique. Il s'agit probablement de gabbro dont l'altération a réduit la granulométrie.</p> <p>La fracturation est définie par veinules de calcite de très fines à quelques millimètres et parfois veinules de quartz et veinules d'albite.</p> <p>Altération en silice et chlorite diffuse moyenne avec probablement carbonate. Hématite très faible localement.</p>	

MINNOVA INC. - DIVISION EXPLORATION

DE (pi)	A (pi)	TEXTURE ET STRUCTURE	ALTÉRATION	MINÉRALISATION
			<p>Pyrite généralement de traces à 0,5%, localement encore à 5% magnétite.</p> <p>257.00 - 261.00</p> <p>106511: (Mg)(S)SiCLCC(PY)</p> <p>261.00 - 266.00</p> <p>106512: (M)CCSiCLvBZ</p> <p>266.00 - 267.60</p> <p>106513: (M)SiCB?CL(HM)vCC</p> <p>Traces de pyrite.</p> <p>267.60 - 271.70</p> <p>106514: (Mg)SiCL(CCCB?)PYvCCAB</p> <p>Traces à 0,5% de pyrite.</p> <p>271.70 - 274.00</p> <p>106515: (Mg)M+Si+CLHNCB?(PY)vAB</p> <p>1% de pyrite fine.</p>	<p>274.00 - 274.90</p> <p>106516: (Mg)M+Si+(CLHNCB)PY+vBZCC</p> <p>Pyrite fine irrégulièrement dispersée jusqu'à 5%.</p> <p>274.90 - 279.60</p>

MINNOVA INC. - DIVISION EXPLORATION

DE (pi)	A (pi)	TEXTURE ET STRUCTURE	ALTERATION	MINERALISATION
			<p>279.60 - 283.80</p> <p>106518: MG(Ø)SiCL(CB?)(PY)vCC</p> <p>Pyrite traces 0,5%.</p> <p>283.80 - 285.20</p> <p>106519: (MG)/\CLCC</p> <p>Roche bréchique dont les fragments de 1-2cm sont carbonatés tandis que la chlorite est injectée.</p> <p>285.20 - 289.00</p> <p>106520: MG(Ø)SiCL(CC)vCC</p> <p>Une veine de quartz rougeâtre de 3'.</p> <p>Traces de pyrite.</p> <p>289.00 - 293.40</p> <p>106521: Idem.</p> <p>293.40 - 352.80</p> <p>Zone de transition idem à celle débutant à 212.00'.</p> <p>301.40 - 307.50 I3AMG(Ø)SiCLvCC/vØZ(HN)vCC</p> <p>Zone de gabbro comprenant ±25% de veines de quartz rougeâtre allant jusqu'à 8". Ces veines de quartz, de même que le gabbro, sont recoupées par veinules de calcite.</p>	<p>106517: MGØSiCLCB?PYvØZAB</p> <p>Pyrite 1-2% locale.</p>

MINNOVA INC. - DIVISION EXPLORATION

DE (pi)	A (pi)	TEXTURE ET STRUCTURE	ALTÉRATION	MINÉRALISATION
			<p>Gabbro surtout silicifié et chloritisé diminuant la granulométrie.</p> <p>Traces de pyrite dans veines et gabbro.</p> <p>106522: 301.40-304.40 106523: 304.40-307.50</p> <p>307.50 - 311.40</p> <p>105618: 13A1M6CLBOCCvCC</p> <p>Intervalle de leucogabbro moyennement à fortement altéré en CLBOCC avec veinules de calcite millimétriques à espacement centimétrique.</p> <p>2 traces pyrite fine dans intervalles plus fortement altérés, concentrations locales.</p> <p>311.40 - 314.90 M15M6B1CL(CCHM)PYvCC</p> <p>106524: Roche métasomatique</p> <p>Pyrite irrégulièrement dispersée de traces à 3%.</p> <p>314.90 - 319.00 M15M6B1CL(CC)(PY)</p> <p>106525: Roche métasomatique</p> <p>Pyrite très irrégulière de traces à 1%.</p> <p>319.00 - 324.00</p> <p>105619: 13A1M6(CLBO)</p> <p>Texture microlithique définie par feldspath, mafiques interstitiels; relativement peu altérés.</p>	

MINNOVA INC. - DIVISION EXPLORATION

DE (pi)	A (pi)	TEXTURE ET STRUCTURE	ALTERATION	MINERALISATION
			<p>324.00 - 327.00</p> <p>105620: I3A1MS(=)?CLBO(RB) quelques vFPDZ</p> <p>Idea, altération moyenne (texture visible) localement forte (texture oblitérée).</p> <p>Leuco à mésogabbro; comme précédemment.</p> <p>2 traces de pyrite fine disséminée.</p> <p>352.80 - 369.60 N1SMB#S1CL(PY)vCC</p> <p>GABBRO METASOMATISE</p> <p>Gris foncé finement grenu difficilement reconnaissable. Magnétisme moyen à faible.</p> <p>La fracturation est définie par veinules de calcite.</p> <p>Altération surtout en silice et chlorite avec calcite locale.</p> <p>Traces à 1% de pyrite en général.</p> <p>352.80 - 355.10</p> <p>106526: Type.</p>	<p>355.10 - 356.70</p> <p>106527: (M6)(#)Si+++CC(CLHM)PY++</p> <p>Pyrite jusqu'à 8% de très fine à 3mm.</p>
			<p>356.70 - 361.00</p>	

MINNOVA INC. - DIVISION EXPLORATION

DE (pi)	A (pi)	TEXTURE ET STRUCTURE	ALTERATION	MINERALISATION
		<p>436.70 - 461.40 I2J(MG)(B)(SiCL)vQZ(HM)</p> <p>DIORITE</p> <p>Roche intrusive moyennement grenue (1-3mm) contenant en moyenne 70% de feldspath blanc à rosâtre hypidiomorphe à xénomorphe et à 30% de mafiques de taille variable allant de matrice fine (+ silice) à 2mm hypidiomorphe à xénomorphe. Quelques xénolithes arrondis (<2cm) probablement de microgabbro. Faiblement à très faiblement magnétique.</p> <p>La fracturation est définie par veines/veinules de quartz</p>	<p>106528: Type.</p> <p>361.00 - 365.80</p> <p>106529: Type.</p> <p>365.80 - 369.80</p> <p>106530: MG(*)Si(CL)vCC</p> <p>Traces de pyrite.</p> <p>380.50 - 382.60</p> <p>106531: I3A1MG(SiCL)(PY)vSiCL</p> <p>0,5% de pyrite en moyenne.</p> <p>406.50 - 409.10</p> <p>106532: (MG)SiCL(PY)vQZ(HM)</p> <p>414.40 - 415.10</p> <p>106533: I?(MG)Si++HM</p>	

MINNOVA INC. - DIVISION EXPLORATION

DE (pi)	A (pi)	TEXTURE ET STRUCTURE	ALTERATION	MINÉRALISATION
		<p>et hématite et quelques veinules de calcite.</p> <p>Altération faible en silice et chlorite, avec faible hématisation de feldspath.</p> <p>Minéralisation absente.</p> <p>474.20 - 483.70 I2J1(MG)(B)(Si)CLBOCC</p> <p>Idem à diorite précédente sauf sans veine de quartz.</p>	<p>456.00 - 459.50</p> <p>106534: Type avec 3% veine de quartz.</p> <p>479.40 - 483.70</p> <p>105621: (I2J1 ou I2Dm)MGCLBOCC</p> <p>Leucodiorite ou mélanosynite avec ± 30% mafiques. Feldspath et mafiques surtout allotriomorphes, quelques lattes de feldspaths. Quelques veinules de feldspath-quartz. Biotite en agrégats fins remplaçant mafiques formant agrégats allongés définissant foliation moyenne locale à ± 45°AC.</p> <p>Traces de pyrite fine locale.</p> <p>483.70 - 487.60 M15(MG)B+Si(CLCCM)(PY)+QZ+CCvAD</p> <p>106535:</p> <p>Roche métasomatique, altération variable, silice entre moyenne et forte. Calcite, chlorite et hématite disséminées faibles.</p> <p>II de pyrite en moyenne en masses, en veinules et disséminée.</p>	

MINNOVA INC. - DIVISION EXPLORATION

DE (pi)	A (pi)	TEXTURE ET STRUCTURE	ALTERATION	MINERALISATION
		<p>487.60 - 514.00 I3A1MG#S1CLvFP</p> <p>LEUCOGABBRO</p> <p>Grenu (2-3mm) à proportion variable mafique/feldspath. Jusqu'à 60% feldspath blanc sur 6°. Les mafiques sont généralement interstitiels rénomorphes et les feldspaths hypidiomorphes (mais varient de rénomorphes à automorphes très localement). Les feldspaths semblent par endroits bordés par silice (réaction?).</p> <p>La fracturation est surtout définie par veinules (1-3mm) de feldspath avec parfois épidote.</p> <p>Altération en silice diffuse moyenne de même que chlorite (mafiques). Biotite?</p> <p>Généralement traces de pyrite et magnétite très fines à I difficilement évaluables.</p>	<p>487.60 - 492.60</p> <p>105622: I3AMG(CLB0)vFPQZ vIIF</p> <p>Gabbro phanéritique chloritisé/biotisé avec 2 SZ veinules de feldspath-quartz et zones FPQZ irrégulières. Quelques injections centimétriques à subcentimétriques d'aplite fine.</p>	
		<p>514.00 - 826.00 I3AMG(0)CLSI/I3A1MG(0)(S1CL)/I2J1B</p> <p>ZONE MIXTE</p> <p>Zone mixte de gabbro finement grenu (probablement dû à l'altération), de gabbro plus grenu leucocrate et de dyke à angle de contact très variable, de taille variable, de roche intrusive felsique similaire à diorite précédente mais plus leucocrate (80% feldspath rénomorphe). La distinction entre les dykes et les passages de gabbro leucocrate est souvent difficile.</p> <p>La fracturation varie entre faible et moyenne par veinules/veines de</p>		

MINNOVA INC. - DIVISION EXPLORATION

DE (pi)	A (pi)	TEXTURE ET STRUCTURE	ALTERATION	MINÉRALISATION
		<p>calcite, quartz & veines de quartz/hématite et localement feldspath.</p> <p>Le gabbro fin est surtout altéré en chlorite et silice diffuse qui oblitère la texture parfois avec hématite. Le gabbro leucocrate est faiblement silicifié et chloritisé, tandis que la diorite est faiblement altérée même si à la limite il pourrait s'agir de gabbro altéré dont la texture grenue est demeurée. Epidote locale sur l'ensemble.</p> <p>Généralement traces de pyrite avec encore magnétite très fine en aaas, (moins évidente).</p>	<p>514.90 - 517.10</p> <p>106537: I3AM6(♯)Si(CLEP)</p> <p>Traces de pyrite.</p> <p>517.10 - 519.10</p> <p>106538: M15(MG)(♯)EP+(CLSi)vQZ</p> <p>Roche vert pomme hétérogène.</p> <p>Traces de pyrite.</p> <p>519.10 - 521.60</p> <p>106539: I2D1(Si)</p> <p>562.50 - 566.50</p> <p>106540: M15MG(♯)SiCL(CCHM)</p> <p>Traces de pyrite.</p> <p>566.50 - 568.40</p> <p>105623: I3AM6CLBOCCvCC</p>	

MINNOVA INC. - DIVISION EXPLORATION

DE (pi)	A (pi)	TEXTURE ET STRUCTURE	ALTERATION	MINERALISATION
			<p>Gabbro altéré à texture intrusive à oblitérée; quelques I de veinules de calcite submillimétriques à millimétriques.</p> <p>Zone centimétrique plus fortement altérée en calcite avec HM et à 10% pyrite fine en micro-veinules associées avec veinules de calcite submillimétriques très denses.</p> <p>568.40 - 571.00 M1S(MG)H+SICL(HM)(PY)vQZABvCC</p> <p>106541: Roche métasomatique</p> <p>Fractures définies par veine de quartz-albite irrégulière jusqu'à 5" et minces veinules de calcite.</p> <p>0,5-1% de pyrite fine.</p> <p>613.50 - 616.50</p> <p>106542: M1SBSi+CL(CC)(PY)vQZvCC</p> <p>Quelques veines de quartz blanc (lca) et très fines veinules de calcite.</p> <p>Silice prédominante avec chlorite diffuse et calcite diffuse et en fines veinules.</p> <p>Pyrite légèrement supérieure à traces.</p>	<p>569.90 - 573.40</p> <p>105624: I3ANG(CLBOCC)vCC</p> <p>Gabbro équigranulaire fin moyennement altéré, intensément folié (plans de chlorite anastomosés) sur un intervalle décimétrique très fin de l'échantillon. Foliation à ± 45°AC.</p> <p>Traces de pyrite dans veinules de calcite millimétriques.</p>

MINNOVA INC. - DIVISION EXPLORATION

DE (pi)	A (pi)	TEXTURE ET STRUCTURE	ALTERATION	MINERALISATION
			<p>616.50 - 618.00</p> <p>105625: (12J1 ou 12Dw)-SivCC</p> <p>Leucodiorite ou mélanosyérite phanéritique formant un porphyre avec minéraux mafiques intrastitiaux. Texture intrusive floue dû à la silicification. Foliation définie par alignement de feldspath allongé formant des microlithons avec septa de chlorite submillimétriques anastomosés.</p>	<p>618.00 - 621.50</p> <p>105626: 13A*(MG)CLCC(BD)vCC</p> <p>Gabbro où à 30% de l'intervalle est moyennement à fortement chloritisé, carbonaté avec perte de la texture intrusive.</p>
			<p>620.50 - 624.30 13AMB(S)CLCC(PY)vBZvCC</p> <p>106543:</p> <p>Pyrite fine de traces à 0,5%</p>	
			<p>624.30 - 657.50 13AMB(B)(*)CL(S1)</p> <p>GABBRO FAIBLEMENT FOLIE</p> <p>Similaire à celui du début du trou. Système de veinules peu dense. Veinules de calcite très fines, veines/veinules de quartz + quartz-feldspath (albite) ou feldspath seul.</p> <p>Fracturation généralement faible définie par ces veinules. Foliation très floue, mal définie par alignement du feldspath.</p> <p>Chlorite moyenne et silice généralement faible à localement moyenne. Epidote très faible.</p>	

MINNOVA INC. - DIVISION EXPLORATION

DE (pi)	A (pi)	TEXTURE ET STRUCTURE	ALTERATION	MINERALISATION
			<p>Généralement traces de pyrite.</p> <p>624.30 - 629.10</p> <p>105627: I3ANGCL(BOCCHMEP)vBZCC</p> <p>Gabbro dont la texture intrusive est oblitérée à ± 70% par l'altération ± diffuse en CL±BO, CC, EP, etc. Feldspath bleuté (remplacement par RB très fine?). Traces à IZ leucoxène, veines et veinules de quartz avec fragments angulaires de l'encaissant. Ces veines sont fracturées par calcite.</p> <p>± traces pyrite fine disséminée.</p> <p>631.10 - 631.90</p> <p>106545: M6(=)SiCl(CC)(PY)</p> <p>Pyrite légèrement supérieure à traces.</p> <p>648.50 - 654.80</p> <p>105628: I3ANG-M6+BOCLPY±PO vFPBZ</p> <p>Gabbro altéré avec ± 3I veinules de feldspath-quartz.</p> <p>≤ 0.5I PY±PO fine disséminée en concentrations locales.</p> <p>654.80 - 657.50</p> <p>106546: M6(=)(B)SiClCC(HM)</p>	<p>629.10 - 629.80</p> <p>106544: (M6)(=)SiCl(CC)PY</p> <p>1-2I de pyrite irrégulière dispersée en fines veinules.</p>

MINNOVA INC. - DIVISION EXPLORATION

DE (pi)	A (pi)	TEXTURE ET STRUCTURE	ALTERATION	MINERALISATION
		<p>675.30 - 682.00 I2B(S1)vCC</p> <p>Dyke de syénite, texture oblitérée.</p> <p>Début altéré surtout en épidote et silice, avec oblitération de la texture intrusive. Le reste est faiblement altéré en silice.</p>	<p>Traces de pyrite fine.</p> <p>657.50 - 663.90</p> <p>105629: Iden.</p> <p>663.90 - 666.90 I3A(MG)B+SICL(PY)vCCvQZvCLvAB</p> <p>106547:</p> <p>Gabbro finement grené avec nombreuses fines veinules de calcite. 2 types de veinules, une irrégulière et discontinue et une à environ 80°AC très régulière. Magnétique là où la carbonatation est moins intense.</p> <p>Silice et chlorite moyennes avec calcite diffuse en enveloppes autour des veinules.</p> <p>0,5% pyrite sur l'ensemble.</p> <p>666.90 - 671.90</p> <p>105630: Iden.</p> <p>Biotite fine phanéritique forme 5-10% de la roche, aussi biotite très fine ± RB dans la matrice.</p> <p>± traces pyrite ± pyrrhotine.</p>	

MINNOVA INC. - DIVISION EXPLORATION

DE (pi)	A (pi)	TEXTURE ET STRUCTURE	ALTÉRATION	MINÉRALISATION
			<p>675.30 - 679.00</p> <p>106548: #+SiEP(CLCC)vCCvCL</p> <p>Traces de pyrite.</p> <p>691.50 - 723.50 Mg(Ø)CL(Si)vCC</p> <p>Gabbro à granulométrie diminuée par altération, similaire à ceux précédents. Magnétisme variant de moyen à moyen-faible.</p> <p>La fracturation est définie par veinules de 1-3mm de calcite irrégulières et discontinues et quelques veines de quartz blanc à rosé.</p> <p>Chlorite moyenne et silice faible. Calcite généralement restreinte aux veinules, localement disséminée.</p> <p>Traces de pyrite.</p> <p>691.50 - 692.30</p> <p>106549: Mg(Ø)CL(Si)(PY)vCC</p> <p>Traces à 0,5% de pyrite.</p> <p>696.20 - 697.20</p> <p>106550: Mg(Ø)CLSiPYvCC</p> <p>1% pyrite en moyenne.</p> <p>698.70 - 702.00</p> <p>106551: Mg(Ø)CL(Si)(PY)vCC</p> <p>Traces à 1% de pyrite sur quelques pouces.</p>	

MINNOVA INC. - DIVISION EXPLORATION

DE (pi)	A (pi)	TEXTURE ET STRUCTURE	ALTÉRATION	MINÉRALISATION
			<p>714.20 - 718.40</p> <p>105631: 13AM6CLD0(CC)+CC</p> <p>Gabbro altéré à texture oblitérée sur ± 90% de l'intervalle. Inclut un dyke de leucodiorite à contacts irréguliers, lui-même coupé par veinule de feldspath-quartz qui est à son tour coupée par veinules de calcite.</p> <p>Traces de pyrite associée avec veinules de calcite mais aussi en veinules submillimétriques discontinues isolées.</p>	<p>718.30 - 719.40 13AM60Si+CLPY+VQZ</p> <p>106552:</p> <p>60% veine de quartz centimétrique irrégulière parfois diffuse et gabbro siliceux vert foncé. Quartz recoupé par minces veines de calcite (très peu).</p> <p>Pyrite surtout en bordure de veines de quartz et en anas (lca dans gabbro.</p>
			<p>719.30 - 724.00</p> <p>105632: Idem.</p> <p>728.90 - 753.00 MB(8)CLSiPY</p> <p>Même gabbro à texture (granulométrie) oblitérée. Très peu de passages grenus plus leucocrates. Moyennement magnétique.</p> <p>Fracturation faible définie par veinules de calcite et veinules de feldspath.</p> <p>Altération en chlorite et silice diffuse moyenne, calcite restreinte aux veinules.</p>	

MINNOVA INC. - DIVISION EXPLORATION

DE (pi)	A (pi)	TEXTURE ET STRUCTURE	ALTÉRATION	MINÉRALISATION
		<p>755.50 - 757.70 12J06i</p> <p>Dyke de diorite altéré.</p> <p>Silice moyenne oblitérant la texture grenue localement.</p>	<p>Pyrite irrégulièrement dispersée de 0,5 à 2% en moyenne, disséminée et en veinules.</p> <p>728.90 - 733.00 Type.</p> <p>106553:</p> <p>733.00 - 737.00</p> <p>106554: Type.</p> <p>737.00 - 741.00</p> <p>106555: Type.</p> <p>741.00 - 745.00</p> <p>106556: Type.</p> <p>745.00 - 749.00</p> <p>106557: Type.</p> <p>749.00 - 753.00</p> <p>106558: Type.</p> <p>753.00 - 755.50</p> <p>106559: Type.</p>	

MINNOVA INC. - DIVISION EXPLORATION

DE (pi)	A (pi)	TEXTURE ET STRUCTURE	ALTERATION	MINÉRALISATION
		763.00 - 772.00 12JL(8)Si	755.50 - 757.50 106560: Type. 757.50 - 763.00 106561: Type.	
		Dyke de diorite idem encore altéré. Contact supérieur net tandis que contact inférieur flou associé à épidote moyenne.		
		Fracturation définie par veinules de calcite (très peu) avec épidote locale.		
		Altération moyenne en silice.	788.40 - 790.80 106562: Mg(8)SiCLP(PY)vCC	
			Texture fluidale définie par gabbro siliceux, chloriteux et gabbro épidotisé.	
			Silice et chlorite avec épidote hétérogène.	
			Pyrite traces à 0,5%.	790.80 - 795.80 106563: Mg8SiCLPYv02vFP
				Pyrite 1-2% fine irrégulière disséminée.

MINNOVA INC. - DIVISION EXPLORATION

DE (pi)	A (pi)	TEXTURE ET STRUCTURE	ALTERATION	MINÉRALISATION
				<p>808.80 - 810.50</p> <p>106564: I3AMG(8)SiCL(EP)PY+CCFP+CC</p> <p>2I de pyrite.</p> <p>810.50 - 814.80</p> <p>106565: I3AMG(8)SiCLPY+vFP+CL</p> <p>2-3I pyrite.</p> <p>826.00: FIN DU TROU</p>

MINNOVA INC. - DIVISION EXPLORATION

#CHANTILLON	DE (pi)	A (pi)	LONGUEUR (pi)	Au(1) ppb	Au(2) ppb	Au(3) ppb	Au(4) ppb	Au(MOY) ppb	Ag ppa	As ppa	Sb ppa	Mo ppa	Pb ppa	Cu(1) ppa	Cu(2) ppa	Cu(MOY) ppa	Zn(1) ppa	Zn(2) ppa	Zn(MOY) ppa	
106501	50.30	51.10	0.80	tr.				tr.						86		86	69		69	
106502	60.60	61.60	1.00	tr.				tr.						90		90	61		61	
106513	76.00	80.60	4.60	tr.				tr.						40		40	69		69	
106503	80.60	81.60	1.00	480				480						90		90	64		64	
106514	81.60	86.00	4.40	tr.				tr.						37		37	60		60	
106504	96.70	99.10	2.40	tr.				tr.						107		107	64		64	
106505	104.80	105.80	1.00	tr.				tr.						60		60	76		76	
106506	110.80	114.80	4.00	tr.				tr.						46		46	41		41	
106515	186.00	190.80	4.80	tr.				tr.						92		92	79		79	
106507	190.80	192.10	1.30	754				754						97		97	86		86	
106516	192.10	196.00	3.90	tr.				tr.						67		67	64		64	
106508	216.90	220.90	4.00	tr.				tr.						64		64	66		66	
106509	223.20	224.90	1.70	tr.				tr.						100		100	84		84	
106510	237.10	239.40	2.30	tr.				tr.						86		86	66		66	
106517	252.00	257.00	5.00	tr.				tr.						56		56	57		57	
106511	257.00	261.00	4.00	1166				1166						65		65	77		77	
106512	261.00	266.00	5.00	274				274						45		45	47		47	
106513	266.00	267.60	1.60	tr.				tr.						50		50	60		60	
106514	267.60	271.70	4.10	tr.				tr.						120		120	80		80	
106515	271.70	274.00	2.30	1269				1269						79		79	72		72	
106516	274.00	274.90	0.90	6651	6754			6737						65		65	56		56	
106517	274.90	279.60	4.70	1200				1200						80		80	61		61	
106518	279.60	283.80	4.20	tr.				tr.						100		100	92		92	
106519	283.80	285.20	1.40	tr.				tr.						79		79	100		100	
106520	285.20	289.00	3.80	tr.				tr.						84		84	87		87	
106521	289.00	293.40	4.40	tr.				tr.						80		80	52		52	
106522	301.40	304.40	3.00	tr.				tr.						49		49	50		50	
106523	304.40	307.50	3.10	274				274						100		100	77		77	
106518	307.50	311.40	3.90	tr.				tr.						84		84	64		64	
106524	311.40	314.90	3.50	1543				1543						130		130	96		96	
106525	314.90	319.00	4.10	274				274						100		100	96		96	
106519	319.00	324.00	5.00	tr.				tr.						122		122	36		36	
106520	324.00	327.00	3.00	tr.				tr.						110		110	42		42	
106526	332.80	335.10	2.30	tr.				tr.						140		140	77		77	
106527	335.10	356.70	1.60	9531	8983			9092						120		120	80		80	
106528	356.70	361.00	4.30	309				309						96		96	104		104	
106529	361.00	365.80	4.80	1131				1131						90		90	104		104	
106530	365.80	369.80	4.00	tr.				tr.						106		106	57		57	

MINNOVA INC. - DIVISION EXPLORATION

ECHANTILLON	DE (pi)	A (pi)	LONGUEUR (pi)	Au(1) ppb	Au(2) ppb	Au(3) ppb	Au(4) ppb	Au(MOY) ppb	Ag ppm	As ppm	Sb ppm	Mo ppm	Pb ppm	Cu(1) ppm	Cu(2) ppm	Cu(MOY) ppm	Zn(1) ppm	Zn(2) ppm	Zn(MOY) ppm	
106531	380.50	382.60	2.10	tr.				tr.						126		126	47		47	
106532	406.50	409.10	2.60	tr.				tr.						106		106	67		67	
106533	414.40	415.10	0.70	tr.				tr.						90		90	35		35	
106534	456.00	459.50	3.50	tr.				tr.						100		100	42		42	
105621	479.40	483.70	4.30	tr.				tr.						47		47	53		53	
106535	483.70	487.60	3.90	377				377						84		84	72		72	
105622	487.60	492.60	5.00	tr.				tr.						70		70	47		47	
106536	496.00	501.00	5.00	tr.				tr.						90		90	45		45	
106537	514.80	517.10	2.30	tr.				tr.						120		120	61		61	
106538	517.10	519.10	2.00	tr.				tr.						110		110	32		32	
106539	519.10	521.10	2.00	tr.				tr.						90		90	51		51	
106540	562.50	566.50	4.00	tr.				tr.						116		116	70		70	
105623	566.50	568.40	1.90	tr.				tr.						49		49	78		78	
106541	568.40	569.90	1.50	1646				1646						100		100	70		70	
105624	569.90	573.40	3.50	tr.				tr.						50		50	76		76	
106542	613.50	616.50	3.00	tr.				tr.						200		200	60		60	
105625	616.50	618.00	1.50	tr.				tr.						43		43	65		65	
105626	618.00	621.50	3.50	tr.				tr.						80		80	84		84	
106543	621.50	624.30	2.80	240				240						170		170	84		84	
105627	624.30	629.10	4.80	tr.				tr.						60		60	54		54	
106544	629.10	629.80	0.70	tr.				tr.						290		290	87		87	
106545	631.10	631.90	0.80	tr.				tr.						90		90	81		81	
105628	648.50	654.80	6.30	tr.				tr.						157		157	60		60	
106546	654.80	657.50	2.70	tr.				tr.						195		195	42		42	
105629	657.50	663.90	6.40	tr.				tr.						130		130	62		62	
106547	663.90	666.90	3.00	411				411						43		43	50		50	
105630	666.90	671.90	5.00	tr.				tr.						100		100	74		74	
106548	675.30	679.00	3.70	tr.				tr.						34		34	40		40	
106549	691.50	695.30	3.80	tr.				tr.						139		139	108		108	
106550	696.20	697.20	1.00	tr.				tr.						132		132	110		110	
106551	698.70	702.00	3.30	tr.				tr.						131		131	106		106	
105631	714.20	718.30	4.10	tr.				tr.						90		90	80		80	
106552	718.30	719.30	1.00	7337	6789			6891						53		53	37		37	
105632	719.30	724.00	4.70	tr.				tr.						90		90	77		77	
106553	728.90	733.00	4.10	343				343						114		114	60		60	
106554	733.00	737.00	4.00	tr.				tr.						110		110	57		57	
106555	737.00	741.00	4.00	tr.				tr.						191		191	60		60	
106556	741.00	745.00	4.00	tr.				tr.						152		152	57		57	

MINNOVA INC. - DIVISION EXPLORATION

ECHANTILLON	DE (pi)	A (pi)	LONGUEUR (pi)	Au(1) ppb	Au(2) ppb	Au(3) ppb	Au(4) ppb	Au(MOY) ppb	Ag ppm	As ppm	Sb ppm	Mo ppm	Pb ppm	Cu(1) ppm	Cu(2) ppm	Cu(MOY) ppm	Zn(1) ppm	Zn(2) ppm	Zn(MOY) ppm
106557	745.00	749.00	4.00	tr.				tr.						100		100	60		60
106558	749.00	753.00	4.00	tr.				tr.						91		91	58		58
106559	753.00	755.50	2.50	tr.				tr.						100		100	66		66
106560	755.50	757.70	2.20	tr.				tr.						32		32	40		40
106561	757.70	763.00	5.30	tr.				tr.						136		136	52		52
106562	788.40	790.80	2.40	tr.				tr.						126		126	41		41
106563	790.80	795.90	5.00	tr.				tr.						131		131	58		58
106564	808.80	810.50	1.70	tr.				tr.						274		274	61		61
106565	810.50	814.80	4.30	tr.				tr.						132		132	74		74

MINNOVA INC. - DIVISION EXPLORATION

COMPAGNIE : MINNOVA EXPLORATION	PROJET : ILE OPANICA	SONDAGE : BP-03	IMPRIMÉ LE : 09/11/90																		
CANTON : GAND	RANS : -	LOT : -	CLAIM : 317318-5																		
<u>COORDONNEES AU COLLET</u>	GRILLE : LIGNE : 9+50M STATION : 25+00M	LATITUDE : 2500.00 LONGITUDE : -950.00 ELEVATION : 20.00	AZIMUT : 282 0' PLONGEE : -45 0'																		
<u>PROFONDEUR</u>	AU DEPART : 0.00	FIN DE TROU : 786.00	TUBAGE LAISSE (?) : Oui																		
GEOLOGUE : F. SPEIDEL			DATE DU JOURNAL : 04 juin 90																		
CONTRACTEUR : FORAGE BELAND			FORAGE DEBUTE LE : 02 juin 90																		
BUT : Structure MNE possible dans syénite, définie par géophysique & topographie.			TERMINE LE : 05 juin 90																		
<u>DONNEES D'ORIENTATION</u>																					
<table border="1"> <thead> <tr> <th>Longueur</th> <th>Azimet</th> <th>Plongée</th> </tr> </thead> <tbody> <tr> <td>0.00</td> <td>282 0'</td> <td>-45 0'</td> </tr> <tr> <td>231.00</td> <td>280 0'</td> <td>-43 0'</td> </tr> <tr> <td>400.00</td> <td>281 50'</td> <td>-44 0'</td> </tr> <tr> <td>601.00</td> <td>284 0'</td> <td>-42 0'</td> </tr> <tr> <td>781.00</td> <td>288 0'</td> <td>-42 0'</td> </tr> </tbody> </table>				Longueur	Azimet	Plongée	0.00	282 0'	-45 0'	231.00	280 0'	-43 0'	400.00	281 50'	-44 0'	601.00	284 0'	-42 0'	781.00	288 0'	-42 0'
Longueur	Azimet	Plongée																			
0.00	282 0'	-45 0'																			
231.00	280 0'	-43 0'																			
400.00	281 50'	-44 0'																			
601.00	284 0'	-42 0'																			
781.00	288 0'	-42 0'																			
(s) azimet estimé																					

MINNOVA INC. - DIVISION EXPLORATION

DE (pi)	A (pi)	TEXTURE ET STRUCTURE	ALTERATION	MINERALISATION
0.00	30.00	NT		
30.00	786.00	<p>NT</p> <p>MONT-TERRAIN</p> <p>120(NB)(B)vQZvEP</p> <p>SYENITE ROSE EQUIGRANULAIRE PEU ALTEREE</p> <p>Roche intrusive phanéritique moyenne de couleur rose pâle en général, constituée d'environ 10-15% minéraux mafiques millimétriques hypidiomorphes à xénomorphes vert foncé à noir, ± 80% feldspath rosé hypidiomorphe millimétrique à submillimétrique et 55% matrice felsique interstitielle aphanitique et/ou quartz. Faiblement magnétique, xénolithes mafiques à granulométrie fine notés à intervalles ± métriques.</p> <p>Roche non foliée mais fracturation varie de faible à intense, surtout du type stockwork. Quelques intervalles centimétriques à métriques variablement foliés correspondant à des dykes mafiques équi-granulaires fins carbonatisés.</p> <p>A 557.80 veinule de quartz gris-bleu possède plan chloriteux au contact avec l'encaissant, contenant stries à 30°AC.</p> <p>Altération faible en général. Plusieurs intervalles métriques de syénite grise (stockwork de vQZ dense avec enveloppes Si), intervalles métriques à submétriques avec silice, séricite, hématisite et dolomie. Zones de veinules vert pâle (stockwork d'épidote?) Intervalles avec hématisation faible à localement moyenne du feldspath sur quelques mètres.</p> <p>Minéralisation généralement absente. Pyrite fine à moyenne disséminée et avec veinules submillimétriques de chlorite localement. Meilleures concentrations de pyrite dans intervalle de NISSIM(SRDW).</p>	<p>30.00 - 46.80 NISSIM+CC(SRCL)(PY)vCL</p> <p>SYENITE ROUGE METASOMATISEE</p> <p>Roche intrusive phanéritique de couleur rouge à rouge</p>	

MINNOVA INC. - DIVISION EXPLORATION

DE (pi)	A (pi)	TEXTURE ET STRUCTURE	ALTERATION	MINÉRALISATION
			<p>orangé moyen. Texture intrusive encore visible mais rendue floue par l'altération. Les intervalles plus faiblement altérés sont constitués d'environ 25% minéraux mafiques chloritisés millimétriques à submillimétriques et 270% feldspath rosé floe, définissant une texture équi-granulaire. Faiblement ou non magnétique.</p> <p>Foliation absente, fracturation faible à moyenne irrégulière en stockwork, surtout veinules de chlorite.</p> <p>Caractérisée par hématitisation généralement intense et une calcification moyenne. Intervalles centimétriques avec séricite vert p3le remplaçant partiellement ou totalement les minéraux mafiques.</p> <p>Traces pyrite fine à moyenne disséminée avec concentrations locales atteignant 5% sur des intervalles centimétriques.</p> <p>30.00 - 34.00</p> <p>105091: #SiCCM(SRCL)vCL</p> <p>Traces pyrite fine à moyenne locale.</p> <p>34.00 - 37.50</p> <p>105092: #*HM+CC(CL)vCL</p> <p>Minéralisation: idem.</p> <p>37.50 - 39.20</p> <p>105093: (#)HMSiCC(CL)</p> <p>Texture intrusive relativement bien définie.</p> <p>Traces pyrite fine disséminée.</p>	

MINNOVA INC. - DIVISION EXPLORATION

DE (pi)	A (pi)	TEXTURE ET STRUCTURE	ALTÉRATION	MINÉRALISATION
			<p>39.20 - 42.80</p> <p>105094: HM+(CLCCSR)vCLCC</p> <p>Traces de pyrite fine locale.</p> <p>42.80 - 46.80</p> <p>105095: HM(CLCCSR)vCLCC</p> <p>Texture intrusive relativement bien préservée.</p> <p>Traces de pyrite fine disséminée locale.</p> <p>46.80 - 48.70 H+HM(CCCL)vCL</p> <p>105096:</p> <p>Texture intrusive relativement bien préservée.</p> <p>Traces pyrite fine disséminée.</p> <p>48.70 - 51.70</p> <p>105097: H(HMCCCL)</p> <p>Diminution graduelle de l'intensité d'altération.</p> <p>58.10 - 62.90</p> <p>105098: H(Si)vQZ(CLRB?)</p> <p>± 25% vQZ+CL+RD millimétriques à subcentimétriques avec enveloppes Si subcentimétriques.</p> <p>71.50 - 74.00</p> <p>105099: 30% SiEP(HMCLRB)</p>	

MINNOVA INC. - DIVISION EXPLORATION

DE (pi)	A (pi)	TEXTURE ET STRUCTURE	ALTERATION	MINERALISATION
			<p>30% zones silicifiées, épidotisées avec faible hématite minéraux mafiques partiellement chloritisés, puis altérés en riebeckite; hornblende noir à vert moyen à bleu-gris.</p> <p>110.80 - 115.20</p> <p>105100: H+HW(SiCC)vCCvCL</p> <p>Traces pyrite fine locale.</p> <p>117.30 - 120.70</p> <p>105101: MCC(HW)vCL</p> <p>136.00 - 141.30</p> <p>105633: 120(MG)(#)</p> <p>Syénite équi-granulaire rose avec un xénoclaste centimétrique arrondi de microgabbro et à 10% fractures submillimétriques CL? avec enveloppes Si gris-rosé millimétriques.</p> <p>141.30 - 144.40 H+CCSi(HW)(PY)vCL</p> <p>105102:</p> <p>> traces pyrite fine à moyenne disséminée.</p> <p>144.40 - 149.40</p> <p>105634: Idea.</p> <p>166.10 - 167.90</p> <p>105103: 30% zones HWSi(CL) ou vCLRB?</p> <p>Présence de leucoxène.</p>	

MINNOVA INC. - DIVISION EXPLORATION

DE (pi)	A (pi)	TEXTURE ET STRUCTURE	ALTERATION	MINÉRALISATION
			<p>189.00 - 191.10</p> <p>105104: B+CC(PY)vCL</p> <p>> traces de pyrite fine à moyenne disséminée.</p> <p>196.20 - 197.70</p> <p>105105: B+CCvCL</p> <p>201.50 - 203.30</p> <p>105106: B+Si(HMCCSR)PYvCL</p> <p>> traces de pyrite fine disséminée.</p> <p>205.60 - 217.80 H15B+Si(HMSRBM)(PY)vCL+OZ</p> <p>SYENITE METASOMATISEE</p> <p>Syénite équi-granulaire à texture encore visible mais fortement métasomatisée.</p> <p>Altération variable, surtout silice moyenne à intense, hématisée moyenne, dolomie intense localisée à remplacement des mafiques par séricite. Veinules de chlorite et de quartz subaillométriques de type stockwork.</p> <p>Généralement < 1% pyrite fine à moyenne disséminée.</p> <p>205.60 - 210.40</p> <p>105107: B+Si(HMSRCC)(PY)vCL</p> <p>Silicification et hématisation diffuses, séricitisation variable des mafiques. > 10% vCL subaillométriques en</p>	

MINNOVA INC. - DIVISION EXPLORATION

DE (pi)	A (pi)	TEXTURE ET STRUCTURE	ALTERATION	MINERALISATION
			<p>stockwork.</p> <p>>Traces de pyrite fine disséminée.</p> <p>210.40 - 212.50</p> <p>105108: #+Si(HMCC)(PY)</p> <p>≥ Traces pyrite fine à moyenne disséminée.</p> <p>212.50 - 215.30</p> <p>105109: #Si+SR</p> <p>≈ Traces pyrite fine disséminée.</p> <p>215.30 - 216.40</p> <p>105110: #Si+SRDM</p> <p>Intervalle central avec > 70% dolomie beige fragmente la roche (fragments subaillatériques forment <30%).</p> <p>Traces pyrite fine à moyenne surtout avec dolomie.</p> <p>216.40 - 217.80</p> <p>105111: 60% #Si+SR(PY)+CL</p> <p>Diminution irrégulière de l'intensité d'altération.</p> <p>> traces pyrite fine disséminée.</p> <p>217.80 - 224.10</p> <p>105112: 40%#(Si) en zones ca.</p>	

MINNOVA INC. - DIVISION EXPLORATION

DE (pi)	A (pi)	TEXTURE ET STRUCTURE	ALTERATION	MINÉRALISATION
			<p>254.10 - 259.70</p> <p>105113: #Si vOZ</p> <p>± 15-20% vOZ-CL? bleuté millimétriques en stockwork avec ± 40% enveloppes Si grises associées.</p> <p>Traces pyrite fine disséminée.</p> <p>267.10 - 270.50</p> <p>105114: #LX vOZ vEP</p> <p>20% stockwork vOZ à enveloppes Si avec ± 30% vEP superposées?.</p> <p>270.50 - 274.50</p> <p>105115: #Si(PY) vOZCL</p> <p>± 0,5% pyrite fine à moyenne sur l'intervalle, 1-2% disséminée sur intervalles centimétriques.</p> <p>286.00 - 287.50</p> <p>105116: #O Si(CC) vEP</p> <p>Veines EP en stockwork forment ± 40-50% de la roche.</p> <p>317.00 - 319.10</p> <p>105117: #Si(PY) vCLRB?</p> <p>Une injection de 2cm de calcite carbonatitique à granulométrie fine, foliée.</p>	

MINNGVA INC. -- DIVISION EXPLORATION

DE (pi)	A (pi)	TEXTURE ET STRUCTURE	ALTERATION	MINERALISATION
		<p>331.90 - 332.80 VCC(14P)=PY</p> <p>INJECTION DE CALCITE CARBONATIQUE</p> <p>105120:</p> <p>Roche à équilibratoire fine gris-rose constituée surtout de calcite avec à 2-3% minéraux mafiques.</p> <p>Foliation moyenne définie par alignement minéralogique. Contacts nets mais irréguliers et fragmentés @ 45°AC.</p> <p>à 1% pyrite fine disséminée.</p>	<p>≤ 0,5% pyrite fine à moyenne.</p> <p>323.90 - 326.80</p> <p>105118: Ida à 105116</p> <p>Si forment enveloppes autour de vEP.</p> <p>327.50 - 331.00</p> <p>105119: à 50% vBZCLRB?)(vEP)</p> <p>338.90 - 340.00</p> <p>105121: SivCLRB?</p> <p>Syénite gris-bleue entièrement silicifiée.</p> <p>356.40 - 362.20</p> <p>105122: B(SiHM)(PY)</p>	

MINNOVA INC. - DIVISION EXPLORATION

DE (pi)	A (pi)	TEXTURE ET STRUCTURE	ALTERATION	MINERALISATION
		<p>362.20 - 362.90 I37(0)CC+(CL)</p> <p>105123:</p> <p>Dyke? mafique équilibré contité de feldspath (calcifié?), chlorite et riebeckite? en proportions à égales. Durété faible.</p> <p>Forte altération en calcite.</p>	<p>± traces pyrite fine à moyenne disséminée.</p> <p>362.90 - 364.20</p> <p>105124: 50% Si(SR)(PY)</p> <p>364.20 - 365.30 0+Si+(SR)PY+v0Z</p> <p>105125:</p> <p>Syénite rose pâle silicifiée avec à 15% veinules de quartz gris translucide millimétriques à submillimétriques en stockwork.</p>	<p>365.30 - 368.90</p> <p>105126: 0HM+(Si)PY</p> <p>Méatation moyenne à forte, séricitisation variable des mafiques.</p> <p>1-2% pyrite fine à moyenne disséminée.</p> <p>368.90 - 373.00</p> <p>105127: 0HM+Si(SR)PY+vCL</p>

MINNOVA INC. - DIVISION EXPLORATION

DE (pi)	A (pi)	TEXTURE ET STRUCTURE	ALTERATION	MINERALISATION
		<p>374.50 - 375.00 137+0(CCCL)v0Z</p> <p>105129:</p> <p>Dyke mafique équi-granulaire, probablement ides à 105123.</p> <p>Foliation moyenne à intense irrégulière définie par alignement minéralogique.</p> <p>±25% v0Z ± CC ca.</p>	<p>373.80 - 374.50</p> <p>105128: #Si+(PY)+CC</p> <p>Traces à 0,5% pyrite très très fine disséminée.</p> <p>375.00 - 375.80</p> <p>105130: ±30% (Si)(PY)</p> <p>410.30 - 411.70</p> <p>105131: #Si(SRM)(PY)</p> <p>Augmentation graduelle de l'intensité d'altération de faible à intense.</p> <p>Traces 0,5% pyrite fine disséminée.</p> <p>411.70 - 414.90</p>	<p>Silicification pénétrative, nématite pénétrative mais hétérogène, séricitisation variable des mafiques.</p> <p>1-2% pyrite fine disséminée, localement > 5% sur intervalle centimétrique.</p>

MINNOVA INC. - DIVISION EXPLORATION

DE (pi)	A (pi)	TEXTURE ET STRUCTURE	ALTERATION	MINERALISATION
		<p>414.90 - 420.40 I37+DW?(CL)</p> <p>Dyke mafique phanéritique fin constitué de leucocrène, feldspath et minéraux mafiques chloritisés en proportions \approx égales.</p> <p>Foliation variablement développée, de faible à intense. Là où elle est intense il s'agit de plans CL anastomosés à espacement 1-2mm dont l'angle varie de subparallèle à subperpendiculaire à AC.</p> <p>Faible chloritisation des mafiques, dolomitisation moyenne du feldspath.</p>	<p>105132: B+Si(HMSR)(PY) 10% brèche tectonique à matrice d'albite.</p> <p>414.90 - 420.40</p> <p>105133</p> <p>454.70 - 456.70</p> <p>105134: B+SivCL</p> <p>80% vEP en stockwork avec enveloppes de Si grise superposées.</p> <p>488.30 - 491.80</p> <p>105135: B+LISivOZCLR0?</p> <p>60-70% vOZ-CL-RB? bleuées avec enveloppes d'altération en Si grise. Veinules seules \approx 15-20%.</p> <p>493.80 - 496.70</p>	

MINNOVA INC. - DIVISION EXPLORATION

DE (pi)	A (pi)	TEXTURE ET STRUCTURE	ALTERATION	MINERALISATION
			<p>105136: #+LXSlvDZCLRb?vEP</p> <p>Idea + ≥ 10% vEP en stockwork.</p> <p>503.00 - 505.30</p> <p>105137: Idea.</p> <p>520.30 - 521.30</p> <p>105138: 25% vRB?</p> <p>Pas d'enveloppe Si.</p> <p>607.40 - 611.00</p> <p>105139: #+(SiHh)vCLCC</p> <p>611.00 - 613.00</p> <p>105140: Idea.</p> <p>613.00 -- 620.50 Ni50+SiHh(PY)</p> <p>SYENITE METASOMATISEE</p> <p>Roche métasomatique dont la texture de protolithe est encore visible. Contacts progressifs.</p> <p>Fracturation intense de type stockwork, vDZ à vCL subaillatériques.</p> <p>Altération moyenne à intense en silice diffuse, hématite moyenne variable (faible lorsque silice intense).</p> <p>> traces pyrite fine disséminée.</p>	

MINNOVA INC. - DIVISION EXPLORATION

DE (pi)	A (pi)	TEXTURE ET STRUCTURE	ALTERATION	MINERALISATION
			<p>613.80 - 616.20</p> <p>105141: B+SiHM(SR)(PY)vQZvCL</p> <p>> traces pyrite fine disséminée et associée avec veinules chlorite.</p> <p>616.20 - 618.10</p> <p>105142: B+Si+(HM)</p> <p>Traces pyrite locale.</p> <p>618.10 - 620.50</p> <p>105143: B+SiHM(SR)(PY)vQZvCL</p> <p>⊃ traces pyrite disséminée.</p> <p>620.50 - 623.80 B+HM(Si)</p> <p>105144:</p> <p>Traces de pyrite fine locale.</p> <p>623.80 - 628.80</p> <p>105635: I2B(MG)(HM)</p> <p>Syénite équi-granulaire rose orangé peu altérée. -</p> <p>637.70 - 639.50</p> <p>105145: BSi</p> <p>646.00 - 650.20</p>	

MINNOVA INC. - DIVISION EXPLORATION

DE (pi)	A (pi)	TEXTURE ET STRUCTURE	ALTERATION	MINERALISATION
			<p>105146: 8HMv0Z</p> <p>Hématisation faible à moyenne du feldspath.</p> <p>667.50 - 673.60</p> <p>105147: 40I v0Z+ enveloppes Si</p> <p>v0Z gris f épidote.</p> <p>682.90 - 684.70</p> <p>105148: 120-HM</p> <p>Injection de syénite trachytique, contacts définis sur quelques millimètres, irréguliers et non nets. ± 75I feldspath millimétrique idiomorphe, ± 10I mafiques submillimétriques hypidiomorphes à xénomorphes et ± 10I matrice gris-rouge aphanitique.</p> <p>Hématisation faible à moyenne de la matrice.</p> <p>720.50 - 721.80</p> <p>105149: 80I Siv0ZEP</p> <p>Intervalle de 716.00-746.00 contient généralement > 30I Siv0Z(EP)</p> <p>735.70 - 738.20</p> <p>105150: 70I Siv0ZEP</p> <p>786.00 FIN DU TROU</p>	

MINNOVA INC. - DIVISION EXPLORATION

ECHANTILLON	DE (pi)	A (pi)	LONGUEUR (pi)	Au(1) ppb	Au(2) ppb	Au(3) ppb	Au(4) ppb	Au(MOY) ppb	Ag ppm	As ppm	Sb ppm	Mo ppm	Pb ppm	Cu(1) ppm	Cu(2) ppm	Cu(MOY) ppm	Zn(1) ppm	Zn(2) ppm	Zn(MOY) ppm	
105091	30.00	34.00	4.00	tr.				tr.						32		32	38		38	
105092	34.00	37.50	3.50	tr.				tr.						26		26	56		56	
105093	37.50	39.20	1.70	tr.				tr.						44		44	62		62	
105094	39.20	42.80	3.60	tr.				tr.						64		64	54		54	
105095	42.80	46.80	4.00	tr.				tr.						22		22	61		61	
105096	46.80	48.70	1.90	480				480						25		25	50		50	
105097	48.70	51.70	3.00	tr.				tr.						24		24	55		55	
105098	58.10	62.90	4.80	tr.				tr.						34		34	20		20	
105099	71.50	74.00	2.50	tr.				tr.						47		47	15		15	
105100	110.80	115.20	4.40	tr.				tr.						172		172	68		68	
105101	117.30	120.70	3.40	tr.				tr.						47		47	54		54	
105633	136.00	141.30	5.30	tr.				tr.						40		40	46		46	
105102	141.30	144.40	3.10	583				583						30		30	63		63	
105634	144.40	149.40	5.00	tr.				tr.						36		36	54		54	
105103	166.10	167.90	1.80	tr.				tr.						59		59	61		61	
105104	189.00	191.10	2.10	tr.				tr.						44		44	52		52	
105105	196.20	197.70	1.50	tr.				tr.						33		33	36		36	
105106	201.50	203.30	1.80	tr.				tr.						33		33	46		46	
105107	205.60	210.40	4.80	tr.				tr.						46		46	60		60	
105108	210.40	212.50	2.10	1509				1509						42		42	52		52	
105109	212.50	215.30	2.80	tr.				tr.						32		32	54		54	
105110	215.30	216.40	1.10	274				274						35		35	57		57	
105111	216.40	217.80	1.40	tr.				tr.						37		37	50		50	
105112	217.80	224.10	6.30	tr.				tr.						46		46	42		42	
105113	254.10	259.70	5.60	tr.				tr.						31		31	22		22	
105114	267.10	270.50	3.40	tr.				tr.						30		30	12		12	
105115	270.50	274.50	4.00	tr.				tr.						36		36	52		52	
105116	286.00	287.50	1.50	tr.				tr.						31		31	15		15	
105117	317.00	319.10	2.10	tr.				tr.						42		42	50		50	
105118	323.90	326.80	2.90	tr.				tr.						33		33	25		25	
105119	327.50	331.00	3.50	tr.				tr.						37		37	27		27	
105120	331.90	332.80	0.90	tr.				tr.						35		35	79		79	
105121	338.90	340.00	1.10	tr.				tr.						32		32	22		22	
105122	356.40	362.20	5.80	tr.				tr.						27		27	54		54	
105123	362.20	362.90	0.70	tr.				tr.						33		33	44		44	
105124	362.90	364.20	1.30	tr.				tr.						31		31	35		35	
105125	364.20	365.30	1.10	514				514						39		39	39		39	
105126	365.30	368.90	3.60	tr.				tr.						30		30	29		29	

MINNOVA INC. - DIVISION EXPLORATION

ECHANTILLON	BE (pi)	A (pi)	LONGUEUR (pi)	Au(1) ppb	Au(2) ppb	Au(3) ppb	Au(4) ppb	Au(MOY) ppb	Ag ppm	As ppm	Sb ppm	Mo ppm	Pb ppm	Cu(1) ppm	Cu(2) ppm	Cu(MOY) ppm	Zn(1) ppm	Zn(2) ppm	Zn(MOY) ppm
105127	368.90	373.80	4.90	tr.				tr.						37		37	29		29
105128	373.80	374.50	0.70	tr.				tr.						43		43	35		35
105129	374.50	375.00	0.50	tr.				tr.						28		28	52		52
105130	375.00	375.80	0.80	tr.				tr.						25		25	63		63
105131	410.30	411.70	1.40	tr.				tr.						53		53	48		48
105132	411.70	414.90	3.20	tr.				tr.						56		56	40		40
105133	414.90	420.40	5.50	tr.				tr.						37		37	30		30
105134	454.70	456.70	2.00	tr.				tr.						22		22	14		14
105135	488.30	491.80	3.50	tr.				tr.						27		27	20		20
105136	493.80	496.70	2.90	tr.				tr.						27		27	14		14
105137	503.00	505.30	2.30	tr.				tr.						30		30	12		12
105138	520.30	521.30	1.00	tr.				tr.						31		31	12		12
105139	607.40	611.00	3.60	tr.				tr.						27		27	43		43
105140	611.00	613.80	2.80	tr.				tr.						29		29	45		45
105141	613.80	616.20	2.40	1611				1611						27		27	43		43
105142	616.20	618.10	1.90	1851				1851						26		26	52		52
105143	618.10	620.50	2.40	1817				1817						27		27	44		44
105144	620.50	623.80	3.30	240				240						26		26	49		49
105635	623.80	628.80	5.00	tr.				tr.						27		27	56		56
105145	637.70	639.50	1.80	tr.				tr.						22		22	46		46
105146	646.00	650.20	4.20	tr.				tr.						57		57	66		66
105147	667.50	673.60	6.10	tr.				tr.						57		57	57		57
105148	682.90	684.70	1.80	tr.				tr.						42		42	40		40
105149	720.50	721.00	0.50	tr.				tr.						49		49	24		24
105150	735.70	738.20	2.50	tr.				tr.						52		52	25		25

MINNOVA INC. - DIVISION EXPLORATION

COMPAGNIE : MINNOVA EXPLORATION	PROJET : ILE OPAWICA	SONDAGE : OP-04	IMPRIMÉ LE : 10/10/90																					
CANTON : LESPERANCE	RANG : -	LOT : -	CLAIM : 317226-3																					
<u>COORDONNEES AU COLLET</u>	GRILLE : LIGNE : 5+00W STATION : 9+85N	LATITUDE : 985.00 LONGITUDE : -500.00 ELEVATION : 37.00	AZIMUT : 230 0' PLONGEE : -45 0'																					
<u>PROFONDEUR</u>	AU DEPART : 0.00	FIN DE TROU : 953.00	TUBAGE LAISSE (?) : Owi																					
GEOLOGUE : PAUL GIRARD			DATE DU JOURNAL : 04 juin 90																					
CONTRACTEUR : FORAGE BELAND			FORAGE DEBUTE LE : 04 juin 90																					
BUT : Tester apophyse nord de haut mag (>2000 gammas) (extension zone minéralisée?)			TERMINE LE : 12 juin 90																					
<u>DONNEES D'ORIENTATION</u>																								
<table border="1"> <thead> <tr> <th>Longueur</th> <th>Azimat</th> <th>Plongée</th> </tr> </thead> <tbody> <tr> <td>0.00</td> <td>230 0'</td> <td>-45 0'</td> </tr> <tr> <td>211.00</td> <td>227 0'</td> <td>-46 0'</td> </tr> <tr> <td>400.00</td> <td>*227 0'</td> <td>-46 0'</td> </tr> <tr> <td>631.00</td> <td>*227 0'</td> <td>-46 0'</td> </tr> <tr> <td>800.00</td> <td>*227 0'</td> <td>-46 0'</td> </tr> <tr> <td>931.00</td> <td>227 0'</td> <td>-45 0'</td> </tr> </tbody> </table>				Longueur	Azimat	Plongée	0.00	230 0'	-45 0'	211.00	227 0'	-46 0'	400.00	*227 0'	-46 0'	631.00	*227 0'	-46 0'	800.00	*227 0'	-46 0'	931.00	227 0'	-45 0'
Longueur	Azimat	Plongée																						
0.00	230 0'	-45 0'																						
211.00	227 0'	-46 0'																						
400.00	*227 0'	-46 0'																						
631.00	*227 0'	-46 0'																						
800.00	*227 0'	-46 0'																						
931.00	227 0'	-45 0'																						
(*) azimat estimé																								

MINNOVA INC. - DIVISION EXPLORATION

DE (pi)	A (pi)	TEXTURE ET STRUCTURE	ALTÉRATION	MINÉRALISATION
0.00 8.00	8.00 953.00	<p>NT</p> <p>MONT-TERRAIN</p> <p>I3ANGCLBO(Si)</p> <p>GABBRO CHLORITISE ET BIOTITISE</p> <p>A texture très variable généralement magnétique. La première moitié est surtout composée d'un gabbro à texture ophitique (environ 30-40% de l'ensemble de la roche) et de gabbro finement grenu altéré vert foncé à noir. Tandis que la deuxième moitié est surtout composée d'un gabbro grenu poivre et sel à aspect recristallisé et encore d'un gabbro altéré finement grenu.</p> <p>Altération variable en chlorite et silice mais habituellement avec texture variablement oblitérée, chlorite moyenne et silice faible. Biotite omniprésente parfois difficilement identifiable vue sa granulométrie très fine, environ de 5 à 15%. Epidote localement. Riebeckite?.</p> <p>Pyrite absente à traces sur l'ensemble, parfois pyrrhotite.</p> <p>8.00 - 501.70 I3ANG (#)(CL)-CLBO(Si)RD</p> <p>GABBRO</p> <p>Vert foncé à noir à texture variant de trachytique (±30% de la roche), (bâtonnets de feldspath ±15% automorphe de 3mm en moyenne entouré de mafiques hypidiomorphes grenus) à finement grenu où le feldspath est ± visible dû à l'altération. Magnétisme variant de faible à moyen.</p> <p>La fracturation surtout définie par faible concentration de veinules de calcite, de quartz ou de feldspath.</p> <p>Altération en chlorite variable allant à moyen où la texture intrusive est oblitérée (avec faible silice?) à faible dans gabbro trachytique. Biotite fine (de remplacement?) compose entre 5 et 15% de la roche. Riebeckite variable, epidote localement.</p>		

MINNOVA INC. - DIVISION EXPLORATION

DE (pi)	A (pi)	TEXTURE ET STRUCTURE	ALTERATION	MINERALISATION
		Minéralisation absente.	30.20 - 31.50 106568: (M6)(#)SiCLBO(PY) 0,5% pyrite (BO?) 42.40 - 46.50 106569: #++EPCL(Si)vABEP Texture bréchique au début de l'intervalle avec petits fragments angulaires carbonatés. 46.50 - 51.80 106570: #CLEPSivABEP	27.60 - 28.70 106566: M6+#SiCLBOPYvCCEP 2% de pyrite surtout en veinules (BO?) 28.70 - 30.20 106567: M6(#)SiCLBOPY 2% de pyrite surtout en veinules (BO?)
		68.20 - 79.00 12J(+JFP(+)(#) DYKE DE DIORITE PORPHYRITE Contenant environ 30% de phénocristaux de feldspath blanc		

MINNOVA INC. - DIVISION EXPLORATION

DE (pi)	A (pi)	TEXTURE ET STRUCTURE	ALTÉRATION	MINÉRALISATION
		<p>de 1 à 3-4mm hypidiomorphe à xénomorphe dans matrice fine siliceuse? gris verdâtre foncé (composition?). Le contact supérieur est plus altéré et semble être plus mafique. Quelques xénolithes de microgabbro.</p> <p>La foliation est faible à 40°C, surtout définie au début de l'intervalle où le feldspath est allongé et flou. Localement les mafiques aussi sont alignés.</p> <p>Fracturation faible définie par rares veinules d'albite-épidote, veinules de feldspath et veinules de calcite.</p> <p>Altération variable en épidote, hématite et probablement chlorite-silice de faible à absente. Biotite plus faible.</p>	<p>71.30 - 72.70</p> <p>106571: [2J].JFP(-)(B)(HM)vFPHM</p> <p>80.80 - 82.60</p> <p>106572: (MG)(B)CLSiBO(EP)(PY)vFP</p> <p>Traces à 0,5% pyrite disséminée (petits amas) et en veinules.</p> <p>86.00 - 86.80</p> <p>106573: MGEP(CLSi)</p> <p>Saussuritisation rend le feldspath (texture ophitique) complètement vert.</p> <p>Traces de pyrite.</p> <p>116.70 - 117.80</p>	

MINNOVA INC. - DIVISION EXPLORATION

DE (pi)	A (pi)	TEXTURE ET STRUCTURE	ALTÉRATION	MINÉRALISATION
			<p>106574: (MG)(#)SiCLBD(PY)vQZFP</p> <p>Traces à 0,5% pyrite fine.</p> <p>122.60 - 160.00 RB</p> <p>Début d'altération plus importante en riebeckite (teinte bleutée de la roche assez nette).</p> <p>Traces de pyrite.</p> <p>122.60 - 123.70</p> <p>106575: (MG)(#)CLSiRBBD(PY)vQZFP</p> <p>Pyrite légèrement supérieure à traces.</p>	<p>145.50 - 150.00</p> <p>106576: MG(CL)RB?BD(Si)</p> <p>Passage ou l'altération bleutée (riebeckite?) semble le plus fort. La texture grenue est faiblement visible au début, et à la fin texture intrusive oblitérée.</p> <p>2% de pyrite en fines veinules.</p>
			<p>150.00 - 153.10</p> <p>106577: (MG)CLRB?BD(Si)</p> <p>163.00 - 164.30</p> <p>106578: (MG)/A\#EP(CLSi)vABEP</p> <p>Saussuritisation en plus de veinules d'albite/épidote.</p>	

MINNOVA INC. - DIVISION EXPLORATION

DE (pi)	A (pi)	TEXTURE ET STRUCTURE	ALTERATION	MINÉRALISATION
		<p>171.60 - 172.10 I1?#SiHwCL</p> <p>106580:</p> <p>Dyke de roche felsique à contact net à texture graphique (inter-croissance de quartz et feldspath) à 45°AC dont la majeure partie est de couleur rose (il ne reste que quelques îlots angulaires centimétriques blancs).</p> <p>Altération moyenne en silice et hématite?</p> <p>Traces de pyrite.</p> <p>173.60 - 175.00 I1?(#)SiHw</p>	<p>Traces de pyrite fine.</p> <p>164.30 - 166.20</p> <p>105636: I3A(MG)(CLBOEPCC)vCC</p> <p>Gabbro microlithique faiblement à moyennement altéré, texture intrusive préservée.</p> <p>166.20 - 168.20 M8#SiCL(CC)(PY)vCC</p> <p>106579:</p> <p>Feldspath très flow.</p> <p>Traces à 0,5% de pyrite avec 2" à ± 10%.</p> <p>168.20 - 171.60</p> <p>105637: Idem.</p>	

MINNOVA INC. - DIVISION EXPLORATION

DE (pi)	A (pi)	TEXTURE ET STRUCTURE	ALTÉRATION	MINÉRALISATION
		<p>106581: Idem, moins fracturé. 187.00 - 188.70 v02/\CCEP/11/S1HM/13AEP/11C</p> <p>106582: Mélange de veines de quartz bréchifiées par calcite avec épidote, de gabbro saussuritisé, de dyke felsique similaire à 171.00 et de dyke de granodiorite.</p>	<p>219.30 - 221.80</p> <p>106583: (M6)CLSiRBBO Texture assez oblitérée.</p> <p>227.20 - 228.70</p> <p>106584: EPCLvABEP Saussuritisation.</p> <p>231.90 - 233.90</p> <p>106585: MGCLBORB(Si)</p> <p>251.00 - 252.40</p> <p>106587: M6+(?)CLSiRBBOYPPO</p>	<p>244.60 - 245.80</p> <p>106586: M6+CLBO(RB)PYPO Environ 2% de pyrite irrégulière disséminée probablement à pyrrhotite.</p>

MINNOVA INC. - DIVISION EXPLORATION

DE (pi)	A (pi)	TEXTURE ET STRUCTURE	ALTERATION	MINERALISATION
			<p>± IZ pyrite et ± IZ pyrrhotite irrégulières dispersées en masses ou veinules.</p> <p>274.00 - 287.00 vCC</p> <p>Faible concentration de veinules de calcite.</p> <p>299.40 - 300.40</p> <p>106588: MG*(#)CLBO(RBSi)PYPO</p> <p>IZ de pyrite-pyrrhotite.</p> <p>340.00 - 343.70</p> <p>106589: (MG)CL(Si)RBBO</p> <p>Feldspath très flou, texture oblitérée.</p> <p>Altération surtout en chlorite.</p> <p>348.40 - 353.40</p> <p>106638: I3AMB(=)BO(CLCC)</p> <p>Gabbro altéré dont les minéraux mafiques sont remplacés par des agrégats de biotite fine.</p> <p>> traces pyrite, concentrée sur un intervalle décimétrique moyennement altéré en calcite.</p>	<p>353.40 - 354.40 (MG)CLCC(RB)PY</p> <p>106590:</p> <p>Calcite diffuse ou en très fines veinules.</p>

MINNOVA INC. - DIVISION EXPLORATION

DE (pi)	A (pi)	TEXTURE ET STRUCTURE	ALTERATION	MINERALISATION
			<p>354.40 - 360.50</p> <p>105639: 13AMG(=)BO(CLCC)</p> <p>> traces pyrite fine à moyenne, surtout avec veinules de calcite millimétriques.</p> <p>360.50 - 365.50</p> <p>106591: MGCLSiRBBO</p> <p>Texture oblitérée.</p>	<p>Pyrite de 1-4% finement disséminée et en veinules.</p>
			<p>415.40 - 417.90</p> <p>106592: (MG)(B)CLSi(BO)(PY)</p>	<p>415.40 - 501.70 (B)PY</p> <p>Gabbro vert foncé à texture assez oblitérée. Le feldspath (xénomorphe généralement) de 2 à 3mm en moyenne varie de flou à très flou. La texture ophitique n'est plus reconnaissable sur la majeure partie de l'intervalle. Augmentation de la quantité de veinules de calcite et quelques veinules de feldspath.</p> <p>La fracturation est généralement faible définie par veinules de calcite.</p> <p>Altération surtout en chlorite, oblitérant la texture, et probablement silice (généralement difficilement rayable). Biotite toujours présente, mais semble être moins importante que précédemment (5-10% ?) Epidote localement.</p> <p>Minéralisation de traces à 2% en moyenne.</p>

MINNOVA INC. - DIVISION EXPLORATION

DE (pi)	A (pi)	TEXTURE ET STRUCTURE	ALTERATION	MINÉRALISATION
			<p>Traces à 1% de pyrite.</p> <p>422.00 - 427.20 $Mg\#ClSiPYPOvCC$</p> <p>106595:</p> <p>Pyrite de traces à 2% sur quelques pouces + PO.</p> <p>427.20 - 429.00</p> <p>106596: $Mg\#Cl(Si)BOvCC$</p> <p>Traces de pyrite.</p> <p>446.20 - 447.90</p> <p>106598: $Mg\#SiCl(HMCC)vCC$</p> <p>Traces de pyrite.</p>	<p>417.90 - 420.00 $(Mg)Mg\#H\#Si+CLPY++PO?vQZvCC$</p> <p>106593:</p> <p>Pyrite 10-12% irrégulière et probablement pyrrhotite.</p> <p>420.00 - 422.00 $(Mg)H\#SiCl(CC)PY+++PO?vQZvCC$</p> <p>106594:</p> <p>Pyrite 5-10% irrégulière.</p> <p>436.90 - 439.20</p> <p>106597: $Mg(\#)Cl(Si)BOPY$</p> <p>Pyrite de 1 à 3%.</p>

MINNOVA INC. - DIVISION EXPLORATION

DE (pi)	A (pi)	TEXTURE ET STRUCTURE	ALTERATION	MINERALISATION
			<p>447.90 - 448.50 MSiCL(HMCC)vCC</p> <p>106599:</p> <p>De 448.00-448.30 M17DMPY Injection de dolomie beige laminée (pyrite +?) à aspect recristallisé. Pyrite jusqu'à 5%.</p> <p>448.50 - 449.50 MSiCL(HMCC)vCC</p> <p>106600:</p> <p>Traces de pyrite.</p> <p>449.50 - 451.30 MSi+CC(CLHM)PY+</p> <p>106601:</p> <p>Environ 5% de pyrite irrégulière en veinules et disséminée + PO?.</p> <p>451.30 - 454.00 MSiCL(Si)(PY)vCC</p> <p>106602:</p> <p>Traces à 0,5% de pyrite.</p> <p>454.00 - 458.10</p> <p>105640: I3AMG(=)?(BOCL)vFPBZvCC</p> <p>Gabbro feldspathisé avec ± 20% zones ± veinules de FPBZ. Texture intrusive généralement préservée.</p> <p>± traces pyrite fine disséminée et en concentrations locales dans intervalles centimétriques plus fortement</p>	

MINNOVA INC. - DIVISION EXPLORATION

DE (pi)	A (pi)	TEXTURE ET STRUCTURE	ALTERATION	MINERALISATION
			<p>carbonatés avec perte de texture intrusive.</p> <p>458.10 - 463.20</p> <p>105641: I3ANGCL(BD)vCCPY</p> <p>MBme protolithe, moins de FPQZ, chloritisation plus forte.</p> <p>≥ traces pyrite associée aux veinules de calcite millimétriques à submillimétriques.</p> <p>463.20 - 466.00 MB(B)CL(Si)(PY)vCCvFP</p> <p>106603:</p> <p>Pyrite 0,5-1X très irrégulièrement disséminée.</p> <p>466.00 - 468.50</p> <p>106604: Iden.</p> <p>468.50 - 470.00</p> <p>106605: MB(B)CL(Si)PYvCCvBZ</p> <p>Pyrite 0,5-2X irrégulière.</p> <p>470.00 - 471.50 MB(B)CL(Si)(CCM)PYvCC</p> <p>106606:</p> <p>1X de pyrite.</p> <p>471.50 - 476.00</p> <p>106607: MB(B)CL(Si)(PY)vCC</p> <p>0,5-1X de pyrite jusqu'à 2X sur 2-3".</p>	

MINNOVA INC. - DIVISION EXPLORATION

DE (pi)	A (pi)	TEXTURE ET STRUCTURE	ALTERATION	MINERALISATION
		<p>501.70 - 953.00 13AM6CLBO(Si)vFPQZ</p> <p>GABBRO CHLORITISE ET BIOTISE</p> <p>Gris vert foncé à poivre et sel (leucocrate, jusqu'à 40% de feldspath,</p>	<p>476.00 - 480.00</p> <p>106608: Idea.</p> <p>480.00 - 485.00</p> <p>106609: Idea.</p> <p>485.00 - 488.00</p> <p>106610: Idea.</p> <p>488.00 - 490.00</p> <p>106611: Idea.</p> <p>Traces à 0,5% de pyrite.</p> <p>490.00 - 493.00</p> <p>106612: Idea.</p> <p>493.00 - 496.60</p> <p>106613: Idea.</p> <p>496.60 - 501.70</p> <p>106614: MS(B)CL(Si)PY</p> <p>0,5-2% de pyrite.</p>	

MINNOVA INC. - DIVISION EXPLORATION

DE (pi)	A (pi)	TEXTURE ET STRUCTURE	ALTERATION	MINERALISATION
		<p>surtout au début de l'intervalle). Alternance graduelle sur quelques pieds de gabbro grenu et de gabbro microgrenu altéré. Le gabbro grenu (3-4mm) possède une texture allotriomorphe, avec quelques passages où le feldspath est automorphe. Le gabbro altéré est microgrenu avec feldspath très flou. La granulométrie réduite de ce dernier gabbro serait due à l'effet de l'altération. Augmentation lente de I de veinules millimétriques de feldspath-quartz en profondeur jusqu'à ± 3%. Ces veinules contiennent surtout du feldspath avec cristaux trapus millimétriques à submillimétriques de quartz et parfois cristaux mafiques. Ces veinules sont généralement <1cm parfois jusqu'à 7-8cm, généralement parallèles, à 40°/AC.</p> <p>La fracturation est de faible à absente généralement si les veinules de feldspath/quartz n'y sont pas incluses.</p> <p>Altération en chlorite et silice variable mais possiblement moyenne en chlorite et faible en silice vue la dureté. Biotite omniprésente jusqu'à ± 10% difficilement reconnaissable par endroits. Epidote très locale, calcite surtout en minces veinules sur quelques pieds.</p> <p>Généralement traces de pyrite à 0,5% en moyenne.</p>	<p>501.70 - 506.00</p> <p>106615: Type.</p> <p>506.00 - 511.00</p> <p>106616: Type.</p> <p>511.00 - 516.00</p> <p>106617: Iden.</p> <p>516.00 - 519.00</p> <p>106618: Iden.</p> <p>519.00 - 522.70</p>	

MINNOVA INC. - DIVISION EXPLORATION

DE (pi)	A (pi)	TEXTURE ET STRUCTURE	ALTERATION	MINÉRALISATION
			<p>106619: Idem.</p> <p>540.10 - 543.40</p> <p>106620: MgCl(Si)BO(PY)vFPQZ</p> <p>579.00 - 582.40</p> <p>106622: MgCl(Si)BOvFP</p> <p>Traces de pyrite.</p> <p>615.20 - 615.30</p> <p>Il?(HM)(EP) Dyke ou veines de quartz-feldspath à texture graphique.</p> <p>619.20 - 619.40</p> <p>Il?(HM)(EP) Idem.</p> <p>619.40 - 622.10</p> <p>106624: MgCl(Si)PYvFPQZ</p>	<p>554.40 - 555.70</p> <p>106621: MgCl(Si)BOPYM6</p> <p>Pyrite très fine 1-2Z?, magnétite?.</p> <p>603.50 - 605.20</p> <p>106623: Mg(B)Cl(Si)BOPY</p> <p>1-2Z pyrite très fine.</p>

MINNOVA INC. - DIVISION EXPLORATION

DE (pi)	A (pi)	TEXTURE ET STRUCTURE	ALTERATION	MINERALISATION
			<p>Pyrite surtout en amas (lca ou veinules.</p> <p>646.00 - 649.00</p> <p>106625: MG(Ø)CL(Si)(PY)vFPQZ</p> <p>Traces à 0,5I de pyrite disséminée et en veinules irrégulières.</p> <p>649.00 - 653.30</p> <p>106626: MG(Ø)CL(Si)(BO)(PY)vFPQZ</p> <p>0,5I de pyrite en moyenne.</p>	
			<p>675.10 - 679.10</p> <p>106628: MG(Ø)CL(Si)BO(PY)vFPQZ</p> <p>Traces à 1I disséminée.</p>	<p>653.30 - 656.00</p> <p>106627: MG(Ø)CC(Si)(BO)PYvFPQZ</p> <p>1-2I de pyrite en veinules et disséminée.</p>
			<p>679.90 - 682.30</p> <p>106630: MG(Ø)CL(Si)(PY)</p> <p>Traces à 0,5I pyrite disséminée.</p>	<p>679.10 - 679.90</p> <p>106629: MG(Ø)CL(Si)BOPY+</p> <p>2-3I de pyrite disséminée.</p>

MINNOVA INC. - DIVISION EXPLORATION

DE (pi)	A (pi)	TEXTURE ET STRUCTURE	ALTERATION	MINERALISATION
			<p>682.30 - 686.30</p> <p>106631: MG(Ø)CL(Si)(PY)vFPQZ</p> <p>Traces à 1% de pyrite sur 2-3".</p> <p>686.30 - 689.00</p> <p>106632: MG(Ø)CL(Si)(PY)</p> <p>Pyrite légèrement supérieure à traces, très fine.</p> <p>689.00 - 692.50</p> <p>106633: Idem.</p> <p>693.50 - 699.00</p> <p>vCC</p> <p>Environ 1-2% de minces veinules de calcite irrégulières et discontinues recoupant veinules de FP-QZ.</p> <p>106634: 698.10-700.00: MG(Ø)CL(Si)(BO)vCCPY</p> <p>Pyrite de 0,5 à 2% sur intervalles centimétriques.</p> <p>712.30 - 714.80</p> <p>106635: MG(Ø)CL(Si)BO(PY)vFPQZ</p> <p>Traces à 0,5% de pyrite disséminée.</p> <p>741.60 - 755.60 (MG)MSI(CCMCL)(PY)vQZ</p> <p>Texture de gabbro assez oblitérée par altération. Magnétisme faible à très faible.</p>	

MINNOVA INC. - DIVISION EXPLORATION

DE (pi)	A (pi)	TEXTURE ET STRUCTURE	ALTÉRATION	MINÉRALISATION
			<p>Fracturation définie par veinules 1mm à 1cm très irrégulières, de couleur gris-rougeâtre.</p> <p>Altération en silice entre moyenne et forte et en calcite hématite diffuse faible (quelques minces veinules de calcite) et probablement chlorite.</p> <p>Pyrite très irrégulièrement disséminée de 0,5 à 11 en moyenne, parfois amas de 1cm.</p> <p>106636: 741.60-746.00: Type. 106637: 746.00-750.60: Type. 106638: 750.60-755.60: (MG)•+Si(CCHMCL)vPQZ</p> <p>762.10 - 763.40</p> <p>106639: MG(•)CL(Si)BO(PY)vFPQZ</p> <p>Pyrite très fine ≈ 0,51?</p> <p>763.40 - 765.60</p> <p>106640: MG(•)CL(Si)BO(PY)vFPQZ</p> <p>Pyrite très fine ≈ 11.</p> <p>772.60 - 773.50</p> <p>106642: Idem.</p>	<p>766.80 - 771.30</p> <p>106641: MG(•)CL(Si)BOPYvFPQZ</p> <p>1-21 de pyrite.</p>

MINNOVA INC. - DIVISION EXPLORATION

DE (pi)	A (pi)	TEXTURE ET STRUCTURE	ALTÉRATION	MINÉRALISATION
			<p>803.10 - 805.30</p> <p>106643: MG(♯)CL(Si)(BO)(PY)vFPQZvCC</p> <p><1Z de pyrite en amas (+PD).</p> <p>A partir de 797.60 très fines veinules de calcite <1Z.</p> <p>831.10 - 832.90</p> <p>106644: MG(♯)SiCL(PY)vCC</p> <p>0,5Z de pyrite disséminée.</p> <p>836.70 - 837.40</p> <p>106645: MG(♯)SiCLPYPOvFPQZ</p> <p>Pyrite et pyrrhotite en bande irrégulière <1ca.</p> <p>837.40 - 841.00</p> <p>105642: I3A(MG)CL(CCBO)</p> <p>Gabbro chloritisé, texture intrusive variablement préservée, quelques injections de feldspath/quartz.</p> <p>Traces pyrite fine disséminée, surtout dans les zones de calcite.</p> <p>841.00 - 844.30 MG♯SiCL(PY)vCCvFPQZvQZ</p> <p>106646:</p> <p>Altération dont 5° fortement silicifié et hématisé avec 3-4Z de pyrite.</p>	

MINNOVA INC. - DIVISION EXPLORATION

DE (pi)	A (pi)	TEXTURE ET STRUCTURE	ALTERATION	MINERALISATION
			<p>Pyrite < 1% sur l'ensemble.</p> <p>853.00 - 855.70</p> <p>EPvEPAB</p> <p>2% de veinules d'épidote et albite? avec altération diffuse centimétrique associée.</p> <p>106647: 856.20857.10 (MG)CL(BD)(PY)</p> <p>859.70 - 861.60</p> <p>106648: (MG)(#)CL(Si)BD(PY)vFPQZvCC</p> <p>Pyrite disséminée et en fines veinules irrégulières, <1%.</p> <p>864.00 - 865.60 MG#CLSiBD(PY)vFPQZvCC</p> <p>106650:</p> <p>Pyrite 0,5% en moyenne.</p> <p>865.60 - 868.10</p> <p>105643: 13A(MG)CL, > 30% FPQZ</p> <p>Gabbro feldspathisé avec > 30% injections et masses diffuses de feldspath-quartz finement à moyennement grenues.</p>	<p>861.60 - 864.00 MG#SiCL(BD)PYvQZvFPVCC</p> <p>106649:</p> <p>5% de veines de quartz irrégulières avec ou sans feldspath, allant jusqu'à 6cm en puissance.</p> <p>Pyrite de 1-2% finement disséminée en moyenne.</p>

MINNOVA INC. - DIVISION EXPLORATION

DE (pi)	A (pi)	TEXTURE ET STRUCTURE	ALTÉRATION	MINÉRALISATION
			<p>> traces pyrite et chalcopryrite en agrégats fins locaux.</p> <p>874.20 - 876.70</p> <p>106651: Mg(Fe)Cl(Si)BO(PY)vFPQZvCC</p> <p>0,5% pyrite.</p> <p>893.60 - 895.30</p> <p>106652: Mg(ClSiBO)(PY)</p> <p>0,5% de pyrite.</p> <p>895.30 - 897.90</p> <p>106653: MgFeCl(Si)(BO)(PY)vCC</p> <p>0,5-1% de pyrite.</p> <p>897.90 - 904.00</p> <p>105644: FeAl(Mg)ClBO(RB)(PY)vCC</p> <p>Gabbro moyennement à fortement chloritisé, texture intrusive oblitérée sur 60% de l'intervalle. Chlorite très fine diffuse, biotite en agrégats fins remplaçant les minéraux mafiques qui sont idiomorphes lorsque frais.</p> <p>≤ 0,5% pyrite fine disséminée, en microveinules discontinues locales.</p>	<p>904.00 - 906.40 MgFeCl(Si)(BO)PYvQZvCC</p> <p>106654:</p> <p>Quelques veinules de quartz jusqu'à 7-8mm et minces</p>

MINNOVA INC. - DIVISION EXPLORATION

DE (pi)	A (pi)	TEXTURE ET STRUCTURE	ALTÉRATION	MINÉRALISATION
			<p>906.50 - 911.40</p> <p>105645: 13A(MG)(CLCCEP)vCC</p> <p>Gabbro faiblement à moyennement altéré avec quelques veinules de feldspath-quartz millimétriques à subcentimétriques.</p> <p>929.50 - 930.60</p> <p>106655: MG(B)CL(Si)(BO)(PY)vCC</p> <p>0,51 de pyrite.</p> <p>936.50 - 938.60</p> <p>106656: MG(B)CL(Si)(BO)vQZvCC</p> <p>Contient une veine de quartz rose de 3".</p> <p>Traces à 0,51 de pyrite.</p> <p>943.70 - 946.20</p> <p>106657: MG(B)CL(Si)(BO)PY+vQZvCC</p> <p>Pyrite de 0,5 à 3-4% sur quelques pouces surtout en fines veinules denses.</p>	<p>veinules de calcite dans gabbro fin grenu vert foncé.</p> <p>1-2% de pyrite.</p>

MINNOVA INC. - DIVISION EXPLORATION

DE (pi)	A (pi)	TEXTURE ET STRUCTURE	ALTERATION	MINERALISATION
			953.50: FIN DU TROU	

MINNOVA INC. - DIVISION EXPLORATION

ÉCHANTILLON	DE (pi)	A (pi)	LONGUEUR (pi)	Au(1) ppb	Au(2) ppb	Au(3) ppb	Au(4) ppb	Au(MOY) ppb	Ag ppm	As ppm	Sb ppm	Mo ppm	Pb ppm	Cu(1) ppm	Cu(2) ppm	Cu(MOY) ppm	Zn(1) ppm	Zn(2) ppm	Zn(MOY) ppm
106566	27.60	28.70	1.10	tr.				tr.						463		463	45		45
106567	28.70	30.20	1.50	tr.				tr.						345		345	60		60
106568	30.20	31.50	1.30	tr.				tr.						466		466	47		47
106569	42.40	46.50	4.10	tr.				tr.						84		84	54		54
106570	46.50	51.80	5.30	tr.				tr.						97		97	63		63
106571	71.30	72.70	1.40	tr.				tr.						89		89	37		37
106572	80.80	82.60	1.80	tr.				tr.						190		190	64		64
106573	86.00	86.80	0.80	tr.				tr.						100		100	43		43
106574	116.70	117.80	1.10	tr.				tr.						109		109	50		50
106575	122.60	123.70	1.10	tr.				tr.						77		77	50		50
106576	145.50	150.00	4.50	tr.				tr.						117		117	70		70
106577	150.00	153.10	3.10	tr.				tr.						83		83	47		47
106578	163.00	164.30	1.30	tr.				tr.						159		159	40		40
106536	164.30	166.20	1.90	tr.				tr.						130		130	53		53
106579	166.20	168.20	2.00	309				309						100		100	77		77
106537	168.20	171.60	3.40	tr.				tr.						140		140	52		52
106580	171.60	172.10	0.50	tr.				tr.						47		47	37		37
106581	173.60	175.00	1.40	tr.				tr.						47		47	34		34
106582	187.00	188.70	1.70	tr.				tr.						82		82	43		43
106583	219.30	221.80	2.50	tr.				tr.						83		83	52		52
106584	227.20	228.70	1.50	tr.				tr.						70		70	36		36
106585	231.90	233.90	2.00	tr.				tr.						91		91	59		59
106586	244.60	245.80	1.20	tr.				tr.						185		185	60		60
106587	251.00	252.40	1.40	tr.				tr.						394		394	61		61
106588	299.40	300.40	1.00	tr.				tr.						200		200	54		54
106589	340.00	343.70	3.70	tr.				tr.						64		64	49		49
106538	348.40	353.40	5.00	tr.				tr.						50		50	57		57
106590	353.40	354.40	1.00	720				720						96		96	79		79
106539	354.40	360.50	6.10	tr.				tr.						70		70	57		57
106591	360.50	365.50	5.00	tr.				tr.						200		200	80		80
106592	415.40	417.90	2.50	tr.				tr.						137		137	72		72
106593	417.90	420.00	2.10	5486	6026			5846						104		104	64		64
106594	420.00	422.00	2.00	12377	13440			13086						89		89	86		86
106595	422.00	427.20	5.20	936				936						166		166	77		77
106596	427.20	429.00	1.80	tr.				tr.						150		150	76		76
106597	436.90	439.20	2.30	tr.				tr.						227		227	45		45
106598	446.20	447.90	1.70	tr.				tr.						200		200	54		54
106599	447.90	448.50	0.60	15154	15874			15634						122		122	112		112

MINNOVA INC. - DIVISION EXPLORATION

ÉCHANTILLON	DE (pi)	A (pi)	LONGUEUR (pi)	Au(1) ppb	Au(2) ppb	Au(3) ppb	Au(4) ppb	Au(MOY) ppb	Ag ppm	As ppm	Sb ppm	Mo ppm	Pb ppm	Cu(1) ppm	Cu(2) ppm	Cu(MOY) ppm	Zn(1) ppm	Zn(2) ppm	Zn(MOY) ppm	
106600	448.50	449.50	1.00	789				789						60		60	130		130	
106601	449.50	451.30	1.80	9909	8194			8766						74		74	119		119	
106602	451.30	454.00	2.70	1543				1543						42		42	77		77	
105640	454.00	458.10	4.10	tr.				tr.						50		50	63		63	
105641	458.10	463.20	5.10	tr.				tr.						54		54	62		62	
106603	463.20	466.00	2.80	960				960						107		107	75		75	
106604	466.00	468.50	2.50	tr.				tr.						72		72	77		77	
106605	468.50	470.00	1.50	tr.				tr.						137		137	78		78	
106606	470.00	471.50	1.50	274				274						160		160	82		82	
106607	471.50	476.00	4.50	tr.				tr.						160		160	75		75	
106608	476.00	480.00	4.00	tr.				tr.						130		130	65		65	
106609	480.00	485.00	5.00	tr.				tr.						154		154	64		64	
106610	485.00	488.00	3.00	tr.				tr.						146		146	80		80	
106611	488.00	490.00	2.00	tr.				tr.						87		87	92		92	
106612	490.00	493.00	3.00	tr.				tr.						115		115	86		86	
106613	493.00	496.60	3.60	tr.				tr.						142		142	80		80	
106614	496.60	501.70	5.10	tr.				tr.						300		300	76		76	
106615	501.70	506.00	4.30	tr.				tr.						96		96	60		60	
106616	506.00	511.00	5.00	tr.				tr.						77		77	52		52	
106617	511.00	516.00	5.00	tr.				tr.						97		97	51		51	
106618	516.00	519.00	3.00	tr.				tr.						76		76	80		80	
106619	519.00	522.70	3.70	tr.				tr.						66		66	57		57	
106620	540.10	543.40	3.30	tr.				tr.						134		134	74		74	
106621	554.40	555.70	1.30	tr.				tr.						700		700	82		82	
106622	579.00	582.40	3.40	tr.				tr.						72		72	56		56	
106623	603.50	605.20	1.70	tr.				tr.						127		127	65		65	
106624	619.40	622.10	2.70	tr.				tr.						131		131	47		47	
106625	646.00	649.00	3.00	tr.				tr.						122		122	80		80	
106626	649.00	653.30	4.30	tr.				tr.						97		97	75		75	
106627	653.30	656.00	2.70	tr.				tr.						132		132	124		124	
106628	675.10	679.10	4.00	tr.				tr.						83		83	89		89	
106629	679.10	679.90	0.80	tr.				tr.						76		76	107		107	
106630	679.90	682.30	2.40	tr.				tr.						95		95	92		92	
106631	683.20	686.30	3.10	tr.				tr.						80		80	80		80	
106632	686.30	689.00	2.70	tr.				tr.						127		127	82		82	
106633	689.00	692.50	3.50	tr.				tr.						86		86	80		80	
106634	698.10	700.00	1.90	tr.				tr.						99		99	66		66	
106635	712.30	714.80	2.50	tr.				tr.						91		91	67		67	

MINNOVA INC. - DIVISION EXPLORATION

ECHANTILLON	DE (pi)	A (pi)	LONGUEUR (pi)	Au(1) ppb	Au(2) ppb	Au(3) ppb	Au(4) ppb	Au(MOY) ppb	Ag ppm	As ppm	Sb ppm	Mo ppm	Pb ppm	Cu(1) ppm	Cu(2) ppm	Cu(MOY) ppm	Zn(1) ppm	Zn(2) ppm	Zn(MOY) ppm
106636	741.60	746.00	4.40	2194				2194						140		140	78		78
106637	746.00	750.60	4.60	1474				1474						114		114	82		82
106638	750.60	755.60	5.00	tr.				tr.						55		55	67		67
106639	762.10	763.40	1.30	tr.				tr.						164		164	57		57
106640	763.40	765.60	2.20	tr.				tr.						249		249	61		61
106641	766.80	771.30	4.50	tr.				tr.						242		242	69		69
106642	772.60	773.50	0.90	tr.				tr.						114		114	67		67
106643	803.10	805.30	2.20	tr.				tr.						89		89	69		69
106644	831.10	832.90	1.80	tr.				tr.						127		127	54		54
106645	836.70	837.40	0.70	tr.				tr.						139		139	47		47
105642	837.40	841.00	3.60	tr.				tr.						84		84	41		41
106646	841.00	844.30	3.30	2126				2126						131		131	76		76
106647	856.20	857.10	0.90	tr.				tr.						114		114	86		86
106648	859.70	861.60	1.90	tr.				tr.						134		134	56		56
106649	861.60	864.00	2.40	789				789						87		87	59		59
106650	864.00	865.60	1.60	343				343						79		79	62		62
105643	865.60	868.10	2.50	tr.				tr.						56		56	47		47
106651	874.20	876.70	2.50	tr.				tr.						54		54	45		45
106652	893.60	895.30	1.70	tr.				tr.						180		180	66		66
106653	895.30	897.90	2.60	tr.				tr.						114		114	74		74
105644	897.90	904.00	6.10	tr.				tr.						116		116	52		52
106654	904.00	906.40	2.40	1371				1371						95		95	71		71
105645	906.50	911.40	4.90	tr.				tr.						100		100	47		47
106655	929.50	930.60	1.10	tr.				tr.						164		164	55		55
106656	936.50	938.60	2.10	tr.				tr.						59		59	71		71
106657	943.70	946.20	2.50	tr.				tr.						152		152	72		72

MINNOVA INC. - DIVISION EXPLORATION

COMPAGNIE : MINNOVA EXPLORATION	PROJET : ILE OPAWICA	SONDAGE : OP-05	IMPRIMÉ LE : 10/10/90																					
CANTON : 6AND	RANG : -	LOT : -	CLAIN : 317224-3																					
<u>COORDONNEES AU COLLET</u>	GRILLE : LIGNE : 6+00W STATION : 15+50N	LATITUDE : 1550.00 LONGITUDE : -600.00 ELEVATION : 62.00	AZIMUT : 282 0' PLONGEE : -45 0'																					
<u>PROFONDEUR</u>	AU DEPART : 0.00	FIN DE TROU : 836.00	TUBAGE LAISSE (?) : Oui																					
GEOLOGUE : F. SPEIDEL			DATE DU JOURNAL : 13 juin 90																					
CONTRACTEUR : FORAGE BELAND			FORAGE DEBUTE LE : 05 juin 90																					
BUT : Tester 2 discontinuités mag @ NNE & contact gabbro-syénite.			TERMINE LE : 12 juin 90																					
<u>DONNEES D'ORIENTATION</u>																								
<table border="1"> <thead> <tr> <th>Longueur</th> <th>Azimat</th> <th>Plongée</th> </tr> </thead> <tbody> <tr> <td>0.00</td> <td>282 0'</td> <td>-45 0'</td> </tr> <tr> <td>191.00</td> <td>286 0'</td> <td>-43 0'</td> </tr> <tr> <td>400.00</td> <td>*287 29'</td> <td>-44 0'</td> </tr> <tr> <td>616.00</td> <td>289 0'</td> <td>-42 0'</td> </tr> <tr> <td>800.00</td> <td>*291 34'</td> <td>-42 0'</td> </tr> <tr> <td>831.00</td> <td>292 0'</td> <td>-42 0'</td> </tr> </tbody> </table>				Longueur	Azimat	Plongée	0.00	282 0'	-45 0'	191.00	286 0'	-43 0'	400.00	*287 29'	-44 0'	616.00	289 0'	-42 0'	800.00	*291 34'	-42 0'	831.00	292 0'	-42 0'
Longueur	Azimat	Plongée																						
0.00	282 0'	-45 0'																						
191.00	286 0'	-43 0'																						
400.00	*287 29'	-44 0'																						
616.00	289 0'	-42 0'																						
800.00	*291 34'	-42 0'																						
831.00	292 0'	-42 0'																						
(*) azimat estimé																								

MINNOVA INC. - DIVISION EXPLORATION

DE (pi)	A (pi)	TEXTURE ET STRUCTURE	ALTERATION	MINERALISATION
0.00	10.00	NT MORT-TERRAIN		
10.00	363.00	<p>I2Jf. JFP=BCL(SiBO?)vFPQZ;MI</p> <p>DIORITE PORPHYRIQUE A FELDSPATH GNEISSIQUE</p> <p>Roche intrusive mafique à texture et structure complexes, constituée d'environ 10-15% phénocristaux de feldspath blanc ≤ 2mm généralement hypidiomorphe à xénomorphe dans une matrice vert foncé fine à aphanitique. Non magnétique, xénolithes centimétriques à subcentimétriques arrondis localement. Phénocristaux de feldspath en partie secondaires?</p> <p>La roche est variablement foliée, la foliation étant surtout définie par un alignement minéralogique. Certains intervalles montrent une texture gneissique très bien définie avec alternance de bandes felsiques et mafiques submillimétriques à millimétriques. Présence de plus de 20% veinules? ou injections feldspath-quartz (minéraux équigranulaires) millimétriques surtout subparallèles à la foliation caractérise cette roche et contribue à la texture gneissique. Ces veinules sont parfois plissotées.</p> <p>Fracturation faible à moyenne en général avec veinules de calcite, veinules d'épidote et veinules de chlorite déplaçant veinules de feldspath-quartz.</p> <p>Altération moyenne en chlorite ± silice diffuses. Concentrations locales de carbonate, silice, hématite, épidote, biotite. Minéraux mafiques (±S-BI) hypidiomorphes fins secondaires, rétrogradés à Cl ± Si. Altération Si+CC:HM gris-mauve tardive efface la texture gneissique.</p> <p>Minéralisation généralement absente. Traces de pyrite fine disséminée et avec fractures, surtout dans les intervalles SiCC:HM gris-rosés.</p>	<p>15.00 - 17.40</p> <p>I05I5I: =#CLSi</p>	

MINNOVA INC. - DIVISION EXPLORATION

DE (pi)	A (pi)	TEXTURE ET STRUCTURE	ALTÉRATION	MINÉRALISATION
			<p>≤10% veinules de feldspath-quartz.</p> <p>Traces pyrite fine disséminée.</p> <p>27.30 - 29.10</p> <p>105152: 15% EP+(PY)</p> <p>≥ 15% veinules de feldspath-quartz.</p> <p>± 0,5% pyrite dans intervalle EP+.</p> <p>36.00 - 40.80</p> <p>105153: =#SiCLCC</p> <p>≥ 15% veinules de feldspath-quartz, altération silice-chlorite-calcite diffuses superposées efface texture, veinules de calcite submillimétriques à millimétriques tardives.</p> <p>45.80 - 47.70</p> <p>105154: 15% /vEP</p> <p>> 70% veinules d'épidote submillimétriques (stockwork ou foliation anastomosée?) bréchifient veinules de feldspath-quartz hématisées.</p> <p>Traces pyrite fine locale.</p> <p>51.40 - 56.00</p> <p>105155: 40% SiCLCC(HM)</p> <p>Traces pyrite fine en association avec zones SiCLCC(HM)</p>	

MINNOVA INC. - DIVISION EXPLORATION

DE (pi)	A (pi)	TEXTURE ET STRUCTURE	ALTERATION	MINÉRALISATION
			<p>77.30 - 79.90</p> <p>105156: $\# = \text{CLSiCCvFPQZ(HM)vCC}$</p> <p>Traces pyrite fine disséminée.</p> <p>79.90 - 81.70</p> <p>105157: $(\text{Mg}) = +\text{CL}(\text{CC})$</p> <p>Roche mafique intensément foliée, protolithe incertain. Probablement microgabbro porphyrique à pyroxène d'après le début de l'intervalle, minéraux mafiques deviennent allongés 4:1 à 5:1.</p> <p>Foliation à 20°AC.</p> <p>81.70 - 83.50</p> <p>105158: $\# = \text{CLSiHMvFPQZ(HM)vCC}$</p> <p>83.90 - 86.90</p> <p>105159: 40% $\# + \text{CCCL}(\text{Si})$</p> <p>Ici zones gris-rose nettement contrôlées par fractures submillimétriques en stockwork. $\leq 10\%$ veinules de feldspath-quartz.</p> <p>112.40 - 114.80</p> <p>105160: $\# \text{CCSiCLvCC}$</p> <p>Altération efface texture veinules de calcite tardives; 10-15% veinules de feldspath-quartz.</p> <p>117.10 - 118.00</p>	

MINNOVA INC. - DIVISION EXPLORATION

DE (pi)	A (pi)	TEXTURE ET STRUCTURE	ALTÉRATION	MINÉRALISATION
			<p>105161: #SiClvCC</p> <p>A 119.00 texture gneissique où ClSi fine est superposée à et efface la foliation.</p> <p>140.30 - 146.00</p> <p>105162: #=CLSiEP(B0?)vFPQZHMvEP</p> <p>Biotite noire ≤ 1mm en concentrations locales, partiellement rétrogradée à chlorite. ≥ 30% veinules de feldspath-quartz hématisées. Matrice vert moyen à pâle (épidote).</p> <p>Traces pyrite fine locale, une veine de pyrite millimétrique.</p> <p>146.00 - 149.80</p> <p>105163: #+=CLEPSivFPQZHM+vEP</p> <p>Altération plus intense et homogène, hématisation limitée aux veinules et fragments de veinules formant ≥ 25% de la roche. Possiblement dolomie dans la matrice.</p> <p>149.80 - 152.80</p> <p>105164: #15#++HM+(PY)vEPvCC</p> <p>Altération hétérogène rouge, veinules feldspath-quartz superposées et mal définies. Veinules d'épidote tardives recoupées par veinules de calcite translucides.</p> <p>Traces de pyrite fine disséminée, quelques veinules millimétriques de pyrite fine à très très fine.</p>	

MINNOVA INC. - DIVISION EXPLORATION

DE (pi)	A (pi)	TEXTURE ET STRUCTURE	ALTERATION	MINERALISATION
			<p>152.80 - 154.30</p> <p>105165: =#B+CL+vFPQZHMvCCvBZCC/\</p> <p>Traces de pyrite fine disséminée.</p> <p>154.30 - 157.10</p> <p>105166: =#CL+vFPQZHMvCC</p> <p>157.10 - 160.90</p> <p>105167: =#CL+vFPQZHMvCC</p> <p>160.90 - 234.20 CL+BO(RB)MCL+BO(RB)</p> <p>DIORITE PORPHYRIQUE INTENSEMENT CHLORITISEE</p> <p>Diorite où l'intensité de la chloritisation oblitère complètement la texture de la roche, elle y devient équigranulaire très fine de couleur vert foncé sur plus de 60% de l'intervalle.</p> <p>Foliation à ± 30°AC, variablement reconnaissable, au moins localement intense, gneissique sur plusieurs intervalles décimétriques. Fracturation irrégulière tardive, faible, fractures remplies de calcite (veinules de calcite submillimétriques).</p> <p>Chloritisation très fine pénétrative; moyenne à intense où feldspath encore visible, intense à extrême où toute la texture est oblitérée. Biotite interprétée d'après la couleur sombre, non évidente. Riebeckite localement concentrée, bien définie.</p> <p>168.50 - 169.90</p> <p>105168: CL+BO?RB(PY)vCC</p>	

MINNOVA INC. - DIVISION EXPLORATION

DE (pi)	A (pi)	TEXTURE ET STRUCTURE	ALTERATION	MINÉRALISATION
			<p>RB autour de veinules de feldspath-quartz et concentrée localement.</p> <p>2 traces pyrite fine disséminée.</p> <p>181.30 - 186.00</p> <p>105169: =+CL+(BO?RB)vCC</p> <p>Foliation subparallèle à AC, idem pour autres intervalles foliés suivants.</p> <p>Traces de pyrite fine locale.</p> <p>186.00 - 191.20</p> <p>105170: Idem.</p> <p>191.20 - 194.00</p> <p>105171: =+CL+(BO)(PY)</p> <p>1 0,5% pyrite fine disséminée.</p> <p>194.00 - 195.00</p> <p>105172: MlvFPBZvQZCL?</p> <p>Roche gneissique avec > 30% veinules de feldspath-quartz et >30% veinules de quartz-chlorite vert pâle à moyen superposé.</p> <p>196.20 - 202.50</p> <p>105173: =+CL+(BO?RB?)</p> <p>Traces de pyrite fine disséminée.</p>	

MINNOVA INC. - DIVISION EXPLORATION

DE (pi)	A (pi)	TEXTURE ET STRUCTURE	ALTÉRATION	MINÉRALISATION
		<p>202.50 - 203.50 I3A0Z</p> <p>Injection de leucogabbro phanéritique équilibrulaire constituée de ± 35% quartz submillimétrique hypidiomorphe à idiomorphe, ± 15% minéraux mafiques trapus (pyroxène) et ± 50% feldspath blanc interstitiel. Xenolithes de l'encaissant déjà biotisés/chloritisés. Contact inférieur net, irrégulier, contact supérieur graduel.</p>	<p>212.00 - 213.50</p> <p>105174: (.JFP=CL+(BO?)</p>	
		<p>215.50 - 215.90 VCC (14P)/\=?CC+(RB)</p> <p>INJECTION DE CALCITE CARBONATIQUE</p> <p>105175:</p> <p>Roche équilibrulaire fine gris-rose bleuté pâle. Contacts nets, densité inférieure à texture bréchique définie par ± 40% fragments tabulaires de longueur centimétrique à subcentimétrique et largeur millimétrique. Délamination de l'encaissant folié? 65%/AC.</p>	<p>227.60 - 230.70</p> <p>105176: #CLBO?RBvFP0ZBO</p> <p>A 232.00' SiCL(EP?) vert pâle oblitère CLBO foncé.</p> <p>232.40 - 234.20</p> <p>105177: #CLBO?RB</p> <p>238.50 - 242.10</p>	

MINNOVA INC. - DIVISION EXPLORATION

DE (pi)	A (pi)	TEXTURE ET STRUCTURE	ALTERATION	MINÉRALISATION
			<p>105178: 60Z M15B+EP+AB?(DM)</p> <p>276.00 - 294.70 12J?B0+(CL)+FPOZ</p> <p>ZONE BIOTISEE</p> <p>Roche mésocrate (diorite?) à protolithe incertain, caractérisée par la présence de 7-20% biotite grenue brun foncé et ± 50% veinules de feldspath-quartz. La biotisation n'est pas restreinte à cet intervalle mais elle y est plus remarquable. Reste de la roche = mafiques chloritisés avec feldspath interstitiel. Intervalles centimétriques à décimétriques de microgabbro fin à aphanitique avec injections irrégulières de diorite phanéritique fine à moyenne.</p> <p>Biotite secondaire? semble fraîche.</p> <p>276.00 - 281.70</p> <p>105179: Type</p> <p>281.70 - 284.10</p> <p>105180: Type</p> <p>289.30 - 294.90</p> <p>105181: Type</p> <p>294.70 - 309.40 (13A)?BCL(PY)</p> <p>MICROGABBRO CHLORITISE</p> <p>Roche constituée à 80% de microgabbro identique à celui de la fin de l'unité précédente.</p> <p>Chloritisation diffuse moyenne vert foncé. CL:EP? vert pâle tardive superposée.</p>	

MINNOVA INC. - DIVISION EXPLORATION

DE (pi)	A (pi)	TEXTURE ET STRUCTURE	ALTERATION	MINERALISATION
		<p>327.00 - 363.00 I2D(+J)FP(0)</p> <p>PORPHYRE A FELDSPATH DENSE (SYENITE)</p> <p>Roche intrusive phanéritique constituée d'environ 80% FP hypidiomorphe trapu, plus rarement allongé, blanc à rose orangé pâle, 2-6mm et ± 15% minéraux mafiques interstitiels, rarement > 3mm et traces à 5% matière felsique interstitielle. Feldspath plus grossier que d'habitude, localement alignement grossier. Contact inférieur net, encaissant à granulométrie plus fine (recristallisation?) pas de bordure de trempé pour la syénite. Contact supérieur graduel, 1% minéraux mafiques et leur granulométrie augmente.</p> <p>Xénolithes centimétriques mafiques arrondis à granulométrie fine rencontrés à intervalles submétriques. Quelques-uns</p>	<p>± traces pyrite fine disséminée et en fines veinules discontinues.</p> <p>294.90 - 299.00</p> <p>105182: Type</p> <p>299.00 - 303.70</p> <p>105183: Type</p> <p>303.70 - 308.20</p> <p>105184: Type</p> <p>323.10 - 324.20</p> <p>105185: 25% SiCC(PY) dans I2J etc, vFPQZ</p> <p>Pyrite fine disséminée et une veinule submicrométrique.</p>	

MINNOVA INC. - DIVISION EXPLORATION

DE (pi)	A (pi)	TEXTURE ET STRUCTURE	ALTERATION	MINERALISATION
363.00	449.70	<p>contiennent des phénocristaux de feldspath iden à ceux de la syénite.</p> <p>Fracturation faible (vCC et vEP)</p> <p>Faible altération en hématite affecte surtout le feldspath.</p> <p>Minéralisation généralement absente, > traces pyrite fine très localement.</p> <p>I2JH(M6)(D0?)vFP0Z,I3ANCL(CC)11A</p> <p>ZONE DE TRANSITION</p> <p>Zone hétérogène mixte sans contacts définis; constituée d'environ 30 à 40% de diorite à veinules phanéritiques équi-granulaires fines de</p>	<p>338.80 - 339.50</p> <p>105186: 30% SiCL(PY)vCC</p> <p>Texture intrusive presque oblitérée.</p> <p>> traces pyrite fine.</p> <p>344.80 - 345.40</p> <p>105187: 25% SiCLCC(HH)(PY)vCC</p> <p>Microfractures de calcite.</p> <p>> traces pyrite fine.</p> <p>358.90 - 359.90</p> <p>105188: 65% CCSiCL</p> <p>Traces de pyrite fine disséminée.</p>	

MINNOVA INC. - DIVISION EXPLORATION

DE (pi)	A (pi)	TEXTURE ET STRUCTURE	ALTÉRATION	MINÉRALISATION
		<p>feldspath-quartz, ± 20-30% microgabbro équi-granulaire fin et ≥ 10% dykes et injections centimétriques à décimétriques équi-granulaires fins à moyens de granite à feldspath alcalin (± 30-40% OZ 1-2mm interstitiel et ± 40% FP hypidiomorphe à allotriomorphe ± ± 20% mafiques fins). Faibles bordures figées allométriques.</p> <p>Foliation peu à mal définie, fracturation moyenne à intense locale, surtout dans le microgabbro.</p> <p>Altération limitée. Diorite à veinules de feldspath-quartz généralement peu altérée (vEP ± HM locale), microgabbro moyennement à localement fortement chloritisé, dykes granitiques plutôt frais.</p> <p>≥ traces pyrite dans microgabbro altéré, généralement absente ailleurs.</p>	<p>374.50 - 378.00</p> <p>105189: I2J±(M6)CLCCvCC</p> <p>Altération moyenne oblitère partiellement la texture.</p> <p>395.60 - 400.20</p> <p>105190: 60% I3ACL+(PY), 40% I1A</p> <p>≥ 0,5% pyrite disséminée et en veinules subaillométriques avec le microgabbro chloritisé.</p> <p>400.20 - 403.80</p> <p>105191: 80% I3ACL+, 10% vFPQZ, 10% vCC</p> <p>Pyrite très locale dans microgabbro.</p> <p>403.80 - 406.00</p>	

MINNOVA INC. - DIVISION EXPLORATION

DE (pi)	A (pi)	TEXTURE ET STRUCTURE	ALTERATION	MINERALISATION
449.70	836.00	<p>12D(B)(HM)</p> <p>SYENITE EQUIGRANULAIRE</p> <p>Intrusion syénitique de couleur gris-rose orangé à granulométrie fine à moyenne, texture équigranulaire. Contact graduel sur un intervalle métrique passant de diorite équigranulaire à mélanodiorite porphyrique à feldspath (unité précédente) à mélanosyénite porphyrique avec nombreux xénolithes mafiques à syénite équigranulaire (unité présente).</p> <p>La syénite équigranulaire est constituée d'environ 15% minéraux mafiques (HB?) interstitiels fins, 2 80% feldspath blanc à rose orangé ≤ 2mm hypidiomorphe à xénomorphe et quelques % matrice aphanitique et/ou quartz. Les minéraux mafiques sont localement grossièrement alignés.</p> <p>La foliation est absente, fracturation de type stockwork est localement intense à extrême, généralement faible.</p> <p>Altération généralement faible, limitée à faible chloritisation des minéraux mafiques, et légère hématisation du feldspath. Intervalles décimétriques à métriques de roche métasomatique variablement altérée en HM, Si ± CB et veines de CB. Zones de stockwork fin d'épidote avec enveloppes</p>	<p>105192: N15B+CC+BD(RB)PUY+CCvBZ</p> <p>Protolithe probablement un microgabbro.</p> <p>Biotite, calcite diffuse, RB en enveloppes autour de veinules de calcite millimétriques à submillimétriques.</p> <p>≤ 1% pyrite fine disséminée et en agrégats ≤ 1mm.</p> <p>406.00 - 408.90</p> <p>105193: 12Ja(BD)+FPBZ</p> <p>Traces de pyrite très fine locale.</p>	

MINNOVA INC. - DIVISION EXPLORATION

DE (pi)	A (pi)	TEXTURE ET STRUCTURE	ALTERATION	MINERALISATION
		<p>HM. L'épidote est de couleur vert moyen à pâle, à morphologie trapue fine.</p> <p>Minéralisation généralement absente, sauf dans zones métasomatiques où elle peut atteindre traces à 0,5%.</p> <p>481.30 - 483.50 (14N)C.1ST?B0CCvCC</p> <p>DYKE DE LAMPROPHYRE?</p> <p>Roche intrusive mélanocrate constituée d'environ 40% phénocristaux gris-bleuté carbonatés (serpentine, feldspath/feldspathoïde altéré???) dans une matrice phanéritique constituée surtout de chlorite & biotite. Une « poche » à texture gabbroïque avec pyroxène, feldspath et quartz. Non magnétique, faible carbonate et quelques % feldspath interstitiel caractérisent cette roche. Contacts nets à 80°AC et 45°AC, supérieur sans zone d'altération, inférieur avec zone d'altération CL(RB?)vCC centimétrique.</p> <p>Altération des phénocristaux et chloritisation secondaire.</p>	<p>467.10 - 471.10</p> <p>105194: 50% Si?CCvEP</p> <p>Stockwork très fin d'épidote + chlorite avec enveloppes carbonates et silicifiées? effaçant la texture ignée.</p> <p>483.50 - 485.30</p> <p>105195: 120%SiCCvCC</p> <p>Zone centimétrique RB+ vers la fin de l'intervalle.</p> <p>485.30 - 488.40</p>	

MINNOVA INC. - DIVISION EXPLORATION

DE (pi)	A (pi)	TEXTURE ET STRUCTURE	ALTERATION	MINERALISATION
			<p>105196: #SiCC(CLHM)vCC</p> <p>HM augmente à la fin de l'intervalle, fracturation polyphase intense.</p> <p>Traces pyrite très locale.</p> <p>488.40 - 493.80</p> <p>105197: 50I#SiHM(CC)vCC</p> <p>493.80 - 507.50 H1S0+HM(S1SR)(PY)vDM</p> <p>SYENITE METASOMATISEE</p> <p>Intervalle de syénite métasomatisée de couleur rouge orangé à gris-rose. La texture intrusive n'est pas complètement effacée.</p> <p>Foliation généralement absente sauf sur l'intervalle gris. Fracturation intense tant à espacement subcentimétrique qu'à l'échelle cristalline.</p> <p>Métabasite diffuse moyenne, silicification diffuse faible à moyenne, séricitisation totale localisée des minéraux mafiques, chloritisation des mafiques sur d'autres intervalles.</p> <p>≥ traces de pyrite fine à moyenne disséminée en général.</p> <p>493.80 - 498.80</p> <p>105198: (M6)#HM(SiCLCC)vCC</p> <p>498.80 - 500.70 ++0+DM+(CL)(PY)vDM?</p>	

MINNOVA INC. - DIVISION EXPLORATION

DE (pi)	A (pi)	TEXTURE ET STRUCTURE	ALTÉRATION	MINÉRALISATION
			<p>105199:</p> <p>Roche d'apparence foliée, foliation définie par plans anastomosés de chlorite submillimétrique à espacement subcentimétrique orientés subparallèles à AC.</p> <p>Altération diffuse et en veinules; minéral felsique ne réagissant pas à l'acide, semble légèrement mou pour AB. Ces veinules recoupent les plans de chlorite.</p> <p>> traces de pyrite fine disséminée.</p> <p>500.70 - 502.40</p> <p>105200: #Si</p> <p>Intervalle faiblement altéré avec ± 25% xénolithes à texture phanéritique fine centimétriques à subcentimétriques.</p> <p>502.40 - 506.40</p> <p>105201: #+HM(SiSRCL)(PY)</p> <p>Altération hétérogène, intervalles décimétriques de M15, intervalles décimétriques moyennement altérés.</p> <p>> traces de pyrite fine disséminée.</p> <p>506.40 - 507.50</p> <p>105202: #+Si+HM(CL)</p> <p>509.80 - 510.70</p> <p>105203: ±30% vBZCC. carotte égrenée.</p>	

MINNOVA INC. - DIVISION EXPLORATION

DE (pi)	A (pi)	TEXTURE ET STRUCTURE	ALTERATION	MINERALISATION
			<p>518.00 - 521.00</p> <p>105204: #Si+(HM)(PY)vCC</p> <p>Silicification diffuse moyenne à extrême. Extrême sur un intervalle décimétrique au centre.</p> <p>≥ traces de pyrite fine disséminée.</p> <p>524.40 - 526.00</p> <p>105205: (MG)#Si(HM)(PY)</p> <p>≈30% zones centimétriques Si-Si+. Magnétique seulement là où silice plus faible.</p> <p>≥ traces de pyrite avec Si-Si+.</p> <p>526.00 - 530.90 60%#Si+(HMCSR)(PY)</p> <p>105206:</p> <p>≈0,5% pyrite fine avec zones Si+.</p> <p>533.60 - 536.40</p>	<p>526.00 - 529.00</p> <p>105646: 12D(MG)0(HM)vSi</p> <p>Syénite équi-granulaire rose (HM diminue vers la fin) avec ≈ 3% veinules de silice définies par des zones d'altération grises ≤ 2mm autour de microfractures de type stockwork.</p>

MINNOVA INC. - DIVISION EXPLORATION

DE (pi)	A (pi)	TEXTURE ET STRUCTURE	ALTERATION	MINÉRALISATION
			<p>105647: Iden.</p> <p>Traces de pyrite fine locale avec zones de silice? grises autour de veinules de calcite submillimétriques.</p> <p>536.40 - 538.80</p> <p>105207: 30I#Si+(HMSR)vCL</p> <p>Traces pyrite fine avec veinules de chlorite submillimétriques.</p> <p>546.60 - 548.40</p> <p>105208: 20I #SiCC(HM)(PY)vCL</p> <p>> traces pyrite fine moyenne avec veinules de chlorite.</p> <p>558.10 - 563.10</p> <p>105648: Iden.</p> <p>Vague alignement minéralogique (feldspath et HM). Un xénolithe de microgabbro centimétrique arrondi pénétré par lattes feldspath, bordure faiblement épidotisée.</p> <p>Quelques grains de pyrite fine.</p> <p>563.10 - 564.60 ±20I#SiCC(HM)(PY)vCLCC</p> <p>105209:</p> <p>564.60 - 569.60</p> <p>105649: Iden.</p> <p>602.30 - 603.30</p>	

MINNOVA INC. - DIVISION EXPLORATION

DE (pi)	A (pi)	TEXTURE ET STRUCTURE	ALTÉRATION	MINÉRALISATION
			<p>105210: 0+HMCCR8(PY)</p> <p>≥ traces pyrite fine disséminée.</p> <p>606.20 - 606.70 50% BCC+(HM)PY</p> <p>105211:</p> <p>Carbonatisation ou IAP?.</p> <p>≥1% pyrite très très fine disséminée.</p> <p>612.50 - 616.50</p> <p>105212: ≥20% zones subcc SiCC±vQZ</p> <p>657.40 - 660.40</p> <p>105213: 0SiHM(SR)vCC</p> <p>Syénite altérée allant à M15.</p> <p>Traces de pyrite disséminée dans les parties plus fortement altérées.</p> <p>663.20 - 667.40</p> <p>105214: 80% 0SiHM(SR)vCC</p> <p>Traces de pyrite très fine disséminée avec zones silice.</p> <p>670.40 - 674.40</p> <p>105215: 70%0Si(SR)vCC</p>	

MINNOVA INC. - DIVISION EXPLORATION

DE (pi)	A (pi)	TEXTURE ET STRUCTURE	ALTERATION	MINERALISATION
			<p>674.40 - 692.20 $M150+HM+CC(SiSR)$</p> <p>SYENITE METASOMATISEE</p> <p>Syénite altérée dont la texture primaire est généralement encore reconnaissable. Quelques xénolithes mafiques. Non foliée, fracturation intense en stockwork et intra/inter cristalline.</p> <p>Altération généralement intense mais variable, surtout hématite et calcite diffuses, silice et séricite moyenne à faible, localement calcite surtout intercristalline et en microfractures.</p> <p>Minéralisation généralement absente. Traces pyrite très fine locale.</p> <p>674.40 - 676.00</p> <p>105216: $\#HMSi(CCCLSR)vCC$</p> <p>676.00 - 679.20</p> <p>105217: $\#HM+CC(SiSRCL)vCL$</p> <p>Traces de pyrite fine disséminée.</p> <p>679.20 - 683.90</p> <p>105218: $\#SiHMCCvCCvCL$ bleuté</p> <p>Intervalle relativement faiblement altéré, texture intrusive toujours évidente.</p> <p>683.90 - 687.00</p> <p>105219: $\#++HM+(CCCLRSi)vCC$</p>	

MINNOVA INC. - DIVISION EXPLORATION

DE (pi)	A (pi)	TEXTURE ET STRUCTURE	ALTERATION	MINERALISATION
			<p>687.00 - 692.20</p> <p>105220: #HMSi(CCSRL)vCC</p> <p>693.20 - 696.70</p> <p>105221: #SiCCHM</p> <p>696.70 - 699.70</p> <p>105222: #SiHM(CC)vCCQZ</p> <p>719.00 - 723.70</p> <p>105223: 60% #Si+(SR)</p> <p>723.70 - 755.20 M150+HMSi(SRCL)vCC</p> <p>SYENITE METASOMATISEE</p> <p>Syénite altérée dont la texture ignée peut encore être interprétée. Intervalles foliés à faible angle AC, plans submillimétriques à millimétriques à espaces millimétriques, irréguliers anastomosés définis par Cl ± SR.</p> <p>Fracturation variable, en stockwork à espacement centimétrique à subcentimétrique (plans chlorite ou calcite irréguliers) et de type intra/inter cristallin très fin. Cette dernière fracturation détruit presque complètement la texture primaire.</p> <p>Altération variable, généralement au moins moyenne. Silicification, hématisation et carbonatation diffuse, chlorite et séricite affectent les minéraux mafiques mais sont aussi retrouvées en plans. Veinules de calcite millimétriques à submillimétriques.</p>	

MINNOVA INC. - DIVISION EXPLORATION

DE (pi)	A (pi)	TEXTURE ET STRUCTURE	ALTÉRATION	MINÉRALISATION
			<p>Minéralisation généralement absente.</p> <p>723.70 - 728.20</p> <p>105224: #SiHM(SRCL)</p> <p>728.20 - 731.80</p> <p>105225: #+HMSi(SRCL)vCC</p> <p>731.80 - 736.70</p> <p>105226: Idem.</p> <p>736.70 - 738.70</p> <p>(#)(HM) Intervalle xénolithique ± frais.</p> <p>738.70 - 742.40</p> <p>105227: #Si(HM)vCC</p> <p>742.40 - 746.50</p> <p>105228: #+SiHM(SR)vCC</p> <p>746.50 - 749.30 #+SiHM(SR)vCC</p> <p>105229:</p> <p>Zone foliée millimétrique à ± 35-40°C.</p> <p>749.30 - 755.20</p> <p>105230: =#+SiHM(SR)vCC</p> <p>Zone foliée centimétrique à 0-15°C.</p>	

MINNOVA INC. - DIVISION EXPLORATION

DE (pi)	A (pi)	TEXTURE ET STRUCTURE	ALTERATION	MINERALISATION
		<p>820.00 - 825.10 13AACLSPvCCEPvCL</p> <p>105233:</p> <p>Dyke de microgabbro équi-granulaire très fin, contact supérieur assez net, contact inférieur figé. Contacts à 80°C.</p> <p>Chlorite ± épidote diffuse, veinules de chlorite irrégulières et veinules de calcite-épidote subaillonnées.</p> <p>Traces pyrite très très fine disséminée.</p>	<p>800.50 - 806.30</p> <p>105231: #Si+(HMSR)vCC</p> <p>809.60 - 812.20</p> <p>105232: #Si(HM)vQZ</p> <p>832.30 - 833.90</p> <p>105234: 40SiCCvCL bleutée.</p> <p>836.00: FIN DU TROU</p>	

MINNOVA INC. - DIVISION EXPLORATION

ECHANTILLON	DE (pi)	A (pi)	LONGUEUR (pi)	Au(1) ppb	Au(2) ppb	Au(3) ppb	Au(4) ppb	Au(MOY) ppb	Ag ppm	As ppm	Sb ppm	Mo ppm	Pb ppm	Cu(1) ppm	Cu(2) ppm	Cu(MOY) ppm	Zn(1) ppm	Zn(2) ppm	Zn(MOY) ppm	
105151	15.00	17.40	2.40	tr.				tr.						76		76	66		66	
105152	27.30	29.10	1.80	tr.				tr.						62		62	90		90	
105153	29.10	30.90	1.80	tr.				tr.						63		63	72		72	
105154	36.00	40.80	4.80	tr.				tr.						63		63	65		65	
105155	54.40	56.00	1.60	tr.				tr.						67		67	63		63	
105156	77.30	79.90	2.60	tr.				tr.						63		63	60		60	
105157	79.90	81.70	1.80	tr.				tr.						66		66	54		54	
105158	81.70	83.50	1.80	tr.				tr.						70		70	47		47	
105159	83.90	86.90	3.00	tr.				tr.						90		90	64		64	
105160	112.40	114.80	2.40	tr.				tr.						49		49	77		77	
105161	117.10	118.00	0.90	tr.				tr.						54		54	69		69	
105162	140.30	146.00	5.70	tr.				tr.						50		50	50		50	
105163	146.00	149.80	3.80	tr.				tr.						60		60	77		77	
105164	149.80	152.80	3.00	tr.				tr.						50		50	47		47	
105165	152.80	154.30	1.50	tr.				tr.						60		60	95		95	
105166	154.30	157.10	2.80	tr.				tr.						56		56	82		82	
105167	157.10	160.90	3.80	tr.				tr.						55		55	87		87	
105168	168.50	169.90	1.40	tr.				tr.						68		68	60		60	
105169	181.30	186.00	4.70	tr.				tr.						114		114	47		47	
105170	186.00	191.20	5.20	tr.				tr.						95		95	56		56	
105171	191.20	194.00	2.80	tr.				tr.						172		172	52		52	
105172	194.00	195.00	1.00	tr.				tr.						49		49	61		61	
105173	196.20	202.50	6.30	tr.				tr.						150		150	54		54	
105174	212.00	213.50	1.50	tr.				tr.						87		87	90		90	
105175	215.50	215.90	0.40	tr.				tr.	5.5					48		48	237		237	
105176	227.60	230.70	3.10	tr.				tr.						92		92	64		64	
105177	232.40	234.20	1.80	tr.				tr.						70		70	100		100	
105178	238.50	242.10	3.60	tr.				tr.						62		62	57		57	
105179	276.00	281.70	5.70	tr.				tr.						66		66	61		61	
105180	281.70	284.10	2.40	tr.				tr.						94		94	84		84	
105181	289.30	294.70	5.40	tr.				tr.						104		104	72		72	
105182	294.70	299.00	4.30	tr.				tr.						112		112	67		67	
105183	299.00	303.70	4.70	tr.				tr.						112		112	66		66	
105184	303.70	308.20	4.50	tr.				tr.						164		164	37		37	
105185	323.10	324.20	1.10	tr.				tr.						77		77	41		41	
105186	338.80	339.50	0.70	tr.				tr.						120		120	30		30	
105187	344.80	345.40	0.60	tr.				tr.						122		122	44		44	
105188	358.90	359.90	1.00	tr.				tr.						37		37	37		37	

MINNOVA INC. - DIVISION EXPLORATION

eCHANTILLON	DE (pi)	A (pi)	LONGUEUR (pi)	Au(1) ppb	Au(2) ppb	Au(3) ppb	Au(4) ppb	Au(MOY) ppb	Ag ppa	As ppa	Sb ppa	Mo ppa	Pb ppa	Cu(1) ppa	Cu(2) ppa	Cu(MOY) ppa	Zn(1) ppa	Zn(2) ppa	Zn(MOY) ppa	
105189	374.50	378.00	3.50	tr.										57		57	44		44	
105190	395.60	400.20	4.60	tr.				tr.						102		102	24		24	
105191	400.20	403.80	3.60	tr.				tr.						120		120	46		46	
105192	403.80	406.00	2.20	tr.				tr.						116		116	71		71	
105193	406.00	408.90	2.90	tr.				tr.						69		69	26		26	
105194	467.10	471.10	4.00	tr.				tr.						90		90	25		25	
105195	483.50	485.30	1.80	tr.				tr.						65		65	29		29	
105196	485.30	488.40	3.10	tr.				tr.						90		90	49		49	
105197	488.40	493.80	5.40	tr.				tr.						61		61	54		54	
105198	493.80	498.80	5.00	tr.				tr.						39		39	50		50	
105199	498.80	500.70	1.90	206				206						67		67	67		67	
105200	500.70	502.40	1.70	tr.				tr.						99		99	49		49	
105201	502.40	506.40	4.00	tr.				tr.						57		57	54		54	
105202	506.40	507.50	1.10	tr.				tr.						47		47	59		59	
105203	509.80	510.70	0.90	tr.				tr.						50		50	30		30	
105204	518.00	521.00	3.00	tr.				tr.						42		42	57		57	
105205	524.40	526.00	1.60	tr.				tr.						40		40	50		50	
105646	526.00	529.00	3.00	tr.				tr.						27		27	51		51	
105206	529.00	533.60	4.60	240				240						37		37	62		62	
105647	533.60	536.40	2.80	tr.				tr.						54		54	50		50	
105207	536.40	538.80	2.40	tr.				tr.						46		46	69		69	
105208	546.60	548.40	1.80	tr.				tr.						47		47	51		51	
105648	558.10	563.10	5.00	tr.				tr.						32		32	37		37	
105209	563.10	564.60	1.50	309				309						404		404	70		70	
105649	564.60	569.60	5.00	tr.				tr.						40		40	49		49	
105210	602.30	603.30	1.00	tr.				tr.						49		49	60		60	
105211	606.20	606.70	0.50	206				206	tr.					50		50	53		53	
105212	612.50	616.50	4.00	tr.				tr.						49		49	30		30	
105213	657.40	660.40	3.00	tr.				tr.						49		49	50		50	
105214	663.20	667.40	4.20	tr.				tr.						46		46	67		67	
105215	670.40	674.40	4.00	tr.				tr.						70		70	68		68	
105216	674.40	676.00	1.60	tr.				tr.						61		61	60		60	
105217	676.00	679.20	3.20	tr.				tr.						47		47	56		56	
105218	679.20	683.90	4.70	tr.				tr.						46		46	67		67	
105219	683.90	687.00	3.10	tr.				tr.						47		47	62		62	
105220	687.00	692.20	5.20	tr.				tr.						44		44	64		64	
105221	693.20	696.70	3.50	tr.				tr.						42		42	54		54	
105222	696.70	699.70	3.00	tr.				tr.						35		35	50		50	

MINNOVA INC. - DIVISION EXPLORATION

ECHANTILLON	DE (pi)	A (pi)	LONGUEUR (pi)	Au(1) ppb	Au(2) ppb	Au(3) ppb	Au(4) ppb	Au(MOY) ppb	Ag ppm	As ppm	Sb ppm	Mo ppm	Pb ppm	Cu(1) ppm	Cu(2) ppm	Cu(MOY) ppm	Zn(1) ppm	Zn(2) ppm	Zn(MOY) ppm	
105223	719.00	723.70	4.70	tr.				tr.						44		44	54		54	
105224	723.70	728.20	4.50	tr.				tr.						35		35	54		54	
105225	728.20	731.80	3.60	tr.				tr.						57		57	47		47	
105226	731.80	736.70	4.90	tr.				tr.						37		37	43		43	
105227	738.70	742.40	3.70	tr.				tr.						36		36	40		40	
105228	742.40	746.50	4.10	tr.				tr.						49		49	47		47	
105229	746.50	749.30	2.80	240				240						87		87	47		47	
105230	749.30	755.20	5.90	tr.				tr.						47		47	47		47	
105231	800.50	806.30	5.80	tr.				tr.						36		36	60		60	
105232	809.60	812.20	2.60	tr.				tr.						27		27	46		46	
105233	820.00	825.10	5.10	tr.				tr.						277		277	37		37	
105234	832.30	833.90	1.60	tr.				tr.						45		45	47		47	

MINNOVA INC. - DIVISION EXPLORATION

COMPAGNIE : MINNOVA EXPLORATION	PROJET : ILE OPAMICA	SONDAGE : OP-06	IMPRIMÉ LE : 10/10/90																					
CANTON : LESPERANCE	RANG : -	LOT : -	CLAIM : 317226-4																					
<u>COORDONNEES AU COLLET</u>	GRILLE : LIGNE : 8+00E STATION : 13+30W	LATITUDE : 1330.00 LONGITUDE : 800.00 ELEVATION : 105.00	AZIMUT : 235 0' PLONGEE : -81 0'																					
<u>PROFONDEUR</u>	AU DEPART : 0.00	FIN DE TROU : 1146.00	TUBAGE LAISSE (?) : Oui																					
GEOLOGUE : HAROLD BRISSON			DATE DU JOURNAL : 19 juin 90																					
CONTRACTEUR : FORAGE BELAND			FORAGE DEBUTE LE : 13 juin 90																					
BUT : Tester zones aurifères A-B en profondeur.			TERMINE LE : 16 juin 90																					
<u>DONNEES D'ORIENTATION</u>																								
<table border="1"> <thead> <tr> <th>Longueur</th> <th>Azimat</th> <th>Plongée</th> </tr> </thead> <tbody> <tr> <td>0.00</td> <td>235 0'</td> <td>-81 0'</td> </tr> <tr> <td>201.00</td> <td>244 4'</td> <td>-81 0'</td> </tr> <tr> <td>400.00</td> <td>+245 10'</td> <td>-81 0'</td> </tr> <tr> <td>591.00</td> <td>+246 12'</td> <td>-81 0'</td> </tr> <tr> <td>800.00</td> <td>+247 18'</td> <td>-81 0'</td> </tr> <tr> <td>1141.00</td> <td>249 4'</td> <td>-81 0'</td> </tr> </tbody> </table>				Longueur	Azimat	Plongée	0.00	235 0'	-81 0'	201.00	244 4'	-81 0'	400.00	+245 10'	-81 0'	591.00	+246 12'	-81 0'	800.00	+247 18'	-81 0'	1141.00	249 4'	-81 0'
Longueur	Azimat	Plongée																						
0.00	235 0'	-81 0'																						
201.00	244 4'	-81 0'																						
400.00	+245 10'	-81 0'																						
591.00	+246 12'	-81 0'																						
800.00	+247 18'	-81 0'																						
1141.00	249 4'	-81 0'																						
(*) azimat estimé																								

MINNOVA INC. - DIVISION EXPLORATION

DE (pi)	A (pi)	TEXTURE ET STRUCTURE	ALTÉRATION	MINÉRALISATION
0.00	2.00	MT		
		MORT-TERRAIN		
2.00	135.50	<p>V311.JFPS1</p> <p>BASALTE : PORPHYRIQUE A PLAGIOCLASE</p> <p>Gris foncé. Granulométrie variable mais ≤ 1mm. Hétérogène avec ± 40% passages centimétriques-décimétriques contenant ≤ 15% phénocristaux de plagioclase trapus. (≤ 3mm). ≤ 2% veinules de calcite.</p> <p>Quelques passages calcitiques. De rares passages centimétriques épidotisés. Roche massive, non-déformée, non-schisteuse, d'aspect silicifiée (Si?, cornéenne?).</p> <p>47.70 - 52.70 VQZ</p> <p>105238:</p> <p>Veine de quartz blanc laiteux. Quelques enclaves de roche</p>	<p>8.00 - 14.30</p> <p>AB+ Altération albitique beige sur 15cm centrée sur une zone d'altération vert pâle (lessivage des minéraux mafiques).</p> <p>105235: 10.40-11.20</p> <p>16.00 - 21.50</p> <p>Zone partiellement chloritisée.</p> <p>Passages faiblement magnétiques avec ±1% de pyrite fine disséminée.</p> <p>105236: 16.00-18.50 (CL)(PY)</p> <p>105237: 18.50-21.50 (CL)</p>	

MINNOVA INC. - DIVISION EXPLORATION

DE (pi)	A (pi)	TEXTURE ET STRUCTURE	ALTERATION	MINERALISATION
135.50	516.60	<p>encaissante. Quelques fractures plaquées d'hématite.</p> <p>I3AS1(CLMO)</p> <p>GABBRO</p> <p>I.C. ± 50. Vert foncé grisâtre. Phanérotique fin à moyen, (< 2mm) homogranulaire. Texture intergranulaire révélée dans des passages altérés: Plagioclase en lattes jointives. Roche non magnétique.</p>	<p>84.40 - 85.60</p> <p>105239: AB+(HM)</p> <p>Altération albitique vert-pâle et beige (lessivage des minéraux mafiques) partiellement hématitique (< 10%) de teinte rougeâtre.</p> <p>88.00 - 93.00</p> <p>105240: CCHM</p> <p>Roche calcitique et hématitique de couleur rouge; quelques veinules de calcite + limonite.</p> <p>123.60 - 135.50</p> <p>CC+(HM) Altération calcitique beige s'intensifiant jusqu'au contact avec l'unité suivante à 135.50. Altération avec hématite le long des fractures au début de la zone. Texture porphyrique reconnaissable à 134.50.</p> <p>105241: 123.60-127.60 (CC)(HM)</p> <p>105242: 127.60-131.60 CC</p> <p>105243: 131.60-135.50 CC+</p>	

MINNOVA INC. - DIVISION EXPLORATION

DE (pi)	A (pi)	TEXTURE ET STRUCTURE	ALTERATION	MINERALISATION
		<p>Roche généralement massive, non déformée, non schisteuse. Quelques zones de déformation centimétriques.</p> <p>± 2% veinules de calcite, quelques veinules de calcite épidote-hématite.</p> <p>Quelques passages calcitiques et chloriteux. Epidotisation locale. Aspect généralement siliceux (Si? Cornéenne?). Plusieurs intervalles contenant 5-10% biotite grenue en porphyroblastes. Ces intervalles sont de puissance décimétrique.</p>	<p>149.30 - 154.20</p> <p>105650: 13A(B)(CL)vCC</p> <p>Gabbro microlithique à texture partiellement effacée, > 3% veinules de calcite millimétriques irrégulières.</p> <p>± traces de pyrite fine disséminée et en agrégats locaux.</p> <p>153.00 - 156.00 CCPY/vCC(HM)</p> <p>105244:</p> <p>Zone d'altération en calcite ± hématite associée à une veine bréchique et déformée de calcite ± hématite située entre 153.50 et 153.80. Roche schistosée sur quelques centimètres en bordure de la veine.</p> <p>± 1% pyrite fine disséminée dans la veine et la roche encaissante.</p> <p>156.00 - 160.10</p> <p>105651: 13A(MG)(B)CC(CL)vCC</p> <p>Gabbro altéré avec ± 40% zones centimétriques carbonatées où la texture intrusive est oblitérée.</p>	

MINNOVA INC. - DIVISION EXPLORATION

DE (pi)	A (pi)	TEXTURE ET STRUCTURE	ALTÉRATION	MINÉRALISATION
		<p>281.20 - 289.10 I2I.JFPANSI</p> <p>Intrusion intermédiaire? porphyrique à phénocristaux de plagioclase et d'amphibole. Matrice à grains fins < 1mm de couleur grise. ± 25% phénocristaux plagioclase automorphes ± 2mm et souvent zonés. ± 15% phénocristaux d'amphibole.</p> <p>Quelques enclaves centimétriques de roche mafique: gabbro à grains fins.</p> <p>Bordures figées sur ± 2cm au contact avec le gabbro. Roche massive non déformée et non schisteuse.</p> <p>Silicification diffuse de la matrice donne un aspect plus felsique à la roche.</p>	<p>> traces pyrite fine, surtout en disséminations dans zones carbonatées.</p> <p>164.00 - 165.00</p> <p>105245: CC/vCCBZ</p> <p>Altération en calcite associée à une veine déformée et bréchique de calcite-quartz de 2cm. Roche encaissante à la veine très peu déformée.</p> <p>± 1% pyrite fine retrouvée surtout dans la veine de calcite-quartz.</p> <p>354.80 - 355.20</p> <p>=CLSi</p> <p>Gabbro déformé, chloritisé et silicifié en bordure de l'intrusion porphyrique.</p>	

MINNOVA INC. - DIVISION EXPLORATION

DE (pi)	A (pi)	TEXTURE ET STRUCTURE	ALTÉRATION	MINÉRALISATION
		<p>355.20 - 364.00 I2(+J)PSi</p> <p>Intrusion intermédiaire porphyrique à phénocristaux de plagioclase. Matrice à grains fins (<1mm, homogénéitaire et de couleur grise. ± 35% phénocristaux de plagioclase automorphes ± 3mm souvent zonés. De rares phénocristaux d'amphibole. Quelques enclaves de roche encaissante.</p> <p>Roche massive non déformée et non schisteuse.</p> <p>Silicification diffuse de la matrice donne un aspect plus felsique à la roche.</p>	<p>364.00 - 366.90</p> <p>105246: (=)CLSi</p> <p>Roche mafique à grains fins, † chloritisée et calcitique. Roche massive et schistosée localement.</p>	<p>365.00 - 366.30</p> <p>PY+</p> <p>± 3% pyrite fine et moyenne (± 3mm) en remplissage de fractures irrégulières.</p>
		<p>366.90 - 378.00 I2(+J)FP</p> <p>Idem à 355.20-378.00</p>	<p>378.00 - 382.00</p> <p>Zone d'altération en bordure de l'intrusion.</p> <p>444.00 - 446.00</p> <p>105247: PY/vCC</p>	

MINNOVA INC. - DIVISION EXPLORATION

DE (pi)	A (pi)	TEXTURE ET STRUCTURE	ALTERATION	MINERALISATION
516.60	625.20	<p>V3L.JFPAB+Si+CC</p> <p>BASALTE PORPHYRIQUE A PLAGIOCLASE</p> <p>Gris foncé, à grains fins < 1mm. Hétérogène avec ± 40% passages décimétriques contenant ≤ 15% de plagioclase trapu (1-2mm). ± 1% de veinules de calcite.</p> <p>Roche généralement massive, non déformée et non schisteuse. Quelques passages et fractures avec altération albitique vert-pâte et beige (lessivage des minéraux mafiques): +AB. Roche d'aspect siliceux (Si+? cornéenne?)</p> <p>Quelques passages de tuf siliceux lité et laminaire.</p>	<p>454.30 - 455.70</p> <p>105248: (PY)/vCC</p>	<p>468.80 - 469.20 M4CLPY+</p> <p>105249:</p> <p>Zone de déformation avec schiste à chlorite-pyrite.</p> <p>± 5% d'amas de pyrite fine parallèle à la schistosité.</p> <p>514.50 - 516.60 M4CLPY15(PD)</p> <p>105250:</p> <p>Zone de déformation avec schiste à chlorite contenant une zone riche en sulfures située entre 515.40 à 516.00.</p> <p>Quelques veinules de calcite-pyrite. Entre 515.40 et 516.00: zone ± rubanée avec ±60% de sulfures. Essentiellement de la pyrite et un peu de pyrrhotite (localement magnétique).</p>

MINNOVA INC. - DIVISION EXPLORATION

DE (pi)	A (pi)	TEXTURE ET STRUCTURE	ALTERATION	MINERALISATION
		<p>571.70 - 573.40 V11/c*</p> <p>Tuf siliceux laminaire. Lames de couleur beige et grise plissées irrégulièrement.</p>		
		<p>590.00 - 593.70 V1cLL*</p> <p>Tuf siliceux lité et laminaire. Polarité probable vers le début du forage: 1) litage tronqué par la coulée basaltique à 590.00, 2) séquence positive formée d'un lit décimétrique suivie de lits centimétriques et de lamines millimétriques de 593.70 à 590.00. Couleur gris foncé et beige. $\approx 40\%$ AC.</p>		
		<p>612.70 - 625.20 V1cLL*</p> <p>Tuf siliceux lité et laminaire. Lames millimétriques formées de cendre fine et lits centimétriques formés de cendre grossière < lam. Couleur gris foncé. Quelques lits gris pâle et rougeâtres.</p> <p>Traces de pyrite fine.</p>		
625.20	659.60	<p>13AvCC</p> <p>GABBRO</p> <p>Vert foncé grisâtre phanéritique fin à moyen (52mm), homogénéité. Texture intergranulaire: lattes de plagioclase jointives. Granulométrie plus fine près des contacts avec les autres roches. $\approx 1\%$ veinules de calcite.</p> <p>Roche massive, non déformée.</p>	<p>645.90 - 646.30</p> <p>vCC Zone avec $\approx 5\%$ de veinules de calcite sub-parallèles.</p>	

MINNOVA INC. - DIVISION EXPLORATION

DE (pi)	A (pi)	TEXTURE ET STRUCTURE	ALTERATION	MINÉRALISATION
659.60	1146.00	<p>V3A2(L)JFP</p> <p>BASALTE ± PORPHYRIQUE A PLAGIOCLASE</p> <p>Gris foncé verdâtre phanéritique fin, < 1mm, homogranulaire. ± 30% passages décimétriques-millimétriques porphyriques à phénocristaux de feldspath (± 15%, ±1mm). ±1% veinules de calcite. Quelques injections centimétriques-décimétriques de gabbro idem à 625.20. Quelques passages décimétriques de tuf siliceux laminaire. De rares zones centimétriques avec jusqu'à 5% de syénite ± 2mm.</p> <p>Roche massive non déformée, non schisteuse et d'aspect siliceux (Si+? ou cornéenne).</p> <p>La teinte brunâtre de la roche suggère fortement que la biotitisation de la matrice est importante. Localement on observe de la biotite plus grenue (± 0.5mm). Autour de 1140.00', relation paragénétique entre les minéraux d'altération majeurs est bien définie: la biotitisation moyenne diffuse est effacée par des zones irrégulières d'albite qui sont elles-mêmes recoupées par des zones bleutées (riebeckite) définissant une vague foliation. L'albitisation (± 40% de la roche) est très irrégulière en passages centimétriques-décimétriques de couleur crème et vert pâle (lessivage des minéraux mafiques). ± 5% d'hématitisation plus tardive associée à des veinules distribuées erratiquement.</p>	<p>684.00 - 685.00</p> <p>105251: (CL)PY+</p> <p>Passage partiellement chloriteux avec pyrite.</p> <p>±5% de pyrite fine sur 15cm.</p>	<p>688.00 - 690.00</p>

MINNOVA INC. - DIVISION EXPLORATION

DE (pi)	A (pi)	TEXTURE ET STRUCTURE	ALTERATION	MINERALISATION
			<p>733.00 - 734.20</p> <p>HNCB/vQZ(PY)</p> <p>Hématitisation et carbonatation brun rougeâtre associées à quelques veinules de quartz AC/60°.</p> <p>±1% de pyrite fine disséminée dans la roche altérée.</p> <p>105253: 732.00-733.00 V3A 105254: 733.00-734.20 HNCB(PY)/vQZ</p> <p>734.20 - 735.20</p> <p>105255: V3A</p> <p>738.00 - 739.00</p> <p>105256: V3A</p> <p>739.00 - 741.20 HNCBCC(PY)/vQZ</p> <p>105257:</p> <p>Hématitisation et carbonatation brun-rougeâtre associées à plusieurs veinules sub-parallèles de quartz. Roche non schistosée.</p> <p>Traces de pyrite fine dans la roche altérée.</p>	<p>105252: (CL)PY+</p> <p>Zone localement chloriteuse et pyriteuse.</p> <p>±3% de pyrite fine localement.</p>

MINNOVA INC. - DIVISION EXPLORATION

DE (pi)	A (pi)	TEXTURE ET STRUCTURE	ALTERATION	MINERALISATION
		<p>763.80 - 766.00 V1\c*LL</p> <p>Tuf siliceux laminaire et lité centimétrique. Litage: 65°AC.</p>	<p>741.20 - 742.20</p> <p>105258: V3A</p> <p>776.10 - 777.10</p> <p>105259: V3A</p> <p>782.10 - 783.10</p> <p>105262: V3A</p> <p>783.10 - 784.60</p> <p>105263: (CCHMPY)/vCCOZ</p> <p>±10% veinules de calcite-quartz; roche partiellement calcitique et hématitique. Passage bréchique à (CCOZ).</p> <p>< 1% pyrite fine disséminée dans la roche altérée près des veinules.</p> <p>784.60 - 787.20</p>	<p>777.10 - 780.30 MISHMCPY</p> <p>105260:</p> <p>Hématitisation et carbonatation rougeâtres très fortes. Roche massive, non déformée; quelques passages millimétriques bréchiques.</p> <p>±2% pyrite fine disséminée et sous forme de veinules.</p>

MINNOVA INC. - DIVISION EXPLORATION

DE (pi)	A (pi)	TEXTURE ET STRUCTURE	ALTERATION	MINERALISATION
			<p>105264: V3A</p> <p>787.20 - 806.00</p> <p>±10% d'altération calcitique et hématitique rougeâtre associée à des veinules de calcite-quartz-albite</p> <p>±1% pyrite fine présente localement dans la roche altérée.</p> <p>105265: 787.20-791.50 15% (CCHMPY)/vCCQZAB 105266: 791.50-795.50 2% (CCHMPY)/vCCQZAB 105267: 805.00-806.00 30% (CCHMPY)/vCCQZAB</p> <p>813.60 - 814.60</p> <p>105268: V3A/vCC</p>	<p>814.60 - 815.90</p> <p>105269: CBCCHMPY+/vQZCC</p> <p>±10% d'altération en carbonates et hématite associée à deux veines (±1.5cm) de quartz-calcite. Roche un peu foliée.</p> <p>±5% de pyrite fine (0,5mm) disséminée et sous forme d'anars.</p>
			<p>815.90 - 816.90</p> <p>105270: V3A</p> <p>822.90 - 833.60</p> <p>(HM)(PY)</p> <p>±2% d'hématitisation associée à des fractures qui recoupent les zones d'altération albitique.</p>	

MINNOVA INC. - DIVISION EXPLORATION

DE (pi)	A (pi)	TEXTURE ET STRUCTURE	ALTÉRATION	MINÉRALISATION
			<p>Traces de pyrite.</p> <p>105271: 831.00-833.60 ±5I HM(PY)</p> <p>841.00 - 845.00</p> <p>105272: CL+(PY)</p> <p>Passage aphanitique chloriteux. Rubanement millimétrique localement: lamines?</p> <p>±1I pyrite fine (±1mm) en bordure de quelques veinules de calcite.</p> <p>849.50 - 850.50</p> <p>105273: CBCCHN(PY)/vCC</p> <p>±1SI de carbonatation et d'hématitisation rougeâtres associées à quelques veinules de calcite.</p> <p><1I pyrite fine associée à l'altération.</p> <p>856.60 - 857.40</p> <p>CBCCHN/vQZABCC</p> <p>10I veines de quartz-albite-calcite et ±2SI d'altération en carbonates de fer, calcite et hématite.</p> <p>±1I pyrite fine associée à l'altération.</p> <p>105274: 856.00-857.80 CBCCHN(PY)/vQZABCC</p> <p>881.20 - 882.20</p> <p>105275: V3A</p>	

MINNOVA INC. - DIVISION EXPLORATION

DE (pi)	A (pi)	TEXTURE ET STRUCTURE	ALTERATION	MINERALISATION
		<p>892.80 - 925.30 12L JFPSi</p> <p>Intrusion felsique prophyrique à phénocristaux de plagioclase. Matrice à grains fins (<1mm, homogranulaire et de couleur grise ±30% de phénocristaux de plagioclase automorphes (1-5mm) souvent zonés. Roche massive, non déformée. Localement carbonatisée et hématitisée, matrice semble silicifiée.</p>	<p>882.20 - 883.50 CCM(PY)/vCC</p> <p>105276:</p> <p>± 50% d'altération calcitique et hématitique rougeâtre associée à des veinules de calcite.</p> <p>±1% de pyrite fine (<1mm) associée à l'altération.</p> <p>883.50 - 884.50</p> <p>105277: V3A</p> <p>911.90 - 914.20</p> <p>105278: 12L JFP/CC(HM)</p> <p>Altération calcitique et faiblement hématitique.</p> <p>921.80 - 925.30</p> <p>105280: 12L JFP/CB+CC+HM+</p> <p>Altération en calcite, carbonates de fer et hématite s'intensifient. Veinules de calcite. Roche peu ou pas déformée.</p>	

MINNOVA INC. - DIVISION EXPLORATION

DE (pi)	A (pi)	TEXTURE ET STRUCTURE	ALTÉRATION	MINÉRALISATION
			<p>925.30 - 933.50</p> <p>M15CCBHM/vCC</p> <p>Roche métasomatique et couleur rouge pâle, avec calcite, carbonates de fer et hématite. Roche d'aspect massif, non foliée. Veine de calcite contenant des fragments anguleux de M15, entre 926.90 et 927.60. Veine de calcite foliée entre 932.90 et 933.50. jusqu'à 934.20 le protolithe probable est I2C.JFP.</p> <p>105281: 925.30-926.90 M15CCBHM 105282: 926.90-927.60 vCC(/M15) 105283: 927.60-932.90 M15CCBHM 105284: 932.90-933.50 vCC</p> <p>933.50 - 946.80</p> <p>V3A(=)CL</p> <p>Basalte quelque peu déformé montrant une foliation ± évidente. A.C.:±30°. Quelques passages centimétriques chloritisés et foliés.</p> <p>Quelques zones avec ±IZ pyrite moyenne (1-3mm).</p> <p>105285: 933.50-937.50 V3A= 105286: 937.50-941.50 V3A=(PY) 105287: 942.50-946.80 V3A(=)</p> <p>958.00 - 1101.00 (HM)</p> <p>±SI d'hématitisation irrégulière associée à des fractures soudées recoupant l'altération en albite.</p> <p>105288: 958.60-963.50 ±10I (HM)</p>	<p>987.10 - 987.30</p>

MINNOVA INC. - DIVISION EXPLORATION

DE (pi)	A (pi)	TEXTURE ET STRUCTURE	ALTERATION	MINÉRALISATION
			<p>999.00 - 1001.00</p> <p>105290: V3A</p> <p>1001.00 - 1004.00 CBCCM(PY)/vQZ</p> <p>105291:</p> <p>Veines de quartz entre 1002.60-1003.00 et 1003.40-1003.60. Altération partielle de couleur beige et rouge contenant des carbonates de fer, de la calcite et de l'hématite. Roche non foliée, localement bréchique.</p> <p>±1% pyrite fine et moyenne (<2mm) associée à l'altération.</p> <p>1004.00 - 1007.00</p> <p>105292: V3A/vCC</p> <p>1007.40 - 1014.50 CB+CC+HM+/vQZ (PY)</p> <p>Forte altération rouge, beige et grisâtre en carbonates de fer, calcite et hématite. Quelques veinules de quartz et de calcite associées. Roche partiellement bréchique.</p> <p>1 à 2% de pyrite fine à moyenne, associée à l'altération.</p> <p>105293: 1007.60-1009.30 S2CBCCMHPY 105294: 1009.30-1013.60 CB+CC+HM+PY/vQZ 105295: 1013.60-1014.50 S1 CBCCMHPY</p> <p>1014.50 - 1016.50</p>	<p>±2% pyrite fine.</p> <p>105289: 986.50-988.00 (HMPY)/vCC</p>

MINNOVA INC. - DIVISION EXPLORATION

DE (pi)	A (pi)	TEXTURE ET STRUCTURE	ALTERATION	MINERALISATION
		<p>1021.00 - 1023.60 V1\c*LI</p> <p>Tuf siliceux laminaire et lité centimétrique, litage diffus et localement plissé. Litage à 25°AC.</p> <p>±1% pyrite fine disséminée et sous forme d'amas.</p>	<p>105296: V3A</p> <p>1021.00 - 1023.60</p> <p>105297: V1\c+PY</p> <p>1044.20 - 1045.20</p> <p>105298: 10ICBCCHPY+</p> <p>1067.30 - 1069.30</p> <p>105299: V3A</p> <p>1073.60 - 1075.60</p>	<p>1044.70 - 1044.80 CBCCHMPY+</p> <p>5% pyrite.</p> <p>1069.30 - 1073.60</p> <p>105300: 40ICBCCHPY+</p> <p>40% d'altération rouge en carbonates de fer, calcite et hématite associée à des veinules de calcite.</p> <p>± 3% pyrite (fine) disséminée dans les passages altérés.</p>

MINNOVA INC. - DIVISION EXPLORATION

DE (pi)	A (pi)	TEXTURE ET STRUCTURE	ALTERATION	MINERALISATION
		<p>1116.90 - 1119.00</p> <p>105302: I3A(PY)</p> <p>Passage de gabbro phanéritique fin, sil pyrite disséminée et sous forme d'amas.</p>	<p>105301: V3A</p> <p>1125.40 - 1127.20</p> <p>105303: V3A(Si)</p> <p>Faible altération siliceuse de couleur grise.</p> <p>1146.00: FIN DU TROU.</p>	

MINNOVA INC. - DIVISION EXPLORATION

ECHANTILLON	DE (pi)	A (pi)	LONGUEUR (pi)	Au(1) ppb	Au(2) ppb	Au(3) ppb	Au(4) ppb	Au(MOY) ppb	Ag ppm	As ppm	Sb ppm	Mo ppm	Pb ppm	Cu(1) ppm	Cu(2) ppm	Cu(MOY) ppm	Zn(1) ppm	Zn(2) ppm	Zn(MOY) ppm	
105235	10.40	11.20	0.80	tr.				tr.						82		82	120		120	
105236	16.00	18.50	2.50	tr.				tr.						214		214	80		80	
105237	18.50	21.50	3.00	tr.				tr.						677		677	154		154	
105238	47.70	52.70	5.00	tr.				tr.						36		36	30		30	
105239	84.40	85.60	1.20	tr.				tr.						65		65	32		32	
105240	88.00	93.00	5.00	tr.				tr.						47		47	49		49	
105241	123.60	127.60	4.00	tr.				tr.						152		152	56		56	
105242	127.60	131.60	4.00	tr.				tr.						116		116	59		59	
105243	131.60	135.50	3.90	tr.				tr.						145		145	50		50	
105650	149.30	154.20	4.90	tr.				tr.						50		50	42		42	
105244	154.20	156.00	1.80	1269				1269						203		203	37		37	
105651	156.00	160.10	4.10	tr.				tr.						52		52	37		37	
105245	164.00	165.00	1.00	tr.				tr.						121		121	36		36	
105246	364.00	366.90	2.90	tr.				tr.						516		516	106		106	
105247	444.00	446.00	2.00	tr.				tr.						160		160	27		27	
105248	454.30	455.70	1.40	tr.				tr.						216		216	32		32	
105249	468.80	469.20	0.40	tr.				tr.						380		380	31		31	
105250	514.50	516.60	2.10	tr.				tr.						816		816	41		41	
105251	684.00	685.00	1.00	tr.				tr.						170		170	57		57	
105252	688.00	690.00	2.00	tr.				tr.						107		107	42		42	
105253	732.00	733.00	1.00	tr.				tr.						193		193	46		46	
105254	733.00	734.20	1.20	tr.				tr.						84		84	42		42	
105255	734.20	735.20	1.00	tr.				tr.						84		84	47		47	
105256	738.00	739.00	1.00	tr.				tr.						77		77	35		35	
105257	739.00	741.20	2.20	274				274						65		65	37		37	
105258	741.20	742.20	1.00	tr.				tr.						75		75	33		33	
105259	776.10	777.10	1.00	tr.				tr.						72		72	51		51	
105260	777.10	780.30	3.20	617				617						63		63	42		42	
105261	780.30	781.30	1.00	tr.				tr.						69		69	36		36	
105262	782.10	783.10	1.00	tr.				tr.						101		101	56		56	
105263	783.10	784.60	1.50	tr.				tr.						75		75	64		64	
105264	784.60	787.20	2.60	tr.				tr.						69		69	64		64	
105265	787.20	791.50	4.30	tr.				tr.						87		87	104		104	
105266	791.50	795.50	4.00	tr.				tr.						122		122	316		316	
105267	805.00	806.00	1.00	tr.				tr.						79		79	197		197	
105268	813.60	814.60	1.00	tr.				tr.						60		60	59		59	
105269	814.60	815.90	1.30	tr.				tr.						67		67	62		62	
105270	815.90	816.90	1.00	tr.				tr.						90		90	49		49	

MINNOVA INC. - DIVISION EXPLORATION

ÉCHANTILLON	DE (pi)	A (pi)	LONGUEUR (pi)	Au(1) ppb	Au(2) ppb	Au(3) ppb	Au(4) ppb	Au(MOY) ppb	Ag ppm	As ppm	Sb ppm	Mo ppm	Pb ppm	Cu(1) ppm	Cu(2) ppm	Cu(MOY) ppm	Zn(1) ppm	Zn(2) ppm	Zn(MOY) ppm
105271	831.00	833.60	2.60	tr.				tr.						110		110	57		57
105272	841.00	845.00	4.00	tr.				tr.						86		86	51		51
105273	849.50	850.50	1.00	tr.				tr.						72		72	47		47
105274	856.00	857.80	1.80	tr.				tr.						66		66	72		72
105275	881.20	882.20	1.00	tr.				tr.						72		72	47		47
105276	882.20	883.50	1.30	240				240						54		54	64		64
105277	883.50	884.50	1.00	tr.				tr.						69		69	52		52
105278	911.90	914.20	2.30	tr.				tr.						56		56	41		41
105279	917.80	921.80	4.00	tr.				tr.						49		49	39		39
105280	921.80	925.30	3.50	tr.				tr.						56		56	59		59
105281	925.30	926.90	1.60	tr.				tr.						40		40	74		74
105282	926.90	927.60	0.70	tr.				tr.						57		57	90		90
105283	927.60	932.90	5.30	tr.				tr.						43		43	84		84
105284	932.90	933.50	0.60	tr.				tr.						34		34	127		127
105285	933.50	937.50	4.00	tr.				tr.						95		95	85		85
105286	937.50	941.50	4.00	tr.				tr.						114		114	95		95
105287	941.50	946.80	5.30	tr.				tr.						87		87	77		77
105288	958.60	963.50	4.90	tr.				tr.						120		120	152		152
105289	986.50	988.00	1.50	tr.				tr.						62		62	75		75
105290	999.00	1001.00	2.00	tr.				tr.						97		97	170		170
105291	1001.00	1004.00	3.00	274				274						80		80	114		114
105292	1004.00	1007.60	3.60	tr.				tr.						172		172	114		114
105293	1007.60	1009.30	1.70	583				583						100		100	87		87
105294	1009.30	1013.60	4.30	891				891						110		110	86		86
105295	1013.60	1014.50	0.90	tr.				tr.						64		64	56		56
105296	1014.50	1016.50	2.00	tr.				tr.						47		47	69		69
105297	1021.00	1023.60	2.60	tr.				tr.						79		79	116		116
105298	1044.20	1045.20	1.00	tr.				tr.						53		53	61		61
105299	1067.30	1069.30	2.00	tr.				tr.						75		75	85		85
105300	1069.30	1073.60	4.30	tr.				tr.						64		64	60		60
105301	1073.60	1076.60	3.00	tr.				tr.						67		67	105		105
105302	1116.90	1119.00	2.10	tr.				tr.						89		89	286		286
105303	1125.40	1127.20	1.80	tr.				tr.						186		186	74		74

MINNOVA INC. - DIVISION EXPLORATION

COMPAGNIE : MINNOVA EXPLORATION	PROJET : ILE OPAWICA	SONDAGE : OP-07	IMPRIMÉ LE : 11/02/90															
CANTON : LESPERANCE	RANG : -	LOT : -	CLAIM : 317226-3															
<u>COORDONNEES AU COLLET</u>	GRILLE : LIGNE : 2+00N STATION : 14+30N	LATITUDE : 1430.00 LONGITUDE : -200.00 ELEVATION : 55.00	AZIMUT : 235 0' PLONBEE : -45 0'															
<u>PROFONDEUR</u>	AU DEPART : 0.00	FIN DE TROU : 696.00	TUBAGE LAISSE (?) : Oui															
GEOLOGUE : PAUL GIRARD			DATE DU JOURNAL : 15 juin 90															
CONTRACTEUR : FORAGE BELAND			FORAGE DEBUTE LE : 12 juin 90															
BUT : Tester l'extension NW de la zone aurifère B et l'horizon sédimentaire «nord»			TERMINE LE : 16 juin 90															
<u>DONNEES D'ORIENTATION</u>																		
<table border="1"> <thead> <tr> <th>Longueur</th> <th>Azimuth</th> <th>Plongée</th> </tr> </thead> <tbody> <tr> <td>0.00</td> <td>235 0'</td> <td>-45 0'</td> </tr> <tr> <td>191.00</td> <td>233 0'</td> <td>-40 0'</td> </tr> <tr> <td>400.00</td> <td>*237 11'</td> <td>-40 0'</td> </tr> <tr> <td>691.00</td> <td>243 0'</td> <td>-39 0'</td> </tr> </tbody> </table>				Longueur	Azimuth	Plongée	0.00	235 0'	-45 0'	191.00	233 0'	-40 0'	400.00	*237 11'	-40 0'	691.00	243 0'	-39 0'
Longueur	Azimuth	Plongée																
0.00	235 0'	-45 0'																
191.00	233 0'	-40 0'																
400.00	*237 11'	-40 0'																
691.00	243 0'	-39 0'																
(*) azimuth estimé																		

MINNOVA INC. - DIVISION EXPLORATION

DE (pi)	A (pi)	TEXTURE ET STRUCTURE	ALTERATION	MINÉRALISATION
0.00	52.00	MT MORT-TERRAIN		
52.00	85.90	<p>V1\A\J\Z\B(PY)vCC</p> <p>TUF LITE ET LAMINE SILICEUX</p> <p>Tuf lité siliceux de couleur gris vert moyen phanéritique, très fin, non rayable, avec passages de dimensions variables avec lamines millimétriques pâles et foncés assez régulièrement espacés. Faible possibilité de bande d'altération. Litage à 20°C.</p> <p>La fracturation est surtout déterminée par minces veinules de calcite et veinules très irrégulières de silice-épidote et veinules de chlorite.</p> <p>Composition siliceuse primaire? probablement chloritisation? Altération locale blanchâtre en taches se superposant au litage.</p> <p>Traces à 1% de pyrite irrégulièrement disséminée.</p>	<p>52.00 - 56.00</p> <p>106658: Type</p> <p>56.00 - 60.00</p> <p>106659: Type</p> <p>60.00 - 64.00</p> <p>106660: Type</p> <p>64.00 - 68.00</p> <p>106661: Type</p>	

MINNOVA INC. - DIVISION EXPLORATION

DE (pi)	A (pi)	TEXTURE ET STRUCTURE	ALTÉRATION	MINÉRALISATION
			<p>68.00 - 71.40</p> <p>106662: Type</p> <p>71.40 - 85.90 $M15\#CBCC(Si)(Cl)$</p> <p>METASOMATITE</p> <p>Roche métasomatique dont le protolithe est probablement le tuf felsique vu le contact graduel. Couleur de beige verdâtre à beige rougeâtre.</p> <p>La fracturation est déterminée par veinules de calcite 1-3mm assez régulières (3I).</p> <p>Altération en carbonate de fer, calcite faible, probablement chlorite et silice (dureté). Localement hématite, on aperçoit par endroits l'altération diffuse en enveloppes autour des veinules de calcite.</p> <p>De traces à 2I de pyrite très fine.</p> <p>71.40 - 74.30</p> <p>106663: $M15\#Si(CBCC)PYvCC$</p> <p>Transition lente à la roche métasomatique.</p> <p>1I de pyrite très fine.</p> <p>74.30 - 77.00</p> <p>106664: $M15\#CBSivCC$</p> <p>Traces à 1I très localement.</p>	<p>77.00 - 80.60</p>

MINNOVA INC. - DIVISION EXPLORATION

DE (pi)	A (pi)	TEXTURE ET STRUCTURE	ALTERATION	MINÉRALISATION
85.90	108.90	<p>I3A(♯)(CL)</p> <p>GABBRO</p> <p>Vert foncé finement grenu (1-2mm), à feldspath flou (X) hypidiomorphe à xénomorphe. Quelques courts passages à texture gabbroïque f évidente.</p> <p>Fracturation en général de faible à moyenne par minces veinules de calcite f régulières.</p> <p>Probablement altération en chlorite diffuse.</p> <p>Traces de pyrite à absente.</p>	<p>80.60 - 82.30</p> <p>106666: M15♯+SiCBHMvCCv0Z</p> <p>Altération rougeâtre probablement hématite + carbonate de fer.</p> <p>Traces de pyrite très fine.</p> <p>82.30 - 85.90</p> <p>106667: M15♯CBSi(CL)vCC</p> <p>Traces de pyrite très fine.</p> <p>85.90 - 88.00</p> <p>106668: I3A(♯)(CL)(EP)vCC</p>	<p>106665: Idem + PY</p> <p>1-2% pyrite extrêmement fine.</p>

MINNOVA INC. - DIVISION EXPLORATION

DE (pi)	A (pi)	TEXTURE ET STRUCTURE	ALTÉRATION	MINÉRALISATION
		<p>103.60 - 103.80 II? (#) CBSi</p> <p>Dyke probablement de syénite difficilement reconnaissable dû à l'altération. Roche quartzo-feldspathique xénomorphe avec ≈ 10% mafiques.</p> <p>La fracturation (minces veinules de calcite) est continue du gabbro au dyke.</p>	<p>Pyrite légèrement supérieure à traces.</p> <p>91.90 - 93.40</p> <p>106669: M15#Si?CB(EP)vCL(Si)</p> <p>Lessivage des minéraux mafiques pour être remplacés par silice?, carbonate de fer et faible épidoite-albite.</p> <p>Minéralisation absente.</p>	
108.90	148.00	<p>V3A(MG)(#)vCC</p> <p>BASALTE</p> <p>Gris moyen foncé, phanéritique fin (< 1mm) quelques passages plus grenus et rayables à non rayables, faiblement à très faiblement + magnétiques.</p> <p>Probablement altération en chlorite et silice.</p> <p>Minéralisation absente à traces de pyrite.</p>	<p>114.00 - 117.50</p> <p>106670: M15#SiCB(CC)(HM)</p> <p>Augmentation graduelle de l'altération beige foncé rougeâtre.</p>	

MINNOVA INC. - DIVISION EXPLORATION

DE (pi)	A (pi)	TEXTURE ET STRUCTURE	ALTERATION	MINÉRALISATION
			<p>Minéralisation en traces à absente.</p> <p>123.90 - 127.00</p> <p>106671: V3A#(PY)vCC</p> <p>Environ 1-3% de fines veinules de calcite ± régulières.</p> <p>Traces à 0,5% pyrite.</p> <p>127.00 - 129.70</p> <p>106672: Idea.</p> <p>129.70 - 131.80</p> <p>106673: V3A#EP?(PY)vCC</p> <p>Traces à 1% de pyrite.</p> <p>131.80 - 133.60</p> <p>106674: V3A#+SiEP?CBvCCvFPQZ</p> <p>Traces de pyrite.</p> <p>133.60 - 136.00</p> <p>106675: V3A(##)CC(EP)(PY)</p> <p>Pyrite légèrement supérieure à traces.</p> <p>136.00 - 139.30</p> <p>106676: Idea.</p>	<p>139.30 - 140.50</p>

MINNOVA INC. - DIVISION EXPLORATION

DE (pi)	A (pi)	TEXTURE ET STRUCTURE	ALTERATION	MINERALISATION
148.00	164.00	<p>I3A(MG)(#)(CL)vCC</p> <p>GABBRO</p> <p>Vert foncé phanéritique fin à moyen. Feldspath flou de hypidiomorphe à localement automorphe définissant texture gabbroïque avec jusqu'à 25% de feldspath et mafiques xénomorphes altérés. Encore fracturation par veinules de calcite jusqu'à 2-3mm ± régulières.</p> <p>Mafiques chloriteux.</p> <p>Traces de pyrite.</p> <p>161.30 - 161.90 I1?Si(HM)</p> <p>Dyke felsique moyennement grenu 1-2mm oblitéré par altération rougeâtre gris avec ± 10% de minéraux mafiques et le reste quartzo-feldspathique.</p>	<p>140.50 - 144.00</p> <p>106678: V3A(#)(Si)(PY)vCC</p> <p>Traces à 1% de pyrite extrêmement fine.</p> <p>144.00 - 148.00</p> <p>106679: Idem.</p>	<p>106677: V3A#SiPY+vCC</p> <p>Pyrite de 2-3%.</p> <p>159.30 - 160.30</p> <p>106680: V3A(MG)#(Si)PYvCCEPvQZHM</p> <p>1-2% de pyrite.</p>

MINNOVA INC. - DIVISION EXPLORATION

DE (pi)	A (pi)	TEXTURE ET STRUCTURE	ALTÉRATION	MINÉRALISATION
164.00	193.60	<p>Une partie de la silice, de même que l'hématite semblent secondaires.</p> <p>V3A(MB)(#)(Si)vCC</p> <p>BASALTE</p> <p>Idem avec minces veinules associées à une altération diffuse sur quelques millimètres de silice + épidote. Le basalte est recoupé par quelques dykes felsiques.</p> <p>Possiblement altération en silice faible, chlorite.</p> <p>Traces de pyrite en général avec localement IZ.</p> <p>175.00 - 175.50 I1?(SiHM)</p> <p>Dyke idem.</p> <p>Moins de silice secondaire.</p> <p>177.70 - 179.00 I1?(SiHM)</p> <p>Dyke idem avec bordure supérieure fortement silicifiée sur un intervalle centimétrique. Le dyke contient un xénolithe de 1" de gabbro ou basalte.</p> <p>182.20 - 182.30 I1?(SiHM)</p> <p>Dyke idem.</p> <p>184.00 - 185.50 I1?(SiHM)</p> <p>Dyke idem.</p>		

MINNOVA INC. - DIVISION EXPLORATION

DE (pi)	A (pi)	TEXTURE ET STRUCTURE	ALTERATION	MINÉRALISATION
		<p>190.00 - 190.40 IISiHM</p> <p>Dyke idem plus altéré.</p> <p>Silice et hématite moyennes.</p>	<p>185.20 - 188.80</p> <p>105652: V3A?(MG)#+Si+(PY)vCC</p> <p>Roche fine gris-vert siliceuse avec fracturation dense en stockwork (surtout veinules de calcite submillimétriques). Silice due au dyke felsique au contact supérieur?</p> <p>± 0.5% pyrite très fine disséminée.</p> <p>190.00 - 195.00</p> <p>105653: V3A?(MG)#+Si+CCvCC</p> <p>Idem, intervalles carbonatés de couleur gris-mauve. Il de 190.00 à 190.40. Granulométrie du V3A augmente graduellement jusqu'à l'obtention d'une texture de basalte microlithique.</p> <p>± traces pyrite fine disséminée et en microveinules discontinues.</p>	<p>188.80 - 190.00 V3A#vCCvPYPO</p> <p>106681:</p> <p>1-2% de veinules de pyrite-pyrrhotite.</p>
193.60	257.80	<p>I3A(3)CLvCC</p> <p>GABBRO</p> <p>Similaire à auparavant sauf magnétique seulement sur les 10 premiers</p>		

MINNOVA INC. - DIVISION EXPLORATION

DE (pi)	A (pi)	TEXTURE ET STRUCTURE	ALTERATION	MINERALISATION
		<p>pieds de l'intervalle (faiblement).</p> <p>Toujours fracturation définie par veinules de calcite.</p> <p>Légèrement plus chloriteux vers la fin de l'intervalle.</p> <p>Minéralisation absente à traces de pyrite.</p> <p>201.70 - 203.70 I1?#SiHMvSi</p> <p>106682:</p> <p>Dyke felsique à composition difficilement déterminable vue l'altération superposée. Contact supérieur diffus.?</p> <p>Silice et hématite moyennes diffuses et plus de veinules de silice grisâtre.</p> <p>Minéralisation absente.</p> <p>204.10 - 205.10 I1?(#)SiHM</p> <p>106683:</p> <p>Dyke idem avec en bordure enclaves centimétriques angulaires de gabbro.</p> <p>207.90 - 208.60 I1?(#)SiHM</p> <p>106684:</p> <p>Dyke idem sans enclave.</p> <p>214.30 - 215.70 I1?#Si+(HM)</p> <p>106685:</p>		

MINNOVA INC. - DIVISION EXPLORATION

DE (pi)	A (pi)	TEXTURE ET STRUCTURE	ALTERATION	MINÉRALISATION
		<p>Dyke similaire.</p> <p>Altération en silice forte.</p> <p>216.40 - 217.20 I1?#Si+HM(CC)</p> <p>106686:</p> <p>Dyke similaire ou veines de quartz avec calcite interstitielle au grain millimétrique de quartz.</p> <p>219.30 - 222.00 (I1?)?#SiCM(HM)vQZvCCCL</p> <p>106687:</p> <p>Dyke altéré ou veine de quartz beige et carbonate de fer fracturé, recoupé par veines de quartz <1cm, veinules de calcite-chlorite. Contact inférieur bréchique.</p> <p>Silice primaire (veine?) ou altération de dyke felsique. Carbonate de fer.</p> <p>Traces de pyrite.</p> <p>222.00 - 226.00 I3A#CLvABQZ(CC)</p> <p>106688:</p> <p>Fracturation forte par veinule de 1-2mm à 1cm très irrégulière d'albite avec quartz et un peu de calcite.</p> <p>Chlorite moyenne.</p>		
257.80	318.00	<p>S4(V?)#, (PYPD)90</p> <p>Sédiment fin + sulfure massif siliceux gris foncé localement lité millimétrique. Granulométrie < 1mm, contenant sulfure selon litage, il pourrait s'agir de veines de sulfure jusqu'à plusieurs pieds de sulfure</p>		

MINNOVA INC. - DIVISION EXPLORATION

DE (pi)	A (pi)	TEXTURE ET STRUCTURE	ALTÉRATION	MINÉRALISATION
		<p>massif. So 60° au début, 30°AC à la fin.</p> <p>Pyrite?, pyrrhotite jusqu'à 90%, chalcopryrite surtout en veinules.</p>	<p>259.60 - 261.00</p> <p>106691: S4</p> <p>Litage très fin.</p> <p>261.00 - 266.00</p> <p>106692: S4(CB)PY</p> <p>Quelques passages tachetés de carbonate de fer.</p> <p>Quelques lits < 1cm pyriteux.</p> <p>267.50 - 269.60</p>	<p>257.80 - 258.90</p> <p>106689: S4PY</p> <p>Pyrite remobilisée en veinules 43%.</p> <p>258.90 - 259.60</p> <p>106690: S4PY20</p> <p>Lit de 2-3cm de pyrite parallèle au litage.</p> <p>266.00 - 267.50</p> <p>106693: S4CBPYPO(CP)</p> <p>Lit pyriteux faible chalcopryrite + lit de pyrrhotite + 5% pyrrhotite disséminée.</p>

MINNOVA INC. - DIVISION EXPLORATION

DE (pi)	A (pi)	TEXTURE ET STRUCTURE	ALTERATION	MINERALISATION
		<p>271.00 - 280.30 P090</p> <p>Sulfure massif, constitué surtout de pyrrhotite.</p>	<p>106694: S4(P0)</p> <p>Litage bien défini.</p> <p>Faible I de pyrrhotite selon magnétisme.</p> <p>269.60 - 271.00</p> <p>106695: S4P025</p> <p>Environ 25% de pyrrhotite extrêmement fine disséminée.</p>	<p>271.00 - 272.80</p> <p>106696: P090</p> <p>90% de pyrrhotite +?</p> <p>272.80 - 276.90</p> <p>106697: S4P050</p> <p>Sulfure semi-massif.</p> <p>Pyrrhotite variant de 30 à 80% selon litage et disséminée.</p> <p>276.90 - 280.30</p> <p>106698: P070-90</p> <p>Sulfure massif.</p> <p>Pyrrhotite de 70% à 90% parfois remobilisée donnant veines</p>

MINNOVA INC. - DIVISION EXPLORATION

DE (pi)	A (pi)	TEXTURE ET STRUCTURE	ALTÉRATION	MINÉRALISATION
318.00	441.00	<p>293.00 - 302.00 I3A(N6)CL</p> <p>Dyke de gabbro fin comme déjà vu.</p> <p>Chloritisation moyenne.</p> <p>I3A(8)(CLSi)</p> <p>GABBRO</p> <p>Phanérotique fin à moyen à texture ± floue, feldspath hypidiomorphe à xénomorphe < 2mm jusqu'à 25%, et mafiques xénomorphes altérés.</p> <p>Fracturation faible à très faible définie par veinule de calcite (< 2mm) et quelques autres veinules.</p> <p>Chlorite et silice faibles diffuses.</p> <p>Traces de pyrite.</p>	<p>321.00 - 325.00</p> <p>106700: I3A(8)(CLSi)(PY)vCC</p> <p>0,5% de pyrite en veinules très irrégulières.</p>	<p>de pyrrhotite (100%) dans PD70.</p> <p>280.30 - 282.70</p> <p>106699: S4PD++CP</p> <p>Environ 10-15% de pyrrhotite disséminée et 2% de chalcopyrite en veinules.</p> <p>340.20 - 340.80</p>

MINNOVA INC. - DIVISION EXPLORATION

DE (pi)	A (pi)	TEXTURE ET STRUCTURE	ALTÉRATION	MINÉRALISATION
		345.50 - 351.00 S4 Sédiment fin siliceux similaire sauf un peu moins évident (bande d'altération). So à 30*AC.		106701: I3A(CLSi)PY 2% de pyrite disséminée. 357.10 - 358.30 106702: I3A(*) (CLSi)PYvCC Pyrite 1-2% en veinules et disséminée. 381.50 - 382.90 106703: I3A(*)CC(CLSi)PYvCCvPY 2% de pyrite en veinules discontinuées et disséminée. 388.70 - 392.10 106704: I3A*(CLSi)PYvCCvPY Veine de pyrite (1cm sub-parallèle à AC). 407.30 - 408.10 106705: I3A(CLSi)PY Contact inférieur net (lithologique?) 2% de pyrite. 409.00 - 409.90 106706: Idem PY+

MINNOVA INC. - DIVISION EXPLORATION

DE (pi)	A (pi)	TEXTURE ET STRUCTURE	ALTERATION	MINÉRALISATION
			<p>412.20 - 414.00</p> <p>106707: Idem (PY)</p> <p>Pyrite 1% en moyenne.</p> <p>416.00 - 427.60</p> <p>#vCC</p> <p>Fracturation plus développée définie par 5% de veinules minces irrégulières et discontinues de calcite.</p> <p>416.00 - 419.50</p> <p>105601: I3A(MG)#CL(Si)(PY)vCC</p> <p>0,5% de pyrite finement disséminée + minces veinules discontinues.</p> <p>419.50 - 424.00</p> <p>105602: I3A=#//\CLSi(PY)vCC</p> <p>Intervalle fortement folié avec intervalle centimétrique formé d'injection de silice-chlorite? Foliation à 30°AC avec veinules de calcite superposées.</p> <p>Altération en chlorite diffuse avec silice et chlorite injectée.</p> <p>Traces 0,5% de pyrite.</p> <p>424.00 - 428.90</p>	<p>2-5% de pyrite.</p>

MINNOVA INC. - DIVISION EXPLORATION

DE (pi)	A (pi)	TEXTURE ET STRUCTURE	ALTERATION	MINERALISATION
			<p>105603: I3A?#+CL(SI)(PY)vCC</p> <p>Texture assez oblitérée fortement fracturée, forte densité de veinules de calcite.</p> <p>Chlorite moyenne et silice faible? diffuse.</p> <p>Traces à 0,5% sulfures à la fin de l'intervalle.</p> <p>428.90 - 432.00</p>	
			<p>105604: I3A(♯)(CLSI)</p> <p>Traces de pyrite.</p> <p>432.00 - 435.00</p>	
			<p>105605: I3A(♯)(CLSI)(PY)vCC</p> <p>Traces à 0,5% de pyrite.</p> <p>435.00 - 438.20</p>	
			<p>105606: Idem.</p> <p>438.20 - 439.40</p>	
			<p>105607: I3A(♯)(CL)(PY)</p> <p>Texture intrusive assez nette.</p> <p>Chlorite faible.</p> <p>Traces à 0,5% de pyrite.</p>	

MINNOVA INC. - DIVISION EXPLORATION

DE (pi)	A (pi)	TEXTURE ET STRUCTURE	ALTÉRATION	MINÉRALISATION
		<p>440.60 - 441.00 I4NMGCCBO</p> <p>LAMPROPHYRE</p> <p>105609:</p> <p>Gris brunâtre composé d'environ 25% de biotite? < 2mm et de matrice plus fine à carbonate et magnétite.</p>	<p>439.40 - 440.60</p> <p>105608: I3A?(#)CLSi(PY)vCC</p> <p>0,5-1% de pyrite.</p>	
441.00	494.20	<p>V3A?Si+(CL)</p> <p>BASALTE? SILICIFIÉ</p> <p>De couleur gris à gris foncé, aphanitique à très finement grenu, à aspect siliceux, localement faiblement magnétique. Possibilité de silice primaire (lave felsique) ou de sédiment (chert?) ou tuf sauf aucun litage évident comme horizon sédimentaire précédent.</p> <p>La fracturation est très variable, de faible allant jusqu'à bréchique par injection de matériel chloriteux ou injection de silice, veinules de calcite (% variable) superposées.</p> <p>Silice forte généralement diffuse. Chlorite faible. Riebeckite très locale.</p> <p>Quelques veinules irrégulièrement dispersées de pyrite et/ou pyrrhotite.</p>		<p>441.00 - 444.90 V3A+Si+PYvCCvCL?</p> <p>106708:</p>

MINNOVA INC. - DIVISION EXPLORATION

DE (pi)	A (pi)	TEXTURE ET STRUCTURE	ALTERATION	MINÉRALISATION
		<p>444.90 - 446.00 I4NM6CC80</p> <p>LAMPROPHYRE</p> <p>105609: Idem au précédent.</p>	<p>446.00 - 450.30</p> <p>106709: V3A#Si+(CL)(PY)vCL(PY)vCC</p> <p>Pyrite surtout associée aux veinules de chlorite fracturant la roche.</p> <p>450.30 - 452.30</p> <p>106710: V3A(0)Si+(CL)(PY)vCC</p> <p>Traces à 0,5% pyrite très fine.</p> <p>452.30 - 453.80</p> <p>106711: V3A#++/\?Si++(PY)vCL(CC)vCC</p> <p>Veine 1cm bréchifiant la roche presque blanche d'allure schisteuse.</p> <p>Jusqu'à 1% de pyrite.</p> <p>453.80 - 458.30</p> <p>106712: V3A#Si+(PY)vSi(CL)</p> <p>0,5% de pyrite en moyenne.</p>	<p>1-2% de pyrite irrégulièrement disséminée et en veinules < 0.8cm.</p>

MINNOVA INC. - DIVISION EXPLORATION

DE (pi)	A (pi)	TEXTURE ET STRUCTURE	ALTÉRATION	MINÉRALISATION
		<p>460.60 - 461.00 IISHM</p> <p>Dyke felsique similaire à précédemment.</p> <p>Silice et hématite diffuses.</p>	<p>468.30 - 472.60</p> <p>106717: V3A(MB)#Si+(CL)(PY)vSiCLvCC</p> <p>Pyrite < 1% fine disséminée.</p>	<p>458.30 - 460.60</p> <p>106713: V3AMG#Si+(PYPO)+</p> <p>2-3% de pyrite, pyrrhotite disséminée et en veinules.</p> <p>461.00 - 463.40</p> <p>106714: V3A#Si+(CL)PYvSiCL</p> <p>1-2% de pyrite très fine disséminée.</p> <p>463.40 - 465.60</p> <p>106715: V3A#Si+(CL)PY++vSi(CL?)</p> <p>Pyrite 5-10% disséminée et en veines très irrégulières jusqu'à 2cm.</p> <p>465.60 - 468.30</p> <p>106716: V3A#Si+(CL)PY+vCC</p> <p>Jusqu'à 5% de pyrite disséminée et fines veinules.</p>

MINNOVA INC. - DIVISION EXPLORATION

DE (pi)	A (pi)	TEXTURE ET STRUCTURE	ALTERATION	MINÉRALISATION
			<p>472.60 - 474.00</p> <p>106718: V3A#++Si+vQZ</p> <p>Veine de quartz t diffuse bréchifiant la roche.</p> <p>Traces de pyrite.</p> <p>474.00 - 478.00</p> <p>106719: V3A(♯)Si+(CL)vCC</p> <p>Traces de pyrite.</p> <p>478.00 - 481.00</p> <p>106720: V3A#Si+(CL)vCCCL</p> <p>Traces de pyrite.</p> <p>481.00 - 484.20</p> <p>106721: V3A(♯)Si+(CL)vCC</p>	
		<p>484.20 - 485.00 I3A(MB)(CL)</p> <p>Dyke de gabbro similaire au reste du trou.</p>	<p>485.00 - 490.00</p> <p>106722: Idem à 106721.</p> <p>490.00 - 494.20</p> <p>106723: Idem.</p>	

MINNOVA INC. - DIVISION EXPLORATION

DE (pi)	A (pi)	TEXTURE ET STRUCTURE	ALTERATION	MINÉRALISATION
494.20	696.00	<p>13A(MG)(#)(CL)vCC</p> <p>GABBRO</p> <p>Vert foncé faiblement à non magnétique, contenant jusqu'à 25% de feldspath blanc (2-3mm) variant de xénomorphe à automorphe (localement) avec minéraux mafiques interstitiels xénomorphes.</p> <p>Fracturation faible définie par veinules de calcite d'aspect variable. La fracturation diminue en profondeur.</p> <p>Chlorite faible diffuse avec localement silice. Passages biotitiques.</p> <p>Traces de pyrite.</p> <p>512.30 - 513.30 11Si(HM)vQZ</p> <p>Dyke felsique rose contenant 10% de mafique, 20% de quartz environ 70% de feldspath xénomorphe de 1-2mm.</p> <p>Veine de quartz avec altération en silice diffuse associée hématite faible.</p> <p>519.70 - 520.30 11Si(HM)vQZ</p> <p>Dyke similaire.</p> <p>526.50 - 526.80 11Si(HM)</p>	<p>517.20 - 519.50</p> <p>106724: (MG)#Si(CCCL)vCC</p> <p>Silicification par veines de silice ± diffuses.</p> <p>Traces de pyrite.</p>	

MINNOVA INC. - DIVISION EXPLORATION

DE (pi)	A (pi)	TEXTURE ET STRUCTURE	ALTÉRATION	MINÉRALISATION
		Dyke similaire.	<p>527.00 - 533.00</p> <p>105700: I3A(BO)(-CLEP)(PY)</p> <p>Gabbro à grains fins contenant ≤ 5% de biotite.</p> <p>Faible cisaillement de puissance centimétrique accompagné de chloritisation, d'épidotisation et de minéralisation.</p> <p>1% de pyrite (± 1-2mm) disséminée sur 40cm et en association avec le cisaillement.</p> <p>533.00 - 538.00</p> <p>105701: I3A(BO)(PY)</p> <p>Gabbro à grains fins, massif, contenant ≤ 5% de biotite.</p> <p>Traces de pyrite fine.</p> <p>538.00 - 542.10 I3A(MG)*+CLCC(PY)vCC</p> <p>105654: I3A(MG)*+CLCC(PY)vCC</p> <p>Gabbro fin avec altération en chlorite des mafiques, forte densité (> 10%) veinules de calcite 1-2mm avec enveloppes chlorite souvent "agglomérées", quelques zones centimétriques avec calcite (HM) diffuse.</p> <p>Altération oblitère texture intrusive tant dans les enveloppes millimétriques que les zones centimétriques. Chronologie assez bien illustrée: on observe des zones centimétriques d'épidotisation pénétrative envahies partiellement par chlorite. Ces zones Cl (et Ep) sont à leur tour remplacées par calcite + pyrite qui sont recoupées par vCCHM. Les veinules de calcite avec enveloppes chlorite (± pyrite) recoupent les masses de calcite-pyrite mais précèdent</p>	

MINNOVA INC. - DIVISION EXPLORATION

DE (pi)	A (pi)	TEXTURE ET STRUCTURE	ALTÉRATION	MINÉRALISATION
			<p>vCCHM qui les effacent. Bloc préservé pour lame mince.</p> <p>> traces pyrite, surtout dans zones CC(HM).</p> <p>542.10 - 544.60 #+CB(HMSi?)</p> <p>106725:</p> <p>Altération diffuse à partir de veinules irrégulières, jusqu'à remplir 100% du volume.</p> <p>Minéralisation absente.</p> <p>544.60 - 549.40 I3A(HB)#+CLCC(PY)vCCHMPY</p> <p>105655: Idem, 5-10% vCCHMPY en stockwork. De 548.90-549.40, VQZ fracturé par calcite.</p> <p>≥ traces pyrite avec vCCHM.</p> <p>549.40 - 554.40</p> <p>105702: I3A(BD)(PY)</p> <p>Gabbro à grains moyens, massif, contenant ≤ 5% de biotite.</p> <p>Traces de pyrite fine.</p> <p>552.90 - 604.00 (BD)</p> <p>Transition graduelle vers une zone à biotite. Quelques passages décimétriques avec ≈ 10% de biotite.</p> <p>554.40 - 560.00</p> <p>105703: I3ABOSi(PY)</p> <p>Gabbro à grains moyens, contenant ≈ 5% de biotite fine</p>	

MINNOVA INC. - DIVISION EXPLORATION

DE (pi)	A (pi)	TEXTURE ET STRUCTURE	ALTÉRATION	MINÉRALISATION
		<p>581.90 - 582.10 II</p> <p>Dyke similaire sauf non altéré.</p>	<p>jusqu'à grossière.</p> <p>≈ 50% de silicification associée à des veinules de quartz.</p> <p>Traces de pyrite fine.</p> <p>560.00 - 565.00</p> <p>105704:</p> <p>Gabbro à grains moyens, contenant ≈ 5% de biotite fine jusqu'à grossière.</p> <p>Traces de pyrite fine.</p> <p>591.30 - 592.30</p> <p>106726: 13A(M6)B0(CLSi)</p> <p>Environ 10-15% de biotite de ≈ 2mm.</p> <p>604.00 - 634.50 B0</p> <p>Zone de gabbro contenant 10-20% de biotite de 2mm en moyenne.</p> <p>619.60 - 621.00</p> <p>106727: 13AB0(CL)</p> <p>Passage avec le maximum de biotite soit environ 20% de 1-3mm.</p>	

MINNOVA INC. - DIVISION EXPLORATION

DE (pi)	A (pi)	TEXTURE ET STRUCTURE	ALTÉRATION	MINÉRALISATION
			<p>634.50 - 696.00 (BD)</p> <p>Zone contenant toujours de la biotite mais moins abondante en passages moins fréquents et plus minces.</p> <p>675.20 - 678.50</p> <p>106729: 13AMBSi+(CL)PYPO?</p> <p>Traces à 2% pyrite + pyrrhotite.</p> <p>684.80 - 685.30</p> <p>106730: 13A#Si+(CL)(EP?)PYPO</p> <p>Idem.</p> <p>689.20 - 689.80</p> <p>106731: 13A(MB)(#)Si(CL)PYPO</p> <p>Idem.</p> <p>692.10 - 693.20</p> <p>106732: 13A(MB)(#?)Si(CL)PY</p> <p>0,5-2% pyrite jusqu'à 2mm.</p> <p>693.70 - 695.00</p> <p>106733: 13A(MB)(#)(SiCL)(POPY)</p>	<p>654.30 - 654.80</p> <p>106728: 13A(#?)Si(CL)PO</p> <p>PO 1-2%.</p>

MINNOVA INC. - DIVISION EXPLORATION

DE (pi)	A (pi)	TEXTURE ET STRUCTURE	ALTÉRATION	MINÉRALISATION
			<p>Pyrite et pyrrhotite 1%.</p> <p>696.00: FIN DU TROU.</p>	

MINNOVA INC. - DIVISION EXPLORATION

ECHANTILLON	DE (pi)	A (pi)	LONGUEUR (pi)	Au(1) ppb	Au(2) ppb	Au(3) ppb	Au(4) ppb	Au(MOY) ppb	Ag ppm	As ppm	Sb ppm	Mo ppm	Pb ppm	Cu(1) ppm	Cu(2) ppm	Cu(MOY) ppm	Zn(1) ppm	Zn(2) ppm	Zn(MOY) ppm
106658	52.00	56.00	4.00	tr.				tr.						120		120	122		122
106659	56.00	60.00	4.00	tr.				tr.						85		85	97		97
106660	60.00	64.00	4.00	tr.				tr.						69		69	114		114
106661	64.00	68.00	4.00	tr.				tr.						85		85	104		104
106662	68.00	71.40	3.40	tr.				tr.						67		67	66		66
106663	71.40	74.30	2.90	tr.				tr.						93		93	54		54
106664	74.30	77.00	2.70	tr.				tr.						87		87	37		37
106665	77.00	80.60	3.60	tr.				tr.						85		85	45		45
106666	80.60	82.30	1.70	514				514						63		63	46		46
106667	82.30	85.90	3.60	274				274						82		82	70		70
106668	85.90	88.00	2.10	tr.				tr.						116		116	74		74
106669	91.90	93.40	1.50	tr.				tr.						94		94	87		87
106670	114.00	117.50	3.50	tr.				tr.						74		74	54		54
106671	123.90	127.00	3.10	tr.				tr.						95		95	54		54
106672	127.00	129.70	2.70	tr.				tr.						92		92	65		65
106673	129.70	131.80	2.10	tr.				tr.						95		95	67		67
106674	131.80	133.60	1.80	tr.				tr.						107		107	40		40
106675	133.60	136.00	2.40	tr.				tr.						137		137	42		42
106676	136.00	139.30	3.30	tr.				tr.						103		103	47		47
106677	139.30	140.50	1.20	tr.				tr.						104		104	58		58
106678	140.50	144.00	3.50	tr.				tr.						92		92	57		57
106679	144.00	148.00	4.00	tr.				tr.						100		100	56		56
106680	159.30	160.30	1.00	tr.				tr.						229		229	36		36
106681	185.20	188.80	3.60	tr.				tr.						96		96	37		37
106682	188.80	190.00	1.20	1543				1543						316		316	46		46
106683	190.00	195.00	5.00	tr.				tr.						140		140	48		48
106684	201.70	203.70	2.00	tr.				tr.						51		51	41		41
106685	203.70	205.10	1.40	tr.				tr.						78		78	53		53
106686	207.90	208.60	0.70	tr.				tr.						44		44	31		31
106687	214.30	215.70	1.40	tr.				tr.						32		32	27		27
106688	216.40	217.20	0.80	tr.				tr.						42		42	24		24
106689	219.30	222.00	2.70	tr.				tr.						54		54	33		33
106690	222.00	226.00	4.00	tr.				tr.						61		61	87		87
106691	257.80	258.90	1.10	tr.				tr.						454		454	454		454
106692	259.90	259.60	0.70	tr.				tr.						907		907	87		87
106693	259.60	261.00	1.40	tr.				tr.						354		354	86		86
106694	261.00	265.00	5.00	tr.				tr.						427		427	147		147
106695	266.00	267.50	1.50	tr.				tr.						719		719	231		231

MINNOVA INC. - DIVISION EXPLORATION

ECHANTILLON	DE (pi)	A (pi)	LONGUEUR (pi)	Au(1) ppb	Au(2) ppb	Au(3) ppb	Au(4) ppb	Au(MOY) ppb	Ag ppm	As ppm	Sb ppm	Mo ppm	Pb ppm	Cu(1) ppm	Cu(2) ppm	Cu(MOY) ppm	Zn(1) ppm	Zn(2) ppm	Zn(MOY) ppm	
106694	267.50	269.60	2.10	tr.				tr.						480		480	494		494	
106695	269.60	271.00	1.40	tr.				tr.						617		617	200		200	
106696	271.00	272.80	1.80	tr.				tr.						580		580	252		252	
106697	272.80	276.90	4.10	tr.				tr.						782		782	350		350	
106698	276.90	280.30	3.40	tr.				tr.						752		752	380		380	
106699	280.30	282.70	2.40	tr.				tr.						6310		6310	300		300	
106700	321.00	325.00	4.00	tr.				tr.						491		491	190		190	
106701	340.20	340.80	0.60	tr.				tr.						134		134	34		34	
106702	357.10	358.30	1.20	tr.				tr.						176		176	54		54	
106703	381.50	382.90	1.40	tr.				tr.						53		53	107		107	
106704	388.70	392.10	3.40	tr.				tr.						202		202	53		53	
106705	407.30	408.10	0.80	tr.				tr.						179		179	34		34	
106706	409.00	409.90	0.90	tr.				tr.						132		132	34		34	
106707	412.20	414.00	1.80	tr.				tr.						89		89	34		34	
106708	441.00	444.90	3.90	8949	10389			10069						90		90	131		131	
106709	446.00	450.30	4.30	tr.				tr.						80		80	92		92	
106710	450.30	452.30	2.00	tr.				tr.						67		67	69		69	
106711	452.30	453.80	1.50	tr.				tr.						70		70	66		66	
106712	453.80	458.30	4.50	tr.				tr.						147		147	84		84	
106713	458.30	460.60	2.30	tr.				tr.						154		154	61		61	
106714	461.00	463.40	2.40	tr.				tr.						212		212	114		114	
106715	463.40	465.60	2.20	tr.				tr.						804		804	216		216	
106716	465.60	468.30	2.70	tr.				tr.						207		207	187		187	
106717	468.30	472.60	4.30	tr.				tr.						190		190	70		70	
106718	472.60	474.00	1.40	tr.				tr.						172		172	67		67	
106719	474.00	478.00	4.00	tr.				tr.						54		54	32		32	
106720	478.00	481.00	3.00	tr.				tr.						52		52	34		34	
106721	481.00	484.20	3.20	tr.				tr.						52		52	35		35	
106722	485.00	490.00	5.00	tr.				tr.						112		112	38		38	
106723	490.00	494.20	4.20	tr.				tr.						50		50	29		29	
106724	517.20	519.50	2.30	tr.				tr.						52		52	54		54	
105700	527.00	533.00	6.00	tr.				tr.						77		77	41		41	
105701	533.00	538.00	5.00	tr.				tr.						99		99	46		46	
105654	538.00	542.10	4.10	686				686						80		80	50		50	
106725	542.10	544.60	2.50	240				240						54		54	90		90	
105655	544.60	549.40	4.80	651				651						72		72	42		42	
105702	549.40	554.40	5.00	tr.				tr.						109		109	46		46	
105703	554.40	560.00	5.60	tr.				tr.						95		95	47		47	

MINNOVA INC. - DIVISION EXPLORATION

ECHANTILLON	DE (pi)	A (pi)	LONGUEUR (pi)	Au(1) ppb	Au(2) ppb	Au(3) ppb	Au(4) ppb	Au(MOY) ppb	Ag ppm	As ppm	Sb ppm	Mo ppm	Pb ppm	Cu(1) ppm	Cu(2) ppm	Cu(MOY) ppm	Zn(1) ppm	Zn(2) ppm	Zn(MOY) ppm	
105704	560.00	565.00	5.00	tr.				tr.						83		83	46		46	
106726	591.30	592.30	1.00	tr.				tr.						52		52	37		37	
106727	619.60	621.00	1.40	tr.				tr.						62		62	44		44	
106728	654.30	654.80	0.50	tr.				tr.						280		280	49		49	
106729	675.20	678.50	3.30	tr.				tr.						222		222	43		43	
106730	684.80	685.30	0.50	tr.				tr.						600		600	84		84	
106731	689.20	689.80	0.60	tr.				tr.						106		106	56		56	
106732	692.10	693.20	1.10	tr.				tr.						67		67	41		41	
106733	693.70	695.00	1.30	tr.				tr.						210		210	33		33	

MINNOVA INC. - DIVISION EXPLORATION

COMPAGNIE : MINNOVA EXPLORATION	PROJET : ILE OPANICA	SONDAGE : OP-08	IMPRIME LE : 10/10/90																					
CANTON : LESPERANCE	RANG : -	LOT : -	CLAIM : 317226-3																					
<u>COORDONNEES AU COLLET</u>	GRILLE : LIGNE : 7+00M STATION : 11+50M	LATITUDE : 1150.00 LONGITUDE : -700.00 ELEVATION : 37.00	AZIMUT : 240 0' PLONGEE : -45 0'																					
PROFONDEUR	AU DEPART : 0.00	FIN DE TROU : 943.00	TUBAGE LAISSE (?) : Oui																					
GEOLOGUE : F. SPEIDEL, H. BRISSON	CONTRACTEUR : FORAGE BELAND		DATE DU JOURNAL : 25 juin 90																					
BUT : Tester 2 discontinuités mag possibles à NNE, au contact EM du pluton Opavica.			FORAGE DEBUTE LE : 17 juin 90																					
TERMINE LE : 21 juin 90																								
<u>DONNEES D'ORIENTATION</u>																								
<table border="1"> <thead> <tr> <th>Longueur</th> <th>Azimet</th> <th>Plongée</th> </tr> </thead> <tbody> <tr> <td>0.00</td> <td>240 0'</td> <td>-45 0'</td> </tr> <tr> <td>206.00</td> <td>243 0'</td> <td>-42 0'</td> </tr> <tr> <td>400.00</td> <td>*246 56'</td> <td>-42 0'</td> </tr> <tr> <td>601.00</td> <td>251 0'</td> <td>-41 0'</td> </tr> <tr> <td>800.00</td> <td>*253 21'</td> <td>-41 0'</td> </tr> <tr> <td>940.00</td> <td>255 0'</td> <td>-41 0'</td> </tr> </tbody> </table>				Longueur	Azimet	Plongée	0.00	240 0'	-45 0'	206.00	243 0'	-42 0'	400.00	*246 56'	-42 0'	601.00	251 0'	-41 0'	800.00	*253 21'	-41 0'	940.00	255 0'	-41 0'
Longueur	Azimet	Plongée																						
0.00	240 0'	-45 0'																						
206.00	243 0'	-42 0'																						
400.00	*246 56'	-42 0'																						
601.00	251 0'	-41 0'																						
800.00	*253 21'	-41 0'																						
940.00	255 0'	-41 0'																						
(*) azimet estimé																								

MINNOVA INC. - DIVISION EXPLORATION

DE (pi)	A (pi)	TEXTURE ET STRUCTURE	ALTERATION	MINERALISATION
0.00	18.00	NT		
18.00	811.80	<p>MORT-TERRAIN</p> <p>13ANG(-)BOCLvFPQZ</p> <p>GABBRO MAGNETIQUE PHANERITIQUE FIN A BIOTITE ET INJECTIONS FELDSPATH-QUARTZ</p> <p>Roche intrusive mafique de couleur vert foncé noirâtre devenant plus leucocrate près du contact avec la syénite. Dans les intervalles plus frais, la roche possède une granulométrie fine à moyenne et est constituée de feldspath en lattes ≤ 2mm xénomorphes allant à idiomorphes et de minéraux mafiques également ≤ 2mm, xénomorphes, en proportions ≈ égales.</p> <p>La magnétite (tr-5I, localement > 10I) est en grains très fins (submillimétriques) en agrégats associés aux minéraux mafiques. La biotite est grenue, fine à moyenne, également associée aux minéraux mafiques.</p> <p>La roche contient 0-25I d'injections phanéritiques fines de feldspath (albite?) et quartz. Ces injections sont subparallèles @ 45°AC, en général, sur la première partie de l'unité, soit jusqu'à 489.30'. On y note des plissements locaux. De 489.30 à la fin, elles sont irrégulières en forme et en orientation.</p> <p>La foliation est variablement développée. Généralement faible à moyenne avec quelques intervalles avec une foliation intensément développée @ 40-45°AC. La foliation est quelque peu irrégulière, définie surtout par des plans de chlorite submillimétriques à espacement submillimétrique à millimétrique. L'alignement des injections de feldspath-quartz est subparallèle à, et suit la foliation.</p> <p>Fracturation généralement faible à absente.</p> <p>Altération variable. L'unité est surtout marquée par une chloritisation moyenne oblitérant plus ou moins la texture intrusive avec biotite et magnétite qui semblent y être superposées. La biotite est brune, grenue, fraîche et toujours associée aux minéraux mafiques. La magnétite en agrégats fins semble être secondaire. Il semble probable que les minéraux</p>		

MINNOVA INC. - DIVISION EXPLORATION

DE (pi)	A (pi)	TEXTURE ET STRUCTURE	ALTERATION	MINÉRALISATION
		<p>mafiques préalablement chloritisés sont remplacés partiellement par BO+MG. Plus localement on observe des intervalles centimétriques à subcentimétriques irréguliers lessivés (albitisation diffuse?), d'autres intervalles avec concentration de veinules de calcite et/ou épidote millimétrique en stockwork.</p> <p>Minéralisation variable mais fréquente. Nombreux intervalles avec traces à 1% pyrite ± pyrrhotine ± chalcopyrite disséminées, en concentrations locales (fragments minéralisés?) et en bandes discontinues irrégulières de largeur millimétrique à submillimétrique. Les sulfures semblent avoir été déformés puisqu'on les retrouve parfois en agrégats irréguliers, allongés, subparallèles à la foliation.</p> <p>18.00 - 489.30 13A(+)MGBO-BO+(PY)vABQZ</p> <p>GABBRO A MAGNETITE ET BIOTITE</p> <p>I.C. ≈ 50, vert foncé noirâtre.</p> <p>Phanéritique fin et moyen (< 2mm) et homogranulaire. Plus ou moins magnétique: traces à 5% magnétite (≤ 1mm). 0 à 10% de veinules lenticulaires d'albite-quartz parallèles à la foliation ou déformées localement. Quelques veines centimétriques de plagioclase-quartz-(mafique)(BO-AM) à grains moyens (1-3mm).</p> <p>Roche plus ou moins foliée mais non schisteuse. Plusieurs passages déclinétriques-métriques avec développement de porphyroblastes de biotite (± 5mm, ≤ 25%) grossièrement alignés.</p> <p>Traces à 1% de pyrite fine localement.</p>	<p>18.00 - 23.00</p> <p>106744: 5% vABQZ</p> <p>23.00 - 28.00</p>	

MINNOVA INC. - DIVISION EXPLORATION

DE (pi)	A (pi)	TEXTURE ET STRUCTURE	ALTÉRATION	MINÉRALISATION
			<p>106745: Type 28.00 - 33.00</p> <p>106746: Type 33.00 - 38.00</p> <p>106747: 3% vAB0Z 38.00 - 43.00</p> <p>106748: Type 43.00 - 48.00</p> <p>106749: Type 48.00 - 52.00</p> <p>106750: Type 52.00 - 55.10</p> <p>106751: Type 55.10 - 60.10</p> <p>106734: Type</p>	<p>60.10 - 62.50</p> <p>106735: CCCL(Si)/vQZCCPY</p> <p>Enveloppes d'altération millimétriques en calcite, chlorite et silice associées à ± 20% de veinules de quartz-calcite submillimétriques.</p>

MINNOVA INC. - DIVISION EXPLORATION

DE (pi)	A (pi)	TEXTURE ET STRUCTURE	ALTÉRATION	MINÉRALISATION
				<p>2% de pyrite fine dans les épontes des veinules de quartz-calcite.</p>
			62.50 - 67.50	
			106736: Type	
			76.00 - 81.00	
			106737: (=)PY	
			81.00 - 86.00	
			106738: (=)PY	
			86.00 - 90.60	
			106739: (=)PY	
				90.60 - 93.80
				106740: Mg-Mg+CC(Si)vCCBZ
				Altération gris pâle en calcite et silice. Quelques veinules de calcite-quartz.
				2% de pyrite fine et moyenne (52m) disséminée et en agrégats subcentimétriques de même qu'en veinules? 51m irrégulières.
			93.80 - 98.80	
			106741: Type	
		105.30 - 116.60 [23]		

MINNOVA INC. - DIVISION EXPLORATION

DE (pi)	A (pi)	TEXTURE ET STRUCTURE	ALTÉRATION	MINÉRALISATION
		<p>LEUCODIORITE (I.C.±20%)</p> <p>±50% de granitoïde injecté dans le gabbro à M6 et B0 déformé. Intrusion intermédiaire à grains moyens, (1-3mm) formée de feldspath, de quartz (±5%) d'amphibole (18%) et de biotite (2%). Texture hétérogranulaire hypidiomorphe. Feldspath hypidiomorphe à idiomorphe souvent zoné, minéraux mafiques hypidiomorphes avec quartz interstitiel.</p> <p>Altération faible. Possiblement faible biotisation locale des minéraux mafiques.</p>	<p>105.30 - 110.30</p> <p>106742: ±70% 12J1 & 30% 13AM6</p> <p>110.30 - 116.60</p> <p>106743: ±35% 12J1 & 70% 13AM6</p> <p>116.60 - 121.60</p> <p>106752: 5% vAB0Z</p> <p>121.60 - 126.60</p> <p>106753: B0+/5% vAB0Z</p> <p>126.60 - 131.60</p> <p>106754: B0+/1% vAB0Z</p> <p>131.60 - 136.60</p> <p>106755: 5% vAB0Z</p>	

MINNOVA INC. - DIVISION EXPLORATION

DE (pi)	A (pi)	TEXTURE ET STRUCTURE	ALTERATION	MINERALISATION
			136.60 - 141.60 106756: 3I vABQZ 141.60 - 146.60 106757: 10I vABQZ 146.60 - 151.60 106758: 3I vABQZ 151.60 - 156.60 106759: (PY)/vCC(3cm) 156.60 - 161.60 106760: (B0)/SI vABQZ 161.60 - 166.60 106761: (B0) 166.60 - 171.60 106762: B0+/3I vABQZ 171.60 - 176.60 106763: B0+/2I vABQZ 176.60 - 181.60 106764: 2I vABQZ 181.60 - 186.60	

MINNOVA INC. - DIVISION EXPLORATION

DE (pi)	A (pi)	TEXTURE ET STRUCTURE	ALTERATION	MINERALISATION
			<p>106765: 2I vABQZ</p> <p>186.60 - 191.60</p> <p>106766: 1I vABQZ/v11(5cm)</p> <p>191.60 - 211.50 CC(PY)vCC</p> <p>Altération en calcite variable, 1I de veinules de calcite. <SI de veinules d'albite-quartz.</p> <p>Traces à 1I de pyrite fine et moyenne disséminée : en veinules millimétriques discontinues.</p> <p>191.60 - 196.60</p> <p>106767: CC(PY)vCC</p> <p>196.60 - 201.60</p> <p>106768: (CC)/vCC</p> <p>201.60 - 206.60</p> <p>106769: CC(PY)/vCC</p> <p>206.60 - 211.50</p> <p>106770: CC(PY)vCC</p>	<p>211.50 - 216.00 CB+CC+SI+PY+vQZ</p> <p>106771:</p> <p>Altération en carbonates de fer, calcite et silice associée à 2 SI de veines bréchiques de quartz blanc et gris.</p> <p>2-SI de pyrite fine et moyenne disséminée et sous forme</p>

MINNOVA INC. - DIVISION EXPLORATION

DE (pi)	A (pi)	TEXTURE ET STRUCTURE	ALTÉRATION	MINÉRALISATION
		<p>220.20 - 230.20 I2FCC(PY)</p> <p>HORIZONITE (I.C. \approx 20)</p> <p>Phanéritique moyen (1-2mm). Texture hypidiomorphe et hétérogranulaire. La roche est formée de plagioclase et de feldspath alcalin flous en proportions \approx égales, de \approx18% d'amphibole prismatique (55mm), de \approx2% de biotite (52mm), de quartz (<5%) et de 20% de matériel felsique à grains fins.</p> <p>Altération variable en calcite qui masque la texture (\approx50%). Foliation locale.</p> <p>\approx traces de pyrite fine à moyenne disséminée au contact supérieur.</p>	<p>216.00 - 220.20</p> <p>106772: CC(PY)</p> <p>Altération en calcite. Une veine de quartz de 5cm au contact avec l'unité suivante.</p> <p>Traces de pyrite fine.</p> <p>220.20 - 225.20</p> <p>106773: Type</p> <p>225.20 - 230.20</p> <p>106774: Type</p> <p>230.20 - 232.90 (NG)CC</p>	<p>d'amas dans la roche altérée.</p>

MINNOVA INC. - DIVISION EXPLORATION

DE (pi)	A (pi)	TEXTURE ET STRUCTURE	ALTERATION	MINERALISATION
		<p>232.90 - 272.60 12F(0)(CC)v0Z</p> <p>MONZONITE (I.C.±20)</p> <p>Phanéritique moyen à grossier (2 à 4mm). Texture hypidiomorphe et hétérogranulaire. Proportions ± égales de plagioclase et de feldspath alcalin. Feldspath souvent zoné, hypidiomorphe à idiomorphe, ± 18% d'amphibole prismaïque hypidiomorphe (15mm), ±2% de biotite, <2% de quartz et ±20% de matériel felsique à aphanitique.</p> <p>Plusieurs passages centimétriques-décimétriques d'altération en calcite. Quelques veinules de quartz sur les 5 premiers pieds. Roche localement fracturée centimétrique entre 239.00 et 257.00. Roche non foliée.</p> <p>Traces de pyrite très fine.</p>	<p>106775:</p> <p>232.90 - 237.90</p> <p>106776: 2% v0Z</p> <p>237.90 - 242.90</p> <p>106777: (#)</p> <p>242.90 - 247.90</p> <p>106778: (0)</p> <p>247.90 - 252.90</p> <p>106779:</p> <p>252.90 - 257.90</p>	

MINNOVA INC. - DIVISION EXPLORATION

DE (pi)	A (pi)	TEXTURE ET STRUCTURE	ALTERATION	MINERALISATION
			<p>106780: 12F/20ZCC</p> <p>257.90 - 262.90</p> <p>106781: 12F/10ZCC</p> <p>262.90 - 267.90</p> <p>106782: Type</p> <p>267.90 - 272.60</p> <p>106783: Type</p> <p>272.60 - 289.00 13A=BO+BO+CLvABQZ</p> <p>Gabbro à biotite faiblement à fortement déformé. Foliation définie par alignement minéralogique, particulièrement les agrégats phanéritiques de biotite brun foncé @ 10-15°AC. Passages décimétriques très foliés et chloriteux mais sans débit de schistosité. ≈ 10% de veinules discontinues et déformées d'albite-quartz sub-parallèles à la foliation et à AC.</p> <p>Traces pyrite fine à moyenne disséminée et en plaquage dans des fractures très localement.</p> <p>272.60 - 277.60</p> <p>106784: BO+BO+/10Z vABQZ</p> <p>277.60 - 282.60</p> <p>106785: 3Z vABQZ</p> <p>282.60 - 286.40</p>	

MINNOVA INC. - DIVISION EXPLORATION

DE (pi)	A (pi)	TEXTURE ET STRUCTURE	ALTERATION	MINÉRALISATION
		<p>289.00 - 305.70 12F</p> <p>MONZONITE I.C. ≈ 20</p> <p>! idem à 232.90-272.60. Quelques enclaves millimétriques-centimétriques de roches mafiques.</p>	<p>106786: 5I vABQZ</p> <p>286.40 - 289.00</p> <p>106787: 3I vABQZ</p> <p>289.00 - 294.00</p> <p>106788: Type</p> <p>294.00 - 299.00</p> <p>106789: Type</p> <p>299.00 - 305.70</p> <p>106790: Type</p> <p>305.70 - 310.70</p> <p>106791: 13ANGCC/1I vABQZ</p> <p>310.70 - 315.70</p> <p>106792: (PY)/2I vABQZ</p> <p>315.70 - 320.70</p> <p>106793: (PY)/2I vABQZ</p>	

MINNOVA INC. - DIVISION EXPLORATION

DE (pi)	A (pi)	TEXTURE ET STRUCTURE	ALTERATION	MINÉRALISATION
		347.50 - 353.50 I2H?(HM)	320.70 - 325.70 106794: 5I vABQZ 325.70 - 330.70 106795: 7I vABQZ 330.70 - 335.70 106796: 3I vABQZ 335.70 - 340.70 106797: 5I vABQZ/vI2D(11E?)(7cm) 340.70 - 344.70 106798: 5I vABQZ 344.70 - 347.50 106799: 1I vABQZ	
		MONZONIORITE OU DIORITE? (I.C. ≈ 20)		
		Phanéritique moyen (1 à 2mm) homogénéitaire. Teinte gris pâle bleuté et rosé relié à l'hématitisation. ≈ 75I feldspath (plagioclase et feldspath alcalin) surtout idiomorphe. ≈ 18I d'amphibole et ≈ 2I de biotite surtout interstitielle légèrement plus finement grenue et ≈ 5I quartz interstitiel. Passages à teinte gris pâle (non hématisés) à texture plus floue et avec faible alignement minéral (début de foliation?). Quelques enclaves de roches mafiques.		
		Faible hématitisation irrégulière, souvent sous forme de		

MINNOVA INC. - DIVISION EXPLORATION

DE (pi)	A (pi)	TEXTURE ET STRUCTURE	ALTERATION	MINÉRALISATION
		bandes recouvrant la roche (microfractures). Dans la roche grisâtre il semble y avoir une altération partielle locale des minéraux mafiques en riebeckite.	347.50 - 353.50	
			106800	
			353.50 - 355.40	
			106801: $M15\%SiEPvCCRB$	
			Roche très siliceuse et contenant $\approx 10\%$ d'épidote. Couleur gris-vert. Veinules en stockwork de calcite, CC-RB. Microfractures remplies de calcite. Distribution d'épidote semble également contrôlée par des microfractures.	
			355.40 - 360.40	
			106802: $I3AN6B0$	
			360.40 - 365.40	
			106803: Idem, $5\% vABQZ$	
			365.40 - 367.80	
			106804: (EP)/ $\approx 10\% vABQZ$	
		367.80 - 406.70 $I2H$		
		MONZODIORITE I.C. ≈ 20		
		Idem à 347.50-353.50		
			367.80 - 372.80	
			106805: $I2/ 5\% SiCC(PY)/1\% vQZ$	

MINNOVA INC. - DIVISION EXPLORATION

DE (pi)	A (pi)	TEXTURE ET STRUCTURE	ALTERATION	MINERALISATION
			372.80 - 377.80 106806: Type 377.80 - 382.80 106807: Type 382.80 - 387.80 106808: Type 387.80 - 392.80 106809: Type 392.80 - 397.80 106810: Type 397.80 - 402.80 106811: 12/ 25% I3ANG80 402.80 - 406.70 106812: 12/ 25% I3ANG80 406.70 - 412.11 106813: I3ANG80/27% vABQZ 412.11 - 417.30 106814: I3ANG80(CC)(PY) 75% d'altération faible en calcite.	

MINNOVA INC. - DIVISION EXPLORATION

DE (pi)	A (pi)	TEXTURE ET STRUCTURE	ALTERATION	MINERALISATION
		<p>455.60 - 456.60 12F(CCRB?)</p> <p>MONZONITE</p> <p>Idea à 232.90-272.60</p> <p>5cm d'altération calcitique de teinte bleue en bordure de dyke (riebeckite).</p> <p>106817:</p> <p>456.60 - 467.60 12H?(M8)</p> <p>MONZODIORITE (I.C. ±20)</p>	<p>Traces de pyrite fine dans la roche altérée.</p> <p>420.80 - 423.60</p> <p>106815: 13AM6B0(CC)(PY)</p> <p>± 50% d'altération faible en calcite.</p> <p>Traces de pyrite fine dans la roche altérée.</p> <p>A partir 423.60 les injections millimétriques de feldspath-quartz deviennent irrégulières, non parallèles entre elles.</p> <p>451.60 - 453.00</p> <p>106816: 13AM6B0(CC)</p> <p>±50% d'altération faible en calcite.</p>	

MINNOVA INC. - DIVISION EXPLORATION

DE (pi)	A (pi)	TEXTURE ET STRUCTURE	ALTERATION	MINERALISATION
		<p>489.30 - 811.80 I3A(1)MSBOCL(PY)FPQZ</p> <p>GABBRO, GABBRO LEUCOCRATE AVEC DYKES SYENITIKES MELANOCRATES.</p> <p>Roche mafique de couleur vert moyen à foncé à composition variable. Veinales millimétriques et zones feldspathiques lorsque plus concentrées donnent au gabbro un aspect leucocrate. Les parties mélanocrates du gabbro sont généralement à texture équi-granulaire fine, cristaux allotriomorphes relativement fins. Le gabbro leucocrate possède la même minéralogie mais le % de feldspath passe à > 60% avec quartz grenu associé. Les zones de feldspath-quartz (SZ) sont tantôt sous forme de veinules d'orientation variable, tantôt d'imprégnations qui font penser à un métamorphisme/remobilisation/recristallisation/métasomatisme de contact.</p> <p>Les dykes de granitoides semblent être de même composition que les veinules et imprégnations avec 25% xénolithes centimétriques à subcentimétriques de microgabbro bien arrondis. La texture est phanérotique équi-granulaire à porphyrique, les minéraux mafiques forment 25% de la roche. Le feldspath est rarement zoné (plagioclase) plus fréquemment exhibe une structure «carreauté» indiquant qu'il s'agit de glaucophanocristaux ou possiblement de perthite ou microcline. Le quartz est interstitiel au feldspath et forme moins de 10% de la roche.</p> <p>La roche n'est généralement ni foliée, ni fracturée sauf sur quelques intervalles centimétriques à subcentimétriques.</p> <p>Altération variable. Chloritisation diffuse du gabbro avec superposition de biotite (B0) qui peut atteindre plus de 10% de la roche sur des intervalles centimétriques à décimétriques. Passages centimétriques-décimétriques altérés en calcite. Les granitoides sont plus faiblement altérés avec chloritisation partielle des minéraux mafiques. La</p>	<p>106824: Type</p> <p>484.20 - 489.30</p> <p>106825: Type</p>	

MINNOVA INC. - DIVISION EXPLORATION

DE (pi)	A (pi)	TEXTURE ET STRUCTURE	ALTÉRATION	MINÉRALISATION
		<p>biotite y est peu abondante ou absente. Localement enveloppes millimétriques à subcentimétriques de riebeckite autour de veinules de calcite dans le gabbro. Quelques veinules et veines de quartz-calcite et quartz-albite.</p> <p>Minéralisation variable. Sulphures disséminés sont communs, atteignant localement plus de SI sur des intervalles subcentimétriques.</p>	<p>502.30 - 503.50</p> <p>106829: CC(PY)vQZAB</p> <p>Altération plus poussée en calcite associée à SI de veinules de quartz-albite.</p> <p>Traces de pyrite fine.</p> <p>503.50 - 508.50</p> <p>106830: ± 70% CC</p> <p>508.50 - 513.50</p> <p>106831: CC(PY)QZCCPY</p> <p>Veine bréchique de quartz-calcite (510.10 à 510.50) dans un intervalle moyennement altéré en calcite de couleur gris vert foncé.</p> <p>< 1% de pyrite fine dans la veine.</p> <p>513.50 - 518.50</p> <p>106832: ± 20% CC/vQZ</p> <p>518.50 - 523.50</p> <p>106833: ± 10% CC/vCC</p>	

MINNOVA INC. - DIVISION EXPLORATION

DE (pi)	A (pi)	TEXTURE ET STRUCTURE	ALTERATION	MINÉRALISATION
			<p>523.50 - 526.30</p> <p>106834: ±10% CC</p> <p>526.30 - 531.30</p> <p>106835: ± 70% CC(PY)/vQZCC</p> <p>Veine de quartz-calcite de 527.50 à 527.80</p> <p>531.30 - 536.00</p> <p>106836: ±40% CC(PY)/vCC</p> <p>536.00 - 541.00</p> <p>106837: ±SI CC/v10%vABQZMAF</p> <p>541.00 - 546.00</p> <p>106838: ±10% CC/ SI vABQZMAF</p> <p>554.10 - 556.00</p> <p>106839: CL+BD(RBCC)(PY)vCC</p> <p>< 1% pyrite fine disséminée, en veinules submillimétriques discontinues et en agrégats millimétriques.</p> <p>556.00 - 556.80</p> <p>106840: 40% CCDMPYvQZCC(PY)</p> <p>Enveloppes de carbonate (CC ± DN) superposées à la chloritisation.</p> <p>≤ 1% pyrite sur l'intervalle, pyrite fine à moyenne dans</p>	

MINNOVA INC. - DIVISION EXPLORATION

DE (pi)	A (pi)	TEXTURE ET STRUCTURE	ALTÉRATION	MINÉRALISATION
			<p>une vBZ(CC) sous forme de pyrite très fine dans l'enveloppe centimétrique carbonatée de cette veine et les veinules subcentimétriques de calcite associées.</p> <p>556.80 - 560.40</p> <p>106841: 30-40% pyrite dans les enveloppes d'altération, ≤ IZ sur l'intervalle.</p> <p>565.00 - 568.30</p> <p>106842: =CL(EP)PY</p> <p>Quelques intervalles centimétriques intensément foliés (plans CL à espacement submillimétrique, ondulés). Foliation à ± 45°AC.</p> <p>Variable EP associée aux zones de feldspath.</p> <p>≤ II pyrite fine en minces veinules submillimétriques discontinues & quelques agrégats.</p> <p>568.30 - 568.80</p> <p>106843: =+CL+PY</p> <p>Foliation définie par plans CL vert pâle superposée à CL vert foncé habituelle. Foliation à ± 15°AC.</p> <p>Chloritisation intense.</p> <p>≥ II pyrite fine disséminée.</p> <p>584.70 - 586.20</p> <p>106844: B0(CLRB)(PY)</p> <p>≥ traces de pyrite fine disséminée.</p>	

MINNOVA INC. - DIVISION EXPLORATION

DE (pi)	A (pi)	TEXTURE ET STRUCTURE	ALTERATION	MINÉRALISATION
		<p>586.20 - 612.70 (+)FFA, IZDM</p> <p>PORPHYRE A FELDSPATH, SYENITE</p> <p>Roche intrusive grisâtre intermédiaire à felsique à contacts irréguliers non nets mais définis sur intervalle millimétrique. De 586.20 à 594.50 il s'agit d'un porphyre à feldspath dense qui passe à une syénite équi-granulaire. Contact non défini, progression sur quelques centimètres. Le porphyre à feldspath est constitué d'environ 80% feldspath gris-blanc à rosé trapu d'environ 3mm en moyenne, 10-15% minéraux mafiques surtout interstitiels submillimétriques mais aussi en partie millimétriques et quelques 1 quartz très fin interstitiel.</p> <p>La syénite équi-granulaire est à granulométrie plus fine, de même composition, avec plusieurs xénolithes microgabbroïques arrondis rarement angulaires.</p> <p>Foliation absente, fracturation faible à absente.</p> <p>Altération absente à faible. Feldspaths sont légèrement floés, quelques zones centimétriques silicifiées. Une veine de quartz subcentimétrique à 45°AC avec traces de pyrite et chloritisation intense dans l'encaissant, aux deux contacts.</p> <p>Minéralisation absente, traces de pyrite fine très locale.</p>	<p>612.70 - 616.60</p> <p>106845: HG/\?CL+BD(RB)(PY)+QZFP</p> <p>Chloritisation intense, biotite grenue remplace minéraux mafiques, possiblement traces de riebeckite. Injections irrégulières de quartz-feldspath donnent un aspect bréchique (xénolithique dense) à la roche.</p>	

MINNOVA INC. - DIVISION EXPLORATION

DE (pi)	A (pi)	TEXTURE ET STRUCTURE	ALTERATION	MINERALISATION
			<p>≤ 1% pyrite fine en quelques agrégats.</p> <p>618.60 - 621.70</p> <p>106847: =CL(PY)</p> <p>Chlorite moyenne. Une veine centimétrique gris rouge de quartz-calcite. Injections irrégulières de quartz-feldspath dont la granulométrie varie de fine à grossière.</p> <p>> traces pyrite fine disséminée.</p> <p>635.30 - 637.40</p> <p>106849: MG+CL+PY</p> <p>≤ 1% pyrite en dissiminations et agrégats millimétriques.</p>	<p>616.60 - 618.60</p> <p>106846: MG+CL+(BORB)?PY</p> <p>Couleur vert foncé bleuté, chloritisation intense ± riebeckite, biotite au moins localement.</p> <p>10-15% pyrite ± pyrrhotine fine en agrégats à concentrations millimétriques à centimétriques. Quelques agrégats ressemblent à des fragments. CL-BQ-RB succèdent aux sulfures.</p> <p>623.40 - 626.00</p> <p>106848: MG+CL+PY+</p> <p>3-5% pyrite ± pyrrhotine fine disséminée en concentrations centimétriques.</p>

MINNOVA INC. - DIVISION EXPLORATION

DE (pi)	A (pi)	TEXTURE ET STRUCTURE	ALTERATION	MINERALISATION
			<p>645.60 - 648.70</p> <p>105656: 13A(MG)BO(CLRB)vFPBZ</p> <p>Gabbro textuellement variable. Minéraux mafiques altérés en CLSEP, ensuite remplacés par biotite grenue. Veinules de feldspath-quartz irrégulières postdatent ou sont contemporaines avec biotite. Zones de RB diffuse remplace BO-CL etc. Zone centimétrique avec LX, RB, FX? HM du centre.</p> <p>Minéralisation absente.</p>	<p>640.60 - 645.50</p> <p>106851: MG-MG+CL(RB)PY+</p> <p>±3% pyrite fine irrégulièrement disséminée.</p>
			<p>652.70 - 654.00</p> <p>105853: CL+</p> <p>Non magnétique, texture plus homogène.</p> <p>± traces de pyrite fine.</p>	<p>648.70 - 652.70 MG-MG+CLBORBPY+</p> <p>106852:</p> <p>Idem.</p>
			<p>654.00 - 656.60</p> <p>106854: CL-CL+CC(RB)vCC</p> <p>Faiblement ou non magnétique.</p>	

MINNOVA INC. - DIVISION EXPLORATION

DE (pi)	A (pi)	TEXTURE ET STRUCTURE	ALTERATION	MINERALISATION
		<p>656.60 - 662.50 I2D</p> <p>DYKE DE SYENITE EQUIGRAMULAIRE</p> <p>Idea à la subunité décrite de 586.20-612.70, sans intervalle porphyrique.</p> <p>Traces de pyrite fine dans zones Si+ centimétriques.</p>	<p>± traces pyrite fine locale.</p> <p>660.90 - 661.70</p> <p>106855: 50% Si+(PY) autour de vCCm</p> <p>666.40 - 671.60</p> <p>105657: 13A(MG)(BOCL)FPQZ</p> <p>Gabbro biotisé avec ± 10-15% zones et injections de feldspath-quartz phanéritiques. Ces injections sont irrégulières, jusqu'à 3cm de large. L'injection de 3cm possède des injections millimétriques irrégulières millimétriques subsidiaires.</p> <p>Traces de pyrite fine disséminée et en microveinules discontinues locales.</p> <p>671.60 - 672.60 MB+CLRBCPPvCC</p> <p>106856:</p> <p>Riebeckite? abondante mais non grenue. Pourrait aussi être MG, roche fortement magnétique.</p> <p>± 1% pyrite fine disséminée dans enveloppes beiges autour de veinules de calcite.</p>	

MINNOVA INC. - DIVISION EXPLORATION

DE (pi)	A (pi)	TEXTURE ET STRUCTURE	ALTÉRATION	MINÉRALISATION
			<p>672.60 - 673.60</p> <p>106658: Iden.</p> <p>673.60 - 676.00</p> <p>106857: MG=CLPY</p> <p>Foliation subparallèle à AC sur un intervalle centimétrique (plans chlorite irréguliers mais non anastomosés.)</p> <p>±11 pyrite fine disséminée.</p> <p>679.30 - 682.10</p> <p>106858: (MG)CLPY(PO)</p> <p>±11 sulfure dans une concentration centimétrique de PY, MG, PO?</p>	<p>690.10 - 694.90</p> <p>106859: MG+CL+RBBOPY+</p> <p>2-4X PY ± PO disséminée & en agrégats irréguliers. Sulfures fins.</p> <p>703.20 - 704.70</p> <p>106860: MGCLPY</p> <p>A 705.00 injection granitique avec texture graphique (intercroissance irrégulière de quartz et feldspath) centimétrique.</p> <p>> 11 pyrite très fine en un agrégat semi-massif de largeur subcentimétrique.</p>

MINNOVA INC. - DIVISION EXPLORATION

DE (pi)	A (pi)	TEXTURE ET STRUCTURE	ALTERATION	MINERALISATION
			<p>709.20 - 710.40</p> <p>106861: MG(CL)PY+</p> <p>Cet intervalle montre qu'au moins dans ce cas, l'aspect plus mafique de la roche n'est pas secondaire mais primaire. Il s'agit en fait d'une pyroxénite, sulfures magmatiques?</p> <p>±I pyrite fine disséminée.</p> <p>712.10 - 713.80</p> <p>106862: MGCLPYvCC</p> <p>Un intervalle centimétrique à aspect folié (plans CL).</p> <p>± II pyrite avec enveloppes calcite beiges autour de veinules de calcite millimétriques.</p> <p>713.80 - 716.10 (MG)CC-CC+(HM)PYvCC</p> <p>106863:</p> <p>Roche gris-mauve, couleur due à l'altération diffuse en calcite avec hématite rouge terreux associée.</p> <p>±I pyrite fine disséminée.</p> <p>716.10 - 721.10</p> <p>105659: Iden, moins de vFPQZ et davantage de vCCRB</p> <p>727.90 - 730.60</p> <p>106864: 10I CC+(HM)PY+</p>	

MINNOVA INC. - DIVISION EXPLORATION

DE (pi)	A (pi)	TEXTURE ET STRUCTURE	ALTERATION	MINÉRALISATION
			<p>±5% de pyrite très fine en disséminations régulières.</p> <p>10% CL+CC(PY)+CC ± 1% pyrite fine en dissémination irrégulières.</p> <p>732.60 - 733.60</p> <p>106865: 20% zones CC+PY+avec vBZ</p> <p>±20% pyrite sur l'intervalle pyrite très fine à fine en disséminée régulière dans zones CC+ subcentimétriques.</p> <p>755.60 - 759.90</p> <p>106866: (MG)CLB0</p> <p>Traces pyrite fine disséminée.</p> <p>759.90 - 764.80</p> <p>106867: (MG)(CLEP)</p> <p>Traces pyrite locale.</p> <p>764.80 - 769.50</p> <p>106868: MG=CL(PY)</p> <p>Foliation à 20°AC.</p> <p>> traces de pyrite en agrégats locaux.</p>	<p>769.50 - 774.10</p> <p>106869: (MG)CCCLPY+CC</p> <p>± 1% pyrite fine dans enveloppes calcite subcentimétriques</p>

MINNOVA INC. - DIVISION EXPLORATION

DE (pi)	A (pi)	TEXTURE ET STRUCTURE	ALTERATION	MINERALISATION
			<p>798.20 - 798.70</p> <p>106870: 40% CC-Si(PY)vQZ</p> <p>Traces de pyrite fine avec enveloppes d'altération autour de veinules de quartz.</p> <p>798.70 - 799.70</p> <p>105660: 13A(B)(CL)vCC(HM)</p> <p>Traces de pyrite avec veinules de calcite (HM) millimétriques.</p> <p>799.70 - 800.40 80% LICC(HM)(PY)</p> <p>106871:</p> <p>Traces de pyrite fine dans intervalle métasomatique, veinules de quartz submillimétriques gris translucide et subcentimétriques blanc laiteux.</p> <p>800.40 - 802.20</p> <p>105661: Idem avec 30% masses (dykes irréguliers?) syénitiques</p> <p>802.20 - 803.50</p> <p>106872: CC+(HM)(PY)</p> <p>Granulométrie de la texture intrusive augmente, zones avec pyroxène idiomorphe grossier avec feldspath rose interstitiel.</p> <p>Pyrite fine à moyenne, 2 traces, avec zones carbonatées nouvelles.</p>	<p>autour de veinules de calcite submillimétriques.</p>

MINNOVA INC. - DIVISION EXPLORATION

DE (pi)	A (pi)	TEXTURE ET STRUCTURE	ALTERATION	MINERALISATION
811.80	942.00	<p>I2D(MG)</p> <p>SYENITE EQUIGRANULAIRE PEU ALTEREE</p> <p>Syénite rose pâle à rose orangé, constituée d'environ 10-12% minéraux mafiques (HB?) grenus hypidiomorphes bien définis, 80% feldspath allongé à trapu plutôt flou dont certains exhibent une zonation typique du plagioclase et quelques % matière interstitielle felsique et/ou quartz.</p> <p>Alignement minéralogique vaguement défini localement, texture primaire. Xenolithes microgabbroïques subcentimétriques à centimétriques arrondis</p>	<p>803.50 - 809.10</p> <p>105662: I2D/I3A/I4B</p> <p>Zone mixte avec passages décimétriques de pyroxénite moyenne à grossière, gabbro à granulométrie variable et syénite équi-granulaire mafique (± 20% HB). Xenolithes de gabbro dans la syénite.</p> <p>Quelques % de zones subcentimétriques carbonatées et légèrement chloritisées avec oblitération de la texture intrusive.</p> <p>811.30 - 815.30</p> <p>105663: I2D</p> <p>Passages centimétriques faiblement calcifiés avec texture intrusive plus floue.</p>	<p>809.10 - 811.30 MGCLPY+CCHN, 10% MISFPC+QZ</p> <p>106873:</p> <p>± 1% pyrite + chalcopryrite fine disséminée en enveloppes millimétriques autour de vCCHN submillimétriques.</p>

MINNOVA INC. - DIVISION EXPLORATION

DE (pi)	A (pi)	TEXTURE ET STRUCTURE	ALTERATION	MINÉRALISATION
		<p>notés à intervalles submétriques à métriques. Foliation absente, fracturation faible à absente.</p> <p>Altération faible à absente. Les minéraux mafiques semblent plutôt frais, localement avec des traces d'épidote, le feldspath est faiblement hématisé.</p> <p>Minéralisation généralement absente.</p>	<p>815.30 - 817.00</p> <p>106874: #Si(CCHM)v#Z</p> <p>Traces pyrite fine locale.</p> <p>892.40 - 895.50</p> <p>106875: (#)CCSi(CLSR)PY</p> <p>±60% zones centimétriques altérées tel code. Début de séricitisation des minéraux mafiques chloritisés.</p> <p>± 1% pyrite fine dans zones altérées.</p> <p>897.30 - 902.60</p> <p>106876: M15#Si+CCHM(SR)(PY)</p> <p>Syénite intensément altérée mais texture intrusive encore reconnaissable.</p> <p>Couleur rose pâle à beige, silice, calcite et hématite diffuses, chloritisation/séricitisation des minéraux mafiques.</p> <p>±1% pyrite fine disséminée.</p> <p>902.60 - 907.20</p>	

MINNOVA INC. - DIVISION EXPLORATION

DE (pi)	A (pi)	TEXTURE ET STRUCTURE	ALTERATION	MINÉRALISATION
			<p>106877:</p> <p>909.00 - 913.60</p> <p>106878: 60% #SiCC(HMSR)(PY)vAB</p> <p>Pyrite disséminée & en veinules submillimétriques.</p> <p>916.20 - 918.10</p> <p>106879: 80% #SiCC(HMCL)(PY)</p> <p>921.20 - 925.10</p> <p>106880: 70% #Si+CCCLPY+</p> <p>≈1% pyrite fine.</p> <p>938.10 - 939.00</p> <p>106881: #++Si+CC(HMCL)PY+</p> <p>CL interstitiel aux «fragments» siliceux roses, microveinules de calcite recourent tout.</p>	<p>940.50 - 943.00</p> <p>106882: 60% #Si+CCPY+</p> <p>2-3% pyrite fine disséminée.</p> <p>943.00: FIN DU TROU.</p>

MINNOVA INC. - DIVISION EXPLORATION

ECHANTILLON	DE (pi)	A (pi)	LONGUEUR (pi)	Au(1) ppb	Au(2) ppb	Au(3) ppb	Au(4) ppb	Au(NOY) ppb	Ag ppm	As ppm	Sb ppm	Mo ppm	Pb ppm	Cu(1) ppm	Cu(2) ppm	Cu(NOY) ppm	Zn(1) ppm	Zn(2) ppm	Zn(NOY) ppm	
106744	18.00	23.00	5.00	tr.				tr.						53		53	64		64	
106745	23.00	28.00	5.00	tr.				tr.						40		40	87		87	
106746	28.00	33.00	5.00	tr.				tr.						42		42	79		79	
106747	33.00	38.00	5.00	tr.				tr.						36		36	59		59	
106748	38.00	43.00	5.00	tr.				tr.						40		40	81		81	
106749	43.00	48.00	5.00	tr.				tr.						27		27	84		84	
106750	48.00	52.00	4.00	tr.				tr.						70		70	119		119	
106751	52.00	55.10	3.10	tr.				tr.						45		45	67		67	
106734	55.10	60.10	5.00	tr.				tr.						57		57	65		65	
106735	60.10	62.50	2.40	tr.				tr.						30		30	76		76	
106736	62.50	67.50	5.00	tr.				tr.						66		66	85		85	
106737	76.00	81.00	5.00	tr.				tr.						140		140	127		127	
106738	81.00	86.00	5.00	tr.				tr.						54		54	85		85	
106739	86.00	90.60	4.60	tr.				tr.						50		50	79		79	
106740	90.60	93.80	3.20	tr.				tr.						127		127	90		90	
106741	93.80	98.80	5.00	tr.				tr.						117		117	64		64	
106742	103.30	110.30	5.00	tr.				tr.						32		32	67		67	
106743	110.30	116.60	6.30	tr.				tr.						84		84	57		57	
106752	116.60	121.60	5.00	tr.				tr.						94		94	85		85	
106753	121.60	126.60	5.00	tr.				tr.						34		34	75		75	
106754	126.60	131.60	5.00	tr.				tr.						53		53	90		90	
106755	131.60	136.60	5.00	tr.				tr.						64		64	72		72	
106756	136.60	141.60	5.00	tr.				tr.						47		47	77		77	
106757	141.60	146.60	5.00	tr.				tr.						35		35	57		57	
106758	146.60	151.60	5.00	tr.				tr.						20		20	67		67	
106759	151.60	156.60	5.00	tr.				tr.						100		100	65		65	
106760	156.60	161.60	5.00	tr.				tr.						64		64	67		67	
106761	161.60	166.60	5.00	tr.				tr.						42		42	54		54	
106762	166.60	171.60	5.00	tr.				tr.						42		42	60		60	
106763	171.60	176.60	5.00	tr.				tr.						54		54	70		70	
106764	176.60	181.60	5.00	tr.				tr.						29		29	92		92	
106765	181.60	186.60	5.00	tr.				tr.						50		50	72		72	
106766	186.60	191.60	5.00	tr.				tr.						48		48	67		67	
106767	191.60	196.60	5.00	720				720						52		52	106		106	
106768	196.60	201.60	5.00	tr.				tr.						36		36	76		76	
106769	201.60	206.60	5.00	tr.				tr.						33		33	84		84	
106770	206.60	211.50	4.90	309				309						60		60	54		54	
106771	211.50	216.00	4.50	3703	4183			4103						62		62	108		108	

MINNOVA INC. - DIVISION EXPLORATION

ECHANTILLON	DE (pi)	A (pi)	LONGUEUR (pi)	Au(1) ppb	Au(2) ppb	Au(3) ppb	Au(4) ppb	Au(MOY) ppb	Ag ppa	As ppa	Sb ppa	Mo ppa	Pb ppa	Cu(1) ppa	Cu(2) ppa	Cu(MOY) ppa	Zn(1) ppa	Zn(2) ppa	Zn(MOY) ppa	
106772	216.00	220.20	4.20	tr.				tr.						47		47	43		43	
106773	220.20	225.20	5.00	tr.				tr.						21		21	56		56	
106774	225.20	230.20	5.00	tr.				tr.						47		47	57		57	
106775	230.20	232.90	2.70	206				206						72		72	80		80	
106776	232.90	237.90	5.00	tr.				tr.						35		35	42		42	
106777	237.90	242.90	5.00	tr.				tr.						30		30	37		37	
106778	242.90	247.90	5.00	tr.				tr.						37		37	34		34	
106779	247.90	252.90	5.00	tr.				tr.						30		30	37		37	
106780	252.90	257.90	5.00	tr.				tr.						32		32	36		36	
106781	257.90	262.90	5.00	tr.				tr.						27		27	26		26	
106782	262.90	267.90	5.00	tr.				tr.						29		29	25		25	
106783	267.90	272.60	4.70	tr.				tr.						34		34	30		30	
106784	272.60	277.60	5.00	tr.				tr.						64		64	50		50	
106785	277.60	282.60	5.00	tr.				tr.						90		90	44		44	
106786	282.60	286.40	3.80	tr.				tr.						56		56	41		41	
106787	286.40	289.00	2.60	tr.				tr.						78		78	42		42	
106788	289.00	294.00	5.00	tr.				tr.						51		51	33		33	
106789	294.00	299.00	5.00	tr.				tr.						32		32	29		29	
106790	299.00	305.70	6.70	tr.				tr.						32		32	27		27	
106791	305.70	310.70	5.00	tr.				tr.						90		90	51		51	
106792	310.70	315.70	5.00	tr.				tr.						100		100	60		60	
106793	315.70	320.70	5.00	tr.				tr.						62		62	57		57	
106794	320.70	325.70	5.00	tr.				tr.						96		96	52		52	
106795	325.70	330.70	5.00	tr.				tr.						240		240	45		45	
106796	330.70	335.70	5.00	tr.				tr.						230		230	44		44	
106797	335.70	340.70	5.00	tr.				tr.						167		167	44		44	
106798	340.70	344.70	4.00	tr.				tr.						100		100	39		39	
106799	344.70	347.50	2.80	tr.				tr.						100		100	42		42	
106800	347.50	353.50	6.00	tr.				tr.						66		66	36		36	
106801	353.50	355.40	1.90	tr.				tr.						37		37	31		31	
106802	355.40	360.40	5.00	tr.				tr.						170		170	62		62	
106803	360.40	365.40	5.00	tr.				tr.						130		130	50		50	
106804	365.40	367.80	2.40	tr.				tr.						66		66	51		51	
106805	367.80	372.80	5.00	tr.				tr.						50		50	36		36	
106806	372.80	377.80	5.00	tr.				tr.						52		52	37		37	
106807	377.80	382.80	5.00	tr.				tr.						62		62	47		47	
106808	382.80	387.80	5.00	tr.				tr.						36		36	37		37	
106809	387.80	392.80	5.00	tr.				tr.						36		36	39		39	

MINNOVA INC. - DIVISION EXPLORATION

ECHANTILLON	DE (pi)	A (pi)	LONGUEUR (pi)	Au(1) ppb	Au(2) ppb	Au(3) ppb	Au(4) ppb	Au(MOY) ppb	Ag ppm	As ppm	Sb ppm	Mo ppm	Pb ppm	Cu(1) ppm	Cu(2) ppm	Cu(MOY) ppm	Zn(1) ppm	Zn(2) ppm	Zn(MOY) ppm
106810	392.80	397.80	5.00	tr.				tr.						46		46	52		52
106811	397.80	402.80	5.00	tr.				tr.						81		81	54		54
106812	402.80	406.70	3.90	tr.				tr.						114		114	47		47
106813	406.70	412.10	5.40	tr.				tr.						72		72	54		54
106814	412.10	417.30	5.20	tr.				tr.						97		97	54		54
106815	420.80	423.60	2.80	tr.				tr.						192		192	62		62
106816	451.60	453.00	1.40	tr.				tr.						82		82	67		67
106817	455.60	456.60	1.00	tr.				tr.						47		47	43		43
106818	456.60	460.60	4.00	tr.				tr.						71		71	50		50
106819	460.60	464.60	4.00	tr.				tr.						80		80	46		46
106820	464.60	467.60	3.00	tr.				tr.						145		145	62		62
106821	467.60	472.30	4.70	tr.				tr.						188		188	67		67
106822	472.30	474.40	2.10	tr.				tr.						160		160	45		45
106823	474.40	479.20	4.80	tr.				tr.						37		37	37		37
106824	479.20	484.20	5.00	tr.				tr.						30		30	52		52
106825	484.20	489.30	5.10	tr.				tr.						32		32	57		57
106826	489.30	494.30	5.00	tr.				tr.						87		87	63		63
106827	494.30	499.30	5.00	tr.				tr.						181		181	76		76
106828	499.30	502.30	3.00	tr.				tr.						154		154	70		70
106829	502.30	503.50	1.20	tr.				tr.						57		57	77		77
106830	503.50	508.50	5.00	tr.				tr.						166		166	76		76
106831	508.50	513.50	5.00	tr.				tr.						280		280	107		107
106832	513.50	518.50	5.00	tr.				tr.						163		163	90		90
106833	518.50	523.50	5.00	tr.				tr.						207		207	90		90
106834	523.50	526.30	2.80	tr.				tr.						197		197	76		76
106835	526.30	531.30	5.00	tr.				tr.						190		190	76		76
106836	531.30	536.00	4.70	tr.				tr.						197		197	82		82
106837	536.00	541.00	5.00	tr.				tr.						192		192	60		60
106838	541.00	546.00	5.00	tr.				tr.						144		144	64		64
106839	554.10	556.00	1.90	tr.				tr.						147		147	104		104
106840	556.00	556.80	0.80	tr.				tr.						87		87	82		82
106841	556.80	560.40	3.60	tr.				tr.						120		120	64		64
106842	565.00	568.30	3.30	tr.				tr.						185		185	46		46
106843	568.30	568.80	0.50	tr.				tr.						194		194	76		76
106844	584.70	586.20	1.50	tr.				tr.						219		219	54		54
106845	612.70	616.60	3.90	tr.				tr.						135		135	62		62
106846	616.60	618.60	2.00	tr.				tr.						564		564	84		84
106847	618.60	621.70	3.10	tr.				tr.						142		142	66		66

MINNOVA INC. - DIVISION EXPLORATION

ECHANTILLON	DE (pi)	A (pi)	LONGUEUR (pi)	Au(1) ppb	Au(2) ppb	Au(3) ppb	Au(4) ppb	Au(NBY) ppb	Ag ppm	As ppm	Sb ppm	Mo ppm	Pb ppm	Cu(1) ppm	Cu(2) ppm	Cu(NBY) ppm	Zn(1) ppm	Zn(2) ppm	Zn(NBY) ppm	
106848	623.40	626.00	2.60	tr.				tr.						228		228	64		64	
106849	635.30	637.40	2.10	tr.				tr.						147		147	56		56	
106850	637.40	640.60	3.20	tr.				tr.						180		180	86		86	
106851	640.60	645.50	4.90	tr.				tr.						107		107	70		70	
106856	645.60	648.70	3.10	tr.				tr.						70		70	50		50	
106852	648.70	652.70	4.00	tr.				754						363		363	74		74	
106853	652.70	654.00	1.30	tr.				tr.						121		121	52		52	
106854	654.00	656.60	2.60	tr.				tr.						54		54	45		45	
106855	660.90	661.70	0.80	tr.				tr.						55		55	64		64	
106857	666.40	671.60	5.20	tr.				tr.						64		64	39		39	
106856	671.60	672.60	1.00	2057				2057						71		71	76		76	
106858	672.60	673.60	1.00	tr.				tr.						87		87	110		110	
106857	673.60	676.00	2.40	tr.				tr.						132		132	54		54	
106858	679.30	682.10	2.80	tr.				tr.						85		85	44		44	
106859	690.10	694.90	4.80	tr.				tr.						153		153	61		61	
106860	703.20	704.70	1.50	tr.				tr.						150		150	71		71	
106861	709.20	710.40	1.20	tr.				tr.						390		390	67		67	
106862	712.10	713.80	1.70	tr.				tr.						53		53	40		40	
106863	713.80	716.10	2.30	240				240						46		46	57		57	
106859	716.10	721.10	5.00	tr.				tr.						166		166	47		47	
106864	727.90	730.60	2.70	tr.				tr.						70		70	57		57	
106865	732.60	733.60	1.00	tr.				tr.						54		54	46		46	
106866	755.60	759.90	4.30	tr.				tr.						112		112	40		40	
106867	759.90	764.80	4.90	tr.				tr.						117		117	54		54	
106868	764.80	769.50	4.70	tr.				tr.						178		178	53		53	
106869	769.50	774.10	4.60	tr.				tr.						56		56	57		57	
106870	798.20	798.70	0.50	tr.				tr.						42		42	57		57	
105660	798.70	799.70	1.00	tr.				tr.						97		97	39		39	
106871	799.70	800.40	0.70	240				240						41		41	61		61	
105661	800.40	802.20	1.80	tr.				tr.						66		66	70		70	
106872	802.20	803.50	1.30	tr.				tr.						65		65	57		57	
105662	803.50	809.10	5.60	tr.				tr.						67		67	60		60	
106873	809.10	811.30	2.20	37371	1406			7400						206		206	75		75	
105663	811.30	815.30	4.00	tr.				tr.						54		54	75		75	
106874	815.30	817.00	1.70	tr.				tr.						50		50	64		64	
106875	892.40	895.50	3.10	tr.				tr.						20		20	116		116	
106876	897.30	902.60	5.30	tr.				tr.						19		19	53		53	
106877	902.60	907.20	4.60	tr.				tr.						16		16	50		50	

MINNOVA INC. - DIVISION EXPLORATION

ÉCHANTILLON	DE (pi)	A (pi)	LONGUEUR (pi)	Au(1) ppb	Au(2) ppb	Au(3) ppb	Au(4) ppb	Au(MOY) ppb	Ag ppm	As ppm	Sb ppm	Mo ppm	Pb ppm	Cu(1) ppm	Cu(2) ppm	Cu(MOY) ppm	Zn(1) ppm	Zn(2) ppm	Zn(MOY) ppm
106878	909.00	913.60	4.60	tr.				tr.						24		24	60		60
106879	916.20	918.10	1.90	tr.				tr.						26		26	52		52
106880	921.20	925.10	3.90	tr.				tr.						34		34	56		56
106881	938.10	939.00	0.90	tr.				tr.						34		34	97		97
106882	940.50	943.00	2.50	tr.				tr.						42		42	60		60

MINNOVA INC. - DIVISION EXPLORATION

COMPAGNIE : MINNOVA EXPLORATION	PROJET : ILE DPAWICA	SONDAGE : OP-09	IMPRIMÉ LE : 10/10/90																																
CANTON : LESPERANCE	RANG : -	LOT : -	CLAIM : 317226-5																																
<u>COORDONNEES AU COLLET</u>	GRILLE : LIGNE : 16+00E STATION : 11+40N	LATITUDE : 1140.00 LONGITUDE : 1600.00 ELEVATION : 70.00	AZIMUT : 225 0' PLONGEE : -70 0'																																
<u>PROFONDEUR</u>	AU DEPART : 0.00	FIN DE TROU : 1286.00	TUBAGE LAISSE (?) : Oui																																
GEOLOGUE : H. BRISSON, P. GIRARD			DATE DU JOURNAL : 17 juin 90																																
CONTRACTEUR : FORAGE BELAND			FORAGE DEBUTE LE : 17 juin 90																																
BUT : Tester le coté sud de la zone aurifère B en profondeur.			TERMINE LE : 27 juin 90																																
<u>DONNEES D'ORIENTATION</u>																																			
<table border="1"> <thead> <tr> <th>Longueur</th> <th>Azimat</th> <th>Plongée</th> <th></th> </tr> </thead> <tbody> <tr> <td>0.00</td> <td>225 0'</td> <td>-70 0'</td> <td></td> </tr> <tr> <td>201.00</td> <td>230 0'</td> <td>-72 0'</td> <td></td> </tr> <tr> <td>400.00</td> <td>*232 26'</td> <td>-72 0'</td> <td></td> </tr> <tr> <td>611.00</td> <td>235 0'</td> <td>-72 0'</td> <td></td> </tr> <tr> <td>800.00</td> <td>*237 38'</td> <td>-73 0'</td> <td></td> </tr> <tr> <td>971.00</td> <td>240 0'</td> <td>-73 0'</td> <td></td> </tr> <tr> <td>1281.00</td> <td>245 0'</td> <td>-72 0'</td> <td></td> </tr> </tbody> </table>				Longueur	Azimat	Plongée		0.00	225 0'	-70 0'		201.00	230 0'	-72 0'		400.00	*232 26'	-72 0'		611.00	235 0'	-72 0'		800.00	*237 38'	-73 0'		971.00	240 0'	-73 0'		1281.00	245 0'	-72 0'	
Longueur	Azimat	Plongée																																	
0.00	225 0'	-70 0'																																	
201.00	230 0'	-72 0'																																	
400.00	*232 26'	-72 0'																																	
611.00	235 0'	-72 0'																																	
800.00	*237 38'	-73 0'																																	
971.00	240 0'	-73 0'																																	
1281.00	245 0'	-72 0'																																	
(*) azimat estimé																																			

MINNOVA INC. - DIVISION EXPLORATION

DE (pi)	A (pi)	TEXTURE ET STRUCTURE	ALÉRATION	MINÉRALISATION
0.00	20.00	<p>NT</p> <p>MORT-TERRAIN</p>		
20.00	226.20	<p>ISA(CLSi)?(BO)</p> <p>GABBRO</p> <p>I.C. ≈ 50</p> <p>Gris foncé, homogranulaire, phanéritique fin (≤ 1mm), à texture généralement indistincte. Texture intergranulaire distincte localement. 2 à 5% d'illéénite primaire.</p> <p>Roche généralement massive, non déformée et non schisteuse.</p> <p>Aspect chloritisé et silicifié (Si+? cornéenne.) Plusieurs passages centimétriques-décimétriques carbonatés et pyriteux. ≈ 2% veinules de calcite. La roche contient au moins localement 1-2% porphyroblastes disséminés de biotite. Leur concentration est variable. Les intervalles plus finement grenus semblent contenir passablement de biotite (± riebeckite locale) dans la matrice selon leur couleur gris-brun foncé, localement avec teinte bleutée.</p> <p>Traces à 2% de pyrite fine à moyenne distribuée erratiquement et associée à des veinules de calcite.</p>		<p>20.00 - 23.00</p> <p>105304: CB(Si)PY/vBZCBB</p> <p>Altération crème verdâtre en carbonates de fer et silice associée à ≈5% de veinules de quartz-carbonates-calcite; AC: 70%.</p> <p>≈2% pyrite fine et moyenne (≤ 3mm) disséminée et sous forme de veinules.</p>

MINNOVA INC. - DIVISION EXPLORATION

DE (pi)	A (pi)	TEXTURE ET STRUCTURE	ALTÉRATION	MINÉRALISATION
			<p>23.00 - 28.00</p> <p>105305: I3APY</p> <p>33.10 - 38.10</p> <p>105306: I3APY</p> <p>38.10 - 38.60 CBCC(SI)(PY)</p> <p>105307:</p> <p>Altération crème verdâtre en calcite, carbonates de fer et silice. Roche non foliée. Brèche à quartz sur lca; AC: 55°.</p> <p><11 pyrite fine disséminée.</p> <p>38.60 - 43.60</p> <p>105308: I3A</p>	
			<p>48.80 - 50.00</p> <p>105310: CBCC(SI)PY/vQZ</p> <p>Altération crème verdâtre en carbonates, calcite et silice associée à une veinule de quartz (AC: 80°) bréchique.</p>	<p>43.80 - 48.80</p> <p>105309: I3APY</p> <p>21 pyrite fine et moyenne associée à l'altération.</p>
				<p>50.00 - 55.00</p>

MINNOVA INC. - DIVISION EXPLORATION

DE (pi)	A (pi)	TEXTURE ET STRUCTURE	ALTERATION	MINERALISATION
			<p>55.00 - 59.00</p> <p>105312: I3A(PY)</p> <p>59.80 - 64.80</p> <p>105314: I3A(PY)</p> <p>84.70 - 89.70</p> <p>105315: I3A(PY)</p> <p>90.60 - 95.60</p> <p>105317: I3APY</p> <p>103.00 - 108.00</p>	<p>105311: I3APY+</p> <p>59.00 - 59.80</p> <p>105313: CBCC(Si)PY/vQZ=</p> <p>Altération crème verdâtre en carbonates, calcite et silice associée à un cisaillement quartzique $\approx 1.5\sigma$ (AC: 65°)</p> <p>$\leq 2\%$ pyrite en amas dans le cisaillement.</p> <p>89.70 - 90.60</p> <p>105316: CBCC(Si)PY/vQZ</p> <p>Idea. Veinules de quartz. Roche non foliée.</p> <p>$\approx 2\%$ pyrite disséminée et sous forme de veinules.</p>

MINNOVA INC. - DIVISION EXPLORATION

DE (pi)	A (pi)	TEXTURE ET STRUCTURE	ALTERATION	MINERALISATION
			<p>105318: I3A(PY)</p> <p>109.80 - 110.50</p> <p>105320: I3A(PY)</p> <p>110.50 - 110.90 CBCC(Si)PY/vQZ</p> <p>105321:</p> <p>Idem à 48.00-50.00 A.C.vQZ: 60°.</p> <p>110.90 - 115.10</p> <p>105322: I3APY</p> <p>zIY pyrite fine disséminée.</p> <p>115.10 - 115.40</p> <p>105323: CBCC(Si)PY/vQZ</p> <p>Idem à 59.00-59.80 AC.BZv: 35°.</p> <p>115.40 - 117.50</p> <p>105324: I3A(PY)</p> <p>zIY pyrite fine disséminée.</p>	<p>108.00 - 109.80</p> <p>105319: CBCC(Si)PY/vQZ</p> <p>Idem à 59.00-59.80 AC: BZ, 35°.</p> <p>zI-ZI pyrite disséminée et en bandes accolées à la veine de quartz.</p>

MINNOVA INC. - DIVISION EXPLORATION

DE (pi)	A (pi)	TEXTURE ET STRUCTURE	ALTERATION	MINÉRALISATION
		119.00 - 160.00 I2(+JFP(AM)SI?	118.10 - 119.00	117.50 - 118.10 105325: CBCC(Si)PY/vBZ Idem à 48.80-50.00 ±2% pyrite fine et moyenne disséminée.
		<p>Intrusion intermédiaire porphyrique à phénocristaux de plagioclase et d'amphibole. ± 40% de phénocristaux automorphes de plagioclase (2-4mm) souvent zonés. ± 5% phénocristaux ± 1mm d'amphibole. Matrice phanéritique fine, de composition felsique et de couleur grise.</p> <p>Plusieurs zones centimétriques d'altération gris pâle beige en carbonates de fer, calcite et silice associées à des veinules de quartz-calcite. Cette subunité n'est pas biotisée.</p> <p>Roche généralement massive, non déformée.</p> <p>±1% pyrite associée aux zones d'altération.</p>	<p>123.00 - 124.20</p> <p>105327: CBCC(Si)(PY)/vBZCC</p> <p>AC. v(BZCC): 55 à 80%.</p> <p>Traces de pyrite.</p>	

MINNOVA INC. - DIVISION EXPLORATION

DE (pi)	A (pi)	TEXTURE ET STRUCTURE	ALTERATION	MINÉRALISATION
			<p>126.70 - 128.70</p> <p>105328: 50% CBCC(Si)/vQZCC</p> <p>1% veinules de quartz-calcite.</p> <p>137.20 - 138.20</p> <p>105329: CBCC(Si)PY/vQZ</p> <p>1% veinules de quartz-calcite.</p> <p>1% de pyrite grossière sous forme d'amas.</p> <p>142.10 - 146.00</p> <p>105330: CBCC(Si)/vQZCC</p> <p>Traces pyrite.</p> <p>151.60 - 155.22</p> <p>105331: CBCC(SiFC)/vQZCC</p> <p>Traces de fuchsite.</p> <p>≤ 1% pyrite accolée aux veinules de quartz.</p> <p>160.00 - 163.00</p> <p>105332: 13A/PY</p> <p>163.00 - 169.70</p> <p>13A/CBCC/vQZCC et CH/CC</p> <p>Altération beige en carbonates et calcite de 163.00 à 164.60. Veine de quartz-calcite entre 164.60 et 165.10. Roche</p>	

MINNOVA INC. - DIVISION EXPLORATION

DE (pi)	A (pi)	TEXTURE ET STRUCTURE	ALTÉRATION	MINÉRALISATION
			<p>siliceuse grise, laminaire et calcitique: chert probable. I3A folié et fracturé en bordure de la veine de (QZ-CC). CH avec laminations plissées.</p> <p>±I pyrite fine dans des veinules de calcite et près de la veine de (QZ-CC)</p> <p>105333: 163.00 à 165.10: I3A/CBCC(PY)/vQZCC 105334: 165.10 à 169.70: CH/CCPY</p>	<p>169.70 - 183.40</p> <p>PY+</p> <p>I3A avec 2 à 5I de pyrite fine et moyenne associée à des veinules de calcite.</p> <p>105335: 169.70-174.70: I3APY+ 105336: 174.70-179.70: Idem 105337: 179.70-183.40: I3ACL+PY+</p> <p>183.40 - 185.70 CBCCSI/vQZABCC</p> <p>105338:</p> <p>Altération gris pâle en carbonates de fer, calcite et silice accompagnées de ± 5I de veinules de quartz-albite-calcite.</p> <p>1 à 2I de pyrite fine disséminée.</p> <p>185.70 - 190.80</p> <p>105339: I3A-/CLPY+</p> <p>Gabbro ± chloritisé et folié. Foliation faible jusqu'à mylonitique.</p>

MINNOVA INC. - DIVISION EXPLORATION

DE (pi)	A (pi)	TEXTURE ET STRUCTURE	ALTERATION	MINÉRALISATION
		<p>190.80 - 226.20 I3A1(B0)</p> <p>GABBRO (LEUCOCRATE)</p> <p>I.C. 265</p> <p>Couleur gris foncé. Phanéritique fin (20,5mm) et homogranulaire. Granulométrie plus fine et tendance leucocrate par rapport au gabbro précédent (20.0) Texture plutôt dioritique. Plusieurs passages décimétriques-métriques de I3A semblable au précédent (20.0)</p> <p>Roche généralement massive, non déformée.</p> <p>Quelques zones altérées en calcite. Quelques fractures soudées avec lessivage des minéraux mafiques et remplissage de pyrrhotite. Aspect généralement siliceux (Si+ ou cornéenne?). Couleur gris-brun de la matrice suggère la présence de biotite très fine.</p> <p>194.30 - 195.40 I2(+JFP(M)Si?</p> <p>Idem à 119.00-160.00.</p> <p>206.20 - 208.10</p> <p>I3A semblable à 20.0.</p>	<p>191.70 - 194.30</p> <p>105340: I3A1(P0)</p> <p>Si pyrrhotite associée à des fractures soudées.</p> <p>205.00 - 209.00</p> <p>105341: I3A1(P0)</p>	<p>23I pyrite fine et moyenne sous forme d'amas.</p>

MINNOVA INC. - DIVISION EXPLORATION

DE (pi)	A (pi)	TEXTURE ET STRUCTURE	ALTÉRATION	MINÉRALISATION
		<p>209.00 - 220.80</p> <p>I3A semblable à 20.0.</p>	<p>209.00 - 214.00</p> <p>105342: I3A(P0)</p> <p>Si pyrrhotite associée à du remplissage de fractures.</p> <p>214.00 - 219.00</p> <p>105343: I3A(P0)</p> <p>219.00 - 220.80</p> <p>105344: I3A(P0)</p> <p>220.80 - 226.20</p> <p>105345: I3A1</p>	
226.20	1286.00	<p>V3A1.JFPAB+80-80+</p> <p>BASALTE PORPHYRIQUE A PLAGIOCLASE</p> <p>Gris foncé. Phanéritique fin et aphanitique. Porphyrique à phénocristaux de plagioclase (21-2mm). Hétérogène, de 0 à 20% de phénocristaux.</p> <p>La texture porphyrique devient plus floue en profondeur.</p> <p>Roche généralement massive et non schisteuse.</p> <p>Aspect siliceux (Si+? cornéenne?)</p>		

MINNOVA INC. - DIVISION EXPLORATION

DE (pi)	A (pi)	TEXTURE ET STRUCTURE	ALTERATION	MINERALISATION
		<p>40Z AB+: albitisation très irrégulière, en passages centimétriques-décimétriques vert pâle et beige (lessivage des minéraux mafiques), et qui est associée à des fractures soudées. Ces passages diminuent en profondeur et à partir de 896.00 sont absents. Quelques zones décimétriques carbonatées avec veinules de quartz. De nombreux intervalles possèdent une coloration nettement brune, et par endroits il y aurait 10-15Z ou plus de biotite très fine dans la matrice. Les zones d'albite effacent, et succèdent donc à la biotite. La biotisation semble variable, soit formant de 2-20Z de la roche environ.</p>	<p>226.20 - 228.50 105346: V3ALJFP 228.50 - 232.20 105347: CC/vQZvCC Altération gris pâle en calcite associée à ± 5Z de veinules de calcite et de quartz subparallèles AC.(v): 60°. 250.20 - 255.20 105348: V3A ±30Z(SiAB)+? 255.20 - 258.00 105349: CCSi(CB)(PY)/vQZvCC Altération gris pâle beige en calcite, carbonates de fer et silice associée à quelques veinules de quartz et de calcite. <1Z de pyrite fine disséminée. 258.00 - 263.00 105350: V3A ±40ZAB+</p>	

MINNOVA INC. - DIVISION EXPLORATION

DE (pi)	A (pi)	TEXTURE ET STRUCTURE	ALTÉRATION	MINÉRALISATION
		300.40 - 304.50 I4N	<p>276.00 - 281.00</p> <p>105351: V3A ±10%AB+</p> <p>281.00 - 286.60</p> <p>105352: CCSi(CB)(PY)</p> <p>Altération gris pâle en calcite, carbonate de fer et silice.</p> <p><1% de pyrite fine disséminée.</p> <p>286.60 - 290.70</p> <p>105353: V3A ±25%+(SiAB)</p> <p>290.70 - 292.10</p> <p>105354: CCSi(CB)(PY)</p> <p>Idem à 281.00-286.60.</p>	
		<p>Dyke (1cm de lamprophyre à faible A.C.: ±10%. ±30% phénocristaux d'olivine (±1-3mm). Matrice calcitique, phanéritique fine. Bordures figées. Epontes chloritisés sur quelques millimétriques.</p> <p>Roche non déformée.</p>	<p>300.40 - 304.50</p> <p>105355: ±5% I4N/CC+</p> <p>305.20 - 306.80</p>	

MINNOVA INC. - DIVISION EXPLORATION

DE (pi)	A (pi)	TEXTURE ET STRUCTURE	ALTÉRATION	MINÉRALISATION
			<p>105356: 40% CC+CB+SiPY/v(QZAB)</p> <p>~40% d'altération forte en carbonates de fer, calcite et silice associées à 5% de veinules de quartz-albite.</p> <p>Roche non foliée.</p> <p>~ 2% pyrite fine disséminée en association avec la roche altérée.</p> <p>317.10 - 317.80</p> <p>105404: CBCC(Si)(PY)/v(CCQZ)</p> <p>Altération beige et gris pâle en carbonates, calcite et silice associées à ~ 5% de veinules de calcite et quartz.</p> <p>~ 1% de pyrite fine disséminée.</p> <p>356.40 - 359.40</p> <p>105405: CC+Si(PY)(ABEPM)/vCC</p> <p>Altération gris pâle en calcite et silice et altération vert pâle et rouge erratique en albite, épidote et hématite 25% CC+Si, 25% (ABEPM) Quelques veinules de calcite.</p> <p>~1% de pyrite fine disséminée en association avec l'altération en CC+Si.</p> <p>371.20 - 375.20</p> <p>105357: V3A</p>	<p>375.20 - 375.70</p> <p>105358: ~50%CBCC(Si)PY/vQZ(CC)</p>

MINNOVA INC. - DIVISION EXPLORATION

DE (pi)	A (pi)	TEXTURE ET STRUCTURE	ALTERATION	MINERALISATION
			<p>375.70 - 379.70</p> <p>105359: V3A(vCC)</p> <p>393.20 - 393.90</p> <p>105360: CC/vCC</p> <p>Altération gris pâle en calcite associée à quelques veinules de calcite.</p> <p>400.80 - 402.00</p> <p>105361: CC+/v02CC</p> <p>Altération gris pâle et crème en calcite associée à 5% de veinules de quartz-calcite.</p> <p>442.70 - 448.00</p> <p>105362: (CC)</p> <p>≈20% de faible altération en calcite.</p> <p>493.00 - 496.00</p> <p>105363: V3A(PY)</p>	<p>≈50% d'altération beige et gris pâle en carbonates de fer, calcite et silice associées à une veinule de quartz-calcite. Roche non foliée.</p> <p>1-2% pyrite fine et moyenne associée à l'altération.</p> <p>496.00 - 498.40 CC+SiCL90(RB)PY</p>

MINNOVA INC. - DIVISION EXPLORATION

DE (pi)	A (pi)	TEXTURE ET STRUCTURE	ALTERATION	MINÉRALISATION
			<p>498.40 - 500.50</p> <p>105365: #CLB0(RB)</p> <p>502.60 - 507.60</p> <p>105367: CLB0(RB)</p> <p>507.60 - 566.30 (HM) (PYPD)</p> <p>Faible altération hématitique rougeâtre associée à l'altération calcitique parfois associée.</p> <p>Pyrite et pyrrhotite souvent associées aux altérations en ABHM, parfois en dissémination dans la roche «fraîche».</p>	<p>105364:</p> <p>Forte altération grise, en calcite et silice associée à des fractures soudées. Roche bréchique localement.</p> <p>1-2% de pyrite très fine disséminée.</p> <p>500.50 - 502.60 CC+SICLB0(RB)/vCCPYvCCBZ</p> <p>105366:</p> <p>Forte altération grise en calcite et silice associée à des fractures soudées, des veinules de calcite et de quartz et une veine de calcite située entre 502.00 et 502.20, ±10% de fragments millimétriques-centimétriques bréchiques de l'encaissant inclus dans la veine de calcite.</p> <p>1-2% de pyrite fine disséminée dans la roche altérée et la veine de calcite.</p>

MINNOVA INC. - DIVISION EXPLORATION

DE (pi)	A (pi)	TEXTURE ET STRUCTURE	ALTERATION	MINERALISATION
			<p>507.60 - 512.60</p> <p>105368: (HMPY)</p> <p>512.60 - 517.60</p> <p>105369: (HMPY)</p> <p>517.60 - 522.60</p> <p>105870: (HMPY)</p> <p>522.60 - 527.60</p> <p>105371: (HMPOPY)</p> <p>527.60 - 532.60</p> <p>105372: (HMPY)</p> <p>563.30 - 565.30</p> <p>105373: V3A(HM)</p> <p>565.30 - 566.30 70% CC(CBSi)/vCC</p> <p>105374:</p> <p>70% d'altération beige en calcite, carbonates et silice associés à des fractures soudées. Quelques veinules de calcite.</p> <p>21% de pyrite très fine disséminée dans la roche altérée.</p> <p>566.30 - 781.60 (*)80</p> <p>Faible déformation. On peut discerner localement une faible foliation (AC<20°) et un faible étirement des passages</p>	

MINNOVA INC. - DIVISION EXPLORATION

DE (pi)	A (pi)	TEXTURE ET STRUCTURE	ALTÉRATION	MINÉRALISATION
			<p>d'altération en albite. Altération en albite. Altération en albite plus importante avec des passages atteignant le mètre. Plusieurs veinules d'albite espacées millimétriques, subparallèles à la foliation et recoupant les passages irréguliers d'altération en albite (veinules tardives par rapport à cette altération.)</p> <p>566.30 - 572.20</p> <p>105664: V3AL.JFP(=)AB+CL</p> <p>Roche moyennement chloritisée. Alignement de chlorite définit plans de foliation à $\approx 15^\circ$AC. Albite moyenne à intense en taches centimétriques irrégulières superposées à la foliation et la chlorite résulte en une coloration vert pâle. Phénocristaux de feldspath encore présents, mafiques oblitérés.</p> <p>595.40 - 611.40 $\approx 75\%$AB++/±CBCC/vQZvCC</p> <p>$\approx 75\%$ d'altération très forte en albite; quelques passages calcitiques; un passage décimétrique à carbonates de fer, calcite et silice associées à une veine de quartz (605.70 à 605.90); une veine de calcite (610.30 à 610.40).</p> <p>Traces de pyrite dans la roche altérée près des veines.</p> <p>105375: 595.40-600.40: $\approx 75\%$ AB++ 105376: 600.40-605.40: $\approx 75\%$ AB++/CC 105377: 605.40-611.40: $\approx 75\%$ AB++/±CBCC(PY)/vQZCC</p> <p>620.70 - 624.20</p> <p>105378: =CC(PY)/vCC</p> <p>Cisaillement millimétrique AC: $\approx 5^\circ$. Altération partielle en calcite. Un passage de 10cm avec forte altération en calcite. Quelques veinules de calcite.</p>	

MINNOVA INC. - DIVISION EXPLORATION

DE (pi)	A (pi)	TEXTURE ET STRUCTURE	ALTERATION	MINÉRALISATION
			<p>Traces de pyrite associée à l'altération en calcite.</p> <p>642.30 - 646.00</p> <p>105379: (SiPY)</p> <p>Faible silicification de couleur grise.</p> <p><1% de pyrite fine disséminée.</p>	<p>646.00 - 647.40</p> <p>105380: M1SCCBHM(EP)/vQZCC</p> <p>Altération très forte de couleur rouge pâle, avec calcite, carbonates de fer, hématite et silice 25% de d'épidote associée à des veinules de quartz-calcite. Texture bréchique localement discernée.</p> <p>5% de pyrite fine et moyenne (52mm) disséminée.</p>
			<p>647.40 - 652.40</p> <p>105381: V3A(CC)</p> <p>663.10 - 668.10</p> <p>105382: V3A</p> <p>668.10 - 673.00</p> <p>105383: CC(SiPY)/vQZ</p> <p>Altération gris pâle en calcite et silice associées à 20% de veines centimétriques de quartz blanc grisâtre.</p> <p>5% de pyrite très fine disséminée.</p>	

MINNOVA INC. - DIVISION EXPLORATION

DE (pi)	A (pi)	TEXTURE ET STRUCTURE	ALTE'RATION	MINERALISATION
			<p>673.00 - 678.00</p> <p>105384: V3A</p> <p>698.90 - 702.00</p> <p>105385: =CLSi(PY)</p> <p>Passage chloriteux déformé, folié. Possibilité de débit schisteux. Aspect siliceux (Si+? cornéenne?) Bandes d'altération en albite.</p> <p>±11 de pyrite fine disséminée.</p> <p>705.80 - 706.60</p> <p>105386: CLSi(PY)</p> <p>Passage chloriteux et d'aspect siliceux (Si+, cornéenne?)</p> <p>Traces de pyrite fine.</p> <p>710.10 - 715.10</p> <p>105387: V3A</p> <p>715.10 - 717.70</p> <p>105388: CC(HMSiPY)/vOZ</p> <p>Altération en calcite et localement en hématite. Roche d'aspect siliceux. 20% de veine de quartz blanc et grisâtre.</p> <p>±11 de pyrite fine disséminée.</p> <p>717.70 - 722.70</p>	

MINNOVA INC. - DIVISION EXPLORATION

DE (pi)	A (pi)	TEXTURE ET STRUCTURE	ALTÉRATION	MINÉRALISATION
		<p>737.00 - 752.60 V1/c?V3A</p> <p>Passage massif à grains fins, avec très peu d'altération en albite (<5%). Couleur gris foncé brunâtre. Tuf? basalte?</p>	<p>105389: V3A</p> <p>725.00 - 729.80</p> <p>105390: (CCSiPY)/SI+VQZ</p> <p>Faible altération en calcite et silice et <5% de veinules et veines de quartz.</p> <p>Traces de pyrite près des veines.</p>	
		<p>781.60 - 807.80 I2J1.JFP(M)(CLSi)</p> <p>Intrusion intermédiaire porphyrique à phénocristaux de plagioclase et d'amphibole. < 40% de phénocristaux de plagioclase, <1-4mm, souvent zonés, <5% de phénocristaux</p>	<p>752.60 - 755.50</p> <p>105391: CL(PY)</p> <p>Passage chloriteux vert foncé, faiblement folié.</p> <p><1% de pyrite fine disséminée.</p> <p>762.30 - 767.50</p> <p>105392: (=)CL(PY)</p> <p>Passage chloriteux, vert foncé, folié mais sans débit schisteux.</p> <p><1% de pyrite moyenne (<1-3mm) localement.</p>	

MINNOVA INC. - DIVISION EXPLORATION

DE (pi)	A (pi)	TEXTURE ET STRUCTURE	ALÉRATION	MINÉRALISATION
		<p>d'amphibole (14mm). Matrice à grains fins, de couleur gris noirâtre et de composition felsique/intermédiaire, chloriteuse non rayable. Quelques enclaves millimétriques-centimétriques de roches mafiques. Quelques veinules de calcite.</p> <p>Faible hématitisation localement.</p> <p>807.80 - 824.80 V3A2V\c</p> <p>RocHe massive à grains fins et de couleur gris foncé. Pas d'altération en albite. Basalte? tuf?.</p> <p>824.80 - 872.20 12J(.JFP(AM)(CLS1)</p> <p>Idem à 781.60-807.80</p> <p>Quelques veinules d'épidote et de calcite-hématite.</p>	<p>796.00 - 798.20</p> <p>105393: (HM)/v0ZvCC</p> <p>Veine de quartz gris finement grenue.</p> <p>803.40 - 804.30</p> <p>105394: (CC)/vCC</p> <p>Faible altération en calcite. Quelques veinules de calcite.</p> <p>824.80 - 833.00 CC/vCC</p> <p>Altération en calcite et plusieurs veinules <mm de calcite.</p> <p>824.80 - 829.80</p>	

MINNOVA INC. - DIVISION EXPLORATION

DE (pi)	A (pi)	TEXTURE ET STRUCTURE	ALTÉRATION	MINÉRALISATION
		878.20 - 884.60 12JL JFP (AM) (CLS1)	<p>105395: CC+/vCC 836.00 - 837.00</p> <p>105396: CC/vCC Altération en calcite et quelques veinules de calcite. 847.20 - 852.40</p> <p>105397: 5I vCCHNvEPC 866.30 - 869.00</p> <p>105398: (CC)/3IvQZ Faible altération en calcite et 3I de veines de veinules de quartz. 872.20 - 873.00</p> <p>105399: CC(HN)/vQZ Altération en calcite et hématite (faible) au contact avec l'intrusion. Veine de quartz bréchique de 2cm. 873.00 - 878.20</p> <p>105400: V3AAB+CL(PY) Basalte porphyrique albitisé à 70I et déformé. Altération en chlorite près du contact à 878.20. 5I de pyrite dans la roche chloriteuse près du contact à 878.20.</p>	

MINNOVA INC. - DIVISION EXPLORATION

DE (pi)	A (pi)	TEXTURE ET STRUCTURE	ALTÉRATION	MINÉRALISATION
		Idem à 781.60-824.80	883.40 - 884.60	
		884.60 - 893.00 V3A?V\c?	105401: CC(EP)vQZ	
		Idem à 807.80-824.80 Roche plus ou moins foliée.	Altération en calcite et localement en épidote ±15% de veines de quartz.	
			884.60 - 887.00	
			105402: =CL	
			Foliation marquée près du contact à 884.60.	
			892.20 - 893.00	
			105403: CC(HM)/vQZCC	
			Altération en calcite et ±10% d'hématitisation le long des veinules de quartz.	
			Traces de pyrite très fine.	
		893.00 - 923.00 I2J(+JFP(AM)(CLS1)		
		Idem à 781.60-824.80.	920.60 - 921.70	
			105406: /\HM+(DM?)vQZ	
			Environ 10% de veinules de quartz de 2-4mm irrégulières	

MINNOVA INC. - DIVISION EXPLORATION

DE (pi)	A (pi)	TEXTURE ET STRUCTURE	ALTÉRATION	MINÉRALISATION
		<p>928.70 - 1015.00 I2JC.JFP(MB)(SICL)</p> <p>Diorite porphyrique similaire à auparavant sauf faiblement magnétique à très faiblement là où l'hématite est notable. Contact 26°AC.</p> <p>Fracturation faible définie par très minces veinules de calcite et quartz, (± chlorite).</p> <p>Altération en silice et chlorite faible sur l'ensemble de l'intervalle sauf où oblitéré par l'hématite. Chlorite et hématite variables, feldspath de teinte rosé à rouge presque brique.</p>	<p>bréchifiant la roche en fragments arrondis jusqu'à 2-3cm. Texture porphyrique reconnaissable.</p> <p>Hématite forte de la diorite.</p> <p>921.70 - 923.00</p> <p>105407: M15#DM(EP)/\</p> <p>Zone à contact net à protolithe incertain (texture intrusive?) grena flow (2-3mm) à grain vert beige difficilement distinguable de la matrice, avec intervalle de 5" bréchique à veines très irrégulières (<1cm) de quartz- feldspath? dolomie?.</p> <p>Altération en dolomie moyenne et épidote faible.</p> <p>923.00 - 928.70</p> <p>V3AC.JFP(MB)(#)(CLSi)</p> <p>Basalte porphyrique similaire à auparavant sauf faiblement magnétique avec environ 2% de fines veinules de calcite irrégulières et discontinues.</p> <p>949.00 - 951.90</p>	

MINNOVA INC. - DIVISION EXPLORATION

DE (pi)	A (pi)	TEXTURE ET STRUCTURE	ALTÉRATION	MINÉRALISATION
			<p>105408: I2JL.JFP(MG)(#)HM(Si)(PY)vCC</p> <p>Hématite moyenne, silice faible?.</p> <p>Traces à 0,5% de pyrite très fine.</p> <p>951.90 - 954.60</p> <p>105409: I2JL.JFP(MG)(#)(HMSiCL)</p> <p>Hématite et silice faibles, probablement chlorite.</p> <p>Pyrite légèrement supérieure à traces.</p> <p>954.60 - 957.10</p> <p>105410: M15HM+vCCCLQZ</p> <p>Protolithe difficilement reconnaissable.</p> <p>Pyrite légèrement supérieure à traces.</p> <p>957.10 - 961.00</p> <p>105411: I2JL.JFP(MG)(#)(HMSiCL)vCCvQZ</p> <p>Veinules de quartz <6mm recoupées par minces veinules de calcite.</p> <p>Pyrite légèrement supérieure à traces.</p> <p>961.00 - 963.20</p> <p>105412: Iden</p> <p>963.20 - 965.80</p>	

MINNOVA INC. - DIVISION EXPLORATION

DE (pi)	A (pi)	TEXTURE ET STRUCTURE	ALTERATION	MINERALISATION
			<p>105413: I2J(.JFP(MG)(#)HM(Si)vCCvQZ</p> <p>Pyrite légèrement supérieure à traces.</p> <p>965.80 - 986.80 (HM)</p> <p>Hématite faible à très faible.</p> <p>982.70 - 984.90</p> <p>105414:</p> <p>Traces à 0,5% de pyrite très fine.</p> <p>986.90 - 988.60</p> <p>105415: I2J(.JFP(MG)HM(SiCL)(PY)vCC</p> <p>Très faiblement magnétique. Texture intrusive assez oblitérée.</p> <p>Surtout hématite entre moyenne et forte. Silice diffuse et chloritisation des mafiques.</p> <p>Jusqu'à 1% de pyrite très fine où l'hématite est plus forte.</p> <p>988.60 - 992.50</p> <p>105416: I2J(.JFP(MG)(#)Si(HMCCCL)(PY)vCC</p> <p>Traces à 0,5% de pyrite très fine localement.</p> <p>992.50 - 998.00</p> <p>105417: I2J(.JFP(MG)(#)Si(HMCCCL)(PY)vCC</p>	

MINNOVA INC. - DIVISION EXPLORATION

DE (pi)	A (pi)	TEXTURE ET STRUCTURE	ALTÉRATION	MINÉRALISATION
		<p>998.00 - 999.40 I4NHGCCBOvCCQZ</p> <p>Dyke de lamprophyre composé de 50% de biotite? hypidiomorphe de 2-3mm avec calcite interstitielle. Foliation à 18°AC.</p> <p>1004.40 - 1004.50 I4NHGBOCC</p> <p>Dyke lamprophyre idem à contact très irrégulier. Texture intrusive assez oblitérée.</p> <p>1010.90 - 1012.50 I2JC.JFP(MG)¶</p> <p>Mélange de diorite altérée et de lamprophyre similaire sauf moins biotitique.</p>	<p>Texture assez oblitérée. Contact inférieur avec 15% de veinules <1cm de quartz + chlorite.</p> <p>999.40 - 1004.40</p> <p>105418: I2JC.JFP(¶)Si(HMCC)(CL)(PY)vCC</p> <p>Traces à 1% de pyrite très fine.</p> <p>1006.40 - 1010.90</p> <p>105420: I2JC.JFP(MG)(¶)SiHM(CL)?(PY)vCC</p> <p>Traces à légèrement supérieure à traces de pyrite très fine.</p>	<p>1004.40 - 1006.40</p> <p>105419: I2JC.JFP(MG)¶+SiHM(CL)PYvQZvCC</p> <p>Jusqu'à 2% de pyrite très fine disséminée irrégulière.</p>

MINNOVA INC. - DIVISION EXPLORATION

DE (pi)	A (pi)	TEXTURE ET STRUCTURE	ALTERATION	MINERALISATION
		1015.00 - 1173.70 V3AC.JFP(MG)(#)(CLSI)vCC	<p>1010.90 - 1012.50</p> <p>105421: I2JL.JFP(MG)#SiHM(PY)/I4NMGCCB0</p> <p>1012.50 - 1015.00</p> <p>105422: I2JL.JFP(MG)(#)(SiHM)(PY)vFP(QZCC)vCC</p> <p>Texture ± oblitérée. Fracturation forte sur premier 7", définie par veinules de 34mm de FP ± QZ ± CC.</p> <p>Traces à 1% de pyrite très fine.</p>	
		<p>Retour au basalte porphyrique, sauf teinte plus pâle, à texture assez oblitérée, faiblement magnétique. Fracturation généralement faible définie par veinules de calcite.</p> <p>Altération en chlorite entre faible et moyenne, oblitère phénocristaux. Faible silicification d'après la dureté.</p>	<p>1015.00 - 1018.00</p> <p>105423: V3AN+CCEPAB?PY</p>	<p>1015.00 - 1021.50 CCEPAB</p> <p>Altération diffuse centimétrique à partir des veinules irrégulières en calcite épidote albite?, hématite très faible locale. Veinules de FP(QZCC)</p> <p>Pyrite très fine variable, jusqu'à 10% sur 1 pied, en moyenne 2-3%. Souvent associée à l'altération de veinules.</p>
			1018.00 - 1020.50	

MINNOVA INC. - DIVISION EXPLORATION

DE (pi)	A (pi)	TEXTURE ET STRUCTURE	ALTERATION	MINERALISATION
		<p>1057.00 - 1057.20 vCC(NM)PY(I4P?)</p>	<p>105424: Idem.</p> <p>1020.50 - 1021.50</p> <p>105425: V3A#HMCC(PY)vCC</p> <p>Traces à 1I de pyrite.</p> <p>1021.50 - 1026.20</p> <p>105426: V3A(L.JFP)?CL(Si)(PY)vCC</p> <p>Phénocristaux oblitérés.</p> <p>Chlorite moyenne et silice faible (± rayable).</p> <p>Traces à 0,5I de pyrite fine.</p> <p>1041.60 - 1045.00</p> <p>105427: V3AAB+(EP)vCC</p> <p>Lessivage défini par minéraux mafiques remplacés par albite-épidote.</p> <p>1045.00 - 1046.20</p> <p>105428: V3A(MG)#(CLSi)vCCPY</p> <p>Pyrite fine (±1I) associée aux veinules de calcite dendritiques.</p> <p>1046.20 - 1046.70</p> <p>105429: V3A?HM(Si)HM?</p>	

MINNOVA INC. - DIVISION EXPLORATION

DE (pi)	A (pi)	TEXTURE ET STRUCTURE	ALTÉRATION	MINÉRALISATION
		<p>Injection de calcite mauvâtre finement grenue, hypidiomorphe (carbonatite?). Hématite donnant teinte mauvâtre.</p> <p>2-3% pyrite.</p>	<p>1057.00 - 1058.00</p> <p>105430: V3ACL(Si)vCC(CL)/vCC(HM)PY</p> <p>+ pyrite dans gabbro.</p> <p>1066.60 - 1069.30</p> <p>105431: V3A(B)(SiCLHM)(PY)vCC</p> <p>Texture floue.</p> <p>Aspect siliceux vert foncé rougeâtre, altération en chlorite, silice et hématite (faible).</p> <p>Traces à 0,5% de pyrite surtout en bordure des rares veinules de calcite (± hématite).</p> <p>1069.70 - 1070.10</p> <p>Si+</p> <p>Bandes millimétriques sub-parallèles mais irrégulières par endroits, espacement de <1cm. Semblent être des bandes d'altération en silice.</p> <p>1074.30 - 1074.60</p> <p>vBZ</p> <p>Veine de quartz à contact ± net et régulier avec enclave en</p>	

MINNOVA INC. - DIVISION EXPLORATION

DE (pi)	A (pi)	TEXTURE ET STRUCTURE	ALTERATION	MINERALISATION
			<p>bordure et microfracture remplie de calcite.</p> <p>1078.10 - 1078.70</p> <p>105432: V3ANCC(SiCL)(HM)PYvCC(HM)</p> <p>Altération diffuse en calcite-hématite en bordure des veinules de calcite-hématite.</p> <p>1% de pyrite associée à l'altération en bordure des veinules.</p> <p>1090.50 - 1093.00</p> <p>105433: V3AN(SiCLCCHM)(PY)vCC(HM)</p> <p>Altération millimétrique en bordure des veinules en calcite et hématite au début de l'échantillon pour devenir altération complètement diffuse.</p> <p>Pyrite légèrement supérieure à traces associée aux veinules.</p> <p>1104.70 - 1106.50</p> <p>105434: V3ANAB?CCHM(CLSi)(PY)vFPQZCC</p> <p>Contact supérieur net.</p> <p>Altération forte pénétrative sur le premier intervalle centimétrique pour ensuite devenir altération de bordure millimétrique à centimétrique des veinules de feldspath-quartz-calcite. Altération en albite? calcite, hématite, chlorite, silice?</p> <p>Pyrite 0,5% associée au veinules ou en minces veinules discontinues.</p>	

MINNOVA INC. - DIVISION EXPLORATION

DE (pi)	A (pi)	TEXTURE ET STRUCTURE	ALTÉRATION	MINÉRALISATION
			<p>1107.50 - 1110.00</p> <p>105435: (HNSiCL)(RBSiCL)</p> <p>Fracture subparallèle à la carotte mettant en contact deux types d'altérations dans même lithologie (basalte porphyrique flow). Faiblement magnétique avec minces veinules de calcite.</p> <p>D'un côté la teinte rougeâtre suggère une hématitisation tandis que de l'autre une teinte bleutée suggère la présence de riebeckite.</p> <p>Traces de pyrite dans les deux altérations.</p>	<p>1116.90 - 1117.80</p> <p>105436: V3A(♯)CCCB?(HM)PYvCC</p> <p>Calcite forte (+CB? teinte orangée?) faible hématite et probablement chlorite et silice.</p> <p>2% de pyrite finement disséminée.</p> <p>1124.70 - 1128.20</p> <p>105437: M15B+HM+CC(Si?)PY+vQZvCCvCL</p> <p>Roche métasomatique rouge presque brique à protolithe incertain vu les contacts assez nets (il semble qu'il s'agisse de basalte). Fracturation moyenne à forte, veinules irrégulières et discontinues <4mm de quartz.</p> <p>Hématite forte diffuse ainsi que calcite moyenne. Silice faible (dureté).</p> <p>2-3% de pyrite disséminée très fine.</p>

MINNOVA INC. - DIVISION EXPLORATION

DE (pi)	A (pi)	TEXTURE ET STRUCTURE	ALTERATION	MINÉRALISATION
		<p>1129.60 - 1130.00 I2JC.JFP(MG)HM(SiCL)</p> <p>Dyke de diorite porphyrique similaire sauf altéré.</p> <p>Hématite moyenne en plus de silice-chlorite toujours présente dans ces dykes.</p> <p>1130.30 - 1133.20 I2JC.JFP(MG)(SiCLHM)</p> <p>Idem moins altéré.</p> <p>Hématite faible.</p> <p>1134.10 - 1173.70 I2JC.JFP(MG)(SiCLHM)</p> <p>Idem sauf altération et phénocristaux moins grossiers. Xenolithes centimétriques de basalte assez fréquents (à intervalles submétriques).</p> <p>Hématite variant de faible à très faible.</p> <p>Minéralisation absente à traces de pyrite, jusqu'à 3% au début de l'intervalle.</p>	<p>1144.10 - 1146.90 I2JC.JFP(Si+CC(CL)?PYVQZvSi</p>	<p>1134.10 - 1138.00</p> <p>105438: I2JC.JFP(Ø)Si(HM)(CL)PYPO</p> <p>1-2% de pyrite très finement disséminée.</p> <p>1138.00 - 1142.30</p> <p>105439: I2JC.JFP(MG)(Ø)(SiCLHM)PYVCC</p> <p>Pyrite 1-3% très finement disséminée.</p>

MINNOVA INC. - DIVISION EXPLORATION

DE (pi)	A (pi)	TEXTURE ET STRUCTURE	ALTÉRATION	MINÉRALISATION
			<p>Texture oblitérée, surtout après veine de quartz.</p> <p>Altération en silice forte probablement due à «veine» de quartz. Contact supérieur net à 1145.80 pour devenir flou sur quelques pouces. Après la veine la roche ressemble à basalte porphyrique sauf contact graduel avec diorite.</p> <p>II de pyrite sur l'ensemble.</p> <p>105440: 1144.10-1145.80: Type 105441: 1145.80-1146.90: Type</p> <p>1166.00 - 1168.00</p> <p>105442: I2JC.JFP(M6)(B)(SiCLHMCB?)vCC</p> <p>Altération typique de la majeure partie de l'intervalle.</p> <p>1168.00 - 1173.70</p> <p>105665: I2J?C.JFP(HM)vCC</p> <p>± 60I feldspath ≤ 2mm rose à blanc flou.</p> <p>Hématite faible à moyenne diffuse de la matrice; zones centimétriques à décimétriques calcifiées avec texture intrusive floue.</p> <p>Traces de pyrite très locale.</p> <p>1173.70 - 1195.10 V3A(Ø)CL(Si)vCC</p> <p>Basalte vert foncé phanéritique à grains très fins (peu similaire à basalte porphyrique sauf phénocristaux oblitérés, massif sauf faible fracturation remplie de calcite.</p>	

MINNOVA INC. - DIVISION EXPLORATION

DE (pi)	A (pi)	TEXTURE ET STRUCTURE	ALTERATION	MINERALISATION
		<p>1195.10 - 1286.00 I2JC.JFP(N6)(Ø)(SiCLHW)</p> <p>Diorite porphyrique similaire, faiblement à très faiblement magnétique. Phénocristaux de feldspath ≤ 3mm, matrice phanéritique à grains très fins variant de rosé, rouge mât à vert foncé. Xenolithes centimétriques de basalte assez fréquents. Fracturation faible à très faible définie par minces veinules de calcite.</p>	<p>Chlorite moyenne et silice faible.</p> <p>Minéralisation généralement absente.</p> <p>1173.70 - 1176.00 (PY)</p> <p>105443:</p> <p>Pyrite 0,5 à 1% locale.</p> <p>1176.00 - 1181.00</p> <p>105666: V3ACLvCC</p> <p>Basalte vert foncé microgrenu (< 1mm en général).</p> <p>1190.30 - 1195.10</p> <p>105444: (PY)</p> <p>Traces à 0,5% de pyrite.</p> <p>1195.10 - 1197.10</p> <p>105445: I2JC.JFP(Ø)Si(CL)(PY)</p> <p>Hématite très faible à absente.</p>	

MINNOVA INC. - DIVISION EXPLORATION

DE (pi)	A (pi)	TEXTURE ET STRUCTURE	ALTÉRATION	MINÉRALISATION
			<p>Traces à 0,5% de pyrite.</p> <p>1224.60 - 1226.40</p> <p>105446: 12J(.JFP(SiCL)(PY)</p> <p>Traces à 0,5% de pyrite.</p> <p>1242.60 - 1245.80</p> <p>105447: 12J(.JFP(MG)(#)Si(HMCL)(PY)vCC</p> <p>Perte graduelle de texture intrusive.</p> <p>Perte de texture due à l'augmentation de l'altération.</p> <p>0,5% de pyrite très fine.</p> <p>1245.80 - 1248.40 M15(#)HMSiCC(PY)vCCvCL</p> <p>105448:</p> <p>Traces à légèrement supérieure à traces de pyrite.</p> <p>1248.80 - 1253.20</p> <p>105667: Idem à 105665.</p> <p>1256.20 - 1257.70</p> <p>105449: 12J(.JFP(MG)(#)Si(CL)(PY)vCC</p> <p>Aspect siliceux flou.</p> <p>Pyrite traces à 0,5% très fine.</p> <p>1257.70 - 1258.60 M15#HMSlvCCCL</p>	

MINNOVA INC. - DIVISION EXPLORATION

DE (pi)	A (pi)	TEXTURE ET STRUCTURE	ALTERATION	MINÉRALISATION
			<p>105450:</p> <p>Traces de pyrite fine.</p> <p>1258.60 - 1259.50</p> <p>105451: 12JLJFP(M6)Si(CL)vCC</p> <p>Traces de pyrite fine.</p> <p>1270.90 - 1272.00</p> <p>105452: 12JLJFP(8)HM(SiCL)vCC</p> <p>Hématite entre faible et moyenne diffuse.</p> <p>Traces de pyrite.</p> <p>1286.00: FIN DU TROU.</p>	

MINNOVA INC. - DIVISION EXPLORATION

ÉCHANTILLON	DE (pi)	A (pi)	LONGUEUR (pi)	Au(1) ppb	Au(2) ppb	Au(3) ppb	Au(4) ppb	Au(MOY) ppb	Ag ppm	As ppm	Sb ppm	Mo ppm	Pb ppm	Cu(1) ppm	Cu(2) ppm	Cu(MOY) ppm	Zn(1) ppm	Zn(2) ppm	Zn(MOY) ppm	
105304	20.00	23.00	3.00	tr.				tr.						51		51	72		72	
105305	23.00	28.00	5.00	tr.				tr.						75		75	36		36	
105306	33.10	38.10	5.00	tr.				tr.						85		85	42		42	
105307	38.10	38.60	0.50	377				377						60		60	61		61	
105308	38.60	43.60	5.00	tr.				tr.						51		51	33		33	
105309	43.80	48.80	5.00	tr.				tr.						59		59	50		50	
105310	48.80	50.00	1.20	tr.				tr.						109		109	85		85	
105311	50.00	55.00	5.00	tr.				tr.						102		102	42		42	
105312	55.00	59.00	4.00	tr.				tr.						51		51	47		47	
105313	59.00	59.80	0.80	tr.				tr.						59		59	69		69	
105314	59.80	64.80	5.00	tr.				tr.						70		70	34		34	
105315	84.70	89.70	5.00	tr.				tr.						77		77	24		24	
105316	89.70	90.60	0.90	tr.				tr.						81		81	71		71	
105317	90.60	95.60	5.00	tr.				tr.						106		106	51		51	
105318	103.00	108.00	5.00	tr.				tr.						102		102	46		46	
105319	108.00	109.80	1.80	tr.				tr.						192		192	87		87	
105320	109.80	110.50	0.70	tr.				tr.						286		286	67		67	
105321	110.50	110.90	0.40	309				309						167		167	99		99	
105322	110.90	115.10	4.20	tr.				tr.						174		174	52		52	
105323	115.10	115.40	0.30	tr.				tr.						170		170	53		53	
105324	115.40	117.50	2.10	tr.				tr.						186		186	42		42	
105325	117.50	118.10	0.60	tr.				tr.						316		316	100		100	
105326	118.10	119.00	0.90	tr.				tr.						254		254	50		50	
105327	123.00	124.20	1.20	tr.				tr.						50		50	51		51	
105328	126.70	128.70	2.00	tr.				tr.						52		52	49		49	
105329	137.20	138.20	1.00	tr.				tr.						83		83	48		48	
105330	142.10	146.00	3.90	tr.				tr.						42		42	37		37	
105331	151.60	155.20	3.60	tr.				tr.						54		54	46		46	
105332	160.00	163.00	3.00	tr.				tr.						290		290	140		140	
105333	163.00	165.10	2.10	tr.				tr.						139		139	95		95	
105334	165.10	169.70	4.60	tr.				tr.						220		220	230		230	
105335	169.70	174.70	5.00	tr.				tr.						230		230	54		54	
105336	174.70	179.70	5.00	tr.				tr.						297		297	52		52	
105337	179.70	183.40	3.70	tr.				tr.						176		176	83		83	
105338	183.40	185.70	2.30	343				343						247		247	130		130	
105339	185.70	190.80	5.10	tr.				tr.						334		334	884		884	
105340	191.70	194.30	2.60	tr.				tr.						212		212	65		65	
105341	205.00	209.00	4.00	tr.				tr.						163		163	42		42	

MINNOVA INC. - DIVISION EXPLORATION

ECHANTILLON	DE (pi)	A (pi)	LONGUEUR (pi)	Au(1) ppb	Au(2) ppb	Au(3) ppb	Au(4) ppb	Au(MOY) ppb	Ag ppm	As ppm	Sb ppm	Hg ppm	Pb ppm	Cu(1) ppm	Cu(2) ppm	Cu(MOY) ppm	Zn(1) ppm	Zn(2) ppm	Zn(MOY) ppm	
105342	209.00	214.00	5.00	tr.				tr.						166		166	42		42	
105343	214.00	219.00	5.00	tr.				tr.						112		112	46		46	
105344	219.00	220.80	1.80	tr.				tr.						140		140	54		54	
105345	220.80	226.20	5.40	tr.				tr.						145		145	48		48	
105346	226.20	228.50	2.30	tr.				tr.						144		144	129		129	
105347	228.50	232.20	3.70	tr.				tr.						76		76	78		78	
105348	250.20	255.20	5.00	tr.				tr.						116		116	43		43	
105349	255.20	258.00	2.80	tr.				tr.						73		73	67		67	
105350	258.00	263.00	5.00	tr.				tr.						96		96	90		90	
105351	276.00	281.00	5.00	tr.				tr.						97		97	54		54	
105352	281.00	286.60	5.60	tr.				tr.						92		92	63		63	
105353	286.60	290.70	4.10	tr.				tr.						89		89	52		52	
105354	290.70	292.10	1.40	tr.				tr.						92		92	46		46	
105355	300.40	304.50	4.10	tr.				tr.						84		84	59		59	
105356	305.20	306.80	1.60	tr.				tr.						72		72	72		72	
105404	317.10	317.80	0.70	tr.				tr.						85		85	60		60	
105405	356.40	359.80	3.40	tr.				tr.						117		117	86		86	
105357	371.20	375.20	4.00	tr.				tr.						79		79	54		54	
105358	375.20	375.70	0.50	tr.				tr.						100		100	59		59	
105359	375.70	379.70	4.00	tr.				tr.						89		89	42		42	
105360	393.20	393.90	0.70	tr.				tr.						71		71	50		50	
105361	400.80	402.00	1.20	tr.				tr.						61		61	54		54	
105362	442.70	448.00	5.30	tr.				tr.						77		77	54		54	
105363	493.00	496.00	3.00	tr.				tr.						78		78	57		57	
105364	496.00	498.40	2.40	240				240						66		66	56		56	
105365	498.40	500.50	2.10	tr.				tr.						76		76	49		49	
105366	500.50	502.60	2.10	1166				1166						42		42	76		76	
105367	502.60	507.60	5.00	tr.				tr.						90		90	42		42	
105368	507.60	512.60	5.00	tr.				tr.						60		60	34		34	
105369	512.60	517.60	5.00	tr.				tr.						77		77	34		34	
105370	517.60	522.60	5.00	tr.				tr.						79		79	37		37	
105371	522.60	527.60	5.00	tr.				tr.						180		180	83		83	
105372	527.60	532.60	5.00	tr.				tr.						75		75	44		44	
105373	563.30	565.30	2.00	tr.				tr.						90		90	53		53	
105374	565.30	566.30	1.00	857				857						66		66	71		71	
105664	566.30	572.20	5.90	tr.				tr.						82		82	60		60	
105375	595.40	600.40	5.00	tr.				tr.						100		100	37		37	
105376	600.40	605.40	5.00	tr.				tr.						97		97	46		46	

MINNOVA INC. - DIVISION EXPLORATION

ÉCHANTILLON	DE (pi)	A (pi)	LONGUEUR (pi)	Au(1) ppb	Au(2) ppb	Au(3) ppb	Au(4) ppb	Au(MOY) ppb	Ag ppm	As ppm	Sb ppm	Mo ppm	Pb ppm	Cu(1) ppm	Cu(2) ppm	Cu(MOY) ppm	Zn(1) ppm	Zn(2) ppm	Zn(MOY) ppm	
105377	605.40	611.40	6.00	tr.				tr.						75		75	46		46	
105378	620.70	624.20	3.50	tr.				tr.						77		77	50		50	
105379	642.30	646.00	3.70	tr.				tr.						90		90	47		47	
105380	646.00	647.70	1.70	tr.				tr.						72		72	27		27	
105381	647.70	652.40	4.70	tr.				tr.						72		72	44		44	
105382	663.10	668.10	5.00	tr.				tr.						82		82	34		34	
105383	668.10	673.00	4.90	tr.				tr.						70		70	35		35	
105384	673.00	678.00	5.00	tr.				tr.						71		71	27		27	
105385	698.90	702.00	3.10	tr.				tr.						90		90	37		37	
105386	705.80	706.60	0.80	tr.				tr.						137		137	72		72	
105387	710.10	715.10	5.00	tr.				tr.						75		75	47		47	
105388	715.10	717.70	2.60	tr.				tr.						62		62	29		29	
105389	717.70	722.70	5.00	tr.				tr.						99		99	41		41	
105390	725.00	729.80	4.80	tr.				tr.						83		83	39		39	
105391	752.60	755.50	2.90	tr.				tr.						135		135	33		33	
105392	762.30	767.50	5.20	tr.				tr.						185		185	66		66	
105393	796.00	798.20	2.20	tr.				tr.						65		65	40		40	
105394	803.40	804.30	0.90	tr.				tr.						57		57	57		57	
105395	824.88	829.80	5.00	tr.				tr.						70		70	44		44	
105396	836.00	837.00	1.00	tr.				tr.						45		45	52		52	
105397	847.20	852.40	5.20	tr.				tr.						48		48	32		32	
105398	866.30	869.00	2.70	tr.				tr.						62		62	23		23	
105399	872.20	873.00	0.80	tr.				tr.						47		47	49		49	
105400	873.00	878.20	5.20	tr.				tr.						130		130	55		55	
105401	883.40	884.60	1.20	tr.				tr.						192		192	57		57	
105402	884.60	887.00	2.40	tr.				tr.						232		232	57		57	
105403	892.20	893.00	0.80	tr.				tr.						90		90	59		59	
105406	920.60	921.70	1.10	tr.				tr.						81		81	47		47	
105407	921.70	923.00	1.30	tr.				tr.						49		49	95		95	
105408	949.00	951.90	2.90	tr.				tr.						57		57	53		53	
105409	951.90	954.60	2.70	tr.				tr.						63		63	70		70	
105410	954.60	957.10	2.50	tr.				tr.						58		58	65		65	
105411	957.10	961.00	3.90	tr.				tr.						64		64	66		66	
105412	961.00	963.20	2.20	tr.				tr.						56		56	81		81	
105413	963.20	965.80	2.60	tr.				tr.						54		54	60		60	
105414	982.70	984.90	2.20	tr.				tr.						119		119	44		44	
105415	986.90	988.60	1.70	tr.				tr.						110		110	60		60	
105416	988.60	992.50	3.90	tr.				tr.						86		86	52		52	

MINNOVA INC. - DIVISION EXPLORATION

ECHANTILLON	DE (pi)	A (pi)	LONGUEUR (pi)	Au(1) ppb	Au(2) ppb	Au(3) ppb	Au(4) ppb	Au(MOY) ppb	Ag ppm	As ppm	Sb ppm	Mo ppm	Pb ppm	Cu(1) ppm	Cu(2) ppm	Cu(MOY) ppm	Zn(1) ppm	Zn(2) ppm	Zn(MOY) ppm	
105417	992.50	998.00	5.50	tr.				tr.						92		92	67		67	
105418	999.40	1004.40	5.00	tr.				tr.						82		82	67		67	
105419	1004.40	1006.40	2.00	tr.				tr.						76		76	80		80	
105420	1006.40	1010.90	4.50	tr.				tr.						86		86	59		59	
105421	1010.90	1012.50	1.60	tr.				tr.						140		140	65		65	
105422	1012.50	1015.00	2.50	tr.				tr.						110		110	62		62	
105423	1015.00	1018.00	3.00	240				240						166		166	85		85	
105424	1018.00	1020.50	2.50	549				549						176		176	94		94	
105425	1020.50	1021.50	1.00	617				617						74		74	77		77	
105426	1021.50	1026.20	4.70	tr.				tr.						67		67	69		69	
105427	1042.60	1045.00	2.40	tr.				tr.						77		77	57		57	
105428	1045.00	1046.20	1.20	tr.				tr.						112		112	67		67	
105429	1046.20	1046.70	0.50	tr.				tr.						76		76	95		95	
105430	1057.00	1058.00	1.00	tr.				tr.	tr.					150		150	154		154	
105431	1066.60	1069.30	2.70	tr.				tr.						64		64	54		54	
105432	1078.10	1079.70	0.60	tr.				tr.						48		48	79		79	
105433	1090.50	1093.00	2.50	tr.				tr.						70		70	47		47	
105434	1104.70	1106.50	1.80	tr.				tr.						87		87	82		82	
105435	1107.50	1110.00	2.50	tr.				tr.						136		136	70		70	
105436	1116.90	1117.90	0.90	tr.				tr.						82		82	114		114	
105437	1124.70	1128.20	3.50	tr.				tr.						70		70	76		76	
105438	1134.10	1138.00	3.90	tr.				tr.						74		74	47		47	
105439	1138.00	1142.30	4.30	tr.				tr.						67		67	69		69	
105440	1144.10	1145.80	1.70	tr.				tr.						90		90	100		100	
105441	1145.80	1146.90	1.10	tr.				tr.						70		70	56		56	
105442	1166.00	1168.00	2.00	tr.				tr.						70		70	72		72	
105665	1168.00	1173.70	5.70	tr.				tr.						100		100	70		70	
105443	1173.70	1176.00	2.30	2777				2777						100		100	72		72	
105666	1176.00	1181.00	5.00	tr.				tr.						144		144	52		52	
105444	1190.30	1195.10	4.80	tr.				tr.						126		126	120		120	
105445	1195.10	1197.10	2.00	tr.				tr.						81		81	102		102	
105446	1224.60	1226.40	1.80	tr.				tr.						78		78	64		64	
105447	1242.60	1245.80	3.20	tr.				tr.						67		67	96		96	
105448	1245.80	1248.40	2.60	823				823						62		62	116		116	
105667	1248.80	1253.20	4.40	tr.				tr.						69		69	47		47	
105449	1256.20	1257.70	1.50	tr.				tr.						60		60	36		36	
105450	1257.70	1258.60	0.90	617				617						46		46	45		45	
105451	1258.60	1259.50	0.90	tr.				tr.						57		57	37		37	

MINNOVA INC. - DIVISION EXPLORATION

ECHANTILLON	DE (pi)	A (pi)	LONGUEUR (pi)	Au(1) ppb	Au(2) ppb	Au(3) ppb	Au(4) ppb	Au(MOY) ppb	Ag ppm	As ppm	Sb ppm	Mo ppm	Pb ppm	Cu(1) ppm	Cu(2) ppm	Cu(MOY) ppm	Zn(1) ppm	Zn(2) ppm	Zn(MOY) ppm
105452	1270.90	1272.00	1.10	tr.				tr.						70		70	47		47

MINNOVA INC. - DIVISION EXPLORATION

COMPAGNIE : MINNOVA EXPLORATION	PROJET : ILE OPAWICA	SONDAGE : OP-10	IMPRIMÉ LE : 10/12/90																					
CANTON : LESPERANCE	RANG : -	LOT : -	CLAIM : 317318-3																					
<u>COORDONNEES AU COLLET</u>	GRILLE : LIGNE : 10+00N STATION : 0+90N	LATITUDE : 90.00 LONGITUDE : -1000.00 ELEVATION : -10.00	AZIMUT : 288 0' PLONGEE : -45 0'																					
<u>PROFONDEUR</u>	AU DEPART : 0.00	FIN DE TROU : 995.00	TUBAGE LAISSÉ (?) : Oui																					
GEOLOGUE : F. SPEIDEL	CONTRACTEUR : FORAGE BELAND		DATE DU JOURNAL : 28 juin 90																					
BUT : Tester l'apophyse de syénite et 2 structures MNE interprétées.			FORAGE DEBUTE LE : 21 juin 90																					
			TERMINE LE : 28 juin 90																					
<u>DONNEES D'ORIENTATION</u>																								
<table border="1"> <thead> <tr> <th>Longueur</th> <th>Azimat</th> <th>Plongée</th> </tr> </thead> <tbody> <tr> <td>0.00</td> <td>288 0'</td> <td>-45 0'</td> </tr> <tr> <td>231.00</td> <td>291 0'</td> <td>-43 0'</td> </tr> <tr> <td>400.00</td> <td>*293 40'</td> <td>-42 0'</td> </tr> <tr> <td>611.00</td> <td>297 0'</td> <td>-40 0'</td> </tr> <tr> <td>800.00</td> <td>*300 29'</td> <td>-39 0'</td> </tr> <tr> <td>990.00</td> <td>304 0'</td> <td>-38 0'</td> </tr> </tbody> </table>				Longueur	Azimat	Plongée	0.00	288 0'	-45 0'	231.00	291 0'	-43 0'	400.00	*293 40'	-42 0'	611.00	297 0'	-40 0'	800.00	*300 29'	-39 0'	990.00	304 0'	-38 0'
Longueur	Azimat	Plongée																						
0.00	288 0'	-45 0'																						
231.00	291 0'	-43 0'																						
400.00	*293 40'	-42 0'																						
611.00	297 0'	-40 0'																						
800.00	*300 29'	-39 0'																						
990.00	304 0'	-38 0'																						
(*) azimat estimé																								

MINNOVA INC. - DIVISION EXPLORATION

DE (pi)	A (pi)	TEXTURE ET STRUCTURE	ALTERATION	MINERALISATION
0.00	20.00	<p>HT</p> <p>MORT-TERRAIN</p>		
20.00	415.10	<p>IZH?(CLB0)</p> <p>MONZODIORITE PHANERITIQUE EQUIGRANULAIRE</p> <p>Roche intrusive de composition intermédiaire de couleur grisâtre constituée de feldspath rosé et minéraux mafiques trapés à allongés fins (5mm) hypidiomorphes à plus généralement xénomorphes. La proportion de feldspath semble augmenter irrégulièrement en profondeur. Le feldspath est rosé, la roche peu ou non magnétique. Quelques intervalles d'aspect syénitique (ou mélanosyénite). Xenolithes mafiques centimétriques à subcentimétriques arrondis notés localement. Intervalles syénitiques parfois à granulométrie moyenne.</p> <p>Foliation absente, fracturation absente ou faible locale.</p> <p>Couleur foncée de la roche est dû à l'altération en chlorite et biotite des minéraux mafiques. Quelques intervalles avec veinules de quartz à silicification à veinules de riebeckite? Veinules d'épidote en plans millimétriques à subcentimétriques, localement.</p> <p>Minéralisation généralement absente.</p>	<p>51.90 - 53.90</p> <p>106883: #LX)SICLVQZvCC/\</p> <p>Roche gris-bleuté (IRB?) avec une zone centimétrique de quartz translucide et une zone centimétrique de calcite bréchifiant la roche altérée.</p> <p>112.90 - 115.50</p> <p>106884: #CLCCvCCvEPvSIHW</p>	

MINNOVA INC. - DIVISION EXPLORATION

DE (pi)	A (pi)	TEXTURE ET STRUCTURE	ALTÉRATION	MINÉRALISATION
			<p>Stockwork d'épidote, veinules submillimétriques subparallèles à AC. Chlorite et calcite diffuses, microveinules irrégulières de calcite.</p> <p>141.30 - 145.70</p> <p>106885: 13/14?HCL(RB?)vCC</p> <p>145.70 - 150.40</p> <p>106886: 13/14?B+CC+CLBO?(RB?)</p> <p>153.60 - 156.20</p> <p>106887: Ø(CC)vCC</p> <p>Couleur gris-bleu, texture intrusive floue. Microveinules de calcite en stockwork dense.</p> <p>220.30 - 222.90</p> <p>106888: (MS)HCLvØZvCC</p> <p>Texture ignée floue. Veinule de quartz millimétriques et veinules de calcite submillimétriques 0-30*AC.</p> <p>223.50 - 226.00</p> <p>106889: Idem, 15Z vØZ irrégulière.</p> <p>231.00 - 236.60</p> <p>105668: 12H</p> <p>Monzonite relativement fraîche. Biotite non observée.</p>	

MINNOVA INC. - DIVISION EXPLORATION

DE (pi)	A (pi)	TEXTURE ET STRUCTURE	ALTÉRATION	MINÉRALISATION
		<p>253.60 - 254.70 14HNGE.1ST?BOCC</p> <p>DYKE DE LANPROPHYRE</p> <p>Lanprophyre ultramafique de couleur brun foncé. Contact supérieur planaire net, inférieur irrégulier avec apophyse. Constitué d'environ 10-15% phénocristaux mafiques trapus arrondis subaillonnés (olivine serpentinisée?), 5-10%</p>	<p>236.60 - 237.50 13/14?NBCLvCC</p> <p>106890:</p> <p>237.50 - 243.40</p> <p>105669: 60% dyke 120, 40% 12H</p> <p>243.40 - 245.20</p> <p>106891: (NG)(H)CL</p> <p>245.20 - 246.30</p> <p>106892: vOZvCC</p> <p>Une veine de quartz @ 240°C avec microfractures remplies de calcite.</p> <p>246.30 - 247.90</p> <p>106893: NCL(CC)vCC, H)Z/vCC=CL+(HM)</p> <p>247.90 - 249.00</p> <p>106894: 120NCC(HM)vCLCEP</p>	

- MINNOVA INC. - DIVISION EXPLORATION

DE (pi)	A (pi)	TEXTURE ET STRUCTURE	ALTERATION	MINERALISATION
		cristaux très fins blancs (FP?) dans une matrice de biotite (phlogopite) calcite et magnétite.		
		Veinele de calcite rose millimétrique au contact inférieur.		
		263.00 - 266.00 14MNSI.1STBOCC	260.00 - 263.00	
		DYKE DE LANPROPHYRE	106895: (MG)CL+CC	
		Idem à ci-haut mais phénocristaux mafiques allant à 25m. Contact @ 45°AC.	Monzodiorite chloritisée faiblement magnétique avec microfractures de calcite. Encaissant de lamprophyre.	
			266.00 - 267.30	
			106896: (CL)+CC	
			Encaissant faiblement chloritisé de lamprophyre.	
			302.10 - 304.30	
			106897: CLCC	
			Granulométrie moyenne (monzodiorite).	
			304.30 - 307.60	
			105670: I2HCL+CC	
			Un xéolith de microgabbro.	
			307.60 - 309.00 CL	

MINNOVA INC. - DIVISION EXPLORATION

DE (pi)	A (pi)	TEXTURE ET STRUCTURE	ALTERATION	MINERALISATION
		311.00 - 331.70 (I2M)(CLM)	<p>106898:</p> <p>309.00 - 314.00</p> <p>105671: I2M ou I2M</p> <p>Inclut xénolithes de gabbro centimétriques arrondis.</p>	
		MELA-SYENITE? PHANERITIQUE MOYENNE		
		<p>Intervalle à contacts graduels ! bien définis sur intervalles centimétriques, constitués d'environ 60% pyroxène? trapu vert foncé 1-3mm idiomorphe à hypidiomorphe et 35% feldspath rose pâle 5mm hypidiomorphe à idiomorphe avec 20% matière aphanitique felsique (ou quartz) interstitiel.</p>		
		<p>Non magnétique. Contient des xénolithes centimétriques à subcentimétriques de diorite et pyroxénite. Proportion de minéraux mafiques passe à 70% sur intervalles décimétriques à subcentimétriques.</p>		
		<p>Faible hématitisation de feldspath, faible chloritisation des minéraux mafiques. Biotite grenue fine brun foncé remplace mafiques chloritisés localement.</p>	<p>342.10 - 347.10</p> <p>105672: I2M vCC</p> <p>347.10 - 348.20 B+CLM(CC)</p>	
			<p>106899:</p> <p>348.50 - 351.90</p>	

MINNOVA INC. - DIVISION EXPLORATION

BE (pi)	A (pi)	TEXTURE ET STRUCTURE	ALTÉRATION	MINÉRALISATION
		351.70 - 353.70	105673: Iden.	
		Intervalle constitué à 70% de xénolithes mafiques centimétriques. Xénolithes fracturés, quelques-uns altérés en EPAB, plusieurs intensément magnétiques.	361.80 - 363.30	
			106900: B+SiCC(HM)vCLvCC	
			Texture intrusive ± oblitérée.	
			370.30 - 374.70	
			106901: BCLCC(HM)(PY)vCC	
			Texture intrusive presque effacée, roche gris-vert foncé. Plus de 5-10% veinules de calcite submillimétriques en stockwork.	
			> traces pyrite fine disséminée.	
			374.70 - 376.70 BCLCC(HM)MM(PY)vCC	
			106902:	
			Idem + coloration plus rougeâtre.	
			Idem.	
			376.70 - 381.60 BCLCC(HM)MM(PY)vCC	
			106903:	
			381.60 - 388.50	

MINNOVA INC. - DIVISION EXPLORATION

DE (pi)	A (pi)	TEXTURE ET STRUCTURE	ALTÉRATION	MINÉRALISATION
			<p>105674: I2H(CL)vCC</p> <p>Inclut un xénotithe de microgabbro avec ± 3-5% biotite fine disséminée.</p> <p>388.50 - 392.20 80I (MG)CLvCC/M</p> <p>106904:</p> <p>Veine de calcite submillimétrique avec enveloppes hématite millimétriques superposées.</p> <p>392.20 - 397.20</p> <p>105675: Iden.</p> <p>Minéraux mafiques partiellement chloritisés.</p> <p>400.70 - 403.80</p> <p>106905: (MG)CLvCC</p> <p>± 10I veinules de calcite millimétriques à submillimétriques.</p> <p>Traces de pyrite fine disséminée.</p> <p>403.80 - 408.70</p> <p>106906: (MG)(CC)vCC</p> <p>408.70 - 411.30 (MG)CC+CL(MM)vCC</p> <p>106907:</p> <p>Traces de pyrite fine disséminée.</p>	

MINNOVA INC. - DIVISION EXPLORATION

DE (pi)	A (pi)	TEXTURE ET STRUCTURE	ALTÉRATION	MINÉRALISATION
		<p>478.00 - 478.60 vCC(I4P)PY</p> <p>INJECTION DE CALCITE CARBONATIQUE</p> <p>106909:</p> <p>Injection leucocrate à granulométrie fine avec ± 10% minéraux mafiques fins. Couleur blanc-gris rosé. Contact @ 64°C.</p> <p>1-2% pyrite très fine disséminée.</p>	<p>468.50 - 507.00 (NG)MCL(SRSIMN)PYvCC</p> <p>SYENITE CHLORITISÉE & PYRITISÉE</p> <p>Intervalle de syénite dont la texture primaire est presque effacée. Couleur vert moyen à foncé en général. Là où le protolithe est encore visible on observe la même texture à équi-granulaire que l'intervalle précédent. Faiblement magnétique.</p> <p>Foliation absente, fracturation accrue. Plans remplis de calcite à espacement millimétrique à centimétrique, localement microfracturation intense (inter/intra cristalline).</p> <p>Altération variable. Généralement chloritisation moyenne avec veinules de calcite millimétriques, silice, séricite & hématite variables.</p> <p>Moyenne de 1% sulfures sur tout l'intervalle. Variable, absente à plus de 3% sur des intervalles décimétriques. Pyrite fine disséminée.</p> <p>478.60 - 482.60</p>	

MINNOVA INC. - DIVISION EXPLORATION

DE (pi)	A (pi)	TEXTURE ET STRUCTURE	ALTÉRATION	MINÉRALISATION
			<p>106910: $\#(CLCCSR)(PY)+CC$</p> <p>Calcite et chlorite diffuses, séricite en bordure des minéraux mafiques. <10% veinules de calcite millimétriques.</p> <p>20.5% de pyrite fine disséminée sur tout l'intervalle, concentré au début.</p> <p>482.60 - 486.00</p> <p>106911: Idem, pyrite à la fin de l'intervalle.</p>	<p>486.00 - 488.50</p> <p>106912: $MISB+Si(CCSR)PY+$</p> <p>Fracturation surtout intra/inter cristalline, roche non magnétique.</p> <p>Silicification du feldspath, $CC+SR$ des mafiques. Texture de protolithe peut être interprétée. Contact supérieur est bréchique, fragments millimétriques à submillimétriques, subangulaires à arrondis dans une matrice riche en calcite. Contact net.</p> <p>23% pyrite fine associée avec minéraux mafiques altérés.</p> <p>488.50 - 492.00</p> <p>106913: $NCL(SRHMSi)(PY)+CC$</p> <p>Altération très variable en intensité comme en faciès sur des intervalles décimétriques.</p> <p>51% pyrite fine disséminée en concentrations locales.</p> <p>492.00 - 494.80</p>

MINNOVA INC. - DIVISION EXPLORATION

DE (pi)	A (pi)	TEXTURE ET STRUCTURE	ALTERATION	MINERALISATION
			<p>494.80 - 498.50</p> <p>106915: (H)(CCCLHN)(PY)</p> <p>2 traces de pyrite fine disséminée.</p> <p>498.50 - 502.40</p> <p>106916: (CL)vCCvOZ</p> <p>Traces de pyrite fine locale.</p> <p>502.40 - 504.30</p> <p>106917: H+(CC)</p> <p>2 traces de pyrite fine disséminée.</p> <p>504.30 - 507.10</p> <p>106919: 80I Si(CCSR)(PY)</p> <p>Textuellement iden à 106912 mais altération et minéralisation plus faibles.</p> <p>2 traces de pyrite fine disséminée.</p> <p>529.20 - 559.40 (SINHNR)vCC</p> <p>SYENITE ROSE HENATISEE</p>	<p>106914: BCC(SiHN)PY</p> <p>Texture intrusive encore visible.</p> <p>1-2I pyrite fine disséminée.</p>

MINNOVA INC. - DIVISION EXPLORATION

DE (pi)	A (pi)	TEXTURE ET STRUCTURE	ALTÉRATION	MINÉRALISATION
			<p>Roche intrusive de même protolithe que les intervalles précédents, mais dont la texture est éliminée par l'altération.</p> <p>Fracturation type stockwork (vCC, vCL) habituel avec fracturation inter/intra cristalline intense locale.</p> <p>Altération variable. Minéralisation diffuse faible à moyenne, calcite diffuse faible locale, silice diffuse moyenne à faible et séricitisation locale des minéraux mafiques.</p> <p>Traces de pyrite fine disséminée.</p> <p>529.20 - 532.50</p> <p>106920: 0+CLHM-HM+vCC</p> <p>Altération variable, minéralisation augmente vers la fin.</p> <p>532.50 - 536.80</p> <p>106921: 0+HM(SiSR)+vCC</p> <p>Traces de pyrite fine disséminée locale.</p> <p>536.80 - 541.00</p> <p>106922: 0+(HMSiCLSR)+vCC</p> <p>541.00 - 545.70</p> <p>106923: 0+(HMSiCLSR)+vCL+vCC</p> <p>Traces de pyrite fine disséminée et avec veinules de</p>	

MINNOVA INC. - DIVISION EXPLORATION

DE (pi)	A (pi)	TEXTURE ET STRUCTURE	ALTÉRATION	MINÉRALISATION
			<p>chlorite.</p> <p>545.70 - 546.80</p> <p>106924: (#)(SiCl)vCC</p> <p>546.80 - 549.50</p> <p>106925: #+SiM(SRCL)vCL</p> <p>Traces de pyrite fine disséminée.</p> <p>549.50 - 552.20</p> <p>106926: #+Si+vOZvCL</p> <p>Hématite faible à absente, couleur blanc rosé.</p> <p>552.20 - 554.80</p> <p>106927: #(HM)vCCvCL</p> <p>Traces de pyrite fine disséminée locale.</p> <p>559.40 - 586.00 (LI)#+Si(CCClBO)vRB(OZCLBO)</p> <p>SYENITE GRIS-BLEUÉE A RIEBECKITE</p> <p>Intrusion de même protolithe que les intervalles précédents mais de couleur gris-bleuté moyen à foncé. Quelques I de leucoxène.</p> <p>Foliation absente, fracturation hypidioternale intense d'après la densité de veinules submillimétriques irrégulières de OZ-CL-RB en stockwork. Ces veinules forment jusqu'à 60% de la roche sur des intervalles décimétriques.</p>	

MINNOVA INC. - DIVISION EXPLORATION

DE (pi)	A (pi)	TEXTURE ET STRUCTURE	ALTÉRATION	MINÉRALISATION
			<p>Faible hématisation de feldspath. Concentration intense de veicules de OZ-CL-RB±BO (phanérotique). Passages de l'intervalle précédent et à l'intervalle suivant sont graduels.</p> <p>Minéralisation absente en général.</p> <p>563.90 - 568.50</p> <p>106928: 0+(Si)vSi?</p> <p>Couleur gris-vert, riebeckite en traces seulement ou absente.</p> <p>Traces de pyrite fine disséminée.</p> <p>569.20 - 571.70</p> <p>106929: 2601 vRB</p> <p>602.10 - 636.30 NO(B)(CL)±CLvCC</p> <p>SYENITE VARIABLEMENT CHLORITISÉE</p> <p>Syénite de même protolithe, coloration foncée dû à la chloritisation, magnétite faible à moyenne.</p> <p>Foliation absente, fracturation faible à absente.</p> <p>Chlorite diffuse faible à moyenne, veicules de calcite irrégulières, ensuite syénite rose à xéolithes mafiques.</p> <p>Minéralisation généralement absente.</p> <p>614.50 - 616.70</p> <p>106930: 0vCCCL/\</p>	

MINNOVA INC. - DIVISION EXPLORATION

BE (pi)	A (pi)	TEXTURE ET STRUCTURE	ALTERATION	MINERALISATION
			<p>240% zone bréchique foliée? de calcite-chlorite subparallèle à AC.</p> <p>623.50 - 626.00</p> <p>106931: B+(CLHM)+CC</p> <p>>25% veinules de calcite millimétriques à submillimétriques, coloration gris-vert rougeâtre foncé.</p> <p>668.30 - 673.10</p> <p>106932: BSivCCvCL</p> <p>Intervalle silicifié (dans syénite rose généralement peu altérée).</p> <p>Traces de pyrite fine à moyenne locale.</p> <p>673.10 - 676.50</p> <p>106933: B+Si(HM)+vOZ</p> <p>10-15% veinules de quartz submillimétriques formant un stockwork gris, aussi veinules de quartz blanc millimétriques à centimétriques.</p> <p>Traces de pyrite fine disséminée.</p> <p>676.50 - 680.80</p> <p>105677: I2D8(MB)CCSi?(HM)+vSi?</p> <p>Texture intrusive plus ou moins diffuse.</p> <p>Traces de pyrite fine locale.</p> <p>680.80 - 683.50 70% BSivHM(CC)+vOZ</p>	

MINNOVA INC. - DIVISION EXPLORATION

DE (pi)	A (pi)	TEXTURE ET STRUCTURE	ALTERATION	MINERALISATION
			<p>106934:</p> <p>± traces de pyrite fine disséminée.</p> <p>683.50 - 687.30</p> <p>105678: 120(M6)(B)vCC</p> <p>687.30 - 690.00</p> <p>106935: 40Z BHMSi(CC)vCL</p> <p>693.90 - 698.00</p> <p>106936: 0Si(SRHM)vCCvOZ</p> <p>Silice diffuse, séricitisation des minéraux mafiques, microfractures remplies de calcite, veines de quartz millimétriques.</p> <p>698.00 - 702.50</p> <p>106937: 0-0+HM(SiSR)vCCCL</p> <p>732.00 - 823.00 M150+SiHMSR(CCCL)(PY)vABvOZ</p> <p>SYENITE ROSE A ROUGE METASOMATISEE</p> <p>Intervalle de syénite altérée dont le protolithe est encore vaguement reconnaissable, identique aux intervalles précédents. Quelques intervalles submétriques plus faiblement altérés intercalés.</p> <p>Foliation généralement absente. Fracturation hydrothermale irrégulière généralement intense, remplie de plusieurs</p>	

MINNOVA INC. - DIVISION EXPLORATION

DE (pi)	A (pi)	TEXTURE ET STRUCTURE	ALTÉRATION	MINÉRALISATION
			<p>génération de minéraux.</p> <p>Altération variable. Silicification moyenne à intense, hématite faible à moyenne diffuse, séricite remplace les minéraux mafiques mais se trouve aussi en plaquages et en bandes millimétriques, donc plus commune que d'habitude. Calcite faible diffuse, chlorite affecte les minéraux mafiques là où la séricite est plus faible. Veinales d'albite blanche forment plusieurs l de la roche. Microfractures de calcite.</p> <p>Traces à 0,5l pyrite fine en moyenne. Disséminée et en concentrations locales variables sur des intervalles submétriques.</p> <p>732.00 - 736.40</p> <p>106938: #HMSi(SRCL)(PY)vCC</p> <p>50,5l pyrite fine disséminée.</p> <p>736.40 - 740.50</p> <p>106939: #HM(CLCCSi)</p> <p>Intervalle faiblement altéré à texture intrusive bien définie.</p> <p>740.50 - 745.00</p> <p>106940: #SiHM(SR)vCC</p> <p>2 traces de pyrite fine disséminée.</p> <p>745.00 - 747.90</p> <p>106941: #HM(SiCL)</p>	

MINNOVA INC. - DIVISION EXPLORATION

DE (pi)	A (pi)	TEXTURE ET STRUCTURE	ALTÉRATION	MINÉRALISATION
			<p>± traces de pyrite fine disséminée.</p> <p>747.90 - 752.00</p> <p>106942: #+SiM(SR)(PY)+OZvCC</p> <p>± 0,5% pyrite fine disséminée.</p> <p>752.00 - 756.50</p> <p>106943: #+MNSi(SR)vCC</p> <p>Veinules de calcite en microfractures.</p> <p>Traces de pyrite fine locale.</p> <p>756.50 - 761.30</p> <p>106944: #+M-HM+(SRSi)vCC</p> <p>Idea.</p> <p>Idea.</p> <p>761.30 - 766.00</p> <p>106945: #+M(SISR)vABvCC</p> <p>Agrégats et veinules irrégulières subaillométriques de AB.</p> <p>766.00 - 770.80</p> <p>106946: #+Si+MvCC</p> <p>Foliation? définie par alignement d'agrégats CL ± SR subaillométriques @ ± 50°AC.</p> <p>Traces de pyrite locale.</p>	

MINNOVA INC. - DIVISION EXPLORATION

DE (pi)	A (pi)	TEXTURE ET STRUCTURE	ALTÉRATION	MINÉRALISATION
			<p>770.80 - 775.50</p> <p>106947: #+Si+(SRHM)(PY)vCC</p> <p>Coloration rose pâle marque une augmentation de Si et une diminution de HM.</p> <p>≤ 0,5% pyrite fine disséminée.</p>	
			<p>775.50 - 780.00</p> <p>106948: #+Si+(SRHM)vAB</p> <p>Contient une injection subcentimétrique de la prophyre à texture porphyrique.</p> <p>Abondantes veines d'albite discontinues, irrégulières ≤ 1mm en épaisseur.</p> <p>> traces pyrite fine disséminée.</p>	
			<p>780.00 - 785.00</p> <p>106949: #+Si+(MSR)(PY)vCLvCC</p> <p>Idea, une veine de quartz blanc subcentimétrique.</p> <p>≥ 0,5% pyrite fine disséminée.</p>	
			<p>785.00 - 788.00</p> <p>106950: #+(=)?Si+HM(SR)vCLvZCC</p> <p>Séricite remplace minéraux mafiques mais il y a aussi début de formation de plans de foliation.</p>	

MINNOVA INC. - DIVISION EXPLORATION

DE (pi)	A (pi)	TEXTURE ET STRUCTURE	ALTÉRATION	MINÉRALISATION
			<p>Traces de pyrite fine locale.</p> <p>788.00 - 792.20</p> <p>106951: #+Si(NMCLSR)vAB</p> <p>≤10% veinules d'albite irrégulières particulièrement concentrées dans cet échantillon.</p> <p>≥ traces de pyrite fine disséminée.</p> <p>792.20 - 797.00</p> <p>106952: #+-Si(HMSR(PY))vAB</p> <p>Agrégats irréguliers de SR ± CL définissent début de foliation, millimétriques à submillimétriques à espacement millimétrique @ 45°AC.</p> <p>≤ 0,5% de pyrite fine disséminée.</p> <p>797.00 - 799.80</p> <p>106953: #++à/(Si+HMSR(PY))vQZ</p> <p>≤1% pyrite fine à moyenne surtout avec zone bréchique à calcite.</p> <p>799.80 - 802.50</p> <p>106954: #++-Si+(HMSRCC)vCCSi</p> <p>Roche rose pâle, plans de séricite locaux. Brèche type «in-situ» à matrice de chlorite à la fin.</p> <p>≥ traces de pyrite fine disséminée.</p>	

MINNOVA INC. - DIVISION EXPLORATION

DE (pi)	A (pi)	TEXTURE ET STRUCTURE	ALTÉRATION	MINÉRALISATION
			<p>802.50 - 808.00</p> <p>106955: B+AB+SI(HN)(PY)vCL</p> <p>Silice et hématisse diffuses, chlorite et séricite contrôlées par microfractures. Intervalles centimétriques de brèche «in-situ» à matrice de chlorite, carotte égrenée à plaquages chlorite.</p> <p>Traces 0,SI pyrite fine disséminée.</p> <p>808.00 - 812.70</p> <p>106956: Idea 40% IAH+IST</p> <p>Injection de lamprophyre subparallèle à AC, composition habituelle sauf pour couleur vert moyen et abondance (> 20%) de phénocristaux hypidiomorphes trapus oxydés rougeâtres (serpentine?).</p> <p>Traces de pyrite fine disséminée.</p> <p>812.70 - 815.20</p> <p>106957: B+(=)HN+(SRSi)(PY)vAB</p> <p>Traces 0,SI pyrite fine.</p> <p>815.20 - 820.30</p> <p>106958: BSiSR(HN)vSIPY</p> <p>2 traces de pyrite fine.</p> <p>820.30 - 823.00</p> <p>106959: B+SiHN(SR)PYvQZvCLSi</p>	

MINNOVA INC. - DIVISION EXPLORATION

DE (pi)	A (pi)	TEXTURE ET STRUCTURE	ALTÉRATION	MINÉRALISATION
			<p>11% pyrite fine à moyenne disséminée.</p> <p>823.80 - 827.30</p> <p>106960: $\text{H}(\text{HnCLSR})\text{vOZ}$</p> <p>Apparition de la texture intrusive bien définie. Syénite rose faiblement altérée.</p> <p>827.30 - 832.10</p> <p>106961: $\text{H}+\text{Hn}(\text{SiSR})\text{vOZvAB}$</p> <p>Traces de pyrite fine disséminée.</p> <p>832.10 - 836.00</p> <p>106962: $\text{H}+(\text{HMSR})\text{vCLSivCC}$</p> <p>837.90 - 843.00</p> <p>106963: $\text{H}+\text{Si}(\text{SRHM})\text{vCCvCLbleut4}$</p> <p>843.00 - 846.70</p> <p>106964: $\text{H}(\text{SiSRHM})\text{vOZCLbleut4}$</p> <p>Texture intrusive définie.</p> <p>846.70 - 850.30</p> <p>106965: $\text{H}+\text{Hn}(\text{SRSi})\text{vOZ}$</p> <p>≥ 15% veines de quartz gris millimétriques en stockwork.</p> <p>865.20 - 868.90</p>	

MINNOVA INC. - DIVISION EXPLORATION

DE (pi)	A (pi)	TEXTURE ET STRUCTURE	ALTÉRATION	MINÉRALISATION
			<p>106966: ± 70% HM(SR)(PY)vCL</p> <p>± traces de pyrite fine disséminée.</p> <p>868.90 - 873.50</p> <p>106967: 8+Si+HM(SRCL)</p> <p>± traces de pyrite fine disséminée.</p> <p>891.00 - 895.00</p> <p>106968: 8Si(SRHM)vCC</p> <p>Silice et hématite diffuses, séricitisation des minéraux mafiques sur ±60% de l'intervalle, microfractures remplies de calcite couleur rose pâle.</p> <p>909.30 - 914.50</p> <p>106969: 12B(MG)(8)CC(SRHM)vCC</p> <p>Calcite remplace minéraux mafiques (avec chlorite), aussi en microfractures (peu visibles sans acide) et plus faiblement diffuses. Hématite faible à moyenne diffuse. Possiblement faible silicification ou feldspathisation dans les intervalles centimétriques où la séricitisation partielle des mafiques est notée.</p> <p>Quelques grains de pyrite très fine.</p> <p>914.50 - 920.20 (8)HM+HM+(SR)CC</p> <p>106969:</p> <p>Séricitisation partielle des mafiques sur tout l'intervalle.</p>	

MINNOVA INC. - DIVISION EXPLORATION

DE (pi)	A (pi)	TEXTURE ET STRUCTURE	ALTERATION	MINERALISATION
			<p>920.20 - 925.20</p> <p>105680: 120(MG)(#)(CC)vCC</p> <p>939.50 - 944.10</p> <p>106970: Iden à 968.00</p> <p>947.00 - 948.50</p> <p>106971: #+SiHM(SRCC)vDH</p> <p>Fracturation mésoscopique en stockwork (CLICC) submillimétrique subparallèle à AC.</p> <p>949.50 - 953.70</p> <p>106972: #+Si+(HMCC)vQZvCCvCL</p> <p>±51 veinules de quartz millimétriques à subcentimétriques gris irrégulières, déplacées par veinules de chlorite.</p> <p>Concentration de pyrite moyenne locale.</p> <p>964.70 - 970.80</p> <p>106973: #+SiHM(CCC)vCL</p> <p>974.40 - 978.10</p> <p>106974: #+#+HM-HM+vCLCC</p> <p>Traces de pyrite très fine disséminée dans veinules de chlorite-calcite remplissant les fractures.</p> <p>978.10 - 983.50</p>	

MINNOVA INC. - DIVISION EXPLORATION

DE (pi)	A (pi)	TEXTURE ET STRUCTURE	ALTÉRATION	MINÉRALISATION
			<p>106975: B+M-NM+(SRCC)+CLCC</p> <p>Ensuite retour à la syénite rose équilibrée peu altérée.</p> <p>Traces de pyrite très fine disséminée.</p> <p>995.00: FIN DU TROU.</p>	

MINNOVA INC. - DIVISION EXPLORATION

ECHANTILLON	DE (pi)	A (pi)	LONGUEUR (pi)	Au(1) ppb	Au(2) ppb	Au(3) ppb	Au(4) ppb	Au(MOY) ppb	Ag ppm	As ppm	Sb ppm	Mo ppm	Pb ppm	Cu(1) ppm	Cu(2) ppm	Cu(MOY) ppm	Zn(1) ppm	Zn(2) ppm	Zn(MOY) ppm	
106883	51.90	53.90	2.00	tr.				tr.												
106884	112.90	115.50	2.60	tr.				tr.												
106885	141.30	145.70	4.40	tr.				tr.						104		104	56		56	
106886	145.70	150.40	4.70	tr.				tr.						130		130	67		67	
106887	153.60	156.20	2.60	tr.				tr.						87		87	61		61	
106888	220.30	222.90	2.60	tr.				tr.						41		41	27		27	
106889	223.50	226.00	2.50	tr.				tr.						38		38	47		47	
105668	231.00	236.60	5.60	tr.				tr.						47		47	52		52	
106890	236.60	237.50	0.90	446				446						72		72	40		40	
105669	237.50	243.40	5.90	tr.				tr.						310		310	71		71	
106891	243.40	245.20	1.80	tr.				tr.						47		47	51		51	
106892	245.20	246.30	1.10	tr.				tr.						36		36	81		81	
106893	246.30	247.90	1.60	tr.				tr.						26		26	18		18	
106894	247.90	249.00	1.10	tr.				tr.						27		27	47		47	
106895	260.00	263.00	3.00	tr.				tr.						42		42	32		32	
106896	266.00	267.30	1.30	tr.				tr.						36		36	40		40	
106897	302.10	304.30	2.20	tr.				tr.						97		97	61		61	
105670	304.30	307.60	3.30	tr.				tr.						42		42	62		62	
106898	307.60	309.00	1.40	206				206						50		50	67		67	
105671	309.00	314.00	5.00	tr.				tr.						230		230	74		74	
105672	342.10	347.10	5.00	tr.				tr.						90		90	45		45	
106899	347.10	348.50	1.40	274				274						50		50	44		44	
105673	348.50	351.90	3.40	tr.				tr.						41		41	67		67	
106900	361.80	363.30	1.50	tr.				tr.						230		230	40		40	
106901	370.30	374.70	4.40	tr.				tr.						24		24	56		56	
106902	374.70	376.70	2.00	309				309						42		42	83		83	
106903	376.70	381.60	4.90	480				480						120		120	97		97	
105674	381.60	388.50	6.90	tr.				tr.						87		87	94		94	
106904	388.50	392.20	3.70	240				240						67		67	62		62	
105675	392.20	397.20	5.00	tr.				tr.						45		45	81		81	
106905	400.70	403.80	3.10	tr.				tr.						85		85	60		60	
106906	403.80	408.70	4.90	tr.				tr.						56		56	66		66	
106907	408.70	411.30	2.60	446				446						40		40	50		50	
105676	411.30	415.10	3.80	tr.				tr.						30		30	50		50	
106908	445.20	448.00	2.80	tr.				tr.						31		31	67		67	
106909	478.00	478.60	0.60	tr.				tr.	9.2					26		26	72		72	
106910	478.60	482.60	4.00	tr.				tr.						57		57	92		92	
106911	482.60	486.00	3.40	tr.				tr.						20		20	120		120	
														22		22	120		120	

MINNOVA INC. - DIVISION EXPLORATION

eCHANTILLON	DE (pi)	A (pi)	LONGUEUR (pi)	Au(1) ppb	Au(2) ppb	Au(3) ppb	Au(4) ppb	Au(MOY) ppb	Ag ppm	As ppm	Sb ppm	Mo ppm	Pb ppm	Cu(1) ppm	Cu(2) ppm	Cu(MOY) ppm	Zn(1) ppm	Zn(2) ppm	Zn(MOY) ppm		
106912	486.00	488.50	2.50	tr.				tr.						22		22	90			90	
106913	488.50	492.00	3.50	tr.				tr.						53		53	66			66	
106914	492.00	494.80	2.80	tr.				tr.						24		24	99			99	
106915	494.80	498.50	3.70	tr.				tr.						20		20	34			34	
106916	498.50	502.40	3.90	tr.				tr.						20		20	36			36	
106917	502.40	504.30	1.90	tr.				tr.						22		22	40			40	
106918	504.30	507.10	2.80	tr.				tr.						24		24	46			46	
106919	516.00	518.90	2.90	tr.				tr.						36		36	37			37	
106920	529.20	532.50	3.30	tr.				tr.						26		26	30			30	
106921	532.50	536.80	4.30	tr.				tr.						27		27	34			34	
106922	536.80	541.00	4.20	tr.				tr.						550		550	37			37	
106923	541.00	545.70	4.70	tr.				tr.						90		90	33			33	
106924	545.70	546.80	1.10	tr.				tr.						22		22	34			34	
106925	546.80	549.50	2.70	tr.				tr.						19		19	40			40	
106926	549.50	552.20	2.70	tr.				tr.						24		24	40			40	
106927	552.20	554.80	2.60	tr.				tr.						24		24	47			47	
106928	563.60	568.50	4.90	tr.				tr.						26		26	47			47	
106929	569.20	571.70	2.50	tr.				tr.						20		20	12			12	
106930	614.50	616.70	2.20	tr.				tr.						12		12	57			57	
106931	623.50	626.00	2.50	tr.				tr.						31		31	48			48	
106932	668.30	673.10	4.80	tr.				tr.						27		27	33			33	
106933	673.10	676.50	3.40	tr.				tr.						31		31	40			40	
106934	680.90	683.50	2.60	tr.				tr.						34		34	60			60	
106935	687.30	690.00	2.70	tr.				tr.						24		24	40			40	
106936	693.90	698.00	4.10	tr.				tr.						32		32	77			77	
106937	698.00	702.50	4.50	tr.				tr.						23		23	39			39	
106938	732.00	736.40	4.40	tr.				tr.						32		32	36			36	
106939	736.40	740.50	4.10	tr.				tr.						50		50	37			37	
106940	740.50	745.00	4.50	tr.				tr.						24		24	39			39	
106941	745.00	747.90	2.90	tr.				tr.						100		100	36			36	
106942	747.90	752.00	4.10	tr.				tr.						24		24	39			39	
106943	752.00	756.50	4.50	tr.				tr.						119		119	nd			nd	
106944	756.50	761.30	4.80	tr.				tr.						80		80	37			37	
106945	761.30	766.00	4.70	tr.				tr.						44		44	39			39	
106946	766.00	770.80	4.80	tr.				tr.						32		32	47			47	
106947	770.80	775.50	4.70	tr.				tr.						34		34	56			56	
														54		54	57			57	
														30		30	70			70	

MINNOVA INC. - DIVISION EXPLORATION

ECHANTILLON	DE (pi)	A (pi)	LONGUEUR (pi)	Au(1) ppb	Au(2) ppb	Au(3) ppb	Au(4) ppb	Au(MOY) ppb	Ag ppm	As ppm	Sb ppm	Mo ppm	Pb ppm	Cu(1) ppm	Cu(2) ppm	Cu(MOY) ppm	Zn(1) ppm	Zn(2) ppm	Zn(MOY) ppm	
106948	775.50	780.00	4.50	tr.				tr.						22		22	52		52	
106949	780.00	785.00	5.00	tr.				tr.						27		27	44		44	
106950	785.00	788.00	3.00	tr.				tr.						27		27	51		51	
106951	788.00	792.20	4.20	tr.				tr.						28		28	53		53	
106952	792.20	797.00	4.80	tr.				tr.						24		24	54		54	
106953	797.00	799.80	2.80	tr.				tr.						30		30	70		70	
106954	799.80	802.50	2.70	tr.				tr.						30		30	65		65	
106955	802.50	808.00	5.50	tr.				tr.						26		26	70		70	
106956	808.00	812.70	4.70	tr.				tr.						66		66	72		72	
106957	812.70	815.20	2.50	tr.				tr.						40		40	49		49	
106958	815.20	820.30	5.10	tr.				tr.						34		34	81		81	
106959	820.30	823.80	3.50	tr.				tr.						30		30	65		65	
106960	823.80	827.30	3.50	tr.				tr.						31		31	60		60	
106961	827.30	832.10	4.80	tr.				tr.						32		32	70		70	
106962	832.10	836.00	3.90	tr.				tr.						27		27	64		64	
106963	837.90	843.00	5.10	tr.				tr.						97		97	54		54	
106964	843.00	846.70	3.70	tr.				tr.						35		35	67		67	
106965	846.70	850.30	3.60	tr.				tr.						33		33	56		56	
106966	865.20	868.90	3.70	tr.				tr.						30		30	64		64	
106967	868.90	873.50	4.60	tr.				tr.						27		27	70		70	
106968	891.00	895.80	4.80	tr.				tr.						22		22	57		57	
105679	909.30	914.50	5.20	tr.				tr.						39		39	89		89	
106969	914.50	920.20	5.70	240				240						21		21	61		61	
105680	920.20	925.20	5.00	tr.				tr.						29		29	72		72	
106970	939.50	944.10	4.60	tr.				tr.						30		30	57		57	
106971	947.00	949.50	2.50	tr.				tr.						49		49	59		59	
106972	949.50	953.70	4.20	tr.				tr.						35		35	52		52	
106973	967.70	970.80	3.10	tr.				tr.						30		30	54		54	
106974	974.40	978.10	3.70	tr.				tr.						24		24	54		54	
106975	978.10	983.50	5.40	tr.				tr.						23		23	60		60	

MINNOVA INC. - DIVISION EXPLORATION

COMPAGNIE : MINNOVA EXPLORATION	PROJET : ILE OPAWICA	SONDAGE : OP-11	IMPRIMÉ LE : 10/12/90																		
CANTON : LESPERANCE	RANG : -	LOT : -	CLAIM : 317226-5																		
<u>COORDONNEES AU COLLET</u>	GRILLE : LIGNE : 16+00E STATION : 6+00N	LATITUDE : 600.00 LONGITUDE : 1600.00 ELEVATION : 46.00	AZIMUT : 210 0' PLONGEE : -45 0'																		
<u>PROFONDEUR</u>	AU DEPART : 0.00	FIN DE TROU : 823.00	TUBAGE LAISSÉ (?) : Oui																		
GEOLOGUE : PAUL GIRARD			DATE DU JOURNAL : 01 juillet 90																		
CONTRACTEUR : FORAGE BELAND			FORAGE DEBUTE LE : 28 juin 90																		
BUT : Tester l'extension rectiligne sud de la zone aurifère B.			TERMINE LE : 30 juin 90																		
<u>DONNEES D'ORIENTATION</u>																					
<table border="1"> <thead> <tr> <th>Longueur</th> <th>Azimut</th> <th>Plongée</th> </tr> </thead> <tbody> <tr> <td>0.00</td> <td>210 0'</td> <td>-45 0'</td> </tr> <tr> <td>201.00</td> <td>220 0'</td> <td>-44 0'</td> </tr> <tr> <td>400.00</td> <td>*218 43'</td> <td>-44 0'</td> </tr> <tr> <td>601.00</td> <td>*217 24'</td> <td>-45 0'</td> </tr> <tr> <td>818.00</td> <td>216 0'</td> <td>-45 0'</td> </tr> </tbody> </table>				Longueur	Azimut	Plongée	0.00	210 0'	-45 0'	201.00	220 0'	-44 0'	400.00	*218 43'	-44 0'	601.00	*217 24'	-45 0'	818.00	216 0'	-45 0'
Longueur	Azimut	Plongée																			
0.00	210 0'	-45 0'																			
201.00	220 0'	-44 0'																			
400.00	*218 43'	-44 0'																			
601.00	*217 24'	-45 0'																			
818.00	216 0'	-45 0'																			
(*) azimut estimé																					

MINNOVA INC. - DIVISION EXPLORATION

DE (pi)	A (pi)	TEXTURE ET STRUCTURE	ALTERATION	MINÉRALISATION
0.00	20.00	<p>MT</p> <p>MORT-TERRAIN</p>		
20.00	785.00	<p>13A(MG)CL(Si)(PY)</p> <p>GABBRO</p> <p>Vert foncé de granulométrie variant de presque aphanitique à < 3mm. Le feldspath varie de automorphe (assez localement) à filou jusqu'à être complètement oblitéré. I de feldspath difficilement évaluable étant donné cette altération. A partir de 174.60 augmentation graduelle de la netteté et de la fréquence des passages ophitiques (intergranulaire). De 2 à 10% de quartz bleuté (feldspath?) de 2-4mm xénomorphe surtout dans les 100 premiers pieds.</p> <p>Fracturation faible à absente.</p> <p>Altération variable, mais chlorite variant de faible à moyenne et silice faible vue la dureté. Epidote et riebeckite locales. On retrouve souvent un lessivage millimétrique en bordure des fractures. La teinte est beige pâle à vert pâle, probablement causée par albite + chlorite (provenant de l'altération du gabbro) et d'un faible I d'épidote. La biotite semble peu abondante mais fut notée en concentrations variables (< 5%) sur des intervalles centimétriques à décimétriques, où elle était en porphyroblastes fins à moyens. Parfois la coloration brunâtre d'intervalles plus finement grenus suggère la présence de biotite très fine.</p> <p>Pyrite de traces à 0,5% en moyenne sur l'ensemble du gabbro, en fines veinules et disséminations. Magnétite de 2-3mm, xénomorphe, jusqu'à 5% surtout sur les premiers 100'. Dans intervalle suivant, la magnétite est toujours présente mais très fine. Localement pyrrhotite.</p>	<p>40.50 - 41.30</p> <p>105453: 13A(MG)CLSi(PY)</p>	

MINNOVA INC. - DIVISION EXPLORATION

DE (pi)	A (pi)	TEXTURE ET STRUCTURE	ALTÉRATION	MINÉRALISATION
			<p>7% de quartz bleuté (feldspath silicifié et riebeckite?).</p> <p>Texture intrusive oblitérée.</p> <p>46.00 - 48.30</p> <p>105454: I3AM6#CLSivAB(EP)(PY)vCC</p> <p>Veinules irrégulières < 1cm d'albite?-épidote + veinules de calcite recoupantes.</p> <p>Altération moyenne en chlorite, silice entre moyenne et faible, épidote et albite en veinules.</p> <p>< 1% de pyrite ± pyrrhotite associée surtout aux veinules d'épidote- albite.</p> <p>48.30 - 48.80</p> <p>105681: I3AM6(4)CLD0</p> <p>Phénocristaux de feldspath? flous encore visibles (≤ 3mm).</p> <p>Chlorite diffuse; biotite ≤ 1mm forme > 3% de la roche.</p> <p>≥ traces pyrite très fine disséminée.</p>	<p>48.80 - 49.60 I3A(M15)B+CB+AB?(S1)(CL)PY+vCC</p> <p>405455:</p> <p>Fracturation forte définie par forte densité de minces veinules de calcite avec altération diffuse formant localement une roche métasomatique beige.</p> <p>Altération en carbonate de fer (dolomie)+ silice? + calcite faible + albite.</p>

MINNOVA INC. - DIVISION EXPLORATION

DE (pi)	A (pi)	TEXTURE ET STRUCTURE	ALTÉRATION	MINÉRALISATION
			<p>49.60 - 51.00</p> <p>105456: I3AMG(♯)CL(Si)(PYPO)</p> <p>Pyrite et/ou pyrrhotite, à 1% en veinules (2-3mm surtout.</p> <p>51.00 - 53.00</p> <p>105457: I3AMGCLSi(PY)</p> <p>Environ ≤ 10% de quartz? bleuté.</p> <p>Altération moyenne en chlorite et silice.</p> <p>Traces à 0,5% de pyrite irrégulièrement dispersée, surtout en amas et veinules.</p> <p>53.90 - 55.40</p> <p>105458: I3A(MG)(♯)CLSi(PY)</p> <p>Calcite et silice moyennes.</p> <p>58.30 - 60.10</p> <p>105459: I3A(MG)♯CLSiVAB(EP)(PY)</p> <p>Fracturation continue mais irrégulière en orientation avec altération (lessivage) sur ≤ 7mm.</p> <p>Aspect moins siliceux, altération vert pâle en bordure des veinules de feldspath-épidote.</p> <p>Pyrite 0,5% associée à l'altération en bordure des</p>	<p>3% de pyrite fine associée à l'altération.</p>

MINNOVA INC. - DIVISION EXPLORATION

DE (pi)	A (pi)	TEXTURE ET STRUCTURE	ALTÉRATION	MINÉRALISATION
			<p>veinules.</p> <p>65.00 - 66.00</p> <p>105460: I3AM6#CL(Si)vAB</p> <p>Idea sauf fracturation et altération moins fortes.</p> <p>87.70 - 89.00</p> <p>105462: I3A(M6)#CLSiEP</p> <p>Altération diffuse vert pâle à partir de minces veinules ± visibles.</p> <p>Traces de pyrite.</p> <p>89.00 - 127.70 CL</p> <p>Altération surtout en chlorite vue la coloration verte assez nette et dureté moindre.</p> <p>97.70 - 98.70</p> <p>105463: I3AM6(##)CL(PY)</p> <p>Pyrite entre traces et 0,5%.</p> <p>115.00 - 116.00</p> <p>105464: I3ACLvM6PY</p>	<p>80.40 - 81.10</p> <p>105461: I3AM6(##)CLSiPY</p> <p>1-2% de pyrite en fine veinules.</p>

MINNOVA INC. - DIVISION EXPLORATION

DE (pi)	A (pi)	TEXTURE ET STRUCTURE	ALTÉRATION	MINÉRALISATION
			<p>Traces à 0,5% de pyrite dans veine de magnétite de 6mm.</p> <p>117.50 - 121.80</p> <p>105465: I3A(MB)#CLvAB(FP)(PY)</p> <p>Encore altération vert pâle en bordure de fractures: albite + épidote.</p> <p>Pyrite associée à l'altération vert pâle ± traces à 0,5%.</p> <p>123.90 - 125.00</p> <p>105466: I3A(MB)CL(Si)?PY</p> <p>1% de pyrite disséminée amas et veinules.</p> <p>127.70 - 132.00</p> <p>105467: I3A(MB)(#)CL(Si)</p> <p>132.00 - 136.00</p> <p>105468: Iden.</p> <p>136.00 - 139.00</p> <p>105469: Iden.</p> <p>139.00 - 141.30</p> <p>105470: I3A#CL(Si)PYPOvABEp</p>	<p>127.70 - 174.00 (PY)</p> <p>Traces à 0,5% de pyrite disséminée et en fines veinules.</p>

MINNOVA INC. - DIVISION EXPLORATION

DE (pi)	A (pi)	TEXTURE ET STRUCTURE	ALTÉRATION	MINÉRALISATION
			<p>Fracturation moyenne par veine avec bordure d'altération (lessivage) < 1cm ± dense.</p> <p>Bordure d'altération en albite-épidote.</p> <p>Pyrite et pyrrhotite surtout associées à l'altération en bordure.</p> <p>141.30 - 141.90</p> <p>105471: I3AM6=+CCCL(PY)</p> <p>Foliation forte (plissée) crénulation.</p> <p>Chlorite en septa et microlithon de calcite millimétrique.</p> <p>Pyrite de traces à 0.5%.</p> <p>141.90 - 142.50</p> <p>105472: I3AM6ABEp</p> <p>Albite et épidote diffuses.</p> <p>Traces de pyrite.</p> <p>142.50 - 143.20</p> <p>105473: I3AM6CL(Si)(AB)?PY</p> <p>Pyrite 1-2% en petits amas irréguliers.</p> <p>143.20 - 144.10</p> <p>105474: I3A(M6)(B)CL(Si)(AB)(PY)vCC</p> <p>0.5% de pyrite.</p>	

MINNOVA INC. - DIVISION EXPLORATION

DE (pi)	A (pi)	TEXTURE ET STRUCTURE	ALTERATION	MINÉRALISATION
			<p>144.10 - 145.50</p> <p>105475: I3AMB#CL(Si)PYvCC</p> <p>Fracturation forte par minces veinules de calcite ± parallèles entre elles.</p> <p>1-2% de pyrite finement disséminée.</p>	<p>145.50 - 147.90</p> <p>105476: I3AMB(♯)CL(ABEPPY)PYvCC</p> <p>Bordures de lessivage très minces.</p> <p>50% de pyrite dans fracture + disséminée ≈ 2% au total.</p>
			<p>148.30 - 150.00</p> <p>105478: I3AMB(♯)CL(Si)(PY)</p> <p>Mince lessivage peu important.</p> <p>Traces à 0,5% de pyrite.</p>	<p>147.90 - 148.30</p> <p>105477: I3AMB(♯)CL(Si)PY+</p> <p>Mince lessivage peu important.</p> <p>2-3% de pyrite surtout disséminée et petits amas.</p>
			<p>150.00 - 153.20</p> <p>105479: Idem.</p>	<p>153.20 - 153.80</p>

MINNOVA INC. - DIVISION EXPLORATION

DE (pi)	A (pi)	TEXTURE ET STRUCTURE	ALTÉRATION	MINÉRALISATION
			<p>153.80 - 158.00</p> <p>105480: I3AMGCL(Si)(PY)(PO)</p> <p>22% de pyrite en amas denses ± veinules <1cm.</p>	
			<p>158.00 - 162.70</p> <p>105481: I3AMGCL(Si)(PY)(PO)</p> <p>Mince lessivage peu important.</p> <p>Pyrite disséminée légèrement supérieure à traces + 1 bande de 1cm de pyrrhotite.</p>	
			<p>162.70 - 164.30</p> <p>105482: I3AMGCL(Si)(PYPD)</p> <p>Pyrite et pyrrhotite fine 0,5%.</p>	
			<p>164.30 - 168.00</p> <p>105483: I3ACLEP</p> <p>Saussuritisation.</p>	
			<p>168.00 - 172.50</p> <p>105484: I3A(MB)CL(Si)(PY)</p> <p>Lessivage local peu important.</p> <p>Traces à 0,5% de pyrite.</p>	
				<p>105485: I3ACL(Si)(PY)/AB(EP)PY</p>

MINNOVA INC. - DIVISION EXPLORATION

DE (pi)	A (pi)	TEXTURE ET STRUCTURE	ALTÉRATION	MINÉRALISATION
			<p>172.50 - 174.00</p> <p>105486: I3AMGCLSi(PY)</p> <p>Pyrite le long d'une veinule d'altération z II.</p>	<p>Texture intrusive oblitérée.</p> <p>4' d'albite (± épidote), Chlorite et silice moyennes.</p> <p>Pyrite 0,5 à 1% disséminée et fines veinules et 2% avec albite.</p>
			<p>174.00 - 174.60</p> <p>105487: I3A/vMG(PY)</p> <p>Veinules de magnétite de <1cm.</p> <p>Pyrite (2% de la veine).</p>	<p>174.00 - 215.00 MG</p> <p>Retour du gabbro à magnétite plus grossière 1-2mm</p>
			<p>181.50 - 183.10</p> <p>105488: I3AMGCL(Si)(AB)(PYPO)</p> <p>Lessivage local, altération en albite.</p> <p>Environ 1% de sulfures (pyrite + pyrrhotite) en veinules (<7mm) et disséminés.</p>	
			<p>197.40 - 198.70</p> <p>105489: I3AMG(♯)CL(Si)vAB(EP)(PYPO)</p>	

MINNOVA INC. - DIVISION EXPLORATION

DE (pi)	A (pi)	TEXTURE ET STRUCTURE	ALTÉRATION	MINÉRALISATION
		<p>240.00 - 245.20 I3A(M6)CLSiBORB/I2JNC.IFP(CL)</p> <p>Gabbro similaire avec dyke de diorite porphyrique contenant 35% de feldspath blanc hypidiomorphe de 2-3mm dans matrice fine noire. Les contacts sont plutôt nets sur quelques millimètres. Le dyke de 3.5' et le</p>	<p>Lessivage des mafiques sur (lca, albite (épidote).</p> <p>Pyrite et pyrrhotite associées au lessivage.</p> <p>201.60 - 202.90</p> <p>105490: I3A(M6)(#)CLRB(Si)</p> <p>Altération en riebeckite selon teinte bleutée plus évidente que plusieurs passages précédents où la riebeckite était possible. Lessivage mince et peu important.</p> <p>Traces de pyrite.</p> <p>235.10 - 236.10</p> <p>105491: I3A(M6)=+Si+CL(PY)</p> <p>Foliation forte, mais floue dû à la silicification. ± 25°C.</p> <p>Aspect très siliceux.</p> <p>Traces à 0,5% pyrite.</p> <p>237.30 - 239.20</p> <p>105492: I3A(M6)CLSiPY</p> <p>1% de pyrite disséminée et associée à bordure d'altération.</p>	

MINNOVA INC. - DIVISION EXPLORATION

DE (pi)	A (pi)	TEXTURE ET STRUCTURE	ALTERATION	MINERALISATION
		<p>reste dykes centimétriques (enclaves dans gabbro?).</p> <p>La diorite est probablement faiblement chloritisée; le gabbro contient des intervalles centimétriques avec biotite (± SZ) fine à moyenne en porphyroblastes et aussi des zones bleutées à RB (± SZ)</p> <p>247.40 - 247.60 vCCI4P?HM</p> <p>Dyke poreux facilement rayable, rouge, réagissant fortement à l'acide. Probablement une injection de calcite carbonatitique.</p>	<p>256.60 - 271.30 I3A#CC(DN)CLSiVFPvCLvQZvCC</p> <p>Gabbro carbonatisé ± reconnaissable gris moyen vert, moyennement fracturé avec minces veinules de calcite et localement veinules de 4-6mm de feldspath et/ou chlorite et veinules de quartz.</p> <p>Altération en calcite, dolomie, et probablement silice rend la roche plus pâle. Chloritisation (précoce?) toujours présente.</p> <p>Traces de pyrite.</p> <p>256.60 - 261.00</p>	<p>247.10 - 252.00</p> <p>105493: I3ACLSiPY</p> <p>Texture presque complètement oblitérée.</p> <p>Altération moyenne en chlorite et silice.</p> <p>Pyrite 2% en veinules minces souvent subparallèles à AC.</p>

MINNOVA INC. - DIVISION EXPLORATION

DE (pi)	A (pi)	TEXTURE ET STRUCTURE	ALTERATION	MINERALISATION
			<p>105495: Type. 261.00 - 262.70</p> <p>105496: Type. 262.70 - 263.50</p> <p>105497: Type + oxydation. 263.50 - 268.00</p> <p>105498: Type. 268.00 - 271.30</p> <p>105499: I3A*+CCDMAB?CLvCLSi</p> <p>271.30 - 274.60</p> <p>105500: I3A(●)CL(Si)AB(PY)</p> <p>Texture tachetée vert pâle (30% de la roche) par l'altération.</p> <p>Gabbro chloritisé moyennement et faiblement silicifié avec passages vert pâle albitisés avec très faible épidote.</p> <p>274.60 - 278.00</p> <p>105501: I3A(MG)CL(Si)(PY)</p> <p>278.00 - 282.00</p>	<p>271.30 - 296.30 (PY)</p> <p>Traces à 0,5% de pyrite surtout disséminée.</p>

MINNOVA INC. - DIVISION EXPLORATION

DE (pi)	A (pi)	TEXTURE ET STRUCTURE	ALTÉRATION	MINÉRALISATION
		<p>296.30 - 304.60 I2JMC.IFP(CL)</p> <p>Diorite porphyrique idem à 240.00.</p>	<p>105502: I3A(MG)CL(Si)(AB)(PY)</p> <p>3I de passages vert pâle.</p> <p>282.00 - 286.00</p> <p>105503: Idem.</p> <p>286.00 - 290.00</p> <p>105504: Idem.</p> <p>290.00 - 294.00</p> <p>105505: Idem.</p> <p>294.00 - 296.30</p> <p>105506: Idem.</p> <p>304.60 - 305.60</p> <p>105507: I3ACL(Si)(PY)</p> <p>Jusqu'à 1I pyrite.</p> <p>317.00 - 321.00</p> <p>105508: I3AM6PY</p> <p>1I de pyrite.</p> <p>321.00 - 324.00</p>	

MINNOVA INC. - DIVISION EXPLORATION

DE (pi)	A (pi)	TEXTURE ET STRUCTURE	ALTERATION	MINERALISATION
			<p>105509: 13A(MG)(#)CL(PYPD)</p> <p>Environ 1% de pyrite et pyrrhotite au total, surtout en veinules ± associées à faible lessivage.</p> <p>324.00 - 327.00</p> <p>105510: 13AMGCL(PY)</p> <p>0,5% de pyrite.</p> <p>327.00 - 328.60</p> <p>105511: 13A(MG)WCL(PY)vCC</p> <p>0,5% de pyrite.</p> <p>328.60 - 329.80</p> <p>105512: 13A(MG)CL(PY)</p> <p>329.80 - 331.20</p> <p>105513: 13A(MG)CL(Si)?(PY)/vCC(I4D)?(PY)</p> <p>A 329.80, contact assez net de l'injection de calcite, fine mauvâtre mais plus floue jusqu'au gabbro.</p> <p>333.10 - 337.90</p> <p>105515: 13A(MG)CL(vAB)(PY)</p>	<p>331.20 - 333.10</p> <p>105514: 13ACL PY</p> <p>Pyrite jusqu'à 2%.</p>

MINNOVA INC. - DIVISION EXPLORATION

DE (pi)	A (pi)	TEXTURE ET STRUCTURE	ALTERATION	MINERALISATION
		<p>347.20 - 349.30 I2JMC.JFP(CL)</p> <p>Diorite porphyrique idem à 240.00.</p>	<p>Altération moyenne en chlorite et faible en albite formant des enveloppes d'altération subcentimétriques autour de fractures.</p> <p>0,5I de pyrite † associée au lessivage.</p> <p>337.90 - 339.40</p> <p>105516: I3AMGCL(PY)</p> <p>339.40 - 341.60</p> <p>105517: I3A(MH)CLvAB(PY)</p> <p>Lessivage légèrement supérieur.</p> <p>0,5I à 1I de pyrite.</p> <p>341.60 - 345.00</p> <p>105518: I3AMGCL(Si)(PY)</p> <p>0,5I de pyrite.</p> <p>345.00 - 345.90</p> <p>105519: I3ACLCC(Si)(PY)VQZ(CC)</p> <p>Veines de quartz † calcite de 2" 90°AC.</p> <p>349.30 - 369.50 vAB(EP)</p>	

MINNOVA INC. - DIVISION EXPLORATION

DE (pi)	A (pi)	TEXTURE ET STRUCTURE	ALTERATION	MINÉRALISATION
			<p>De 3 à 10% de lessivage des mafiques par albite en enveloppes centimétriques autour de fractures</p> <p>Pyrite légèrement supérieure à traces.</p> <p>379.00 - 380.40</p> <p>105521: I3AM6*+CL(CC)(PY)vCC</p> <p>Pyrite traces à 0,5% très fine.</p> <p>381.70 - 386.70</p> <p>105523: I3AMGCL(CC)(PY)</p> <p>0,5% de pyrite.</p> <p>398.10 - 401.20</p> <p>105524: I3AMGCL(Si)(PY)</p>	<p>373.40 - 375.60</p> <p>105520: I3AMGCLPY</p> <p>Chlorite entre faible et moyenne puisque latte de feldspath assez bien définie. Albite très faible.</p> <p>1-2% de pyrite.</p> <p>380.40 - 381.70 M15*+DMCCPY+vCCvFP</p> <p>105522:</p> <p>Altération beige semble être contrôlée par la fracturation. Calcite diffuse surtout au début de l'intervalle.</p> <p>2-3% de pyrite finement disséminée.</p>

MINNOVA INC. - DIVISION EXPLORATION

DE (pi)	A (pi)	TEXTURE ET STRUCTURE	ALTERATION	MINERALISATION
			<p>Traces à 0,5% de pyrite fine disséminée + veinules.</p> <p>410.40 - 411.30</p> <p>105525: I3AM6CLvABPO</p> <p>Lessivage centimétrique vert pâle (albite) en bordure de fractures. Pyrrhotite surtout associée au lessivage, formant 15-20% des veinules.</p> <p>414.20 - 440.60</p> <p>Les zones de lessivage contiennent souvent un coeur beige ± grenu (slm) de feldspath? avec I assez élevé de sulfures. Ces zones forment un très faible I de la roche.</p> <p>415.00 - 415.50</p> <p>105526: I3AM6CL(Si)PY</p> <p>Pyrite ±I associée à zone plus siliceuse.</p> <p>417.00 - 418.60</p> <p>105527: I3ANCL(PY)vABPY</p> <p>Texture hétérogène due à l'altération, mélange de vert pâle + coeur beige/vert foncé.</p> <p>Traces à 0,5% de pyrite disséminée et dans veinules d'albite.</p>	<p>430.30 - 477.40 (PY)</p> <p>Traces à 1% de pyrite disséminée et en veinules minces.</p>

MINNOVA INC. - DIVISION EXPLORATION

DE (pi)	A (pi)	TEXTURE ET STRUCTURE	ALTERATION	MINERALISATION
			<p>430.30 - 431.50</p> <p>105528: I3AMG(♯)CLvABFP(PY)</p> <p>3I de lessivage avec coeur de feldspath-pyrite.</p> <p>0,5I de pyrite associée au lessivage.</p> <p>431.50 - 433.40</p> <p>105529: I3AMGCLvPY</p> <p>1I de pyrite en fines veines parfois † calcite.</p>	<p>433.40 - 434.70</p> <p>105530: I3AMGCLvPY</p> <p>3I de pyrite idem.</p>
			<p>434.70 - 436.20</p> <p>105531: I3AMGCLPY</p> <p>0,5I de pyrite idem.</p> <p>439.00 - 440.20</p> <p>105532: I3AMGCL(PY)vPY</p> <p>0,5-1I de pyrite en fines veinules + disséminées † régulières.</p> <p>440.20 - 442.20</p> <p>105533: I3AMG(♯)CL(CC)(PY)vCC</p>	<p>442.20 - 443.00 I3AMG♯+CC+CLPY</p>

MINNOVA INC. - DIVISION EXPLORATION

DE (pi)	A (pi)	TEXTURE ET STRUCTURE	ALTERATION	MINERALISATION
			<p>443.00 - 447.30</p> <p>105535: Idem (PY)</p> <p>Traces à 0,5%.</p> <p>447.30 - 448.20</p> <p>105536: Idem 13AM6(+)CLvPY(CC)</p> <p>Veines ± parallèles AC de 3mm de pyrite avec un peu de calcite et chlorite.</p> <p>448.20 - 451.20</p> <p>105537: 13AM6CL(PY)</p> <p>Traces à 1% de pyrite.</p> <p>451.20 - 456.00</p> <p>105538: 13AM6CL(PY)</p> <p>Traces à 0,5% de pyrite très locale. ± 1% sur quelques pouces.</p> <p>456.00 - 461.00</p> <p>105539: Idem.</p> <p>461.00 - 466.00</p>	<p>105534:</p> <p>Calcite semblable à brèche.</p> <p>1-2% de pyrite avec 5% sur 3'.</p>

MINNOVA INC. - DIVISION EXPLORATION

DE (pi)	A (pi)	TEXTURE ET STRUCTURE	ALTERATION	MINERALISATION
		<p>480.60 - 481.20 [4N(MB)CC+BD</p> <p>LAMPROPHYRE</p> <p>Gris moyen composé de 10-15% de biotite? de 1-4mm, hypidiomorphe, dans matrice plus fine calcitique facilement rayable. Entre faiblement et moyennement magnétique. Contact à 30°AC.</p> <p>504.00 - 506.10 [2JM(.]FP(CL)(Si)</p> <p>Diorite porphyrique similaire à auparavant contact net, supérieure à 15° AC et inférieure à 30°AC.</p> <p>Matrice semble plus siliceuse que les dykes de diorite</p>	<p>105540: Idem.</p> <p>466.00 - 471.00</p> <p>105541: Idem.</p> <p>471.00 - 474.10</p> <p>105542: Idem.</p> <p>476.80 - 477.00</p> <p>105543: Idem.</p> <p>493.40 - 494.00</p> <p>105544: [3A(MB)(CLSi)(PY)</p> <p>±0,5% de pyrite ± en bande <6mm.</p>	

MINNOVA INC. - DIVISION EXPLORATION

DE (pi)	A (pi)	TEXTURE ET STRUCTURE	ALTÉRATION	MINÉRALISATION
		porphyrique précédent.	<p>507.50 - 509.30</p> <p>105545: I3AM6(♯)(CL)vPOPYvCC</p> <p>Environ 1-2% de veinules de pyrrhotite † pyrite.</p> <p>511.70 - 512.60</p> <p>105546: I3ACL(PY)</p> <p>≈ 0,5% de pyrite disséminée.</p>	
		<p>512.60 - 514.10 I2JMC.JFP(CL)(Si)</p> <p>Dyke de diorite porphyrique similaire mais contact moins net.</p>	<p>514.90 - 518.10</p> <p>105547: I3A(MG)CLvPO</p> <p>≈ 0,5% de pyrrhotite surtout en fines veinules.</p>	
		<p>536.30 - 541.70 I2JL.JFP?(CL)</p> <p>DIORITE PORPHYRIQUE</p> <p>Dyke porphyrique avec environ 10% de phénocristaux de feldspath (2-3mm) très flou, généralement dans matrice < 1mm quartzo-feldspathique chloritisée vert moyen. Contacts très</p>	<p>535.50 - 536.30</p> <p>105548: I3A(MG)CL(PY)</p> <p>0,5% à 1% de pyrite disséminée.</p>	

MINNOVA INC. - DIVISION EXPLORATION

DE (pi)	A (pi)	TEXTURE ET STRUCTURE	ALTÉRATION	MINÉRALISATION
		<p>flous.</p> <p>551.90 - 556.90 I2JMC.JFP(CL)</p> <p>Diorite porphyrique similaire à 240.00. Contact supérieur à 30°AC, inférieur à 20°AC.</p> <p>556.90 - 606.60 (7A)</p> <p>Gabbro à texture ophitique t nette avec veine d'aspect siliceux de < 1cm gris foncé fortement magnétique avec sulfure.</p> <p>Gabbro faiblement chloritisé.</p> <p>Traces de sulfures disséminés dans gabbro et environ 10% de pyrite dans veines avec 1 indéterminé de magnétite.</p>	<p>541.70 - 543.40</p> <p>105549: I3A(MG)CL(Si)PY</p> <p>± 1% de pyrite fine.</p> <p>543.40 - 547.00</p> <p>105550: I3A(MG)CL(PY)</p> <p>Traces à 0,5% de pyrite.</p> <p>547.00 - 550.60</p> <p>105551: Iden.</p> <p>550.60 - 551.90</p> <p>105552: I3A(MG)(#)CLvPO(PO)</p> <p>Pyrrhotite = pyrite surtout en minces veinules continues.?</p>	

MINNOVA INC. - DIVISION EXPLORATION

DE (pi)	A (pi)	TEXTURE ET STRUCTURE	ALTERATION	MINÉRALISATION
		(Environ 40% de la roche possède une texture ophitique assez bien définie.)	<p>556.90 - 559.20</p> <p>105553: I3A(A)(MG)(CL)vSi6PY</p> <p>560.80 - 561.30</p> <p>105554: I3A(A)(MG)(CLSi)(PY)</p> <p>562.90 - 565.00</p> <p>105555: I3A(A)(MG)(CL)(PY)</p> <p>Traces à 0,5% de pyrite disséminée.</p> <p>566.00 - 570.60</p> <p>105556: I3A(MG)(#)CL(Si)?(PY)</p> <p>0,5-1% de pyrite disséminée et en fines veinules irrégulières et discontinues.</p> <p>570.60 - 572.70</p> <p>105557: I3A(A)(A)(MG)(CLSi)(PY)</p> <p>Texture ophitique floue.</p> <p>0,5-1% de pyrite disséminée.</p> <p>575.00 - 579.20</p> <p>105558: I3A(MG)CL(PY) Texture oblitérée.</p>	

MINNOVA INC. - DIVISION EXPLORATION

DE (pi)	A (pi)	TEXTURE ET STRUCTURE	ALTÉRATION	MINÉRALISATION
			<p>Chlorite moyenne à forte.</p> <p>0,5 à 1% de pyrite disséminée.</p> <p>579.20 - 604.50 M15</p> <p>METASOMATITE</p> <p>Très variable en teinte et texture, variant de beige-rouge à vert pomme pâle. Nombreuses veines de quartz.</p> <p>La fracturation varie de presque absente à forte.</p> <p>Altération variable en épidote, calcite, carbonate de fer, chlorite, hématite et albite.</p> <p>Minéralisation très variable de traces à 4% sur quelques centimètres.</p> <p>579.20 - 579.70</p> <p>105559: M15+CC+EP</p> <p>Fracturation forte définie par fines veinules de chlorite et calcite déplaçant veinules de 2-3mm de quartz. Les 2 contacts sont nets à 90°AC.</p> <p>Altération vert pomme pâle (épidote) avec forte calcification.</p> <p>Minéralisation absente.</p>	<p>579.70 - 580.10 M15DM++Si?PY+ M15/DM+(vFPCC)?</p> <p>105560:</p>

MINNOVA INC. - DIVISION EXPLORATION

DE (pi)	A (pi)	TEXTURE ET STRUCTURE	ALTÉRATION	MINÉRALISATION
			<p>105564: M15MG++CL+FP? ZONE DE DEFORMATION</p> <p>Plans millimétriques de chlorite (septas ± bien définis), foliation plissotée avec longueur d'onde décimétrique et amplitude centimétrique.</p> <p>Altération forte en chlorite formant des septas, avec microlithons de feldspath vert pâle.</p> <p>Traces de pyrite, veinules de 7mm de magnétite.</p> <p>589.40 - 590.60</p> <p>105565: M15(MG)#+CL+vFP</p> <p>Foliation à 40°AC définie par septa de chlorite. Foliation recoupée par fracturation dense définie par veinules de feldspath blanc.</p> <p>Roche d'apparence lessivée avec plans chloriteux.</p> <p>Traces de pyrite.</p> <p>590.60 - 592.50</p> <p>105566: I3AMB(♯)CLCCvCCvFP</p> <p>Texture ± visible.</p> <p>Altération moyenne diffuse en chlorite et calcite.</p> <p>Deux amas centimétriques de pyrite.</p> <p>592.50 - 595.20</p>	

MINNOVA INC. - DIVISION EXPLORATION

DE (pi)	A (pi)	TEXTURE ET STRUCTURE	ALTERATION	MINERALISATION
			<p>105567: M15+CB+(HM)?FP+QZ</p> <p>Veine de quartz \pm perpendiculaire à A.C., \pm diffuse.</p> <p>Altération surtout en carbonate de fer beige rougeâtre.</p> <p>Traces de pyrite.</p> <p>595.20 - 599.30</p> <p>105568: I2J?(MG)Si(HMCL)</p> <p>Texture intrusive \pm visible, probablement diorite porphyrique très faiblement magnétique et diorite généralement non magnétique.</p> <p>Altération rougeâtre, roche très dure.</p> <p>Traces de pyrite.</p> <p>599.30 - 601.00</p> <p>105569: I3A1MG+/A\</p> <p>Texture ophitique-intergranulaire très bien développée (\approx30% feldspath).</p> <p>Roche probablement altérée en chlorite.</p> <p>601.00 - 604.50</p> <p>105570: M15+=CL+(CC)(PY)</p> <p>Zone de déformation, foliation forte à extrême à 45°C. Contact plus calcitique à texture lamprophyrique.</p> <p>Altération forte ou extrême en chlorite.</p>	

MINNOVA INC. - DIVISION EXPLORATION

DE (pi)	A (pi)	TEXTURE ET STRUCTURE	ALTÉRATION	MINÉRALISATION
		604.50 - 606.60 I2JMC. JFP(CL)	Traces de pyrite à 0,5%.	
		Diorite porphyrique idem.		
		Probablement faiblement chloritisé.		
		606.60 - 785.00 /A\MG(CL)		
		Gabbro ophitique fortement à moyennement magnétique. Le feldspath est en lattes automorphes jusqu'à 4-5mm de long, blanc à vert pâle. Le feldspath forme 25% de la roche; il est localement plus flou mais la texture ophitique est toujours visible.		
		Chlorite faible généralement.		
		Traces de pyrite.		
		609.80 - 612.90 I2JMC. JFP(CL)		
		Diorite porphyrique idem sauf feldspath rosé.		
		Hématitisation très faible de feldspath.		
			612.90 - 613.40	
			105571: VQZ	
			614.00 - 615.90	
			105572: M15CL++	
			625.10 - 627.60	
			105573: I3A1(MG)/A\#EPvEP	

MINNOVA INC. - DIVISION EXPLORATION

DE (pi)	A (pi)	TEXTURE ET STRUCTURE	ALTÉRATION	MINÉRALISATION
		<p>628.90 - 629.30 vCCI4P?PY(HH)</p> <p>Injection de calcite carbonatitique mauvâtre finement grenue à 45°AC.</p> <p>Hématite faible.</p> <p>1% pyrite très fine.</p>	<p>Fracturation définie par veinules (<1cm d'épidote?)</p> <p>Epidote forte (saussuritisisation) + veinules.</p> <p>Traces de pyrite.</p> <p>628.90 - 629.30</p> <p>105574:</p> <p>634.90 - 635.30</p> <p>105576: 13A?/\CL(CC)</p> <p>Gabbro avec contact supérieur net (dyke?) fragmentaire avec texture complètement oblitérée au centre de l'intervalle. La roche est facilement rayable, de couleur vert moyen à pâle, avec ≈ 15% minéraux mafiques.</p> <p>Altération moyenne à forte en chlorite, calcite surtout en bordure.</p> <p>635.30 - 636.40</p> <p>105577: 13A?M6+CL(Si?)PY</p> <p>0,5-2% de pyrite.</p>	

MINNOVA INC. - DIVISION EXPLORATION

DE (pi)	A (pi)	TEXTURE ET STRUCTURE	ALTERATION	MINÉRALISATION
		<p>653.30 - 663.10 I2JMC.JFP(CL)(Si)</p> <p>Dyke de diorite porphyrique similaire avec 10-15% phénocristaux flous par endroits. Contacts à 40°AC.</p> <p>Altération faible en chlorite et silice, quelques feldspaths rosés.</p> <p>Minéralisation absente.</p> <p>665.20 - 673.60 I2JMC.JFP(CLSi)</p> <p>Diorite prophyrique idem.</p> <p>673.60 - 677.00 I3?C.JAM(FP)(CL)?</p> <p>MICROGABBRO PORPHYRIQUE</p> <p>Roche à matrice gris-vert submillimétrique avec z 10% phénocristaux noirs, allongés et tabulaires atteignant 3mm et quelques phénocristaux de feldspath (Si).</p> <p>Altération faible à moyenne en chlorite.</p> <p>Minéralisation absente.</p>	<p>636.40 - 638.60</p> <p>105578: Idem à 105576</p> <p>Contact inférieur net => 45°AC. M8me dyke continu depuis 634.90?</p> <p>652.00 - 667.20</p> <p>105579: I2J?Si+(CL)</p> <p>Traces de pyrite.</p>	

MINNOVA INC. - DIVISION EXPLORATION

DE (pi)	A (pi)	TEXTURE ET STRUCTURE	ALTERATION	MINERALISATION
			<p>673.60 - 674.40</p> <p>105580: v0Z</p> <p>674.40 - 675.00</p> <p>105581: I3AMB#CL(PY)vCC</p> <p>Traces 0,5% de pyrite.</p> <p>677.00 - 679.10</p> <p>105582: I3A(MB)CL(EP)(PY)</p> <p>Texture gabbroïque assez floue jusqu'à 700.10</p> <p>Chlorite moyenne et épidote (teinte).</p> <p>0,5% de pyrite en moyenne.</p> <p>682.70 - 687.90</p> <p>105583: I3AMB(/A)CL(PY)</p> <p>0,5% à 1% de pyrite.</p> <p>689.50 - 693.00</p> <p>105585: Idem (PY)</p>	<p>687.90 - 689.50</p> <p>105584: Idem PY+</p> <p>2-3% de pyrite.</p>

MINNOVA INC. - DIVISION EXPLORATION

DE (pi)	A (pi)	TEXTURE ET STRUCTURE	ALTERATION	MINÉRALISATION
		<p>700.10 - 712.20 I3?C.JAM(FP)(CL) Idem à 673.60 Microgabbro porphyrique. Contacts à 10*AC.</p>	<p>0,5I de pyrite en moyenne. 693.00 - 696.00 105586: Idem. 696.00 - 700.10 105587: Idem.</p>	
		<p>726.20 - 727.20 I3AL.JAM(FP)C1 Idem, vert moyen. Contacts à 40 et 35*AC. Chlorite moyenne diffuse + calcite locale.</p>	<p>712.20 - 715.10 105588: I3AMG+(/A)(CL)(PY) 0,5-1I de pyrite disséminée.</p>	
		<p>730.50 - 739.40 I2JMC.IFP(CLSi) Diorite porphyrique similaire à auparavant sauf teinte rougeâtre. Silice et chlorite faibles avec hématite très faible.</p>		
		<p>740.30 - 740.70 I3AL.JAM(FP)CLCC Idem à 726.20 So 70*AC.</p>		

MINNOVA INC. - DIVISION EXPLORATION

DE (pi)	A (pi)	TEXTURE ET STRUCTURE	ALTÉRATION	MINÉRALISATION
		<p>Altération moyenne en chlorite et calcite.</p> <p>743.20 - 744.20 I3A(.JAM(FP)CL</p> <p>Microgabbro idem, rayable.</p> <p>769.40 - 777.20 I2JMC(.JFP(CL)</p> <p>Diorite porphyrique idem.</p> <p>777.20 - 778.60 I3A?(C.JAM)MG</p> <p>Microgabbro?</p> <p>778.60 - 785.00 I2JMC(.JFP(CL)</p> <p>Diorite porphyrique idem.</p>	<p>744.20 - 769.40 I3AMG(/)CL(ABFP)</p> <p>Gabbro ± ophitique similaire.</p> <p>Altération vert pomme pâle moyen en taches centimétriques (albite ± épidote) formant ± 3% de la roche.</p> <p>Pyrite restreinte à l'altération en épidote.</p> <p>775.60 - 777.20</p> <p>105589: I2JC(.JFP+CB+vCC</p>	
785.00	823.00	<p>V3AMG(8)CL(CC)vCC</p> <p>BASALTE MAGNETIQUE</p> <p>Vert foncé très finement grenu, moyennement magnétique, rayable. Fracturation faible définie par veinules de calcite. Il pourrait s'agir du</p>		

MINNOVA INC. - DIVISION EXPLORATION

DE (pi)	A (pi)	TEXTURE ET STRUCTURE	ALTERATION	MINÉRALISATION
		<p>microgabbro.</p> <p>Chlorite entre moyenne et forte, calcite faible.</p> <p>Localement 1% de pyrite très fine et 2-3% de magnétite de 1-3mm localement.</p> <p>791.80 - 793.00 I2JLJFP(CLCCHM)</p> <p>Diorite porphyrique idem sauf teinte beige.</p> <p>Chlorite, calcite et hématite diffuses.</p> <p>Minéralisation absente.</p> <p>803.20 - 804.80 I2JLJFP#SiCCvCC</p> <p>Diorite porphyrique beige à texture assez oblitérée.</p> <p>Altération moyenne en silice? (teinte beige) et calcite.</p>	<p>790.10 - 791.10</p> <p>105590: V3AMG(=)CL(PY)vCC</p> <p>z 1% de pyrite très fine.</p> <p>800.00 - 801.20</p> <p>105592: V3ANCCM?(HM)(PY)vCC</p> <p>z 1% de pyrite très fine.</p>	<p>795.80 - 796.40</p> <p>105591: V3ANCB+(CC)PY+</p> <p>3-4% de pyrite disséminée fine.</p>

MINNOVA INC. - DIVISION EXPLORATION

DE (pi)	A (pi)	TEXTURE ET STRUCTURE	ALTERATION	MINÉRALISATION
		<p>Traces de pyrite.</p> <p>809.60 - 823.00 I2JMC.1FP(CL)</p> <p>Diorite porphyrique idem.</p> <p>823.00: FIN DU TROU.</p>		

MINNOVA INC. - DIVISION EXPLORATION

ÉCHANTILLON	DE (pi)	A (pi)	LONGUEUR (pi)	Au(1) ppb	Au(2) ppb	Au(3) ppb	Au(4) ppb	Au(MOY) ppb	Ag ppm	As ppm	Sb ppm	Mo ppm	Pb ppm	Cu(1) ppm	Cu(2) ppm	Cu(MOY) ppm	Zn(1) ppm	Zn(2) ppm	Zn(MOY) ppm	
105453	40.50	41.30	0.80	tr.				tr.						80		80	37		37	
105454	46.00	48.30	2.30	tr.				tr.						167		167	45		45	
105681	48.30	48.80	0.50	tr.				tr.						127		127	54		54	
105455	48.80	49.60	0.80	2811				2811						170		170	70		70	
105456	49.60	51.00	1.40	tr.				tr.						240		240	47		47	
105457	51.00	53.90	2.90	tr.				tr.						149		149	52		52	
105458	53.90	55.40	1.50	tr.				tr.						122		122	57		57	
105459	58.30	60.10	1.80	tr.				tr.						142		142	49		49	
105460	65.00	66.00	1.00	tr.				tr.						204		204	37		37	
105461	80.40	81.10	0.70	tr.				tr.						170		170	45		45	
105462	87.70	89.00	1.30	tr.				tr.						147		147	26		26	
105463	97.70	98.70	1.00	tr.				tr.						147		147	37		37	
105464	115.00	116.00	1.00	tr.				tr.						112		112	43		43	
105465	117.50	121.80	4.30	tr.				tr.						194		194	42		42	
105466	123.90	125.00	1.10	tr.				tr.						208		208	47		47	
105467	127.70	132.00	4.30	tr.				tr.						107		107	32		32	
105468	132.00	136.00	4.00	tr.				tr.						104		104	32		32	
105469	136.00	139.00	3.00	tr.				tr.						80		80	32		32	
105470	139.00	141.30	2.30	tr.				tr.						97		97	38		38	
105471	141.30	141.90	0.60	tr.				tr.						70		70	56		56	
105472	141.90	142.50	0.60	tr.				tr.						120		120	32		32	
105473	142.50	143.20	0.70	tr.				tr.						107		107	38		38	
105474	143.20	144.10	0.90	tr.				tr.						87		87	49		49	
105475	144.10	145.50	1.40	tr.				tr.						117		117	75		75	
105476	145.50	147.90	2.40	tr.				tr.						116		116	36		36	
105477	147.90	148.30	0.40	tr.				tr.						140		140	37		37	
105478	148.30	150.00	1.70	tr.				tr.						90		90	29		29	
105479	150.00	153.20	3.20	tr.				tr.						77		77	32		32	
105480	153.20	153.80	0.60	tr.				tr.						133		133	31		31	
105481	153.80	158.00	4.20	tr.				tr.						124		124	40		40	
105482	158.00	162.70	4.70	tr.				tr.						122		122	40		40	
105483	162.70	164.30	1.60	tr.				tr.						92		92	40		40	
105484	164.30	168.00	3.70	tr.				tr.						86		86	45		45	
105485	168.00	172.50	4.50	tr.				tr.						108		108	61		61	
105486	172.50	174.00	1.50	tr.				tr.						88		88	51		51	
105487	174.00	174.60	0.60	tr.				tr.						194		194	40		40	
105488	181.50	183.10	1.60	tr.				tr.						137		137	56		56	
105489	197.40	198.70	1.30	tr.				tr.						133		133	41		41	

MINNOVA INC. - DIVISION EXPLORATION

ECHANTILLON	DE (pi)	A (pi)	LONGUEUR (pi)	Au(1) ppb	Au(2) ppb	Au(3) ppb	Au(4) ppb	Au(MOY) ppb	Ag ppm	As ppm	Sb ppm	Mo ppm	Pb ppm	Cu(1) ppm	Cu(2) ppm	Cu(MOY) ppm	Zn(1) ppm	Zn(2) ppm	Zn(MOY) ppm
105490	201.60	202.90	1.30	tr.				tr.						86		86	32		32
105491	235.10	236.10	1.00	tr.				tr.						190		190	67		67
105492	237.30	239.20	1.90	tr.				tr.						157		157	52		52
105493	247.10	252.00	4.90	tr.				tr.						166		166	47		47
105494	252.00	256.60	4.60	tr.				tr.						145		145	51		51
105495	256.60	261.00	4.40	tr.				tr.						99		99	66		66
105496	261.00	262.70	1.70	tr.				tr.						55		55	75		75
105497	262.70	263.50	0.80	tr.				tr.						69		69	70		70
105498	263.50	268.00	4.50	tr.				tr.						102		102	67		67
105499	268.00	271.30	3.30	tr.				tr.						154		154	47		47
105500	271.30	274.60	3.30	tr.				tr.						122		122	45		45
105501	274.60	278.00	3.40	tr.				tr.						157		157	47		47
105502	278.00	282.00	4.00	tr.				tr.						137		137	44		44
105503	282.00	286.00	4.00	tr.				tr.						164		164	50		50
105504	286.00	290.00	4.00	tr.				tr.						142		142	44		44
105505	290.00	294.00	4.00	tr.				tr.						164		164	47		47
105506	294.00	296.30	2.30	tr.				tr.						187		187	41		41
105507	304.60	305.60	1.00	tr.				tr.						148		148	51		51
105508	317.00	321.00	4.00	tr.				tr.						134		134	39		39
105509	321.00	324.00	3.00	tr.				tr.						150		150	46		46
105510	324.00	327.00	3.00	tr.				tr.						144		144	46		46
105511	327.00	328.60	1.60	tr.				tr.						135		135	83		83
105512	328.60	329.80	1.20	tr.				tr.						156		156	62		62
105513	329.80	331.20	1.40	tr.				tr.						176		176	62		62
105514	331.20	333.10	1.90	tr.				tr.						152		152	42		42
105515	333.10	337.90	4.80	tr.				tr.						140		140	34		34
105516	337.90	339.40	1.50	tr.				tr.						326		326	52		52
105517	339.40	341.60	2.20	tr.				tr.						210		210	44		44
105518	341.60	345.00	3.40	tr.				tr.						177		177	37		37
105519	345.00	345.90	0.90	tr.				tr.						167		167	82		82
105520	373.40	375.60	2.20	tr.				tr.						149		149	53		53
105521	379.00	380.40	1.40	tr.				tr.						120		120	60		60
105522	380.40	381.70	1.30	1577				1577						137		137	87		87
105523	381.70	386.70	5.00	tr.				tr.						147		147	71		71
105524	398.10	401.20	3.10	tr.				tr.						163		163	59		59
105525	410.40	411.30	0.90	tr.				tr.						117		117	64		64
105526	415.00	415.50	0.50	tr.				tr.						160		160	70		70
105527	417.00	418.60	1.60	tr.				tr.						84		84	80		80

MINNOVA INC. - DIVISION EXPLORATION

ÉCHANTILLON	DE (pi)	A (pi)	LONGUEUR (pi)	Au(1) ppb	Au(2) ppb	Au(3) ppb	Au(4) ppb	Au(MOY) ppb	Ag ppm	As ppm	Sb ppm	Mo ppm	Pb ppm	Cu(1) ppm	Cu(2) ppm	Cu(MOY) ppm	Zn(1) ppm	Zn(2) ppm	Zn(MOY) ppm	
105528	430.30	431.50	1.20	tr.				tr.						126		126	86		86	
105529	431.50	433.40	1.90	tr.				tr.						222		222	78		78	
105530	433.40	434.70	1.30	tr.				tr.						302		302	100		100	
105531	434.70	436.20	1.50	tr.				tr.						156		156	69		69	
105532	439.00	440.20	1.20	tr.				tr.						210		210	70		70	
105533	440.20	442.20	2.00	tr.				tr.						134		134	43		43	
105534	442.20	443.00	0.80	3806	3696			3714						164		164	67		67	
105535	443.00	447.30	4.30	tr.				tr.						140		140	62		62	
105536	447.30	448.20	0.90	tr.				tr.						310		310	76		76	
105537	448.20	451.20	3.00	tr.				tr.						157		157	72		72	
105538	451.20	456.00	4.80	tr.				tr.						147		147	78		78	
105539	456.00	461.00	5.00	tr.				tr.						142		142	83		83	
105540	461.00	466.00	5.00	tr.				tr.						190		190	80		80	
105541	466.00	471.00	5.00	tr.				tr.						183		183	61		61	
105542	471.00	474.10	3.10	tr.				tr.						210		210	54		54	
105543	476.80	477.40	0.60	tr.				tr.						145		145	61		61	
105544	493.40	494.00	0.60	tr.				tr.						254		254	66		66	
105545	507.50	509.30	1.80	tr.				tr.						270		270	42		42	
105546	511.70	512.60	0.90	tr.				tr.						150		150	56		56	
105547	514.90	518.10	3.20	tr.				tr.						160		160	66		66	
105548	535.50	536.30	0.80	tr.				tr.						135		135	39		39	
105549	541.70	543.40	1.70	tr.				tr.						140		140	62		62	
105550	543.40	547.00	3.60	tr.				tr.						170		170	57		57	
105551	547.00	550.60	3.60	tr.				tr.						104		104	57		57	
105552	550.60	551.90	1.30	tr.				tr.						304		304	40		40	
105553	556.90	559.20	2.30	tr.				tr.						145		145	67		67	
105554	560.80	561.30	0.50	tr.				tr.						129		129	131		131	
105555	562.90	565.00	2.10	tr.				tr.						132		132	80		80	
105556	566.00	570.60	4.60	tr.				tr.						112		112	72		72	
105557	570.60	572.70	2.10	tr.				tr.						137		137	64		64	
105558	575.00	579.20	4.20	tr.				tr.						130		130	77		77	
105559	579.20	579.70	0.50	tr.				tr.						95		95	37		37	
105560	579.70	580.10	0.40	480				480						46		46	44		44	
105561	580.10	580.90	0.80	tr.				tr.						30		30	25		25	
105562	580.90	583.00	2.10	617				617						110		110	56		56	
105563	583.00	586.70	3.70	tr.				tr.						194		194	32		32	
105564	586.70	589.40	2.70	tr.				tr.						134		134	60		60	
105565	589.40	590.60	1.20	tr.				tr.						224		224	76		76	

MINNOVA INC. - DIVISION EXPLORATION

éCHANTILLON	DE (pi)	A (pi)	LONGUEUR (pi)	Au(1) ppb	Au(2) ppb	Au(3) ppb	Au(4) ppb	Au(MOY) ppb	Ag ppm	As ppm	Sb ppm	Mo ppm	Pb ppm	Cu(1) ppm	Cu(2) ppm	Cu(MOY) ppm	Zn(1) ppm	Zn(2) ppm	Zn(MOY) ppm	
105566	590.60	592.50	1.90	tr.				tr.						163		163	70		70	
105567	592.50	595.20	2.70	tr.				tr.						49		49	54		54	
105568	595.20	599.30	4.10	tr.				tr.						60		60	40		40	
105569	599.30	601.00	1.70	tr.				tr.						97		97	40		40	
105570	601.00	604.30	3.30	tr.				tr.						54		54	32		32	
105571	612.90	613.40	0.50	tr.				tr.						33		33	70		70	
105572	614.00	615.90	1.90	tr.				tr.						140		140	77		77	
105573	625.10	627.60	2.50	tr.				tr.						117		117	70		70	
105574	628.90	629.30	0.40	tr.				tr.						103		103	216		216	
105576	634.90	635.30	0.40	tr.				tr.						107		107	132		132	
105577	635.30	636.40	1.10	tr.				tr.						236		236	168		168	
105578	636.40	638.60	2.20	tr.				tr.						96		96	246		246	
105579	665.20	667.20	2.00	tr.				tr.						34		34	32		32	
105580	673.60	674.40	0.80	tr.				tr.						30		30	26		26	
105581	674.40	675.00	0.60	tr.				tr.						140		140	37		37	
105582	677.00	679.10	2.10	tr.				tr.						140		140	44		44	
105583	682.70	687.90	5.20	tr.				tr.						127		127	54		54	
105584	687.90	689.50	1.60	tr.				tr.						122		122	66		66	
105585	689.50	693.00	3.50	tr.				tr.						147		147	50		50	
105586	693.00	696.00	3.00	tr.				tr.						82		82	35		35	
105587	696.00	700.10	4.10	tr.				tr.						180		180	50		50	
105588	712.20	715.10	2.90	tr.				tr.						220		220	52		52	
105589	775.60	777.20	1.60	tr.				tr.						71		71	50		50	
105590	790.10	791.10	1.00	tr.				tr.						216		216	72		72	
105591	795.80	796.40	0.60	tr.				tr.						107		107	65		65	
105592	800.00	801.20	1.20	tr.				tr.						67		67	54		54	
105593	803.20	804.80	1.60	tr.				tr.						122		122	58		58	

MINNOVA INC. - DIVISION EXPLORATION

COMPAGNIE : MINNOVA EXPLORATION	PROJET : ILE OPANICA	SONDAGE : OP-12	IMPRIMÉ LE : 10/12/90
CANTON : LESPÉRANCE	RANG : -	LOT : -	CLAIM : 317226-3
<u>COORDONNÉES AU COLLET</u>	GRILLE : LIGNE : 6+00M STATION : 10+50M	LATITUDE : 1050.00 LONGITUDE : -600.00 ELEVATION : 35.00	AZIMUT : 230 0' PLONBÉE : -45 0'
<u>PROFONDEUR</u>	AU DÉPART : 0.00	FIN DE TROU : 756.00	TUBAGE LAISSÉ (?) : Oui
GÉOLOGUE : F. SPEIDEL			DATE DU JOURNAL : 02 juillet 90
CONTRACTEUR : FORAGE BELAND			FORAGE DÉBUTE LE : 29 juin 90
BUT : Tester continuité W de la zone minéralisée OP-04			TERMINE LE : 01 juillet 90
<u>DONNÉES D'ORIENTATION</u>			
<u>Longueur Azimut Plongée</u>			
0.00	230 0'	-45 0'	
231.00	230 0'	-43 0'	
400.00	*231 18'	-42 0'	
611.00	*232 55'	-42 0'	
751.00	234 0'	-42 0'	
(*) azimut estimé			

MINNOVA INC. - DIVISION EXPLORATION

DE (pi)	A (pi)	TEXTURE ET STRUCTURE	ALTERATION	MINERALISATION
0.00	14.00	MT MORT-TERRAIN		
14.00	680.60	(3A(MG)CL(PY) GABBRO PHANERITIQUE INTERGRANULAIRE Intrusion mafique de couleur vert foncé, constituée d'environ 40% feldspath blanc à vert bleuté pâle hypidiomorphe à xénomorphe souvent < 2mm, et $\pm 60\%$ minéraux mafiques xénomorphes à hypidiomorphes interstitiels. Ces minéraux mafiques sont présentement constitués d'un agrégat de CL±BO±MG. Proportion des injections de feldspath-quartz millimétriques à subcentimétriques augmente en profondeur. Foliation généralement absente, parfois on observe un faible alignement minéralogique. Fracturation faible ou absente. Altération variable. Généralement limitée à la chloritisation ± BO des minéraux mafiques et saussuritisation du plagioclase, ce dernier a une texture interne granulaire. Quelques intervalles centimétriques avec épidotisation moyenne du plagioclase. Veinules et enveloppes d'altération autour de microfractures: CL-EP-RB. Biotite submillimétrique si présente. Plusieurs intervalles centimétriques à submétriques avec > traces allant à $\pm SI$ pyrite ± pyrrhotite disséminées, en agrégats ou bandes irrégulières etc.	24.50 - 25.70 106976: (MG)CL(BO?)SP?PY? Texture intrusive reconnaissable mais floue. Possiblement > IX pyrite ± sphalérite brun-beige.	
			42.30 - 42.90	

MINNOVA INC. - DIVISION EXPLORATION

DE (pi)	A (pi)	TEXTURE ET STRUCTURE	ALTÉRATION	MINÉRALISATION
			<p>106977: (MG)EPCLPY</p> <p>Epidotisation moyenne homogène du plagioclase, chloritisation des mafiques. Texture intrusive non affectée.</p> <p>1I pyrite fine disséminée avec minéraux mafiques.</p> <p>42.90 - 47.10</p> <p>106978: (MG)CL(BD?)SP?PY</p> <p>Texture intrusive floue.</p> <p>>1I pyrite fine à moyenne disséminée, en agrégats et en veinules submillimétriques discontinues.</p> <p>47.10 - 49.50</p> <p>106979: ±10I vCCPY</p> <p>Veinules millimétriques à submillimétriques de calcite + quartz avec enveloppes millimétriques de chlorite où la texture intrusive est effacée.</p> <p>±1I pyrite dans enveloppes d'altération.</p> <p>51.30 - 54.20</p> <p>106980: MGCL(BD?)SP?</p> <p>Intervalle gris-vert foncé, texture intrusive très floue.</p> <p>Possible traces de sphalérite fine dans matrice.</p> <p>63.60 - 65.50</p> <p>106981: CLCCvCCPY</p>	

MINNOVA INC. - DIVISION EXPLORATION

DE (pi)	A (pi)	TEXTURE ET STRUCTURE	ALTÉRATION	MINÉRALISATION
			<p>≈10% veinules de calcite subcentimétriques irrégulières ± HMPY avec enveloppes chlorite-calcite où la texture intrusive est entièrement oblitérée.</p> <p>≈1% pyrite sur l'intervalle associée à veinules de calcite subcentimétriques.</p> <p>69.30 - 71.90</p> <p>106982: (MG)CL(PY), 10% IZH?</p> <p>Texture intrusive partiellement effacée.</p> <p>≈ 1% pyrite ± pyrrhotite ou magnétite sur l'intervalle dans une bande ≈ 1cm fortement magnétique, sulfure en agrégats irréguliers lensoïdes (déformation?).</p> <p>83.80 - 86.60</p> <p>106984: (MG)(PY)vEPvIZH</p> <p>Veinules submillimétriques d'épidote en stockwork forment <5% de la roche.</p> <p>> traces de pyrite fine en bandes submillimétriques discontinues.</p> <p>99.00 - 103.90</p>	<p>78.70 - 80.60</p> <p>106983: 15% MG+CLPY+</p> <p>≈ 2% pyrite sur l'intervalle, en 3 concentrations de bandes MG+PY+±CL±CC</p>

MINNOVA INC. - DIVISION EXPLORATION

DE (pi)	A (pi)	TEXTURE ET STRUCTURE	ALÉRATION	MINÉRALISATION
			<p>106985: MGCL(PY)</p> <p>Magnétite associée à chlorite et minéraux mafiques secondaires? Traces de biotite très fine? Texture intrusive presque oblitérée, couleur gris-vert foncé. Quelques veinules de feldspath-quartz.</p> <p>21% pyrite fine disséminée et en veinules submillimétriques discontinues.</p> <p>103.90 - 106.00</p> <p>106986: Idem</p> <p>Altération un peu plus faible et texture intrusive mieux préservée.</p> <p>106.80 - 109.00</p> <p>106987: MSPO?PY</p> <p>Pyrite fine disséminée et en veinules irrégulières. Pyrrhotite? en couronnes de remplacement autour de magnétite, aussi (couronnes vert pâle lessivées autour de magnétite).</p> <p>109.00 - 111.00</p> <p>106988: I2J?(MG)CLvEP</p> <p>111.00 - 112.40</p> <p>106989: 50% I3AMGCL, 50% I2H(MG)(CL)</p> <p>Quelques veinules de feldspath-quartz dans I3A.</p> <p>112.40 - 117.60</p>	

MINNOVA INC. - DIVISION EXPLORATION

DE (pi)	A (pi)	TEXTURE ET STRUCTURE	ALTÉRATION	MINÉRALISATION
			<p>106990: M6(CLBO?)(PY)vBZCC</p> <p>CL-BO? diffuse donne couleur gris-vert foncé. Zone centimétrique de veinules de quartz mauve avec fractures de calcite la recoupant.</p> <p>> traces de pyrite fine disséminée locale.</p> <p>121.60 - 122.50</p> <p>106991: z40Z vFPQZEP</p> <p>Stockwork de veinules de feldspath-quartz denses avec feldspath épidotisé.</p> <p>122.50 - 125.60</p> <p>106992: (M6)M+CC+CLPY</p> <p>Altération en CC+CL oblitère la texture du protolithe, la roche est à granulométrie fine.</p> <p>z1Z de pyrite fine disséminée.</p> <p>125.60 - 127.70</p> <p>106993: Idem +50I12HCLCC</p> <p>127.70 - 132.20</p> <p>106994: (M6)*CCCL</p> <p>139.90 - 141.20</p> <p>106995: (PY)</p> <p>Injections de microgabbro déplacées et recoupées par veinules de feldspath-quartz. Injection microgabbro M6+.</p>	

MINNOVA INC. - DIVISION EXPLORATION

DE (pi)	A (pi)	TEXTURE ET STRUCTURE	ALTÉRATION	MINÉRALISATION
			<p>5% pyrite en bordure d'injections subcentimétriques de microgabbro.</p> <p>157.70 - 158.80</p> <p>106996: BO(CL)</p> <p>Texture intrusive floue. Roche non magnétique. ± 10% biotite millimétrique.</p> <p>161.20 - 162.70</p> <p>106997: M6BO(CL)</p> <p>5-10% biotite fine à moyenne.</p> <p>162.70 - 164.30</p> <p>106998: (MGLI?)CL(BO)</p> <p>Roche gris verdâtre foncé, texture intrusive floue.</p> <p>173.30 - 175.50</p> <p>106999: Idem.</p> <p>Foliation gneissique.</p> <p>177.80 - 235.00 [3A(M6)M6(=)CL(BO)VFPOZ</p> <p>GABBRO BIOTISE A INJECTIONS DE FELDSPATH-QUARTZ</p> <p>Même protolithe que l'intervalle précédent, avec jusqu'à 15% veinules de feldspath-quartz millimétriques sur des intervalles décimétriques. Ce sont des injections tabulaires (@ 30°AC) régulières à irrégulières, parfois plissotées, moyenne ± 5% sur l'intervalle.</p>	

MINNOVA INC. - DIVISION EXPLORATION

DE (pi)	A (pi)	TEXTURE ET STRUCTURE	ALTÉRATION	MINÉRALISATION
			<p>Foliation variable, faible à moyenne en général, définie par alignement minéralogique avec injections de feldspath-quartz subparallèles. Fracturation faible à absente.</p> <p>Chloritisation des mafiques rend texture intrusive plus floue. Biotisation des mafiques ± évidente puisque la biotite est généralement en agrégats fins.</p> <p>Traces-IZ sulfure, surtout pyrite fine disséminée.</p> <p>179.80 - 181.00</p> <p>107000: (MG)(CLBO) <3I vFPQZ</p> <p>Altération moyenne à intense, chloritisation diffuse avec biotite brune fine superposée.</p> <p>Traces de pyrite fine.</p> <p>181.00 - 183.70</p> <p>107001: (MG)(=)(CLBO) / ≥5I vFPQZ</p> <p>Altération faible à moyenne, chlorite diffuse et biotite en partie diffuse et en partie fine.</p> <p>Traces de pyrite en agrégats allongés millimétriques.</p> <p>183.70 - 186.00</p> <p>107002: (MG)(CLBOCC) / 3I vFPQZ</p> <p>CL+BO diffuse variable, veinules de feldspath-quartz recourent plages CLBO et zones CC+ effacent au moins CL-BO.</p> <p>Traces de pyrite fine surtout avec zones calcitiques.</p>	

MINNOVA INC. - DIVISION EXPLORATION

DE (pi)	A (pi)	TEXTURE ET STRUCTURE	ALTÉRATION	MINÉRALISATION
			<p>186.00 - 190.80</p> <p>107003: (MG)(=)BO-BO+(CL)(PY)/ 5Z vFPBZ</p> <p>Faible chloritisation des mafiques et diffuse, biotite fine à moyenne brun foncé superposée atteignant 15Z de la roche sur intervalles décimétriques. Traces de riebeckite diffuse très fine, veinules de calcite submillimétriques coupent veinules de feldspath-quartz.</p> <p>20,5Z pyrite en disséminations, agrégats et stringers localisés.</p> <p>190.80 - 195.90</p> <p>107004: Idem.</p> <p>195.90 - 200.60</p> <p>107005: MGB0-BO+(CL)/ <2Z vFPBZ</p> <p>215Z biotite fine en agrégats millimétriques remplaçant les minéraux mafiques chloritisés.</p> <p>200.60 - 204.00</p> <p>107006: MGB0CL(RB)</p> <p>Chlorite diffuse remplacée par biotite fine, toutes deux effacées par RB très fine.</p> <p>Traces pyrite fine dans un agrégat.</p> <p>205.00 - 209.60</p> <p>107007: (MG)CLBORB)(PY)</p>	

MINNOVA INC. - DIVISION EXPLORATION

DE (pi)	A (pi)	TEXTURE ET STRUCTURE	ALTERATION	MINÉRALISATION
			<p>Quelques zones centimétriques à subcentimétriques moyennement altérées, quelques veinules millimétriques RB fibreuse fine. Généralement faiblement altéré.</p> <p>Traces de pyrite avec zones CLBO±RB</p> <p>209.60 - 214.40</p> <p>107008: (MG)-(CLBO)(PY)/ 5I vFPQZ</p> <p>>0,5I pyrite fine disséminée avec zones centimétriques à subcentimétriques plus fortement altérées.</p> <p>214.40 - 219.10</p> <p>107009: (MG)-(CLBO)PY/ 10I vFPQZ</p> <p>≈1I pyrite fine à moyenne disséminée et en stringers subperpendiculaires à la foliation et aux veinules de feldspath-quartz.</p> <p>219.10 - 221.20</p> <p>107010: Idem.</p> <p>224.00 - 226.80</p> <p>107011: (MG)(=)(CLBO)(PY)/ <1I vFPQZ</p> <p>CL-B0 faible millimétrique? diffuse, limitée aux minéraux mafiques.</p> <p>>0,5I pyrite fine dans une concentration centimétrique de stringers millimétriques irréguliers.</p> <p>228.50 - 231.20</p>	

MINNOVA INC. - DIVISION EXPLORATION

DE (pi)	A (pi)	TEXTURE ET STRUCTURE	ALTÉRATION	MINÉRALISATION
			<p>107012: (MG)CLBO(PY)/ <1Z vFPQZ</p> <p>CL-BO plutôt diffuse; épidotisation du plagioclase localement.</p> <p>± 0,5% de pyrite fine irrégulièrement disséminée.</p> <p>234.80 - 237.70</p> <p>107013: (MG)(BOCL)</p> <p>Altération limitée aux minéraux mafiques, texture intrusive bien préservée.</p> <p>Traces PO ± MG en deux agrégats subcentimétriques.</p> <p>245.40 - 248.80</p> <p>107014: (MG)(CLBO)/ 10Z vFPQZ</p> <p>Texture intrusive partiellement effacée, couleur plus foncée.</p> <p>259.70 - 261.90</p> <p>107015: MG(CLBO)</p> <p>Idem.</p> <p>> traces pyrite, concentration avec deux veinules de calcite subcentimétriques.</p> <p>267.60 - 269.80</p> <p>107016: MG(CLBO)vCC/ <5Z vFPQZ</p> <p>Veinules de calcite submillimétriques forment ± 5% de la</p>	

MINNOVA INC. - DIVISION EXPLORATION

DE (pi)	A (pi)	TEXTURE ET STRUCTURE	ALTÉRATION	MINÉRALISATION
			<p>roche, leurs enveloppes lessivées ≈40%. Veinules de calcite subperpendiculaires à veinules de feldspath-quartz, recoupant et effaçant ces dernières.</p> <p>269.80 - 272.60</p> <p>107017: (MG)BCLBO(RBCC)vCC</p> <p>>30% zones centimétriques où calcite efface CL-BD:RB</p> <p>> traces de pyrite fine avec enveloppes lessivées calcifiées autour de veinules de calcite.</p> <p>274.00 - 279.40</p> <p>105682: 13A/AMGB0vCC/ ≤ 3% vFPOZ</p> <p>Texture ophitique définie par mafiques entourant microlithes de plagioclase.</p> <p>Biotite fine en agrégats remplace minéraux mafiques.</p> <p>279.40 - 283.20</p> <p>107019: MG(CLBO)vCC/ <2% vFPOZ</p> <p>Veinules calcite submillimétriques à millimétriques augmente vers la fin de l'intervalle, formant jusqu'à plus de</p>	<p>272.60 - 274.00 15% vCCPY(vCCBL)</p> <p>107018:</p> <p>Traces à 0,5% pyrite sur intervalle, concentrée dans quelques enveloppes de veinules de calcite submillimétriques à centimétriques. 2-3% galène (2 cleavages perpendiculaires, mou, rayure pas rouge, couleur argent-gris bleu métallique) dans une veinule de calcite subcentimétrique.</p>

MINNOVA INC. - DIVISION EXPLORATION

DE (pi)	A (pi)	TEXTURE ET STRUCTURE	ALTERATION	MINÉRALISATION
			<p>289.70 - 295.20</p> <p>105683: 13AMG(=)BO-B0+/ <2% vFPQZ</p> <p>> traces pyrite fine, concentrée dans un intervalle centimétrique.</p> <p>308.20 - 312.30</p> <p>107025: MG(CLBO)/ 5% vFPQZ</p> <p>Veinules de feldspath-quartz irrégulières, formant localement des agrégats veinules de calcite tardives. Biotite fine à moyenne locale.</p> <p>312.30 - 313.70 20% vQZCCHM(PY)vFPQZ</p> <p>107026:</p> <p>≈0.5% pyrite fine à moyenne sur l'intervalle, concentrée dans la bordure hématisée d'une veinule de quartz blanc/gris.</p>	<p>Zone de quartz et stockwork de quartz fortement fracturé/bréchiq.</p> <p>> 2% pyrite fine en concentrations centimétriques à subcentimétriques dans veinules de quartz.</p> <p>289.00 - 289.70 8CC+vCLPY+, 30%I2H?SivCL(PY)</p> <p>107024:</p> <p>Veinules chlorite en stockwork recourent veinules de feldspath-quartz. L'intervalle suivant contient ≈5% phénocristaux de magnétite primaire allongés.</p> <p>>2% pyrite avec veinules de chlorite subaillimétriques.</p>

MINNOVA INC. - DIVISION EXPLORATION

DE (pi)	A (pi)	TEXTURE ET STRUCTURE	ALTÉRATION	MINÉRALISATION
		<p>334.00 - 346.00 I2D?(MG)</p> <p>DYKE DE SYENITE?</p> <p>Roche intrusive phanéritique moyenne constituée d'environ 7% hornblende vert hypidiomorphe à xénomorphe variablement chloritisé, 50% feldspath idiomorphe à hypidiomorphe dont plusieurs exhibent une zonation multiple (plagioclase) et 240% matière interstitielle fine à aphanitique rosée felsique. Il s'agit donc strictement parlant d'un porphyre. Contacts subparallèles à AC.</p> <p>Généralement non folié ni fracturé.</p>	<p>313.70 - 318.70</p> <p>105684: I3A(MG)(-)BOCL(CCEP) 5% vFPQZ subparallèles à foliation</p> <p>Chlorite et biotite sur tout l'intervalle, épidote et calcite sur des intervalles centimétriques à décimétriques.</p> <p>Traces pyrite fine disséminée en concentrations locales, surtout avec calcite.</p> <p>321.70 - 322.80</p> <p>107027: (MG)BO(CL)/ 3% vFPQZ</p> <p>Biotite fine à moyenne.</p> <p>331.30 - 332.00</p> <p>107028: 80% vQZ bleuté</p>	

MINNOVA INC. - DIVISION EXPLORATION

DE (pi)	A (pi)	TEXTURE ET STRUCTURE	ALTÉRATION	MINÉRALISATION
		<p>Altération faible. Intervalle silicifié au début, généralement faible chloritisation des mafiques et faible hématisation du feldspath et de la matrice, donnant coloration rose-orangé à la roche.</p> <p>Minéralisation absente.</p>	<p>336.50 - 338.60</p> <p>107029: I2D(†)SiAB(CLRB?SR)vCLRB?</p> <p>Syénite grise leucocrate, < 5% mafiques.</p> <p>Silice ± AB diffuse efface texture intrusive. CL ± RB en veinules ≤ 1mm et remplaçant minéraux mafiques. SR partielle de ces mafiques. Intervalle ≈ 10cm du début de l'échantillon est MB+CL(HM).</p> <p>Traces de pyrite fine locale.</p> <p>349.00 - 350.90</p> <p>107030: 30% vCLRB(BD?)/ 5% vFPQZ</p> <p>Zones (veinules?) millimétriques à chlorite vert moyen et RB.</p> <p>Traces de pyrite fine à moyenne avec RB.</p> <p>358.20 - 359.10</p> <p>107031: EP/ <2% vFPQZ</p> <p>Plagioclase et feldspath dans veinules de feldspath-quartz sont remplacés par épidote, texture primaire préservée.</p> <p>379.20 - 380.00</p>	

MINNOVA INC. - DIVISION EXPLORATION

DE (pi)	A (pi)	TEXTURE ET STRUCTURE	ALTÉRATION	MINÉRALISATION
			<p>107032: MGCL(PY)vCC</p> <p>380.00 - 380.90</p> <p>107033: 70I vQZ, 30I encaissant en inclusions, vCC</p> <p>Veinules de calcite submillimétriques fracturent le quartz.</p> <p>380.90 - 384.50</p> <p>107034: I3A1MG-MG+vFPHMCCRBPY/ 10I vFPQZ</p> <p>Aspect leucocrate (gabbro devient de plus en plus feldspathique) semble dû à des agrégats et injections irrégulières de feldspath-quartz augmentant en proportion.</p> <p>Traces pyrite fine avec veinules feldspath rouge, enveloppes RB.</p> <p>392.60 - 397.80</p> <p>107035: MG-MG+(CL)vCC</p> <p>Traces de pyrite fine en stringers locaux.</p> <p>437.50 - 438.10</p> <p>107036: (MG)CC</p> <p>Texture intrusive ± oblitérée. Intervalle métasomatique à granulométrie fine.</p> <p>438.10 - 440.70</p> <p>107037: (CL)vCC(RB)</p> <p>Non magnétique.</p>	

MINNOVA INC. - DIVISION EXPLORATION

DE (pi)	A (pi)	TEXTURE ET STRUCTURE	ALTÉRATION	MINÉRALISATION
			<p>5SI veinules de calcite submillimétriques avec enveloppes millimétriques de RB bleu.</p> <p>441.30 - 443.50</p> <p>107038: MG, 70Izones (CLBD)vFPQZvCC(RB)</p> <p>Chlorite diffuse, 2SI biotite fine à moyenne, 210I veinules de feldspath-quartz irrégulières calcifiées et 5SI veinules de calcite submillimétriques recoupant veinules de feldspath-quartz. Enveloppes RB autour de veinules de calcite.</p> <p>454.20 - 455.10</p> <p>107039: 85ISi++ou vQZ, 15I vFPQZ</p> <p>Quartz gris mauve et, au centre, blanc laiteux. Quartz laminé @ 25*AC avec plans de chlorite submillimétriques.</p> <p>461.50 - 465.00</p> <p>107040: MG à (MG)(CL)/ 210I vFPQZ irrégulières</p> <p>Traces de pyrite fine locale.</p> <p>465.00 - 465.60</p> <p>107041: MGRBCLvCC</p> <p>Riebeckite fine moyenne à intense, > 15I veinules de calcite millimétriques discontinues.</p> <p>483.50 - 485.00</p> <p>107042: MG(CL)/ 3I vFPQZ</p> <p>Veinules de feldspath-quartz surtout subparallèles à AC.</p>	

MINNOVA INC. - DIVISION EXPLORATION

DE (pi)	A (pi)	TEXTURE ET STRUCTURE	ALTERATION	MINÉRALISATION
			<p>Chlorite diffuse la texture intense.</p> <p>497.60 - 498.40</p> <p>107043: M15MG#Si+CL(CCHM)</p> <p>Protolithe I2?</p> <p>500.90 - 502.90</p> <p>107044: M6#RB(BOCL)vCC</p> <p>508.40 - 509.10</p> <p>107045: M6#CL/ 40% vBZCLvCC</p> <p>Veinules millimétriques de quartz translucide en stockwork avec enveloppes de chlorite vert moyen, veinules de calcite tardives submillimétriques avec enveloppes millimétriques CL-RB.</p> <p>515.90 - 519.10</p> <p>107046: Idem.</p> <p>Veinules de quartz blanc millimétriques à centimétriques.</p>	<p>520.60 - 521.90</p> <p>107047: 40% M6CC+CL(HM)PY+vCC</p> <p>±5% pyrite fine à moyenne sur l'intervalle altéré, en disséminations irrégulières.</p>
			524.70 - 528.50	

MINNOVA INC. - DIVISION EXPLORATION

DE (pi)	A (pi)	TEXTURE ET STRUCTURE	ALTÉRATION	MINÉRALISATION
			<p>107048: MG-MG+BOCL(CC)(PY)vCC</p> <p>Protolithe I2 et/ou I3? Texture intrusive oblitérée sur ± 80% de l'intervalle.</p> <p>> traces de pyrite fine disséminée en concentrations locales.</p> <p>528.50 - 530.00</p> <p>107049: /HM15M6 à (MG)##+CL+CC(RB)</p> <p>Zone extrêmement hydrofracturée allant à bréchique. Microfractures définissant des fragments millimétriques gris-rosé siliceux?, dans une matrice vert moyen de chlorite fine. Proportion matrice/fragments variable. Là où la roche n'est que fracturée et non bréchique la chlorite remplit les fractures.</p> <p>530.00 - 531.50</p> <p>107050: MG à (MG)##CLvCC</p> <p>544.80 - 546.90</p> <p>107051: (MG) à MG##CLvCC</p> <p>548.70 - 551.30</p> <p>107052: I3A1M6/ 15-20% vFPDZ</p> <p>15-20% veinules de feldspath-quartz en injections millimétriques irrégulières et agrégats ± bien définis donnent au gabbro un aspect leucocrate. Granulométrie du gabbro est moyenne.</p>	

MINNOVA INC. - DIVISION EXPLORATION

DE (pi)	A (pi)	TEXTURE ET STRUCTURE	ALTÉRATION	MINÉRALISATION
		<p>566.40 - 582.80 70I12C?S1vQZ</p> <p>ZONE DE DYKES SYENITIQUES</p> <p>Les dykes sont de puissance submétrique à métrique, à texture équi-granulaire-porphyrrique. La roche est constituée d'environ 7-10% hornblende vert foncé prismatique allongé millimétrique surtout hypidiomorphe, ≈ 60% feldspath rosé idiomorphe en partie zoné et une proportion variable de matrice aphanitique interstitielle (d'où la texture porphyrique). La roche serait en fait un porphyre dense de composition syénite quartzifère.</p> <p>Foliation absente, fracturation locale.</p>	<p>551.30 - 556.00</p> <p>107053: (MG)W+CLvCCvCL</p> <p>Chlorite vert moyen sous forme de microveinules superposées, microbrèche à matrice de chlorite localement. Veinules de calcite submillimétriques.</p> <p>556.00 - 559.50</p> <p>107054: (MG)W+CCvCLvCC</p> <p>Relations de recoupement entre veinules de chlorite et veinules de calcite contradictoires donc probablement contemporaines. ≈ 25% veinules de chlorite submillimétriques, 5-8% veinules de calcite millimétriques à submillimétriques.</p> <p>559.50 - 562.00</p> <p>107055: (MG)WCCvCLvCC</p> <p>Idem, veinules moins abondantes.</p>	

MINNOVA INC. - DIVISION EXPLORATION

DE (pi)	A (pi)	TEXTURE ET STRUCTURE	ALÉRATION	MINÉRALISATION
		<p>Silicification variable oblitère graduellement la texture intrusive. Une partie de la silice interstitielle semble être secondaire puisque celle-ci augmente en proportion en bordure des veinules de quartz subcentimétriques mais lorsque la texture intrusive est nette il s'agit probablement de silice primaire.</p>	<p>570.90 - 573.40 107056: #,60Z zones subcm à cm Si⁺ 574.40 - 576.00 107057: #Si+vCL Si⁺ diffuse, possiblement enveloppes silice superposées.</p>	
		<p>599.50 - 611.20 I2C?SivQZ DYKE DE SYENITE QUARTZIFERE Idem à 568.40-582.80; contacts à ± 45°AC. Faible hématisation du feldspath silicification variable.</p>	<p>599.50 - 601.20 107058: I2C(M6)(#)HMSi 611.20 - 612.90 107059: (M6)vQZ# Veine de quartz enfumé gris mauve, fractures remplies par calcite.</p>	

MINNOVA INC. - DIVISION EXPLORATION

DE (pi)	A (pi)	TEXTURE ET STRUCTURE	ALTÉRATION	MINÉRALISATION
			<p>612.90 - 615.00</p> <p>107060: MB#CLCCvCC</p> <p>Texture intrusive ± oblitérée.</p> <p>626.10 - 631.60</p> <p>107061: MB(=)(#)(CLCC)(PY)vCC/ 5Z vFPQZ</p> <p>Chlorite diffuse variable, injections feldspath-quartz irrégulières ou tabulaires subparallèles à AC. Veinules de calcite submillimétriques.</p> <p>± pyrite fine en quelques agrégats centimétriques à subcentimétriques (fragments?).</p> <p>631.60 - 632.80</p> <p>107062: MGCL(PY)/ 3-SZ vFPQZ</p> <p>± pyrite fine disséminée.</p> <p>632.80 - 634.00</p> <p>107063: MG-MG+#CLCC(PY)vCC</p> <p>> traces de pyrite fine disséminée.</p> <p>634.00 - 636.40</p> <p>107064: MG-MG+#CL(BDCC)(PY)vCC</p> <p>> traces de pyrite fine disséminée et en minces stringers.</p> <p>636.40 - 639.00</p>	

MINNOVA INC. - DIVISION EXPLORATION

DE (pi)	A (pi)	TEXTURE ET STRUCTURE	ALTERATION	MINERALISATION
			<p>107065: MG(CL)/ 10% FPOZ(HM)</p> <p>Zones irrégulières de feldspath-quartz orangé forment $\leq 10\%$ de la roche.</p> <p>639.00 - 643.40</p> <p>107066: MG-MG+CLBO(CC)(PY)vCC</p> <p>Foliation définie surtout par alignement de minéraux mafiques, fracturation par 5% veinules de calcite millimétriques à submillimétriques. Texture intrusive \pm effacée.</p> <p>Chlorite diffuse, $\approx 5\%$ biotite fine à moyenne, veinules de calcite coupent veinules de feldspath-quartz.</p> <p>$\leq 1\%$ pyrite fine disséminée, concentrée sur des intervalles centimétriques.</p> <p>643.40 - 648.40 MG-MG+CLCC(PY)vCC, vCC(I4P?)</p> <p>107067:</p> <p>Idem.</p> <p>Chlorite et calcite diffuses, veinules de calcite dans fractures submillimétriques à millimétriques.</p> <p>$\leq 1\%$ pyrite fine disséminée.</p> <p>648.40 - 650.40</p> <p>105685: 13A(MG)#BO(RBCL)vCC</p> <p>Gabbro biotisé avec $\approx 40\%$ zones d'altération en CC+RB autour de veinules de calcite ≤ 1 mm.</p>	

MINNOVA INC. - DIVISION EXPLORATION

DE (pi)	A (pi)	TEXTURE ET STRUCTURE	ALTERATION	MINERALISATION
			<p>650.40 - 653.20 MG-MB+(CLCC)vCC</p> <p>107068:</p> <p>Traces de pyrite fine à moyenne disséminée.</p> <p>657.90 - 659.10</p> <p>107070: MG+(CL)vCC</p> <p>30% veinules de calcite submillimétriques avec enveloppes millimétriques chloritisées. Texture intrusive effacée dans ces enveloppes</p> <p>659.10 - 660.00 MG+CC(CL)(PY)vCC</p> <p>107071:</p> <p>70% zone calcifiée avec texture intrusive et oblitérée.</p> <p>±0.5% de pyrite fine à moyenne disséminée avec zone calcifiée.</p> <p>660.00 - 662.30</p>	<p>653.20 - 657.90 MG=CL(CC)PYvCC/ 3% vFPQZ</p> <p>107069:</p> <p>Foliation toujours subparallèle à AC, définie par l'alignement de minéraux mafiques.</p> <p>Chlorite et calcite (!Si) diffuses oblitèrent la texture intrusive sur ± 60% de l'intervalle.</p> <p>1-2% pyrite fine à moyenne disséminée en concentrations centimétriques.</p>

MINNOVA INC. - DIVISION EXPLORATION

DE (pi)	A (pi)	TEXTURE ET STRUCTURE	ALTERATION	MINÉRALISATION
680.60	756.00	<p>12C?(MG)(HM)</p> <p>SYENITE QUARTZIFERE</p> <p>Roche intrusive de couleur rose à rose orangé à texture équi-granulaire porphyrique identique aux dykes intersectés dans l'unité précédente. La croissance des minéraux mafiques semble postdater celle du feldspath d'après les relations de cristallinité entre les deux. Contacts @ 15 & 20' AC.</p> <p>Altération surtout sous forme d'hématisation variable. Affecte généralement le feldspath et la matrice sans affecter la texture intrusive. Plusieurs intervalles centimétriques à décimétriques où l'hématisation plus intense efface la texture intrusive.</p> <p>Minéralisation absente.</p>	<p>107072: MG=EP(PY)/ 2Z vFPQZ</p> <p>2 traces de pyrite fine à moyenne dans une concentration centimétrique.</p> <p>664.30 - 665.20</p> <p>107073: MG(-)EP/ 2Z vFPQZ</p> <p>679.60 - 680.60</p> <p>107074: MG(CLBO)</p> <p>Texture intrusive partiellement effacée.</p> <p>680.80 - 682.70</p> <p>107075: HM</p> <p>696.50 - 698.60</p>	

MINNOVA INC. - DIVISION EXPLORATION

DE (pi)	A (pi)	TEXTURE ET STRUCTURE	ALTÉRATION	MINÉRALISATION
			<p>107076: 30Z#SiHMvCC</p> <p>Traces de pyrite sur l'intervalle, concentrée avec une veinule de calcite millimétrique.</p> <p>699.20 - 702.40 I3AN6(SiCCCL)(PY)vCC</p> <p>107077:</p> <p>Enclave de l'unité précédente? Contact à 20*AC.</p> <p>> 0,5% de pyrite fine à moyenne sur intervalle décimétrique plus altéré.</p> <p>702.40 - 703.40</p> <p>105686: 12D(MG)Si</p> <p>Agrégats et zones millimétriques de silice? effaçant la texture intrusive.</p> <p>703.40 - 705.20</p> <p>107078: HM(Si?)</p> <p>Texture intrusive floue.</p> <p>706.60 - 709.20</p> <p>107079: 80ZHM(*)</p> <p>722.40 - 724.40</p> <p>107080: (*)Si-Si+</p>	

MINNOVA INC. - DIVISION EXPLORATION

DE (pi)	A (pi)	TEXTURE ET STRUCTURE	ALTERATION	MINÉRALISATION
			<p>736.00 - 741.50</p> <p>105687: I2D(MG) avec ± 10% zones Si(CC) cm.</p> <p>741.50 - 743.00 #Si-Si+vQZ(CC)vCL</p> <p>107081:</p> <p>Traces de pyrite fine très locale.</p> <p>743.00 - 745.60</p> <p>107082: #Si)vQZ</p> <p>±10% veinules de quartz millimétriques à subcentimétriques blanc en stockwork, concentrées sur la première demie de l'intervalle.</p> <p>Idem.</p> <p>749.70 - 751.10</p> <p>107083: HM+à(HM)</p> <p>Texture intrusive floue.</p> <p>756.00: FIN DU TROU</p>	

MINNOVA INC. - DIVISION EXPLORATION

ECHANTILLON	DE (pi)	A (pi)	LONGUEUR (pi)	Au(1) ppb	Au(2) ppb	Au(3) ppb	Au(4) ppb	Au(MOY) ppb	Ag ppm	As ppm	Sb ppm	Mo ppm	Pb ppm	Cu(1) ppm	Cu(2) ppm	Cu(MOY) ppm	Zn(1) ppm	Zn(2) ppm	Zn(MOY) ppm	
106976	24.50	25.70	1.20	tr.				tr.						117		117	209		209	
106977	42.30	42.90	0.60	tr.				tr.						84		84	188		188	
106978	42.90	47.10	4.20	tr.				tr.						142		142	104		104	
106979	47.10	49.50	2.40	tr.				tr.						180		180	136		136	
106980	51.30	54.20	2.90	tr.				tr.						110		110	130		130	
106981	63.60	65.50	1.90	tr.				tr.						420		420	196		196	
106982	69.30	71.90	2.60	tr.				tr.						190		190	210		210	
106983	78.70	80.60	1.90	tr.				tr.						158		158	247		247	
106984	83.80	86.60	2.80	tr.				tr.						234		234	38		38	
106985	99.00	103.90	4.90	tr.				tr.						192		192	43		43	
106986	103.90	106.00	2.10	tr.				tr.						75		75	40		40	
106987	106.80	109.00	2.20	tr.				tr.						107		107	62		62	
106988	109.00	111.00	2.00	tr.				tr.						84		84	51		51	
106989	111.00	112.40	1.40	tr.				tr.						59		59	40		40	
106990	112.40	117.60	5.20	tr.				tr.						97		97	45		45	
106991	121.60	122.50	0.90	tr.				tr.						136		136	34		34	
106992	122.50	125.60	3.10	tr.				tr.						100		100	54		54	
106993	125.60	127.70	2.10	tr.				tr.						74		74	49		49	
106994	127.70	132.20	4.50	tr.				tr.						56		56	52		52	
106995	139.90	141.20	1.30	tr.				tr.						151		151	43		43	
106996	157.70	158.80	1.10	tr.				tr.						46		46	48		48	
106997	161.20	162.70	1.50	tr.				tr.						50		50	68		68	
106998	162.70	164.30	1.60	tr.				tr.						34		34	63		63	
106999	173.30	175.50	2.20	tr.				tr.						60		60	43		43	
107000	179.80	181.00	1.20	tr.				tr.						47		47	40		40	
107001	181.00	183.70	2.70	tr.				tr.						76		76	37		37	
107002	183.70	186.00	2.30	tr.				tr.						106		106	102		102	
107003	186.00	190.80	4.80	tr.				tr.						377		377	54		54	
107004	190.80	195.90	5.10	tr.				tr.						159		159	57		57	
107005	195.90	200.60	4.70	tr.				tr.						90		90	62		62	
107006	200.60	204.00	3.40	tr.				tr.						88		88	74		74	
107007	205.00	209.60	4.60	tr.				tr.						70		70	54		54	
107008	209.60	214.40	4.80	tr.				tr.						97		97	53		53	
107009	214.40	219.10	4.70	tr.				tr.						216		216	67		67	
107010	219.10	221.20	2.10	tr.				tr.						324		324	67		67	
107011	224.00	226.80	2.80	tr.				tr.						164		164	46		46	
107012	228.50	231.20	2.70	tr.				tr.						80		80	57		57	
107013	234.80	237.70	2.90	tr.				tr.						99		99	45		45	

MINNOVA INC. - DIVISION EXPLORATION

ECHANTILLON	DE (pi)	A (pi)	LONGUEUR (pi)	Au(1) ppb	Au(2) ppb	Au(3) ppb	Au(4) ppb	Au(MOY) ppb	Ag ppm	As ppm	Sb ppm	Mo ppm	Pb ppm	Cu(1) ppm	Cu(2) ppm	Cu(MOY) ppm	Zn(1) ppm	Zn(2) ppm	Zn(MOY) ppm	
107014	245.40	248.80	3.40	tr.				tr.						54		54	63		63	
107015	259.70	261.90	2.20	tr.				tr.						54		54	47		47	
107016	267.60	269.80	2.20	tr.				tr.						67		67	69		69	
107017	269.80	272.60	2.80	tr.				tr.						44		44	80		80	
107018	272.60	274.00	1.40	549				549						52		52	45		45	
105682	274.00	279.40	5.40	tr.				tr.						53		53	52		52	
107019	279.40	283.20	3.80	tr.				tr.						50		50	71		71	
107020	283.20	283.80	0.60	9840				9840						37		37	73		73	
107021	283.80	286.20	2.40	tr.				tr.						92		92	67		67	
107022	286.20	288.20	2.00	2400				2400						49		49	59		59	
107023	288.20	289.00	0.80	7097				7097						33		33	50		50	
107024	289.00	289.70	0.70	2606				2606						127		127	67		67	
105683	289.70	295.20	5.50	tr.				tr.						66		66	54		54	
107025	308.20	312.30	4.10	tr.				tr.						34		34	62		62	
107026	312.30	313.70	1.40	514				514						37		37	62		62	
105684	313.70	318.70	5.00	tr.				tr.						82		82	110		110	
107027	321.70	322.80	1.10	tr.				tr.						47		47	60		60	
107028	331.30	332.00	0.70	tr.				tr.						43		43	47		47	
107030	349.00	350.90	1.90	tr.				tr.						80		80	54		54	
107031	358.20	359.10	0.90	tr.				tr.						63		63	52		52	
107032	379.20	380.00	0.80	tr.				tr.						57		57	64		64	
107033	380.00	380.90	0.90	tr.				tr.						59		59	57		57	
107034	380.90	384.50	3.60	tr.				tr.						64		64	81		81	
107035	392.60	397.80	5.20	tr.				tr.						164		164	43		43	
107036	437.50	438.10	0.60	tr.				tr.						42		42	40		40	
107037	438.10	440.70	2.60	tr.				tr.						52		52	53		53	
107038	441.30	443.50	2.20	tr.				tr.						49		49	48		48	
107039	454.20	455.10	0.90	tr.				tr.						43		43	49		49	
107040	461.50	465.00	3.50	tr.				tr.						79		79	46		46	
107041	465.00	465.60	0.60	tr.				tr.						45		45	32		32	
107042	483.50	485.00	1.50	tr.				tr.						47		47	45		45	
107043	497.60	498.40	0.80	tr.				tr.						42		42	33		33	
107044	500.90	502.90	2.00	tr.				tr.						100		100	46		46	
107045	508.40	509.10	0.70	tr.				tr.						87		87	37		37	
107046	515.90	519.10	3.20	tr.				tr.						52		52	39		39	
107047	520.60	521.90	1.30	tr.				tr.						56		56	53		53	
107048	524.70	528.50	3.80	tr.				tr.						110		110	42		42	
107049	528.50	530.00	1.50	tr.				tr.						97		97	37		37	

MINNOVA INC. - DIVISION EXPLORATION

ECHANTILLON	DE (pi)	A (pi)	LONGUEUR (pi)	Au(1) ppb	Au(2) ppb	Au(3) ppb	Au(4) ppb	Au(MOY) ppb	Ag ppm	As ppm	Sb ppm	Mo ppm	Pb ppm	Cu(1) ppm	Cu(2) ppm	Cu(MOY) ppm	Zn(1) ppm	Zn(2) ppm	Zn(MOY) ppm	
107050	530.00	531.50	1.50	tr.				tr.						124		124	39		39	
107051	544.80	546.90	2.10	tr.				tr.						57		57	44		44	
107052	548.70	551.30	2.60	tr.				tr.						52		52	44		44	
107053	551.30	556.00	4.70	tr.				tr.						72		72	44		44	
107054	556.00	559.50	3.50	tr.				tr.						65		65	32		32	
107055	559.50	562.00	2.50	tr.				tr.						84		84	32		32	
107056	570.90	573.40	2.50	tr.				tr.						41		41	39		39	
107057	574.40	576.00	1.60	tr.				tr.						27		27	44		44	
107058	599.50	601.20	1.70	tr.				tr.						29		29	35		35	
107059	611.20	612.90	1.70	tr.				tr.						37		37	46		46	
107060	612.90	615.00	2.10	tr.				tr.						57		57	63		63	
107061	626.10	631.60	5.50	tr.				tr.						128		128	62		62	
107062	631.60	632.80	1.20	tr.				tr.						130		130	66		66	
107063	632.80	634.00	1.20	tr.				tr.						177		177	56		56	
107064	634.00	636.40	2.40	tr.				tr.						70		70	76		76	
107065	636.40	639.00	2.60	tr.				tr.						50		50	57		57	
107066	639.00	643.40	4.40	tr.				tr.						75		75	79		79	
107067	643.40	648.40	5.00	274				274						51		51	66		66	
105685	648.40	650.50	2.10	tr.				tr.						51		51	81		81	
107068	650.50	653.20	2.70	343				343						37		37	65		65	
107069	653.20	657.90	4.70	343				343						45		45	59		59	
107070	657.90	659.10	1.20	tr.				tr.						32		32	59		59	
107071	659.10	660.00	0.90	1543				1543						40		40	51		51	
107072	660.00	662.30	2.30	tr.				tr.						50		50	45		45	453
107073	664.30	665.20	0.90	tr.				tr.						37		37	47		47	
107074	679.60	680.60	1.00	tr.				tr.						52		52	52		52	
107075	680.80	682.70	1.90	tr.				tr.						47		47	38		38	
107076	696.50	698.60	2.10	tr.				tr.						33		33	40		40	
107077	699.20	702.40	3.20	720				720						112		112	56		56	
105686	702.40	703.40	1.00	tr.				tr.						107		107	57		57	
107078	703.40	705.20	1.80	tr.				tr.						50		50	36		36	
107079	706.60	709.20	2.60	tr.				tr.						46		46	33		33	
107080	722.40	724.40	2.00	tr.				tr.						45		45	47		47	
105687	736.00	741.50	5.50	tr.				tr.						42		42	39		39	
107081	741.50	743.00	1.50	343				343						31		31	47		47	
107082	743.40	745.60	2.20	tr.				tr.						31		31	48		48	
107083	749.70	751.10	1.40	tr.				tr.						25		25	37		37	

MINNOVA INC. - DIVISION EXPLORATION

COMPAGNIE : MINNOVA EXPLORATION	PROJET : ILE OPANICA	SONDAGE : OP-13	IMPRIME LE : 11/02/90																								
CANTON : LESPERANCE	RANG : -	LOT : -	CLAIM : 317226-3																								
<u>COORDONNEES AU COLLET</u>	GRILLE : LIGNE : 4+00W STATION : 7+00N	LATITUDE : 700.00 LONGITUDE : -400.00 ELEVATION : 30.00	AZIMUT : 242 0' PLONGEE : -45 0'																								
<u>PROFONDEUR</u>	AU DEPART : 0.00	FIN DE TROU : 916.00	TUBAGE LAISSE (?) : Oui																								
GEOLOGUE : PAUL GIRARD			DATE DU JOURNAL : 30 juin 90																								
CONTRACTEUR : FORAGE BELAND			FORAGE DEBUTE LE : 30 juin 90																								
BUT : Tester continuité sud-est de la zone minéralisée OP-04.			TERMINE LE : 03 juillet 90																								
<u>DONNEES D'ORIENTATION</u>																											
<table border="1"> <thead> <tr> <th>Longueur</th> <th>Azimat</th> <th>Plongée</th> <th></th> </tr> </thead> <tbody> <tr> <td>0.00</td> <td>242 0'</td> <td>-45 0'</td> <td></td> </tr> <tr> <td>201.00</td> <td>242 0'</td> <td>-47 0'</td> <td></td> </tr> <tr> <td>400.00</td> <td>*242 20'</td> <td>-48 0'</td> <td></td> </tr> <tr> <td>611.00</td> <td>*242 40'</td> <td>-49 0'</td> <td></td> </tr> <tr> <td>811.00</td> <td>243 0'</td> <td>-49 0'</td> <td></td> </tr> </tbody> </table>				Longueur	Azimat	Plongée		0.00	242 0'	-45 0'		201.00	242 0'	-47 0'		400.00	*242 20'	-48 0'		611.00	*242 40'	-49 0'		811.00	243 0'	-49 0'	
Longueur	Azimat	Plongée																									
0.00	242 0'	-45 0'																									
201.00	242 0'	-47 0'																									
400.00	*242 20'	-48 0'																									
611.00	*242 40'	-49 0'																									
811.00	243 0'	-49 0'																									
(*) azimut estimé																											

MINNOVA INC. - DIVISION EXPLORATION

DE (pi)	A (pi)	TEXTURE ET STRUCTURE	ALTÉRATION	MINÉRALISATION
0.00	60.00	<p>MT</p> <p>MORT-TERRAIN</p> <p>6.00 - 119.00 /A</p> <p>GABBR0 OPHITIQUE</p> <p>Gabbro ophitique similaire à la discription précédente sauf feldspath automorphe sur la majeure partie de l'intervalle avec mafiques xénomorphes à hypidiomorphes plutôt interstitiels, très peu de veinules de feldspath/quartz.</p>	<p>7.50 - 13.20</p> <p>105593: M15MG=?CLBORB?</p> <p>Texture complètement oblitérée, foliation ± évidente.</p> <p>Biotite très fine alignée + biotite de 3-4mm.</p> <p>Traces de pyrite.</p> <p>13.90 - 17.30</p> <p>105594: M15MG(±)CLBO</p> <p>Chlorite diffuse, teinte bleutée (riebeckite).</p> <p>Traces de pyrite.</p> <p>40.50 - 43.60</p> <p>(=)</p> <p>Foliation faible à moyenne définie par alignement grossier</p>	

MINNOVA INC. - DIVISION EXPLORATION

DE (pi)	A (pi)	TEXTURE ET STRUCTURE	ALTÉRATION	MINÉRALISATION
			<p>65.50 - 70.50</p> <p>105689: Idem.</p> <p>77.80 - 78.20</p> <p>105596: $Al_2Si_2O_7 + Si + vCC$</p> <p>Texture complètement oblitérée, contact net? Fracturation forte définie par nombreuses très fines veinules de calcite irrégulières et aléatoires.</p> <p>Silice forte.</p> <p>80.80 - 83.00</p> <p>105597: $13A(Mg) + ClSi(HNEP) + vEP$</p> <p>Fracturation forte définie par forte concentration de minces veinules irrégulières d'épidote.</p> <p>Passage moins fracturé silicifié et chloritisé. Hématitisation faible surtout du feldspath. Epidotisation du feldspath surtout à la fin de l'échantillon.</p> <p>Traces de pyrite.</p> <p>99.10 - 100.80</p> <p>105598: $13AMG + ClSi(BO?) + vCCHM$</p> <p>Texture assez oblitérée, roche mafique moyennement grenue à texture hypidomorphe. Quelques veinules hématite/calcite.</p>	<p>de calcite (<1cm.</p>

MINNOVA INC. - DIVISION EXPLORATION

DE (pi)	A (pi)	TEXTURE ET STRUCTURE	ALTERATION	MINÉRALISATION
		<p>119.00 - 227.70 I3A1(MG)FP+(QZ)BO?CL/I3AMGCLBO</p> <p>Gabbro à texture très variable sur quelques pieds à quelques pouces. Au début de l'intervalle on retrouve plusieurs dykes de composition syénitique monzonitique, pour plus loin avoir des passages à injection de feldspath parfois rosé (! quartz) diffus sans contact net, donnant un aspect intermédiaire entre les dykes et le gabbro.</p> <p>Le gabbro est composé d'environ 25-30% de feldspath et 70-75% de mafiques ± Si de quartz. Les minéraux sont généralement hypidiomorphes moyennement grenus (2-4mm) sauf où l'altération diminue la granulométrie.</p>	<p>Chlorite et silice moyenne, début de biotitisation des mafiques.</p> <p>Traces à absente.</p> <p>111.40 - 111.80</p> <p>v0AZ#?(CCHM)</p> <p>Veines de quartz rose mauvâtre, similaires en apparence aux injections carbonatitiques, sauf qu'il s'agit de silice avec microfracturation remplie de calcite ± chlorite.</p> <p>Pyrite très fine.</p> <p>114.30 - 115.70</p> <p>105600: I3AMG#SiCLRB?vCC</p> <p>Début de veinules discontinues de feldspath/quartz.</p> <p>Silice et chlorite moyennes, riebeckite.</p> <p>Traces de pyrite, magnétite très fine.</p>	

MINNOVA INC. - DIVISION EXPLORATION

DE (pi)	A (pi)	TEXTURE ET STRUCTURE	ALTERATION	MINERALISATION
		<p>Le leucogabbro est composé d'un pourcentage variable de feldspath, allant jusqu'à 65%, 30% de mafiques et le reste de matrice siliceuse très fine.</p> <p>Le feldspath est hypidiomorphe, moyennement grenu (2-4mm), les mafiques très variables. Ce leucogabbro pourrait s'appeler syénite mafique mais résulte probablement d'injections diffuses de feldspath + quartz dans le gabbro.</p> <p>La fracturation est généralement absente à faible, définie par veinules avec bordure d'altération surtout en silice.</p> <p>Le gabbro semble surtout chloritisé (faible à moyen) avec passages à texture oblitérée (finement grenue) par altération plus importante en chlorite. Aspect recristallisé. Le leucogabbro est chloritisé et injecté de feldspath-quartz. La biotite est omniprésente en faible I (traces-3%).</p>	<p>126.00 - 126.10 I2D(HM)</p> <p>Dyke felsique rose composé d'environ 90% de feldspath, 5% de mafiques et 5% de quartz interstitiel. Certains feldspaths (30-40%) sont blancs automorphes à hypidiomorphes grenus (jusqu'à 4mm), d'autres rosâtres surtout hypidiomorphes de 1-2mm. La texture est assez floue. Quelques fractures remplies d'épidote traversent le dyke et continuent dans le gabbro.</p> <p>Hématite entre faible et moyenne.</p> <p>Minéralisation absente.</p>	

MINNOVA INC. - DIVISION EXPLORATION

DE (pi)	A (pi)	TEXTURE ET STRUCTURE	ALTÉRATION	MINÉRALISATION
		<p>137.40 - 139.00 I2D(HM)</p> <p>Dyke de syénite idem sauf texture moins floue et z quartz.</p> <p>147.60 - 148.60 I2D(M15)Si-Si+HMPY</p> <p>107086:</p> <p>Probablement dyke de syénite fortement altéré, rouge à rouille. Texture fortement oblitérée.</p> <p>Silice variant de moyenne à forte, hématite moyenne. La roche est oxydée et partiellement décomposée au début de l'intervalle.</p>	<p>Texture intrusive fortement oblitérée. Fracturation moyenne.</p> <p>Altération en silice, chlorite moyenne, calcite faible en injections aléatoires.</p> <p>Traces de pyrite, magnétite très fine.</p> <p>131.70 - 133.80</p> <p>107084: I3A(M15)(M6)(#)Si-Si+(HM)CL(CC)</p> <p>Similaire.</p> <p>Passage de silice forte et hématite faible sur la moitié de l'échantillon.</p> <p>Traces de pyrite.</p> <p>142.60 - 147.60</p> <p>105690: I3A(M6)(=)(B0CLEP)vCC</p>	

MINNOVA INC. - DIVISION EXPLORATION

DE (pi)	A (pi)	TEXTURE ET STRUCTURE	ALTÉRATION	MINÉRALISATION
		<p>1-2% de pyrite disséminée et petits amas.</p> <p>149.50 - 149.80 I2D(SiHM) Dyke de syénite similaire, texture assez floue. Silice et hématite faibles. Traces de pyrite.</p> <p>150.20 - 150.70 I2D(HM) Dyke de syénite similaire avec jusqu'à 20% de quartz (syénite quarzifère).</p> <p>153.00 - 155.80 I3A1/I2D(HM) Passage graduel du leucogabbro à la syénite avec contact net à 155.80'. Altération en feldspath?, hématite vers la fin de l'intervalle.</p>	<p>148.60 - 153.60</p> <p>105691: 60% I3AMG(BOCL)vCC</p> <p>40% dykes centimétriques à décimétriques I2D avec bordures de trempé millimétrique.</p> <p>Traces de pyrite très fine dans microfractures à l'intérieur de I2D.</p> <p>155.80 - 157.10</p> <p>107087: I3A(M15)MG+HSiCL(PY)vCC</p>	

MINNOVA INC. - DIVISION EXPLORATION

DE (pi)	A (pi)	TEXTURE ET STRUCTURE	ALTÉRATION	MINÉRALISATION
			<p>Texture intrusive oblitérée.</p> <p>Silice et chlorite diffuses.</p> <p>Traces à 1% de pyrite, possiblement chalcopyrite.</p> <p>175.80 - 178.00</p> <p>107088: I3AM6#CLSiVQZvABQZ</p> <p>Texture assez oblitérée, fracturation moyenne par veinules < 3-4mm de quartz ou feldspath/quartz. Contient dyke de 1" de syénite à 177.10-177.20.</p> <p>Chlorite et silice diffuses.</p> <p>Minéralisation absente, magnétite locale 2mm.</p> <p>205.80 - 227.70</p> <p>1-4% vFPQZ</p> <p>Entre 1-4% de veinules parfois rosâtres d'épaisseur < 3mm composées de feldspath (70%) et quartz (30%) de 1-2mm généralement aligné entre elles.</p> <p>227.70 - 268.80 M15M6(=)CL+CC(Si)</p> <p>METASOMATITE</p> <p>Gris-vert foncé dont le protolithe est probablement le gabbro dont la granulométrie a été diminuée (composition indéterminable) par l'altération. Magnétique entre moyenne et forte, rayable (± facilement)</p> <p>Foliation faible à moyenne en général, définie par</p>	

MINNOVA INC. - DIVISION EXPLORATION

DE (pi)	A (pi)	TEXTURE ET STRUCTURE	ALTERATION	MINÉRALISATION
			<p>l'alignement des mafiques.</p> <p>Altération en chlorite diffuse, donnant parfois un aspect bréchique où chlorite semble injectée. Silice probablement présente vue la dureté de la roche. Calcite diffuse et parfois en veinules irrégulières ou «taches».</p> <p>Traces de pyrite générale à 2% sur quelques pouces.</p> <p>227.70 - 230.80</p> <p>107089: M15M6+(=)CL+(SiCC)(PY)+CC</p> <p>Foliation faible définie par alignement des mafiques. 35*AC.</p> <p>Altération idem à l'intervalle précédent.</p> <p>Traces à 1% de pyrite fine.</p>	
				<p>230.80 - 231.40</p> <p>107090: Idem + PY</p> <p>1-2% de pyrite fine.</p>
			<p>231.40 - 232.80</p> <p>107091: Idem (PY)</p>	
			<p>232.80 - 236.20</p> <p>107092: M15M6#CCCLvCL</p> <p>Chlorite surtout injectée (1-2mm) en veinules aléatoires.</p>	

MINNOVA INC. - DIVISION EXPLORATION

DE (pi)	A (pi)	TEXTURE ET STRUCTURE	ALTÉRATION	MINÉRALISATION
			<p>Traces de pyrite.</p> <p>236.20 - 239.60</p> <p>107093: M15M6/\CC+(CL)?vCC</p> <p>Texture bréchique (hydrothermale) définie par veinules de chlorite aléatoires millimétriques.</p> <p>Altération en chlorite. Carbonatisation (couleur beige-gris - calcite?) des «fragments» in-situ.</p> <p>Traces de pyrite.</p> <p>239.60 - 243.90</p> <p>107094: M15M6#CL+(CCSi)vCC</p> <p>Fracturation définie par veinules de calcite et/ou chlorite.</p> <p>Altération typique pour l'unité.</p> <p>Traces de pyrite.</p> <p>243.90 - 246.00</p> <p>107095: M15M6=CL(CC)</p> <p>Foliation assez nette définie par plans de chlorite (minéraux mafiques allongés?) à 35*AC.</p> <p>Altération surtout en chlorite (moyenne) et faible à très faible en calcite.</p> <p>Minéralisation absente.</p>	

MINNOVA INC. - DIVISION EXPLORATION

DE (pi)	A (pi)	TEXTURE ET STRUCTURE	ALTÉRATION	MINÉRALISATION
			246.00 - 251.00 107096: Type. 251.00 - 256.00 107097: Type. 256.00 - 261.00 107098: Type. 261.00 - 266.00 107099: Type. 266.00 - 268.80 107100: Type.	
		268.80 - 607.40 I31MGFP(QZ)(CL)(BO)/I3AMGCL(BO) Toujours leucogabbro à injection de feldspath + quartz avec intervalles de gabbro mésocrate généralement à texture assez oblitérée par l'altération. Les passages du leuco- au mésogabbro peuvent être très graduels sur plusieurs pieds, ou encore très nets. Le leucogabbro est composé de 40% feldspath, ≈ 55% de mafiques et de 5 à 10% quartz. Les minéraux sont généralement hypidomorphes à xénomorphes moyennement grenus (de 2-4mm). Au moins une partie du feldspath et du quartz est secondaire, reliée aux injections de feldspath-quartz décrites plus haut. Le mésogabbro est composé d'environ 20% de feldspath (texture oblitérée par l'altération). Le leucogabbro est faiblement altéré en chlorite. Biotite très fine probablement présente dans les deux faciès de gabbro. Le mésogabbro est moyennement chloritisé.	271.30 - 273.00	

MINNOVA INC. - DIVISION EXPLORATION

DE (pi)	A (pi)	TEXTURE ET STRUCTURE	ALTÉRATION	MINÉRALISATION
			<p>107101: I3AMG+0CL+(CC)vCLvCC</p> <p>Texture oblitérée (granulométrie diminuée). Fracturation moyenne définie par microfractures de chlorite.</p> <p>Altération surtout en chlorite diffuse et en microfractures.</p> <p>Traces de pyrite.</p>	<p>273.00 - 273.50 I3A(M15)#DM?CL(CC)PY+vCCvCL</p> <p>107102:</p> <p>Teinte gris-beige avec microfractures remplies de chlorite et minces veinules de calcite.</p> <p>Altération en calcite diffuse et en veinules; chlorite et dolomie?</p> <p>5-10% de pyrite.</p>
			<p>273.50 - 274.20</p> <p>107103: Idem à 107101 avec (PY)</p> <p>Traces à 1% de pyrite très fine.</p>	
			<p>276.30 - 277.60</p> <p>(-)2%vFPQZ</p> <p>Foliation faible à 30°AC définie par alignement des minéraux mafiques avec ≈ 2% de veinules de feldspath (quartz).</p>	
			<p>277.60 - 278.10</p>	

MINNOVA INC. - DIVISION EXPLORATION

DE (pi)	A (pi)	TEXTURE ET STRUCTURE	ALTÉRATION	MINÉRALISATION
			<p>EP</p> <p>Epidotisation moyenne diffuse.</p> <p>278.80 - 280.90</p> <p>107104: I3AMG(0)CLSi</p> <p>Texture assez oblitérée, diminution de granulométrie.</p> <p>Chlorite entre moyenne et forte et silice moyenne (roche très dure).</p> <p>280.90 - 282.00</p> <p>107105: I3AMG#CLCC(Si)(PY)vCC</p> <p>Texture très hétérogène due à fracturation et altération.</p> <p>Chlorite moyenne, calcite entre faible et moyenne. Dureté indique que la roche est silicifiée.</p> <p>Pyrite traces à 0,5%.</p> <p>282.00 - 282.60</p> <p>107106: I3A?#HM+vCL</p> <p>Fracturation définie par minces veinules d'orientation aléatoire de chlorite et calcite.</p> <p>Altération en hématite forte à contacts et nets sur 0.5cm.</p> <p>Traces de pyrite.</p> <p>285.50 - 285.90 I1?(MG)#HM</p>	

MINNOVA INC. - DIVISION EXPLORATION

DE (pi)	A (pi)	TEXTURE ET STRUCTURE	ALTÉRATION	MINÉRALISATION
		<p>288.70 - 289.00 I2D?#HMvEP</p> <p>Dyke rouge-rosé à texture floue moyennement grenue, contenant $\approx 80\%$ de feldspath automorphe à xénomorphe (1-3mm), 5% de mafiques généralement hypidiomorphes de ≤ 1 à 5mm et $\approx 10-15\%$ de quartz interstitiel. Contact à 45°AC.</p> <p>Veinules d'épidote, traversant le dyke, définissant la fracturation. On retrouve quelques dykes similaires (2-3cm sur les prochains 15'.</p> <p>Altération surtout en hématite.</p>	<p>Dyke felsique, à texture grenue floue, de couleur rouge. Contact net mais irrégulier.</p>	
		<p>302.10 - 302.50 I2D?#SiHM</p> <p>Dyke similaire, perte de texture due à l'altération.</p> <p>Altération probablement en silice + hématite.</p>	<p>303.60 - 307.00</p> <p>107107: I3A(M15)(MG)(#)CL(Si)</p> <p>Texture oblitérée, très finement grenue. Foliation faible mal définie à 32°AC.</p> <p>Altération surtout en chlorite, silice faible vu la dureté.</p> <p>Traces de pyrite.</p>	
			<p>307.00 - 310.40</p> <p>107108: Idem.</p>	

MINNOVA INC. - DIVISION EXPLORATION

DE (pi)	A (pi)	TEXTURE ET STRUCTURE	ALTÉRATION	MINÉRALISATION
		<p>322.90 - 323.30 vQZ#(HM)vCCCL</p> <p>Veines de quartz rose mauvâtre fracturées remplies de calcite/chlorite. Epontes (gabbro) altérées sur 2cm.</p> <p>Altération faible en hématite.</p>	<p>326.00 - 331.00</p> <p>105692: I3A(M6)(CLB0)/ 3-5% vFPQZ</p> <p>Une zone décimétrique moyennement carbonatée.</p> <p>331.00 - 334.80 I3A(M15)M6(●)CL(Si)(PY)vCC</p> <p>107110:</p> <p>Pyrite traces à 0,5% avec 3-4% sur quelques pouces associées à zone de calcite.</p> <p>334.80 - 336.00</p> <p>Contact assez net (! parallèle à AC) entre gabbro finement grenu chloritisé et roche feldspathisée.</p>	<p>334.80 - 339.80</p> <p>105693: I3A(M6)(CLB0)/ 5-10% vFPQZ mm</p> <p>Gabbro coupé par dyke syénitique à texture phanérotique, lui-même coupé par injection Si?HM porphyrique à feldspath de couleur rouge vif et de puissance subcentimétrique.</p>
		<p>339.30 - 340.20 I2DHN/I3A</p> <p>Dyke de syénite similaire, en contact irrégulier avec gabbro.</p>		

MINNOVA INC. - DIVISION EXPLORATION

DE (pi)	A (pi)	TEXTURE ET STRUCTURE	ALTERATION	MINÉRALISATION
		<p>341.00 - 341.10 I2D(HM)</p> <p>Idem.</p> <p>343.50 - 344.30 I2D?#</p> <p>Similaire, peu hématisé.</p>	<p>348.10 - 353.10</p> <p>105694: I3AMG(CLB0)/ < 2I vFPQZ</p> <p>Traces de pyrite fine très locale.</p> <p>354.30 - 355.70 I3ANSICL(CC)(PY)vCC</p> <p>107112:</p> <p>0,5% de pyrite disséminée.</p> <p>355.70 - 360.70</p> <p>105695: Idem.</p> <p>371.30 - 371.80</p> <p>EP+</p> <p>Epidotisation forte sous forme de veine?</p>	<p>353.10 - 354.30 I3A?(#)Si+CLPYvCC(CL)</p> <p>107111:</p> <p>2% de pyrite en moyenne, semble associée aux veinules.</p> <p>375.60 - 376.10 I3ACC+PY+</p>

MINNOVA INC. - DIVISION EXPLORATION

DE (pi)	A (pi)	TEXTURE ET STRUCTURE	ALTERATION	MINÉRALISATION
			<p>390.50 - 401.20 (RB)</p> <p>Gabbro finement grenu, chloritisé, dont la teinte bleutée indique la présence de riebeckite. La granulométrie fine serait due à la chloritisation.</p> <p>427.30 - 429.30</p> <p>107114: I3AMG(♯)CL(PY)vCC</p> <p>Quelques veinules de feldspath-quartz.</p> <p>Chlorite diffuse donnant teinte gris-vert.</p> <p>Traces à 2% de pyrite très fine.</p>	<p>107113:</p> <p>Calcite forte (teinte grisâtre)</p> <p>Pyrite 3-4% très fine.</p>
			<p>430.00 - 436.00</p> <p>105696: I3AMG(CLBD)/ 2% vFPQZ</p> <p>Hématite faible du feldspath sur un intervalle décimétrique (A 441.00' veinules feldspath-quartz plissotées).</p>	<p>429.30 - 430.00 I3AM+CLSiPY+vFPCCQZ</p> <p>107115:</p> <p>Silice t en veinules et diffuse.</p> <p>3-5% de pyrite de fine à moyenne.</p>

MINNOVA INC. - DIVISION EXPLORATION

DE (pi)	A (pi)	TEXTURE ET STRUCTURE	ALTÉRATION	MINÉRALISATION
		<p>455.00 - 455.20 I2C?</p> <p>SYENITE QUARTZIFERE</p> <p>Dyke moyennement grenu (2-3mm), composé de 70% de feldspath, 20% de quartz et 10% mafiques. Contacts à 45°C.</p>	<p>452.10 - 452.80</p> <p>107116: I3AMG(♯)CL(CC)PYvQZ(CCCL)</p> <p>Environ 2% de pyrite irrégulièrement dispersée.</p> <p>472.60 - 474.50</p> <p>10% vFPQZ</p> <p>Gabbro finement grenu.</p> <p>489.30 - 489.70</p> <p>107117: I3A(M6)FP(CL)MG30PY</p> <p>Magnétite + pyrite en gros amas (≈ 40% de l'échantillon) dans leucogabbro feldspathisé.</p> <p>516.30 - 516.80</p> <p>107118: I3A(M6)CL(Si)(PY)vCC(QZ)vCL</p> <p>0,5% de pyrite de taille variable.</p> <p>532.80 - 533.30</p> <p>107119: I3A(1)(M6)(♯)(CL)(CC)PYvCC</p>	

MINNOVA INC. - DIVISION EXPLORATION

DE (pi)	A (pi)	TEXTURE ET STRUCTURE	ALTERATION	MINÉRALISATION
		<p>547.80 - 547.90 I2C?HH Dyke de syénite quartzifère similaire aux précédants.</p> <p>552.80 - 552.90 I2C?HH Idem.</p>	<p>II de pyrite très fine.</p> <p>551.30 - 552.00 EP Epidotisation moyenne du feldspath (saussuritisation).</p> <p>561.00 - 562.90 107120: I3A(L)(MB)■(CL)(EP)vEP(CC) Veinules d'épidote ± calcite et épidote diffuse faible. Traces de pyrite.</p> <p>562.90 - 564.00 107121: I3A(l)?Ep(PY) Epidote entre moyenne et forte diffuse (à partir de veinules?) Traces de 0,5% de pyrite très fine.</p> <p>574.10 - 574.60 (EP) Saussuritisation faible.</p>	

MINNOVA INC. - DIVISION EXPLORATION

DE (pi)	A (pi)	TEXTURE ET STRUCTURE	ALTERATION	MINERALISATION
		<p>607.40 - 668.70 I2Fm(MG)(CL)</p> <p>Monzonite mélanocrate composé d'environ 30% de mafiques hypidiomorphes de 1-4mm et de 70% feldspath généralement trapu (2-4mm). Certains de ces feldspaths sont rosés (feldspath potassique?) et d'autres blancs parfois zonés (rare et zonation mal définie - plagioclase?). De faiblement à très faiblement magnétique. Contacts graduels sur un intervalle métrique. Peu à pas de fracturation ou foliation.</p> <p>Très faible hématitisation du feldspath et faible chloritisation des minéraux mafiques. La biotite semble absente.</p>	<p>576.00 - 582.20</p> <p>105697: Iden.</p> <p>582.20 - 585.90 I3A(M15)MGCLCC(PY)</p> <p>107122:</p> <p>Aspect bréchique par endroits.</p> <p>Chlorite et calcite moyennes diffuses.</p> <p>Traces à 0,5% de pyrite très fine.</p> <p>586.00 - 590.90</p> <p>105698: Iden.</p> <p>2-5% feldspath-quartz en injections irrégulières millimétriques.</p>	

MINNOVA INC. - DIVISION EXPLORATION

DE (pi)	A (pi)	TEXTURE ET STRUCTURE	ALTÉRATION	MINÉRALISATION
		Minéralisation absente.	<p>626.00 - 629.90</p> <p>107123: $13\frac{1}{2}Fm?Si-Si+(CC)vCC(DL)$</p> <p>Feldspath encore visible mais très flou. Fracturation définie par fines veinules de calcite et chlorite.</p> <p>Altération surtout en silice ou veinules quartz centimétriques et diffuses, calcite faible diffuse.</p> <p>Traces de pyrite.</p> <p>629.90 - 635.80</p> <p>107124: $M15(M6)Si(HMCC)vCCvQZvCCCL$</p> <p>Texture presque complètement oblitérée.</p> <p>Silice plus homogène que précédemment, faible teinte rouge, hématite très faible à faible.</p> <p>635.80 - 638.50</p> <p>107125: $M15(M6)Si(-)SiHM(CC)vCC$</p> <p>Texture complètement oblitérée.</p> <p>Foliation faible à 30°AC définie par l'alignement de minéraux mafiques millimétriques.</p> <p>Altération moyenne en silice et hématite.</p> <p>Traces de pyrite.</p> <p>647.00 - 648.70</p>	

MINNOVA INC. - DIVISION EXPLORATION

DE (pi)	A (pi)	TEXTURE ET STRUCTURE	ALTÉRATION	MINÉRALISATION
		<p>668.70 - 892.20 I3A1(MG)(CL)</p> <p>LEUCOGABBRO</p> <p>Composé d'environ 50-60% de feldspath hypidiomorphe à automorphe (2-4mm) avec mafiques hypidiomorphes à xénomorphes (2-4mm). Faiblement magnétique.</p>	<p>107126: I2Fm?#Si(CC)vCC</p> <p>Altération en silice définie par veinules diffuses grisâtres.</p> <p>Traces de pyrite.</p> <p>649.30 - 650.00</p> <p>107127: VQZ#vCC/I2Fm#SiHMCC</p> <p>Veine de quartz de 3" + monzonite altérée.</p> <p>Altération en silice, hématite et calcite.</p> <p>Minéralisation absente.</p> <p>653.20 - 655.50</p> <p>107128: I2Fm#Di(HM)(CC)</p> <p>Fracturation surtout définie par forte densité de veinules de calcite.</p> <p>Altération en silice définie par veinule ± diffuse.</p> <p>Traces de pyrite.</p>	

MINNOVA INC. - DIVISION EXPLORATION

DE (pi)	A (pi)	TEXTURE ET STRUCTURE	ALTERATION	MINERALISATION
		<p>Pas à peu fracturé.</p> <p>Aspect assez frais, mis à part la faible chloritisation des minéraux mafiques cette roche n'a pas l'aspect recristallisé du leucogabbro précédent. Biotite absente.</p> <p>Minéralisation absente en général.</p>	<p>668.70 - 669.80</p> <p>107129: I3A V3A?(MG)CLVCC</p> <p>Basalte ou microgabbro chloriteux, vert foncé et finement grenu. Leucogabbro fortement altéré? Contact assez net mais très irrégulier.</p> <p>Altération en chlorite moyenne à forte.</p> <p>Traces de pyrite.</p> <p>672.00 - 675.80</p> <p>107130: Idem</p> <p>Semblable à l'échantillon précédent, avec texture intrusive mieux préservée.</p> <p>Altération moyenne en chlorite.</p> <p>Traces de pyrite.</p> <p>676.80 - 680.40</p> <p>107131: I3A1(MG)++CLCC(HM)(Si)</p> <p>Leucogabbro à forte densité d'injections de</p>	

MINNOVA INC. - DIVISION EXPLORATION

DE (pi)	A (pi)	TEXTURE ET STRUCTURE	ALTERATION	MINERALISATION
			<p>chlorite/calcite/hématite. Seulement quelques îlots de leucogabbro reconnaissable.</p> <p>Altération par injections, avec altération diffuse en chlorite, calcite et hématite. La fin de l'échantillon contient surtout des injections de silice.</p> <p>Traces de pyrite.</p> <p>680.40 - 682.60</p> <p>107132: I3AV3A?C.JFPCL</p> <p>Altération diffuse en silice à partir de fractures minces remplies de calcite (et chlorite).</p> <p>Minéralisation absente.</p> <p>685.30 - 688.10</p> <p>107134: I3A1(M6)#+CCHM(AK)</p> <p>Altération diffuse à partir de fractures en calcite, hématite et ankérite (millimétrique).</p> <p>Pyrite très fine associée à l'altération.</p> <p>Minéralisation en traces à légèrement supérieure à traces.</p> <p>688.10 - 689.20</p> <p>107135: M15#+CC+HM(AK)(PY)</p> <p>Fracturation extrême définie par forte densité de microfractures avec altération associée.</p> <p>Altération forte associée à fracturation en calcite.</p>	

MINNOVA INC. - DIVISION EXPLORATION

DE (pi)	A (pi)	TEXTURE ET STRUCTURE	ALTERATION	MINERALISATION
		<p>751.20 - 787.30 I3A#(B)(CL)</p> <p>DYKE DE MELANOGABBRO</p> <p>Dyke de melanogabbro avec environ 15% de feldspath automorphe de 3mm en moyenne avec mafiques xenomorphes chloritisés. Quelques passages plus leucocrates avec mafiques automorphes. Fracturation faible, surtout définie par veinules fines de calcite. Quelques veines/veinules de quartz.</p> <p>Chloritisation faible des mafiques. Quelques passages de quelques pouces à contact assez net où la chloritisation est moyenne.</p> <p>Minéralisation absente.</p>	<p>Hématite et ankérite millimétriques.</p> <p>Traces à 0,5% de pyrite très fine.</p> <p>715.60 - 716.60</p> <p>107136: I3A1CL(CB)//\AKSivCCCL</p> <p>Deux brèches hydrothermales de 2^e calcite ± chlorite avec fragments siliceux ankéritisés et matrice riche en calcite et chlorite.</p> <p>Entre les deux brèches chloritisation. Fragments siliceux et ankéritisés dans la brèche. Intervalle entre les 2 brèches est chloritisé.</p> <p>Pyrite jusqu'à 7mm dans 2 derniers pieds.</p> <p>765.00 - 769.00</p> <p>107137: I3A#(MG)#CLvCC</p>	

MINNOVA INC. - DIVISION EXPLORATION

DE (pi)	A (pi)	TEXTURE ET STRUCTURE	ALTÉRATION	MINÉRALISATION
		<p>776.20 - 778.30 I4?CL?(BD)</p> <p>Dyke ultramafique (pyroxénite) noir-vert foncé finement grenu (2mm) minéraux à facettes brillantes (bronzite ? biotite?). <10% de feldspath facilement rayable. La roche est non magnétique.</p> <p>813.00 - 815.00 I3A+(CL)</p> <p>Dyke de mélanogabbro idem.</p> <p>846.30 - 853.20 I3A</p> <p>Passages plus mélanocrates du leucogabbro (graduels).</p>	<p>Début de l'échantillon à texture presque bréchique. Forte densité de veinules de calcite. Quelques veinules \leq 1cm de quartz.</p> <p>Altération diffuse en calcite en enveloppes autour des veinules.</p> <p>Traces de pyrite.</p> <p>769.00 - 773.00</p> <p>107138: Idem.</p> <p>846.30 - 847.00</p> <p>107139: I3A+CC+(PY)vCC</p> <p>\approx 1% de pyrite très fine.</p> <p>853.20 - 855.10</p> <p>EPvEPCC</p>	

MINNOVA INC. - DIVISION EXPLORATION

DE (pi)	A (pi)	TEXTURE ET STRUCTURE	ALTÉRATION	MINÉRALISATION
		<p>892.20 - 916.00 I3A(MG)(CL)(BO)</p> <p>GABBRO</p> <p>Gabbro composé d'environ 25% de feldspath et 75% de mafiques. Le feldspath est hypidiomorphe à xénomorphe (2-4mm) et les mafiques hypidiomorphes (2-5mm). Très peu fracturé. Grains magnétiques millimétriques de couleur mauve, à coeur oxydé et bordures chloritisées forment \pm 1% de la roche. Gloméroneocristaux de magnétite?</p> <p>Roche semble être assez fraîche. Chlorite faible et possiblement biotite très fine.</p> <p>914.80 - 915.00 I3A/ VCC(I4P?)(HM)(PY)</p> <p>107140:</p> <p>Injection de calcite à contact supérieur assez irrégulier. Très finement grenue.</p> <p>Hématite faible associée à la calcite donne une teinte légèrement mauve.</p> <p>916.00: FIN DU TROU</p>	<p>Epidotisation diffuse en enveloppes autour des veinules d'épidote/calcite.</p>	

MINNOVA INC. - DIVISION EXPLORATION

ECHANTILLON	DE (pi)	A (pi)	LONGUEUR (pi)	Au(1) ppb	Au(2) ppb	Au(3) ppb	Au(4) ppb	Au(MOY) ppb	Ag ppm	As ppm	Sb ppm	Mo ppm	Pb ppm	Cu(1) ppm	Cu(2) ppm	Cu(MOY) ppm	Zn(1) ppm	Zn(2) ppm	Zn(MOY) ppm		
105593	7.50	13.20	5.70																		
105594	13.90	17.30	3.40	tr.				tr.						77		77	45			45	
105688	61.90	64.80	2.90	tr.				tr.						47		47	57			57	
105595	64.80	65.50	0.70	411				411						200		200	52			52	
105689	65.50	70.50	5.00	tr.				tr.						231		231	65			65	
105596	77.80	78.20	0.40	tr.				tr.						124		124	46			46	
105597	80.80	83.00	2.20	tr.				tr.						47		47	50			50	
105598	99.10	100.80	1.70	tr.				tr.						62		62	60			60	
105599	111.40	111.80	0.40	tr.				tr.	2.1					32		32	67			67	
105600	114.30	115.70	1.40	tr.				tr.						104		104	61			61	
107084	130.20	131.00	0.80	tr.				tr.						32		32	51			51	
107085	131.70	133.80	2.10	tr.				tr.						62		62	47			47	
105690	142.60	147.60	5.00	tr.				tr.						70		70	66			66	
107086	147.60	148.60	1.00	377				377						44		44	49			49	
105691	148.60	153.60	5.00	tr.				tr.						89		89	85			85	
107087	155.80	157.10	1.30	tr.				tr.						99		99	52			52	
107088	175.80	178.00	2.20	tr.				tr.						47		47	54			54	
107089	227.70	230.80	3.10	tr.				tr.						71		71	75			75	
107090	230.80	231.40	0.60	tr.				tr.						79		79	70			70	
107091	231.40	232.80	1.40	tr.				tr.						45		45	77			77	
107092	232.80	236.20	3.40	tr.				tr.						45		45	72			72	
107093	236.20	239.60	3.40	tr.				tr.						44		44	80			80	
107094	239.60	243.90	4.30	tr.				tr.						41		41	84			84	
107095	243.90	246.00	2.10	tr.				tr.						77		77	107			107	
107096	246.00	251.00	5.00	tr.				tr.						54		54	97			97	
107097	251.00	256.00	5.00	tr.				tr.						60		60	85			85	
107098	256.00	261.00	5.00	tr.				tr.						47		47	86			86	
107099	261.00	266.00	5.00	tr.				tr.						80		80	84			84	
107100	266.00	268.80	2.80	tr.				tr.						80		80	110			110	
107101	271.30	273.00	1.70	tr.				tr.						107		107	81			81	
107102	273.00	273.50	0.50	3943	4462			4203						67		67	66			66	
107103	273.50	274.20	0.70	tr.				tr.						74		74	67			67	
107104	278.80	280.90	2.10	tr.				tr.						56		56	61			61	
107105	280.90	282.00	1.10	tr.				tr.						40		40	56			56	
107106	282.00	282.60	0.60	tr.				tr.						45		45	97			97	
107107	303.60	307.00	3.40	tr.				tr.						93		93	87			87	
107108	307.00	310.40	3.40	tr.				tr.						59		59	104			104	
107109	322.90	323.30	0.40	tr.				tr.						33		33	64			64	

MINNOVA INC. - DIVISION EXPLORATION

ECHANTILLON	DE (pi)	A (pi)	LONGUEUR (pi)	Au(1) ppb	Au(2) ppb	Au(3) ppb	Au(4) ppb	Au(MOY) ppb	Ag ppm	As ppm	Sb ppm	Mo ppm	Pb ppm	Cu(1) ppm	Cu(2) ppm	Cu(MOY) ppm	Zn(1) ppm	Zn(2) ppm	Zn(MOY) ppm
105692	326.00	331.00	5.00	tr.				tr.						59		59	74		74
107110	331.00	334.80	3.80	411				411						57		57	82		82
105693	334.80	339.80	5.00	tr.				tr.						69		69	84		84
105694	348.10	353.10	5.00	tr.				tr.						69		69	70		70
107111	353.10	354.30	1.20	3840				3840						36		36	70		70
107112	354.30	355.70	1.40	309				309						35		35	72		72
105695	355.70	360.70	5.00	tr.				tr.						70		70	76		76
107113	375.60	376.10	0.50	343				343						94		94	127		127
107114	427.30	429.30	2.00	tr.				tr.						90		90	149		149
107115	429.30	430.00	0.70	480				480						94		94	114		114
105696	430.00	436.00	6.00	tr.				tr.						95		95	77		77
107116	452.10	452.80	0.70	tr.				tr.						94		94	99		99
107117	489.30	489.70	0.40	tr.				tr.						75		75	81		81
107118	516.30	516.80	0.50	tr.				tr.						64	105	105	105		36
107119	532.80	533.30	0.50	tr.				tr.						64		64	50		50
107120	561.00	562.90	1.90	tr.				tr.						81		81	33		33
107121	562.90	564.00	1.10	tr.				tr.						80		80	26		26
105697	576.00	582.20	6.20	tr.				tr.						97		97	84		84
107122	582.20	585.90	3.70	446				446						84		84	49		49
105698	586.00	590.90	4.90	tr.				tr.						91		91	72		72
107123	626.00	629.90	3.90	tr.				tr.						31		31	34		34
107124	629.90	635.80	5.90	tr.				tr.						50		50	74		74
107125	635.80	638.50	2.70	tr.				tr.						84		84	67		67
107126	647.00	648.70	1.70	tr.				tr.						37		37	40		40
107127	649.30	650.00	0.70	tr.				tr.						34		34	45		45
107128	653.20	655.50	2.30	tr.				tr.						60		60	47		47
107129	668.70	669.80	1.10	tr.				tr.						34		34	47		47
107130	672.00	675.80	3.80	tr.				tr.						31		31	39		39
107131	676.80	680.40	3.60	tr.				tr.						34		34	52		52
107132	680.40	682.60	2.20	tr.				tr.						69		69	40		40
107133	682.60	685.30	2.70	tr.				tr.						31		31	36		36
107134	685.30	688.10	2.80	tr.				tr.						26		26	60		60
107135	688.10	689.20	1.10	tr.				tr.						44		44	67		67
107136	715.60	716.60	1.00	tr.				tr.						49		49	40		40
107137	765.60	769.00	3.40	tr.				tr.						27		27	46		46
107138	769.00	773.00	4.00	tr.				tr.						22		22	46		46
107139	846.30	847.00	0.70	tr.				tr.						22		22	54		54